

**Česká zemědělská univerzita v Praze**

**Provozně ekonomická fakulta**

**Katedra systémového inženýrství**



**Diplomová práce**

**Aplikace modelu obchodního  
cestujícího v kamionové dopravě**

**Bc. Tereza Nehézová**

© 2019 ČZU v Praze

## ZADÁNÍ DIPLOMOVÉ PRÁCE

Bc. Tereza Nehézová

Systemové inženýrství

Název práce

**Aplikace problému obchodního cestujícího v kamionové dopravě**

Název anglicky

**Travelling salesman problem application in truck transport**

---

### Cíle práce

Cílem práce je aplikace řešení okružního dopravního problému s časovými okny v mezinárodní kamionové dopravě za účelem minimalizace nákladů přepravy a času. Dílčím cílem je analýza problému za předpokladu nejistoty v ohodnocení jednotlivých tras a návrh robustních scénářů pro zvoleného dopravce.

### Metodika

Diplomová práce je rozdělena na teoretickou a praktickou část. Teoretická část vychází ze studia odborné literatury a popisuje téma okružního dopravního problému a konkrétní matematické modely, které jsou pro jeho řešení využívány. Podrobněji bude popsána problematika NP-úplných problémů, problému obchodního cestujícího včetně jeho rozšíření o časová okna, robustní optimalizace a metodu větví a mezí, která bude následně využita v praktické části.

V praktické části bude konkrétně definován řešený problém. Ze získaných znalostí bude sestaven matematický model, který bude řešen pomocí metody větví a mezí za pomoci softwaru Gurobi optimizer. Výsledky budou porovnány se současným stavem a budou udělena příslušná doporučení vedoucí k finančním úsporám.

## Doporučený rozsah práce

60-70

## Klíčová slova

okružní dopravní problém, logistika, Np-úplné úlohy, metoda větvení a mezí

---

## Doporučené zdroje informací

COOK, W. *Po stopách obchodního cestujícího : matematika na hranicích možností*. Praha: Dokořán, 2012. ISBN 978-80-7363-412-4.

FÁBRY, J. *Matematické modelování*. Praha: Professional Publishing, 2011. ISBN 978-80-7431-066-9.

Hlavatý, R., Brožová, H. (2017). Robust optimization approach in transportation problem. *Mathematical Methods in Economics 2017*.

---

## Předběžný termín obhajoby

2018/19 LS – PEF

## Vedoucí práce

Ing. Robert Hlavatý, Ph.D.

## Garantující pracoviště

Katedra systémového inženýrství

---

Elektronicky schváleno dne 27. 2. 2019

**doc. Ing. Tomáš Šubrt, Ph.D.**

Vedoucí katedry

---

Elektronicky schváleno dne 1. 3. 2019

**Ing. Martin Pelikán, Ph.D.**

Děkan

V Praze dne 26. 03. 2019

### **Čestné prohlášení**

Prohlašuji, že svou diplomovou práci "Aplikace modelu obchodního cestujícího v kamionové dopravě" jsem vypracoval(a) samostatně pod vedením vedoucího diplomové práce a s použitím odborné literatury a dalších informačních zdrojů, které jsou citovány v práci a uvedeny v seznamu použitých zdrojů na konci práce. Jako autor(ka) uvedené diplomové práce dále prohlašuji, že jsem v souvislosti s jejím vytvořením neporušil autorská práva třetích osob.

V Praze dne 26. 3. 2019

---

### **Poděkování**

Rád(a) bych touto cestou poděkoval(a) vedoucímu práce Ing. Robertovi Hlavatému, Ph.D., za jeho odborné vedení, cenné rady a připomínky k diplomové práci.

# Aplikace modelu obchodního cestujícího v kamionové dopravě

## Abstrakt

Diplomová práce se věnuje aplikaci modelu obchodního cestujícího v kamionové dopravě. Je rozdělena do dvou částí. První část práce obsahuje teoretická východiska zaměřující se na vybrané oblasti. Nejprve je rozebrána problematika logistiky a dopravy. Dále se práce věnuje operačnímu výzkumu a matematickému modelování jako jeho nástroji. Následně jsou přiblíženy dopravní úlohy, problém obchodního cestujícího, jeho modifikace s časovými okny a robustní optimalizace v lineárních optimalizačních modelech. Vybraná témata jsou použita v praktické části.

Vlastní část práce je systematicky rozdělena do kapitol dle Simonovy teorie. První část se věnuje konstrukci modelu obchodního cestujícího se zahrnutím nejistoty v ohodnocení jednotlivých spojů a sestavení robustních scénářů pro vybraný okružní dopravní problém. Ve druhé části je sestaven a vypočítán model obchodního cestujícího s časovými okny. Jako podklad pro sestavení tohoto modelu je využit zvolený scénář z předchozí části práce. Na závěr jsou výsledky srovnány se současnou situací ve firmě a je provedeno ekonomické zhodnocení.

**Klíčová slova:** okružní dopravní problém, NP-úplné úlohy, logistika, metoda větvení a mezí, robustní optimalizace, dopravní úlohy, problém obchodního cestujícího, operační výzkum

# Travelling salesman problem application in truck transport

## **Abstract**

This diploma thesis deals with travelling salesman problem application in truck transport and its divided into two parts. The first part of the thesis constrains theoretical background focusing on selected topics. Firstly, the issue of transport and logistics is mentioned. Furthermore, the thesis deals with operational research and its tool, mathematical modelling. Then problem of travelling salesman is introduced as well as its time windows modification and robust approach in linear optimization models. Selected issues are used in the second part of the diploma thesis.

This part of the diploma thesis is divided into parts according to Simon's theory. First chapter deals with formulation of mathematical model of travelling salesman problem including uncertainty in the evaluation of individual connections and creating of robust scenarios for selected routing transportation problem. In the second part, the model of travelling salesman problem with time windows is constructed and calculated. The chosen robust scenario from previous part is used as the basis for this model. Finally, the results are compared with company's current situation and economic evaluation is made.

**Keywords:** travelling salesman problem, NP-complete problems, logistics, Branch and Bound method, robust optimization, traffic models, operational research

# Obsah

<b>1 Úvod</b>	<b>1</b>
<b>2 Cíl práce a metodika</b>	<b>2</b>
2.1 Cíl práce	2
2.2 Metodika	2
<b>3 Teoretická východiska</b>	<b>4</b>
3.1 Logistika	4
3.1.1 Cíle logistiky	5
3.1.2 Dopravní logistika	5
3.2 Operační výzkum	5
3.2.1 Historie operačního výzkumu	5
3.2.2 Vymezení operačního výzkumu	6
3.3 Matematické modelování	7
3.4 Celočíselné programování	9
3.4.1 Formulace úlohy celočíselného programování	10
3.4.2 Metody řešení celočíselného programování	11
3.4.3 Metoda Větvení a mezí (Branch and bound)	11
3.5 Distribuční úlohy	12
3.5.1 Jednostupňová dopravní úloha (JDÚ)	12
3.5.2 Matematický model JDÚ	13
3.6 Problém obchodního cestujícího (TSP)	13
3.6.1 Charakteristika	15
3.6.2 Statické a dynamické úlohy	15
3.6.3 Statická úloha obchodního cestujícího	16
3.6.4 Statická úloha obchodního cestujícího s časovými okny	17
3.6.5 Matematický model problému obchodního cestujícího s časovými okny	18
3.6.6 NP-úplné problémy	19
3.7 Robustní optimalizace	20
3.7.1 Matematický model	21
3.8 Softwarové řešení matematických modelů	23
3.8.1 Gurobi optimizer	23
<b>4 Vlastní práce</b>	<b>26</b>
4.1 Charakteristika subjektu	26
4.2 Problémová situace (Fáze inteligence)	26
4.3 Robustní optimalizace	30
4.3.1 Úprava a konstrukce matematického modelu (Fáze design)	30



4.3.2	Výpočet a analýza scénářů (Fáze choice)	33
4.4	TSP s časovými okny	42
4.4.1	Konstrukce matematického modelu (Fáze design)	42
4.4.2	Výpočet (Fáze choice)	44
<b>5</b>	<b>Výsledky a diskuse</b>	<b>46</b>
5.1	Konstrukce robustních scénářů	46
5.2	Optimalizace v mezinárodní kamionové dopravě	48
5.3	Doporučení	49
<b>6</b>	<b>Závěr</b>	<b>51</b>
<b>7</b>	<b>Seznam použitých zdrojů</b>	<b>53</b>
<b>8</b>	<b>Přílohy</b>	<b>57</b>

## Seznam obrázků

Obrázek 1	Supply chain	4
Obrázek 2	Průběh rozhodovacího procesu	9
Obrázek 3	Úplná síť cest	17
Obrázek 4	Neúplná síť cest	17
Obrázek 5	Model obchodního cestujícího upravený pro program Gurobi – 1. část	23
Obrázek 6	Model obchodního cestujícího upravený pro program Gurobi - 2. část	24
Obrázek 7	Výstupní data z programu Gurobi	25
Obrázek 8	Výsledný okruh pro $\delta_{ijc} = 0,1cij$ a $\Gamma = 18$	33
Obrázek 9	Výsledný okruh pro $\delta_{ijc} = 0,1cij$ a $\Gamma = 36$	36
Obrázek 10	Výsledný okruh pro $\delta_{ijc} = 0,1cij$ a $\Gamma = 54$	37
Obrázek 11	Výsledné pořadí míst pro $\delta_{ijc} = 0,15cij$ a $\Gamma = 18$	39
Obrázek 12	Mapa okruhu pro $\delta_{ijc} = 0,15cij$ a $\Gamma = 18$	39
Obrázek 13	Výsledný okruh pro $\delta_{ijc} = 0,15cij$ a $\Gamma = 36 - 342$	40
Obrázek 14	Výsledný okruh (se zahrnutím časových oken)	44
Obrázek 15	Optimální pořadí míst vč. hodnot $W_i$	45
Obrázek 16	Pořadí míst pro nejpravděpodobnější scénář ( $\delta_{ijc} = 0,1cij$ )	46
Obrázek 17	Pořadí míst pro $\delta_{ijc} = 0,1cij$ $\Gamma = 54$	47
Obrázek 18	Optimální pořadí míst vč. hodnot $W_i$	48

## Seznam tabulek

Tabulka 1	Seznam míst	28
Tabulka 2	Matice vzdáleností (v hodinách)	29
Tabulka 3	Výsledné hodnoty hodnot pro $\delta_{ijc} = 0,1cij$ $\Gamma = 18$	34
Tabulka 4	Výsledné hodnoty pro $\delta_{ijc} = 0,1cij$ a $\Gamma = 36$	37
Tabulka 5	Výsledné hodnoty pro $\delta_{ijc} = 0,1cij$ a $\Gamma = 54$	38
Tabulka 6	Výsledné hodnoty pro $\delta_{ijc} = 0,15cij$ a $\Gamma = 18$	40
Tabulka 7	Výsledné hodnoty pro $\delta_{ijc} = 0,15cij$ a $\Gamma = 36 - 342$	41
Tabulka 8	Časová okna a doby obsluhy	43

# 1 Úvod

V praxi existuje mnoho případů využití dopravních modelů, především v oblasti přepravy zboží od dodavatelů k odběratelům, a to zejména takových, které minimalizují přepravní náklady. Tyto problémy jsou navíc omezeny nejen požadavky odběratelů a kapacitami dodavatelů, ale také časem, kapacitou vozidel či dalšími podmínkami, které zužují množinu přípustných řešení.

V mezinárodní kamionové dopravě je v dnešní době velký tlak na cenu, rychlost a spolehlivost. Nároky na schopnosti dispečerů stále narůstají a proto se využívá množství podpůrných nástrojů a programů, hlavně v oblasti výběru objednávek. Plánování dopravy a přijímání objednávek je však stále z největší části prováděno na základě zkušeností a schopností dispečerů. Přitom právě na činnosti dispečera nejvíce závisí, jak dobře bude doprava naplánována nejen z pohledu využití kapacit vozidel, ale také z pohledu vzdálenosti, času a jak budou efektivně vytěžováni jednotliví řidiči. Od toho se odvíjí výše nákladů a tedy i zisku společnosti.

Pro kamionovou dopravu je typický charakter úlohy obchodního cestujícího, tj. případ, kdy má vozidlo navštívit všechna místa v okruhu právě jednou a vrátit se zpět do výchozího místa co nejkratší cestou. Samotný problém obchodního cestujícího se řadí mezi tzv. NP-úplné úlohy a řadí se mezi jednu z neznámějších kombinatorických úloh současnosti.

Diplomová práce se věnuje použití úlohy obchodního cestujícího v mezinárodní kamionové dopravě a zahrnutí hlediska nejistoty v ohodnocení jednotlivých spojů prostřednictvím robustního optimalizačního modelu. Práce je zaměřena na minimalizaci vzdálenosti a času a s tím související minimalizaci nákladů.

## 2 Cíl práce a metodika

### 2.1 Cíl práce

Cílem práce je aplikace okružního dopravního problému s časovými okny v mezinárodní kamionové dopravě za účelem minimalizace času a nákladů přepravy.

Dílčím cílem je analýza problému za předpokladu nejistoty v ohodnocení jednotlivých tras a návrh robustních scénářů pro zvoleného dopravce.

### 2.2 Metodika

Diplomová práce je rozdělena na dvě části. První, teoretická část, vychází ze studia odborné literatury a vybraných článků z odborných periodik. Zabývá se zejména logistikou, operačním výzkumem a celočíselným programováním. Dále je blíže rozebrána problematika dopravních úloh, především okružního dopravního problému a konkrétní matematické modely, které jsou pro jeho řešení využívány.

Praktická část je rozdělena do dvou částí. Nejprve je ve fázi *intelligence* podle Simonovy teorie definován řešený problém a na základě získaných informací je sestavena matice vzdáleností. Z tohoto modelu následně vychází další části práce. Nejprve je použit robustní optimalizační přístup:

1. Fáze *design* se věnuje úpravě modelu tak, aby mohlo být do modelu zahrnuto hledisko nejistoty v ohodnocení jednotlivých tras. Dále jsou stanoveny scénáře, které budou ve fázi *choice* vypočítány a porovnány.
2. Ve fázi *choice* je proveden výpočet jednotlivých scénářů a analýza výsledných okruhů. Z těchto výsledků je na základě konzultace s pověřeným pracovníkem firmy vybrán nejpravděpodobnější scénář, který je použit v další části práce.

Druhá část se věnuje zahrnutí časových oken do modelu obchodního cestujícího:

1. Fáze *design* se věnuje aplikaci modelu obchodního cestujícího s časovými okny na vybraný scénář z předchozí části práce. Jsou sestavena časová okna pro jednotlivá místa v okruhu, stanovena doba obsluhy a podle těchto informací je sestaven samotný matematický model.
2. Ve fázi *choice* je proveden výpočet sestaveného modelu a analýza výsledného okruhu.

V poslední části je výsledný model ekonomicky zhodnocen, porovnán se současným řešením firmy a jsou vyvozeny doporučení pro příslušnou firmu. Ke všem výpočtům je použit program Gurobi optimizer.

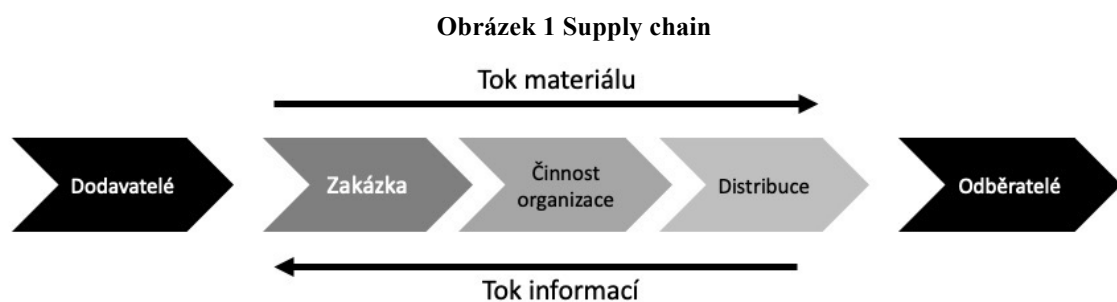
### 3 Teoretická východiska

Teoretická část této práce se věnuje zejména logistice, operačnímu výzkumu a problému obchodního cestujícího a jeho variantám řešeným v praktické části. Blíže bude rozebrán robustní přístup a model obchodního cestujícího s časovými okny.

#### 3.1 Logistika

Logistika je disciplína, která se zabývá pohybem zboží a materiálu z místa vzniku do místa spotřeby a s tím souvisejícím informačním tokem. Věnuje se všem komponentům oběhového procesu, především dopravy, řízením zásob, manipulace s materiálem, balení, distribuce a skladování. Součástí logistiky jsou také komunikační, informační a řídicí systémy. Úkolem logistiky je zajistit správné zboží (materiál, službu), se správnou kvalitou, u správného zákazníka, ve správném množství, na správném místě ve správný okamžik s vynaložením přiměřených nákladů, tzv. požadavek „Sedm S“. (Drahotský, 2003; Sixta, 2005)

Kotler (2001) logistiku definuje jako proces realizace a kontroly fyzického toku materiálu a hotových výrobků od místa původu až po místo spotřeby tak, aby uspokojily potřeby zákazníka, s dosažením zisku. Kain (2018) dále uvádí, že se jedná v podstatě o integrační proces, který optimalizuje tok materiálu a zboží napříč organizací a jejich činnostmi s cílem dostat zboží k zákazníkovi, za splnění principu „Sedm S“ (anglicky Seven R's“).



Zdroj: (Kain, 2018)

Logistika představuje poměrně novou metodologii podnikové organizace. Pohled na důležitost logistiky a její integrace do managementu podniku se měnila hlavně ve vztahu ke koncentraci výrobních kapacit, které v 90. letech předstihly možnosti do té doby dostupných možností distribuce a vzhledem ke změně orientace z trhu výrobce (omezený sortiment výrobků ve velkých výrobních sériích) k trhu zákazníka, jejímž důsledkem byla potřeba

rychlé inovace výrobků s širokou paletou sortimentu. Tato změna kromě jiného vyvolala silný tlak na snižování neúměrně zvyšujících se nákladů v oblasti distribuce a to vedlo k vývoji levnějších a účinnějších metod distribuce. Větší rozmach lze zaznamenat také s dostupností technických prostředků, moderních technologií a výpočetní techniky.

Význam logistiky stále roste s rozvojem přechodu na globální trhy. Úspory nákladů dosažitelné uplatňováním logistiky jsou v zemích s fungujícím distribučním systémem odhadovány až na 10%. (Sixta, 2005)

### **3.1.1 Cíle logistiky**

Hlavními kritérii, podle kterých lze dělit cíle logistiky, je oblast jejich působení (z pohledu podniku na vnější či vnitřní) a způsob měření jejich výsledků. Vnější logistické cíle se zaměřují na uspokojování přání zákazníků, kteří je uplatňují na trhu. To přispívá k udržení, případně k dalšímu rozšíření rozsahu realizovaných služeb. Mezi tyto cíle logistiky lze zařadit zvyšování objemu prodeje, zkracování dodacích lhůt, zlepšování spolehlivosti a úplnosti dodávek a zlepšování flexibility logistických služeb. Vnitřní cíle logistiky se zaměřují především na snižování nákladů. Jedná se o náklady na zásoby, dopravu, manipulaci a skladování, výrobu atd. (Sixta a Mačát, 2005)

### **3.1.2 Dopravní logistika**

Dopravní logistika je jednou z aplikačních oblastí logistiky. Zabývá se řízením dopravních a přepravních procesů zejména při pohybu zásilek, rozmístěním kapacit a souvisejících pohybů prostředků a zařízení, jejichž součinnost vyžaduje uskutečnění přepravy určité zásilky či přepravy osob. Řízení dopravních procesů je zaměřeno na pohyb přepravních prostředků, manipulačních a dopravních zařízení. Součástí dopravní logistiky je i řízení činností dopravních uzlů na dopravní síti a řízení informačních toků. (Štůsek, 2005)

## **3.2 Operační výzkum**

### **3.2.1 Historie operačního výzkumu**

Počátky rozvoje operačního výzkumu spadají zejména do 30. a 40. let 20. století. Významný rozvoj této disciplíny nastal hlavně během 2. světové války, kdy v USA a Velké Británii fungovaly speciální týmy pracovníků pro analýzu strategických a taktických

vojenských problémů a operací. Po ukončení války začaly metody operačního výzkumu pronikat i do civilního průmyslu a do dalších oblastí. Významný mezník byl prudký ekonomický rozvoj v 50. letech. Vznik a vývoj operačního výzkumu je spjat se jmény jako G. B. Dantzig nebo L. Kantorovič.

Dalším důkazem o rozvoji operačního výzkumu je počet a intenzita pořádání odborných konferencí, četnost vydávání nových publikací a časopisů s odborným zaměřením na operační výzkum. Velký vliv na vývoj operačního výzkumu má jednoznačně rozvoj a využívání informačních technologií a výpočetní techniky. (Gros, 2003; Jablonský, 2002)

### 3.2.2 Vymezení operačního výzkumu

Operační výzkum či operační analýza (eng. operations research nebo management science) je soubor relativně samostatných vědních disciplín, které se zabývají analýzou různých typů rozhodovacích problémů. (Lagová, 2004)

Jak uvádí Klapka (1996), jedná se o vědeckou disciplínu, která se zabývá analýzou operací spjatých s řízením, fungováním a navrhováním složitých společensko-ekonomicko-technických systémů, tj. organizačních jednotek, v nichž spolu existují lidé a technická zařízení a v nichž existují sociální, technické a materiálové vazby. Příkladem takového systému může být průmyslový podnik, kterýkoli jeho provoz, systém veřejné dopravy apod.

Neexistuje však jedna univerzální definice operačního výzkumu a v současné době je používáno vícero označení pro tuto oblast exaktních metod. Je to způsobeno různými pohledy a vývojem operačního výzkumu. Níže je uvedeno pro srovnání několik definic.

- Dle Kaufmanna (1963):  
*“Operační výzkum je vědecký přístup k rozhodování.”*
- Dle Winstona (1995):  
*“Operační výzkum je vědecký přístup k hledání řešení, který usiluje o to, jak navrhovat a řídit systémy obvykle za podmínek vyžadujících lokalizaci omezených zdrojů”*
- Dle organizace Society of Operational Research:  
*„Operační výzkum je vědecký přístup k řešení problémů v řízení komplexních systémů a umožňuje rozhodovatelům dělat vědecky podložená rozhodnutí. ... Napomáhá při strategických, taktických a operativních rozhodnutích, stejně tak*

*pomáhá při vytváření veřejné politiky. ... Většina problémů, které operační výzkum řeší, jsou složité a často obsahují faktor nejistoty. “*

Na základě uvedených definic lze říci, že operační analýza má několik typických znaků:

- zaměření na podporu rozhodování při řešení problémů s navrhováním a řešením rozsáhlých a složitých systémů v různých aplikačních oblastech,
- při řešení problémů využívá vědecký přístup spojený s aplikací modelové techniky,
- uplatnění systémového řešení,
- týmová organizace práce,
- respektování dynamiky a stochastické povahy reálných procesů.

Jak vyplývá z výše uvedených charakteristik, operační analýza je vědní disciplína, nebo spíše soubor vědních oborů, která se zabývá zkoumáním operací v rámci nějakého systému. Cílem je přitom stanovit takovou úroveň provádění těchto operací nebo jejich vzájemné vztahy tak, aby bylo zajištěno co možná nejlepší fungování systému. Pro posuzování toho, jak systém funguje, zda lépe nebo hůře, je nutné stanovit nějaké kritérium či více kritérií.

Samotné fungování systému však závisí na zdrojích, které bývají často omezené. Dále také na provádění jiných operací, které jsou mezi sebou závislé (např. používáním stejných zdrojů, případně návazností jednotlivých operací), na vnějších vlivech na chod systému atd. (Jablonský, 2002)

### **3.3 Matematické modelování**

Základním nástrojem operační analýzy je matematické modelování. Jestliže je za pomoci operačního výzkumu analyzován nějaký systém, děje se tak prostřednictvím matematického modelu daného systému. Při analýze modelu reálného systému je třeba brát v úvahu, že model je pouze zjednodušeným obrazem reality. I přesto je matematický model nositelem celé řady výhod, díky kterým se stává často jediným prostředkem pro studium modelovaného systému.

Mezi základní výhody matematického modelování patří:

- strukturalizace systému a specifikace všech možných variant stavu systému (těch může být často neomezené množství),
- analýza chování systému ve zkráceném čase pomocí počítačové simulace - některé procesy mohou v reálném světě trvat dny, měsíce případně roky,



- snadná manipulace a provádění číselných experimentů pomocí změn příslušných parametrů modelu
- nižší náklady na realizaci modelu než v případě experimentování s reálným systémem. (Jablonský, 2002)

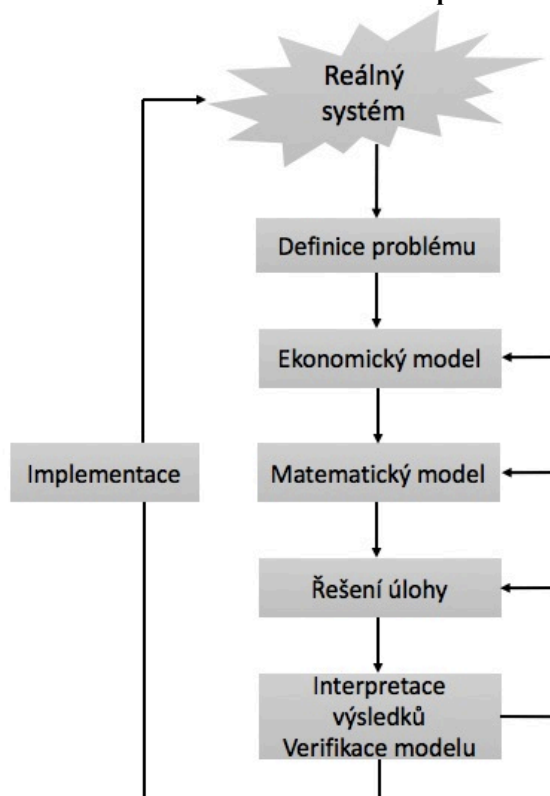
Aby byly matematické modely operačního výzkumu použitelné a poskytovaly podstatné informace, musí obsahovat srozumitelný popis všech relevantních faktorů dané situace a umožnit tak studovat všechny důležité vztahy mezi prvky zkoumaného systému. Existuje mnoho druhů matematických modelů, avšak jejich podstata je vždy stejná, představují matematické schéma (např. soustavu rovnic a funkcí) popisující daný systém.

Jako příklady některých klasických modelů operační analýzy lze zmínit:

- **Optimalizační modely** - skupina velmi obecných modelů sloužících k nalezení nejlepšího řešení problému a řešeními jsou prvky konečné či nekonečné množiny. Patří sem lineární, dynamické či stochastické programování.
- **Distribuční a dopravní modely** - slouží k řešení problémů s dopravou či distribucí.
- **Modely plánování a řízení projektů** - umožňují časovou, nákladovou a zdrojovou analýzu projektů.
- **Simulační modely** - popisují a napodobují strukturu i chování zkoumaných objektů. Spadají sem modely hromadné obsluhy, zásob, obnovy a marketingové modely. (Brožová a Houška, 2002)

Při aplikaci některého z odvětví operačního výzkumu lze rozlišit několik základních na sebe navazujících fází rozhodovacího procesu (viz obrázek 2).

Obrázek 2 Průběh rozhodovacího procesu



Zdroj: Vlastní zpracování dle Fábry (2011)

### 3.4 Celočíselné programování

V běžné úloze lineárního programování se předpokládá, že rozhodovací proměnné mohou nabývat v optimálním řešení jakýchkoli reálných hodnot. V řadě praktických situací ale potřebujeme pouze celočíselné hodnoty rozhodovacích proměnných. Například nemůžeme dodat na trh 120,3 auta nebo přijmout ke studiu 52,6 studenta. Lze sice celočíselné hodnoty získat prostým zaokrouhlením nebo odseknutím desetinné části a v mnoha případech takto získat uspokojivé výsledky. Existují však situace, kdy tento přístup vede k velkým chybám ve srovnání s hodnotou účelové funkce celočíselného optimálního řešení, nebo nedává řešení přípustné. (Klapka, 1996)

U běžné úlohy lineárního programování se předpokládá, že optimalizované proměnné se mohou spojitě měnit. Objemy produkce mohou být vyráběny v libovolném množství, lze spojitě vynakládat finanční prostředky apod. Existují však situace, kde proměnné modelu mohou nabývat pouze předem stanovených hodnot a musí se jednat o celá čísla, např. musí být objednána pouze celá balení výrobku, automobily jsou dodávány po kusech atd. (Gros, 2003)

Celočíselné programování je speciální úlohou lineárního programování, kdy je standardní úloha LP doplněna o podmínky celočíselnosti, tj. o podmínky, pomocí kterých je zabezpečeno, aby všechny nebo jen některé proměnné úlohy nabývaly pouze celočíselných hodnot. Podmínky celočíselnosti většinou vyplývají přímo z formulace ekonomického modelu daného problému.

Kromě obecných úloh celočíselného programování se vyskytují také úlohy, kdy se mohou vyskytovat podmínky, aby proměnné nabývaly pouze hodnot 1 a 0 - takové proměnné se nazývají bivalentní. Tyto požadavky se vyskytují například u okružního dopravního problému nebo přiřazovací úlohy. Z čehož vyplývá, že okružní dopravní problém je úlohou celočíselného programování. Úlohy celočíselného programování, které obsahují pouze bivalentní proměnné se označují jako úlohy bivalentního programování. (Jablonský, 2002)

Samotný požadavek celočíselnosti snižuje počet možných variant, proto se jako řešení nabízí prostý výpočet účelové funkce pro všechny možné kombinace přípustných hodnot proměnných a nalezení takové UF, která zajišťuje požadovaný extrém. Avšak použití tohoto řešení není v praxi možné. V případě že by měl model 10 proměnných a každá z nich by měla 5 přípustných celočíselných hodnot, byl by počet variant které by bylo nutné analyzovat roven  $5^{10}$ . V reálných situacích se může jednat o tisíce proměnných, proto by tento postup nebylo možné aplikovat v rozumném čase při rozumných nákladech. (Gros, 2003)

### 3.4.1 Formulace úlohy celočíselného programování

Obecná formulace úlohy celočíselného programování může být takováto (Hladík, 2017):

$$\text{Max } f(x)$$

za podmínek

$$g_j(x) \leq 0 \quad \forall j = 1, \dots, m \quad (3.1)$$

$$x_i \in Z \quad \forall i \in C \quad (3.2)$$

kde

$$C \subseteq \{1, \dots, n\} \quad (3.3)$$

V takovémto případě je podmínka celočíselnosti kladena pouze na některé proměnné, jedná se tedy o tzv. smíšenou úlohu celočíselného programování.

Pokud by se podmínka celočíselnosti týkala všech proměnných, byla by formulována takto:

$$C = (1, \dots, n) \quad (3.4)$$

V tomto případě se jedná o čistou úlohu celočíselného programování. (Hladík, 2017)

### 3.4.2 Metody řešení celočíselného programování

Při volbě vhodného přístupu k řešení celočíselné úlohy je třeba brát v úvahu celou řadu aspektů. Mezi nejdůležitější se řadí rozsah množiny přípustných řešení. Vzhledem k tomu, že většina celočíselných úloh má konečný počet přípustných řešení, je možné zvážit výpočet za pomoci sestavení všech možných kombinací hodnot jednotlivých proměnných, vyloučit kombinace narušující omezení a vybrat nejlepší řešení za základě srovnání hodnot účelové funkce. Tento postup je ovšem reálně použitelný pouze u úloh s malým počtem proměnných a malým počtem možných kombinací. V mnoha praktických problémech je počet přípustných řešení velký a je nutno použít jiný přístup.

V některých případech je praktický přístup k řešení úlohy celočíselného programování skutečně takový, že se zanedbají podmínky celočíselnosti a pro následně získané optimální hodnoty rozhodovacích proměnných se provede úprava prostým zaokrouhlením na celočíselné hodnoty. Výhodou takového přístupu je úspora nákladů a času, které by bylo třeba vynaložit na formulaci a řešení celočíselného modelu. (Klapka, 1996)

Existuje celá řada metod pro řešení úloh celočíselného programování. Lze zmínit metodu sečných nadrovin, heuristické metody a kombinatorické metody, mezi něž se řadí také metoda větvení a mezí, která bude použita v praktické části práce a bude dále blíže popsána v samostatné kapitole.

### 3.4.3 Metoda Větvení a mezí (Branch and bound)

První myšlenka této metody byla nezávisle rozvinuta několika autory během 50. let 20. století. První algoritmus zformulovali ve svém článku Land a Doig (1960), ovšem první rozumná implementace metody se objevuje až u Dakina v roce 1965. (Hladík, 2017)

Metoda se řadí, jak již bylo řečeno výše, mezi kombinatorické algoritmy. Princip

metody je natolik obecný, že ji lze po jistých úpravách použít pro celou řadu úloh celočíselného programování, například právě pro řešení úlohy obchodního cestujícího. (Jablonský, 2002)

Postup metody spočívá v systematickém procházení množiny potenciálních přípustných řešení úlohy, ve snaze vytvořit jednodušší řešitelné dílčí problémy (větve), přičemž se vyřazují podmnožiny nevhodných kandidátů.

Při výpočtu jsou využívány horní a dolní odhady hodnot (meze). V průběhu výpočtu se tyto meze zpřesňují ve snaze dostat se co nejbližší optimu. Pomocí těchto mezí je určováno, zda se v dané podmnožině nalézá lepší či horší řešení oproti dříve nalezeným. V případě horšího řešení se tato podmnožina vyřadí z celkového řešení a výpočet pokračuje větvením podmnožiny s lepší hodnotou. (Applegate, 2006,)

### **3.5 Distribuční úlohy**

Distribuční úlohy jsou speciální skupinou úloh lineárního programování, mezi které se řadí jednostupňové a vícestupňové dopravní úlohy, přiřazovací úlohy, okružní, trasovací a mnohé další. Veškeré tyto úlohy se dají vyjádřit za pomoci lineárních modelů. Vzhledem ke specifickým vlastnostem některých ze zmíněných modelů, je možné využít specifické metody, které jsou jednodušší než simplexová metoda. U jiných naopak velikost modelů i při malé velikosti úlohy - malém počtu míst, mezi nimiž je třeba přepravu zajistit - vyžadovala výpočetní kapacitu, která neumožní efektivně nalézt jejich přesné teoretické optimum. (Šubrt a kol., 2011)

#### **3.5.1 Jednostupňová dopravní úloha (JDÚ)**

Jednostupňová dopravní úloha je nejjednodušším z distribučních modelů. Cílem modelu je najít takový plán dopravy mezi dodavateli a spotřebiteli, při kterém budou celkové náklady na přepravu minimální, kapacity dodavatelů budou vyčerpány a požadavky spotřebitelů budou uspokojeny. (Brožová a Houška, 2002)

Předpokládá se, že k přepravě je využíván unifikovaný druh dopravního prostředku, mezi každým dodavatelem a spotřebitelem existuje pouze jedna dopravní cesta, po které je možné přepravovat libovolné množství produktu, a náklady na přepravu jsou přímo úměrné množství přepravovaného produktu. (Šubrt a kol., 2011)

### 3.5.2 Matematický model JDÚ

Dopravní úloha je speciálním případem modelu lineárního programování. Její matematický model se tedy skládá ze tří částí - účelové funkce, omezujících podmínek a podmínek nezápornosti.

Hledáme minimum lineární funkce

$$\sum_{i=1}^m \sum_{j=1}^n c_{ij} x_{ij} \rightarrow MIN \quad (3.5)$$

za podmínek

$$\sum_{j=1}^n x_{ij} = a_i, \quad i = 1, 2, \dots, m \quad (3.6)$$

$$\sum_{i=1}^m x_{ij} = b_j, \quad j = 1, 2, \dots, n \quad (3.7)$$

$$x_{ij} \geq 0 \quad i = 1, 2, \dots, m; j = 1, 2, \dots, n \quad (3.8)$$

kde:

$a_i$  = kapacity dodavatelů,

$b_j$  = požadavky spotřebitelů,

$c_{ij}$  = cena za přepravu jednotky,

$x_{ij}$  = množství přepravovaného produktu. (Šubrt a kol., 2011; Fábry, 2011)

Veškeré výše popsané parametry dopravního modelu lze přehledně zapsat do tzv. dopravní tabulky, ve které se také provádí výpočet. Zdroj: (Šubrt a kol., 2011)

### 3.6 Problém obchodního cestujícího (TSP)

Podle Reinelta (1994) je problém obchodního cestujícího (jinak také okružní dopravní problém) jednou z největších matematických otázek současnosti a zabývá se jím mnoho odborníků z několika oborů. Jeho atraktivita spočívá ve faktu, že se jedná o poměrně jednoduše formulovatelný problém, který má však veškeré aspekty kombinatorické optimalizace a je využíván k testování pro nové algoritmy, např. pro neuronové sítě.

Mezi nejvýznamnější osobnosti, které se zasadily o pokrok v oblasti řešení problému obchodního cestujícího se řadí Dantzig, Fulkerson a Johnson. Pomocí aplikace lineárního programování se jim v roce 1954 podařilo vyřešit problém s 48 městy bez využití počítače.

Posledním dosaženým počtem míst, pro které byl problém obchodního cestujícího vyřešen, je 85900. Stalo se tak v roce 2006 a jednalo se o nalezení optimální trasy pro laser, který měl vytvořit zákazníkovi počítačový čip. (Cook, 2012)

Okružní dopravní problém je také zajímavý svým širokým využitím, a to nejen na poli dopravy, ale také v jiných odvětvích, např. jak uvádí Cook (2012), v oblasti genetického výzkumu, v pozorování planet a vesmíru (směrování teleskopů, rentgenových paprsků a laserů), kdy není fyzické navštívení místa možné a ani nutné, v ovládání průmyslových spojů, třídění dat atd. Vzhledem k množství modifikací problému obchodního cestujícího pro jeho reálné využití existuje celá řada algoritmů pro pokrytí těchto speciálních příkladů.

Některé firmy se zabývají přepravou zásilek menších rozměrů (balíčky, obálky) mezi dvěma místy a může se mnohdy jednat o velké vzdálenosti, jedná se o tzv. úlohu kurýrní služby (*messenger problem*). V tomto případě nehraje roli velikost dodávky, ovšem v jiných případech může být právě prostor vozidla stěžejní faktor. Takováto úloha je označována jako *pickup-and-delivery problem*.

Další často využívaná podoba problému obchodního cestujícího je model s časovými okny. V této úloze je zahrnuto časové hledisko v podobě intervalu, kdy má být daný uzel obsloužen. (Fiala, 2010) Z důvodu použití tohoto modelu v praktické části mu bude věnována samostatná kapitola.

Z některých dalších speciálních variant TSP lze jmenovat problém obchodního cestujícího s provázanou dvojicí uzlů pro vyzvednutí a dodávku (*The traveling salesman problem with pickups, deliveries, and draft limits*), kterou se zabývá Malaguti (2018), který pro každého zákazníka definuje „pickup“ uzel a „delivery“ uzel a hledá za dodržení stanovených omezujících podmínek „nejlevnější“ cestu.

Jako další modifikaci lze zmínit „*The prize money collecting traveling sales man problem*“ (Balas, 1989), kde obchodní cestující navštěvuje města na základě odměny, kterou dostane, pokud město navštíví a „pokuty“ za každé město, které nenavštíví. Cílem této varianty TSP je minimalizovat cenu cesty a výši „pokut“ za nenavštívená místa, a zároveň získat alespoň předepsanou částku (*prize money*).

### 3.6.1 Charakteristika

S okružním dopravním problémem se setkáváme v případě, kde se jakékoliv produkty pravidelně rozváží z jednoho místa nebo naopak sváží na jedno místo a uspokojovat jednotlivé požadavky samostatně není příliš výhodné. Cílem je vyjet ze startovního uzlu, navštívit všechny ostatní uzly právě jednou a vrátit se zpět do výchozího místa tak, aby byla délka okruhu minimální. (Pelikán a Chýna, 2011)

Existuje mnoho typů okružních úloh a nejjednodušší z nich je jednookruhový dopravní problém. Přeprava mezi všemi obsluhovanými místy má být realizována jedním okruhem.

Dalším případem spadajícím pod okružní dopravní problémy je tzv. trasovací problém, jinak také víceokruhový dopravní problém. Zde nejčastěji časové nebo kapacitní omezující podmínky nedovolují realizovat přepravu jedním okruhem a je třeba ji rozdělit do okruhů více. (Šubrt a kol., 2011)

Z matematického hlediska patří okružní dopravní problém mezi tzv. NP-úplné problémy. Tato problematika bude více přiblížena později.

### 3.6.2 Statické a dynamické úlohy

Vzhledem k vysokým nárokům, které jsou v dnešní době kladeny, je důležité rozlišovat statické a dynamické úlohy. Distribuční úlohy, v nichž jsou předem, tj. předtím, než je úloha předána analytikům k řešení, známy všechny informace o zákaznících a jejich požadavcích, se nazývají statické úlohy. V reálných situacích však firma musí reagovat i na požadavky, které přicházejí až po nalezení optimálního řešení, v případě okružních a rozvozních úloh optimálních tras. Předmětem dynamického přístupu se stává rozhodnutí o tom kdy a kdo (v případě použití více vozidel) nově vzniklý požadavek obslouží. (Fiala, 2010)

V dynamické úloze obchodního cestujícího může kdykoli během realizace jízdy přijít nový požadavek od zákazníka nacházejícího se kdekoli v předem určeném území, resp. od kohokoli z předem známé množiny zákazníků. V praxi se to projevuje přijetím nového požadavku dispečera a ten rozhodne o zařazení do předem naplánovaného okruhu, resp. do zbývajících částí okruhu, kterou vozidlo ještě musí absolvovat. (Fábry, 2006)

Práce se bude dále zabývat pouze statickou úlohou obchodního cestujícího a veškeré požadavky jednotlivých zákazníků budou známy před samotným výpočtem modelu.



### 3.6.3 Statická úloha obchodního cestujícího

V obecné formulaci je dáno  $n$  míst (uzlů) a sazba  $c_{ij}$  pro každou dvojici míst, která představuje vzdálenost, čas, případně náklady pro spojení těchto uzlů. Cílem úlohy je propojit všechna místa okružním spojením tak, aby součet sazeb pro jednotlivá spojení byl v této kombinaci minimální. Každé místo se vyskytuje právě jednou s výjimkou výchozího bodu, který uzavírá okruh. (Šubrt a kol., 2011)

Cílem je najít minimum lineární funkce

$$z = \sum_{i=1}^n \sum_{j=1}^n c_{ij} x_{ij} \quad (3.9)$$

za podmínek

$$\sum_{j=1}^n x_{ij} = 1, \quad i = 1, 2, \dots, n \quad (3.10)$$

$$\sum_{i=1}^n x_{ij} = 1, \quad j = 1, 2, \dots, n \quad (3.11)$$

$$u_i - u_j + n x_{ij} \leq n - 1 \quad i = 1, 2, \dots, n; j = 1, 2, \dots, n; i \neq j \quad (3.12)$$

$$x_{ij} \in \{0; 1\} \quad i = 1, 2, \dots, n; j = 1, 2, \dots, n \quad (3.13)$$

kde

$n$  = počet míst, které vozidlo musí projet,

$c_{ij}$  = vzdálenost mezi místy  $i$  a  $j$ ,

$x_{ij}$  = bivalentní proměnná, nabývá hodnot 0, 1,

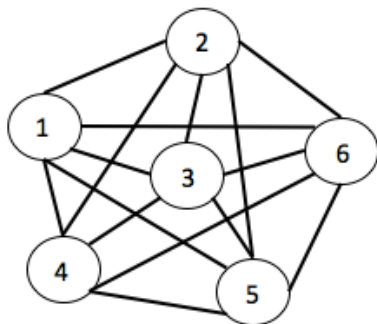
$u$  = pomocná proměnná modelu,

podmínky (3.10) a (3.11) zajišťují, že každé místo bude navštíveno právě jednou,

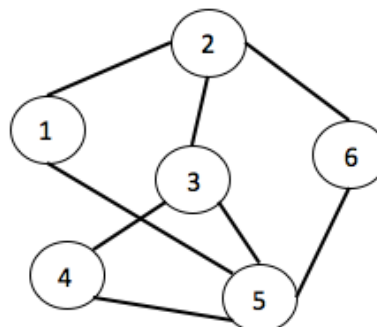
podmínka (3.12) s proměnnou  $u_i$  je opatřením proti vytváření parciálních cyklů. (Fábry, 2006)

Jednookruhové dopravní problémy se dělí na dva typy, které se odlišují charakterem spojení jednotlivých míst v dopravní síti. Jedná se o tzv. problém s úplnou sítí cest, ve kterém existuje mezi libovolnou dvojicí míst přímé dopravní spojení a problém s neúplnou sítí cest, kde přímé spojení každé dvojice neexistuje.

Obrázek 3 - Úplná síť cest



Obrázek 4 - Neúplná síť cest



Zdroj: vlastní zpracování dle (Brožová a Houška, 2002)

### 3.6.4 Statická úloha obchodního cestujícího s časovými okny

Klasická úloha obchodního cestujícího s časovými okny (TSPTW) předpokládá podobně jako TSP znalost všech požadavků před začátkem jízdy. Pro každého zákazníka je navíc definován časový interval, ve kterém má být realizována jeho obsluha. Jedná se o standardní optimalizační okružní úlohu, ve které je cílem určit pořadí, v němž budou místa navštívena tak, aby byly splněny požadavky zákazníků a náklady spojené s rozvozem, resp. se svozem, byly minimální.

Časové okno u  $i$ -tého zákazníka je definováno intervalem mezi nejdříve možným začátkem obsluhy  $e_i$  a nejpozději přípustným začátkem obsluhy  $l_i$ . Okamžik, ve kterém začne reálná obsluha  $i$ -tého zákazníka, se značí  $a_i$ . (Fábry, 2006)

Omezení  $a_i \geq e_i$ , značí, že obsluha  $i$ -tého zákazníka nesmí začít před nejdříve možným termínem zahájení obsluhy. Pokud přijede vozidlo k zákazníkovi před nejdříve možným začátkem, musí čekat až do tohoto termínu. Pokud vozidlo nestihne přijet do nejpozději přípustného termínu, tj. pokud  $a_i > l_i$  pak vzniká penále, tj. náklady spojené s nedodržením zákaznickova požadavku. Tato omezení jsou, jak uvádí Gendreau (1999) označována jako „soft“, tedy slabá omezení. V reálném světě se ale vyskytují i případy, které nepřipouštějí možnost obsluhy mimo časové stanovené okno a pro všechny zákazníky musí platit  $e_i \leq a_i \leq l_i$ . Tento typ omezení se označuje jako tzv. tvrdé („hard“) omezení. (Fábry, 2006)

Protože vozidlo musí respektovat časové okno zákazníka  $j$ , ve kterém má dojít k jeho obsluze, existují dvě strategie čekání vozidla u zákazníků:

- Vozidlo odjede k zákazníkovi  $j$  bezprostředně po dokončení obsluhy zákazníka  $i$ . Pokud přijede k zákazníkovi  $j$  před otevření časového okna, bude čekat do okamžiku  $e_j$ .
- Vozidlo zůstane u zákazníka  $i$  a k zákazníkovi  $j$  odjede v takovém okamžiku, aby k němu dorazilo přesně ve chvíli otevření jeho časového okna, tj. vyjede v okamžiku  $e_j - t_{ij}$ . Výhoda této strategie spočívá v tom, že během čekání vozidla může přijít další požadavek, který ovlivní dříve naplánovanou trasu, tj. vozidlo nepojede z místa  $i$  k zákazníkovi  $j$ , ale k jinému zákazníkovi tak, aby zbývající trasa byla optimální. (Fiala, 2010)

Práce v praktické části pracuje s první variantou, tj. s odjezdu k  $j$ -tému zákazníkovi bezprostředně po dokončení obsluhy  $i$ -tého zákazníka.

### 3.6.5 Matematický model problému obchodního cestujícího s časovými okny

Matematický model bude podle Fábryho (2006) v případě čekání vozidla u zákazníka  $j$  před zahájením obsluhy vypadat takto:

$$z = \sum_{i=1}^n \sum_{j=1}^n t_{ij} x_{ij} + \sum_{j=2}^n W_j + \sum_{i=2}^n S_i \rightarrow MIN \quad (3.14)$$

za podmínek

$$\sum_{j=1}^n x_{ij} = 1, \quad i = 1, 2, \dots, n, \quad (3.15)$$

$$\sum_{i=1}^n x_{ij} = 1, \quad j = 1, 2, \dots, n, \quad (3.16)$$

$$e_i \leq a_i \leq l_i \quad i = 2, 3, \dots, n, \quad (3.17)$$

$$a_i + S_i + t_{ij} - M(1 - x_{ij}) + W_j + v_{ij} = a_j, \quad \begin{matrix} i = 1, 2, \dots, n, \\ j = 2, 3, \dots, n, \end{matrix} \quad i \neq j, \quad (3.18)$$

$$a_1 = 0, \quad (3.19)$$

$$a_i \geq 0, \quad i = 2, 3, \dots, n, \quad (3.20)$$

$$0 \leq v_{ij} \leq 2M(1 - x_{ij}), \quad \begin{matrix} i = 1, 2, \dots, n, \\ j = 2, 3, \dots, n, \end{matrix} \quad i \neq j, \quad (3.21)$$

$$S_i \geq 0, \quad i = 2, 3, \dots, n, \quad (3.22)$$

$$x_{ij} \in \{0, 1\}, \quad i, j = 1, 2, \dots, n, \quad (3.23)$$

kde

$n$  = počet míst, které vozidlo musí projet (vč. výchozího označeného 1),

$c_{ij}$  = vzdálenost mezi místy  $i$  a  $j$ ,

$t_{ij}$  = doba přejezdu mezi místy  $i$  a  $j$ ,

$e_i$  = nejdříve možný termín obsluhy zákazníka  $i$ ,

$l_i$  = nejpozději přípustný termín obsluhy zákazníka  $i$ ,

$M$  = vysoká konstanta,

$a_i$  = okamžik, ve kterém vozidlo navštíví místo  $i$ ,

$S_i$  = časový údaj o délce obsluhy u zákazníka  $i$ .

$x_{ij}$  = bivaletní proměnná nabývající hodnoty 1, jestliže je spoj z místa  $i$  do místa  $j$  realizován. V opačném případě bude nabývat hodnoty 0.

Účelová funkce (3.14) a podmínky (3.15) - (3.16) mají stejný význam jako ve standardním modelu obchodního cestujícího. Podmínky (3.17) stanovují obslužení zákazníka uvnitř příslušného časového okna. Omezení (3.20) zajišťuje, že časový interval mezi návštěvou zákazníka  $j$  bezprostředně po zákazníkovi  $i$  má minimálně hodnotu  $t_{ij}$ . Rovnice (3.19) definuje nulový okamžik výjezdu vozidla z výchozího místa. (Fiala, 2010)

### 3.6.6 NP-úplné problémy

Problém obchodního cestujícího se řadí mezi tzv. NP-úplné problémy (NP-complete, NPC). NP-úplnost je jedna ze tříd složitosti, které poprvé definoval americký informatik Stephen Cook ve svém článku „The Complexity of Theorem-Proving Procedures“ (Cook, 1971).

Třída P je třídou složitosti, jejíž úlohy lze řešit v polynomiálním čase na deterministickém turingově stroji. Třída NP (nedeterministicky polynomiální) je množina problémů, které lze řešit na v polynomiálně omezeném čase na nedeterministickém Turingově stroji, nebo lze říci, že se jedná o problémy, u kterých lze pro daný výsledek v polynomiálním čase ověřit jeho správnost. Dodnes však nebyl nalezen polynomiální algoritmus pro řešení úloh v NP a proto se všeobecně předpokládá, že  $P \neq NP$ . Pokud by takový algoritmus existoval, třída NP by se zhroutila do P. NP-úplné/těžké problémy jsou

takové problémy, pro které nelze pomocí nějakého algoritmu nalézt řešení v polynomiálním čase (tedy „rychle“). Jedná se tedy o nejtěžší úlohy z NP. (Arora, 2009)(Cook, 2012)

### 3.7 Robustní optimalizace

Klasický matematický model pracuje s předpokladem, že jsou všechny parametry přesně známy a jsou rovny nějakým nominálním hodnotám. Tento přístup však nezohledňuje vliv neurčitosti údajů na kvalitu a přípustnost modelu. Proto lze předpokládat, že bude z důvodu odlišnosti hodnot dat a nominálních hodnot narušeno několik omezení modelu a řešení získané za pomoci nominálních dat již nemusí být optimální či dokonce přípustné. Z toho vyplývá potřeba konstrukce modelů, které jsou imunní vůči nejistotě na straně dat. Prvním autorem, který se zabýval tématem robustní optimalizace, byl Soyster (1973), jenž navrhl optimalizační model lineárního programování, který poskytuje řešení odolné vůči zkreslení způsobené nejistotou dat. (Bertsimas, 2004)

Jedná se o poměrně novou disciplínu na poli matematického modelování. Po Soysterovi následovalo mnoho dalších řešitelů, zejména díky atraktivitě daného tématu z důvodu nestochastické povahy. Z novějších prací lze zmínit přínost Ben-Tal, El Ghaoui a Nemirovski (2009), kteří popsali problematiku robustní optimalizace jako celku.

Poměrně nedávno se objevil nový přístup, tzv. „multi-band“ robustní optimalizace. Ten využívá koncept klasické robustní optimalizace a přináší množství nových možností, zvláště v oblasti modelování nejistoty. Použití „multi-band“ přístupu umožňuje popsat modelovanou situaci přesněji a díky tomu získat spolehlivější řešení. Tento přístup umožňuje rozhodovateli určit nejistotu v určitých intervalech, přičemž si model stále zachovává povahu lineárního programování. (Büsing, 2012)

Samotný „multi-band“ přístup je v neustálém vývoji je dále zdokonalován. Mezi jediné autory v tomto směru se řadí zejména Büsing a D’Anderagiovanni (2013), kteří popsali teoretické základy multi-band přístupu.

### 3.7.1 Matematický model

Předpokládáme obecný model lineárního programování:

$$\max \sum_{j=1}^n c_j x_j \quad (3.24)$$

za podmíněk:

$$\sum_{j=1}^n a_{ij} x_j \leq b_i \quad i = 1, \dots, m \quad (3.25)$$

$$x_j \geq 0, \quad j = 1, \dots, n \quad (3.26)$$

V případě přítomnosti nejistoty v modelu se obvykle předpokládá, že koeficienty úlohy  $a_{ij}$ ,  $b_j$ ,  $c_i$  (nebo alespoň některé z nich) nejsou přesně definovány. To vede k novému problému:

$$\max \sum_{j=1}^n (c_j + \delta_j^c) x_j \quad (3.27)$$

za podmínek

$$\sum_{j=1}^n (a_{ij} + \delta_{ij}^a) x_j \leq b_i + \delta_i^b \quad i = 1, \dots, m \quad (3.28)$$

$$x_j \geq 0, \quad j = 1, \dots, n \quad (3.29)$$

Rovnice (3.27), (3.28) a (3.29) reprezentují reformulaci (3.24), (3.25) a (3.26) s koeficienty s promítnutou nejistotou. Nejistota je vyjádřena použitím odchylky pro takové koeficienty, pro které je třeba. Předpokládáme, že jakákoli odchylka  $\delta$  je libovolné reálné číslo různé od nuly. V tomto případě se jedná o lineární model s odchylkami. (Hlavatý a Brožová, 2017)

Bez újmy na obecnosti dále uvažujme, že se nejistota zachází v množině koeficientů  $a_{ij}$ . Před konstrukcí samotného robustního modelu musí být splněny některé předpoklady, jak je definovali Bertsimas a Sim (2003):

- 1) Pro každý koeficient  $a_{ij}$ , lze definovat deterministickou (očekávanou/obvyklou) hodnotu a maximální odchylku  $\delta_{ij}^a$  od deterministické hodnoty.

- 2) Deterministická hodnota  $a_{ij}$ , tedy patří do symetrického intervalu  $[a_{ij} - \delta_{ij}^a, a_{ij} + \delta_{ij}^a]$ .
- 3) Koeficienty nejistoty jsou stochasticky nezávislé náhodné koeficienty a každý má svou vlastní hodnotu odchylky.
- 4) Pro každé omezení  $i$  lze definovat maximální počet koeficientů  $\Gamma_i$ , který se bude zároveň odchylovat od své deterministické hodnoty v omezení  $i$ .

Poté může být sestaven robustní model, založený na odchylkách a je možné dosáhnout výsledné formy, která vychází z obecného lineárního modelu (Hlavatý a Brožová, 2017):

$$\max \sum_{j=1}^n c_j x_j \quad (3.30)$$

za podmíněk:

$$\sum_{j=1}^n a_{ij} x_{ij} + \Gamma_i z_i + \sum_{j \in U_i} p_{ij} \leq b_i, \quad i = 1, \dots, m \quad (3.31)$$

$$z_i + p_{ij} \geq \delta_{ij}^a x_j, \quad i = 1, \dots, m, \forall j \in U_i \quad (3.32)$$

$$z_i \geq 0, \quad i = 1, \dots, m \quad (3.33)$$

$$p_{ij} \geq 0, \quad i = 1, \dots, m, \forall j \in U_i \quad (3.34)$$

$$x_j \geq 0, \quad j = 1, \dots, n \quad (3.35)$$

kde parametr  $\Gamma_i, 0 \leq \Gamma_i \leq |U_i|, i = 1, \dots, m$ , s pomocí parametru  $\Gamma$  lze regulovat míru nejistoty pro vybrané omezení  $i$ . Hodnota parametru  $\Gamma$  udává maximální počet levostranných koeficientů  $a_{ij}$ , u nichž očekáváme, že dojde k vychýlení hodnoty o nejvýše  $\delta_{ij}^a$ ,  $p_{ij}$  je pomocná proměnná pro každé  $a_{ij}$ , u kterého uvažujeme nejistotu,  $z_i$  je další pomocnou proměnnou, která realizuje provázanost mezi prvním a druhým omezením a  $U_i$  indikuje soubor indexů  $j$  pro ty  $a_{ij}$ , u nichž předpokládáme nejistotu. (Hlavatý a Brožová, 2017)

## 3.8 Softwarové řešení matematických modelů

### 3.8.1 Gurobi optimizer

Gurobi optimizer je software v širokém spektru odvětví s vysokou mírou užítku, například v oblasti výroby, nákupu, financování, distribuce, lidských zdrojů a kapitálových investic. Gurobi je osvědčený jako robustní výpočetní program, který je schopen řešit optimalizační problémy sepsané do podoby matematického modelu zahrnující miliony rozhodovacích proměnných. Pracuje s velkým množstvím možných řešení s cílem najít nejlepší možné za účelem napomoci firmám při jejich rozhodování.

Gurobi je placený software nabízející několik variant řešení přizpůsobené potřebám zákazníka, avšak lze využít bezplatnou akademickou verzi programu, která obsahuje vybrané moduly. Tato verze dostačuje pro potřeby této práce a bude využita v praktické části pro řešení vybraného problému. (Gurobi Optimizer, b.r.)

#### Vstupní data

Pro zahájení výpočtu a nalezení řešení je nutné vstupní data upravit podle příslušného matematického modelu, pro ukázkou a je použit matematický model úlohy obchodního cestujícího (Obrázek 5 a Obrázek 6).

#### Obrázek 5 Model obchodního cestujícího upravený pro program Gurobi – 1. část

```
Minimize

6.789 x1_2 + 1.714 x1_3 + 8.26 x1_4 + 6.786 x2_1 +
5.183 x2_3 + 1.679 x2_4 + 5.221 x3_2 + 1.739 x3_1 +
6.692 x3_4 + 1.673 x4_2 + 6.661 x4_3 + 8.264 x4_1

Subject to

x1_2 + x1_3 + x1_4 = 1
x2_1 + x2_3 + x2_4 = 1
x4_2 + x4_3 + x4_1 = 1

x2_1 + x3_1 + x4_1 = 1
x1_2 + x3_2 + x4_2 = 1
x1_3 + x2_3 + x4_3 = 1
x1_4 + x2_4 + x3_4 = 1

u1 - u2 + 19 x1_2 <= 18
u1 - u3 + 19 x1_3 <= 18
u1 - u4 + 19 x1_4 <= 18

u2 - u3 + 19 x2_3 <= 18
u2 - u4 + 19 x2_4 <= 18

u3 - u2 + 19 x3_2 <= 18
u3 - u4 + 19 x3_4 <= 18

u4 - u2 + 19 x4_2 <= 18
u4 - u3 + 19 x4_3 <= 18
```

Zdroj: výstup z programu Gurobi



## Obrázek 6 Model obchodního cestujícího upravený pro program Gurobi - 2. část

```
u1 >= 1
u2 >= 1
u3 >= 1
u4 >= 1

u1 <= 19
u2 <= 19
u3 <= 19
u4 <= 19

Binaries

x1_2 x1_3 x1_4
x2_1 x2_3 x2_4
x3_2 x3_1 x3_4
x4_2 x4_3 x4_1

_End
```

Zdroj: výstup z programu Gurobi

### Výstupní data

Po dokončení výpočtu program nabídne některý z následujících výstupů:

- Nalezne optimální řešení
- Optimální řešení není nalezeno (problém není řešitelný nebo není možné dosáhnout výsledku v uspokojivém čase).

Výstupní data pro uvedený model jsou vidět v Obrázek 7. V hlavičce je uvedena informace o použité verzi programu. Dále je vidět počet řádků a sloupců vstupního souboru. Další z důležitých informací je sloupec "gap", kde je uvedena hodnota rozdílu mezi dolním a horním odhadem optimálního řešení. V případě ukázkového modelu je hodnota gap = 0, tzn. bylo dosaženo optimálního řešení. Hodnota účelové funkce je uvedena ve spodní části výstupu a je rovna 16,885.

## Obrázek 7 Výstupní data z programu Gurobi

```
Gurobi Optimizer version 8.1.0 build v8.1.0rc1 (mac64)
Copyright (c) 2018, Gurobi Optimization, LLC

Read LP format model from file /Users/nehy/Documents/škola/DP/ukazkovy_model.lp
Reading time = 0.00 seconds
: 24 rows, 16 columns, 56 nonzeros
Optimize a model with 24 rows, 16 columns and 56 nonzeros
Variable types: 4 continuous, 12 integer (12 binary)
Coefficient statistics:
  Matrix range      [1e+00, 2e+01]
  Objective range   [2e+00, 8e+00]
  Bounds range      [1e+00, 1e+00]
  RHS range         [1e+00, 2e+01]
Found heuristic solution: objective 26.9280000
Presolve removed 8 rows and 2 columns
Presolve time: 0.00s
Presolved: 16 rows, 14 columns, 62 nonzeros
Variable types: 3 continuous, 11 integer (11 binary)

Root relaxation: objective 7.921667e+00, 12 iterations, 0.00 seconds

   Nodes |      Current Node |      Objective Bounds |      Work
  Expl Unexpl |  Obj  Depth IntInf | Incumbent  BestBd  Gap | It/Node Time
-----|-----|-----|-----|-----|-----|-----|-----|-----|-----
    0     0   7.92167    0   4   26.92800   7.92167  70.6%  -    0s
H    0     0           16.8780000   7.92167  53.1%  -    0s
H    0     0           16.8680000   7.92167  53.0%  -    0s
*    0     0           16.8550000   16.85500  0.00%  -    0s

Cutting planes:
  Clique: 1
  MIR: 1

Explored 1 nodes (14 simplex iterations) in 0.00 seconds
Thread count was 4 (of 4 available processors)

Solution count 4: 16.855 16.868 16.878 26.928

Optimal solution found (tolerance 1.00e-04)
Best objective 1.685500000000e+01, best bound 1.685500000000e+01, gap 0.00000%
```

Zdroj: vlastní zpracování v programu Gurobi

## 4 Vlastní práce

Předmětem praktické části práce je aplikace modelu obchodního cestujícího v mezinárodní kamionové dopravě. Nejprve bude provedena analýza tras za pomoci robustního přístupu, v rámci níž bude vytvořeno a vypočítáno několik scénářů. Následně bude na zvolený nejpravděpodobnější scénář aplikován model obchodního cestujícího s časovými okny.

Obě tyto části jsou rozděleny na 3 fáze rozhodovacího procesu podle Simonovy teorie. Ve fázi *intelligence* je charakterizována problémová situace a jsou sesbírána potřebná data. Tato fáze je společná pro obě části. Ve fázi *design* je na základě požadavků a omezení získaných v předchozí části vybrán a sestaven odpovídající matematický model. V poslední části (*choice*) je sestavený model vyřešen zvolenou metodou a v případě problému s časovými okny je provedena ekonomická analýza výsledného řešení a srovnání se současnou situací.

### 4.1 Charakteristika subjektu

Firma Josef Vondráček s. r. o. se zabývá mezinárodní kamionovou dopravou. Sídlo a distribuční sklad firmy se nachází v Hájích nedaleko Příbrami. Hlavním partnerem firmy je firma DOOSAN BOBCAT EMEA s.r.o. se sídlem v Dobříši u Příbrami a většina objednané dopravy je realizována ve spolupráci s touto firmou. V současné době má firma přibližně 70 nákladních automobilů.

Doprava je nejčastěji směřována do Španělska, Portugalska, Francie, Německa, států Beneluxu a Velké Británie. Výjimečně směřuje doprava i do Itálie, případně do Skandinávie.

Vzhledem k zakázkám od firmy Bobcat je stanoveno několik pravidelně, s malými obměnami absolvovaných tras. Předmětem přepravy je rozvoz strojů, případně náhradních dílů k prodejcům nebo půjčovnám stavebních strojů nebo přímo ke koncovému zákazníkovi.

### 4.2 Problémová situace (Fáze intelligence)

Hlavní snahou je minimalizace délky trasy, protože náklady na ujetou vzdálenost tvoří největší část celkových přepravních nákladů. Tato minimalizace je žádoucí hlavně u tras, které jsou absolvovány pravidelně. Mezi náklady patří plat řidiče, který se od odvíjí od ujeté vzdálenosti. Dále jsou součástí náklady na pohonné hmoty, dálniční poplatky a

amortizace vozidla. V případě zdržení a nedodržení stanovených lhůt se mohou vyskytnout i finanční sankce.

Plánování přepravy probíhá na základě objednávek od zákazníků, kteří své poptávky zadávají do databáze celoevropského systému *RAALTRANS*. Dispečeri z tohoto systému vybírají nabídky, které jsou v souladu s aktuálními možnostmi a na základě těchto objednávek plánují jednotlivé trasy.

Většinou se jedná o jednu hlavní a několik menších objednávek, které jsou zařazeny tak, aby byla kapacita vozidla plně využita. Jednotlivé zakázky jsou řidiči přiřazeny podle míst vykládky tak, aby byly alespoň částečně umístěny na trase s co nejmenšími zajiždkami. Do trasy je zařazeno také několik míst nakládky, aby byla při zpáteční cestě využita kapacita vozidla. Veškerá místa, která má řidič navštívit, jsou známá před zahájením jízdy a nejsou v průběhu odebírána ani přidávána.

Samotná přeprava probíhá 40 tunovými nákladními automobily (čistá nosnost 24 tun) – protože se jedná o jednookruhový dopravní problém, ve kterém jsou požadavky jednotlivých zákazníků „ušity na míru“ jednotlivým kamionům, nebude v této práci požadavek jednotlivých míst ani kapacita kamionu brána v úvahu.

Trasa řešená v této práci byla vybrána po konzultaci s dispečerem firmy. Řidiči ji absolvují s mírnými obměnami pravidelně a nabízí potenciál značné úspory nákladů. Trasa také obsahuje oproti jiným hned několik kritických míst, hlavně v okolí větších měst, kde se často vyskytují dopravní zácpy a jiné komplikace, které mohou značně ovlivnit průběh a časovou náročnost cesty.

Místa, která jsou ve zvolené trase třeba navštívit, jsou zobrazena v Příloha 2 a jejich kompletní seznam je k vidění v tTabulka 1. Čísla, která jsou v tabulce přiřazená jednotlivým místům budou dále používána, a to i v matematickém modelu.

Trasa vede v okolí Paříže a směřuje primárně do přístavu v Le Havre. Právě poblíž Paříže (místa 6-10 v tTabulka 1 a zobrazení na mapě viz pPříloha 2) se velice často vyskytují dopravní komplikace – ať už spojené s hustotou silničního provozu, dopravní nehodou nebo stavebními pracemi.

**Tabulka 1 Seznam míst**

Číslo	Místo
1	Háje
2	Parkoviště Mulhouse
3	Hraniční přechod Rozvadov
4	Saint Vit
5	Dijon
6	Paříž – Palasieu
7	Paříž – Viroflay
8	Paříž - Saint-Germain-en-lay
9	Paříž – Andrésy
10	Paříž – Osny
11	Clermont
12	Rouen
13	Le havre – přístav 1
14	Le havre – přístav 2
15	Amiens
16	Saint - Quentin
17	Reims
18	Saaerbrucken
19	Sklad Dobříš

Výchozím místem pro všechny případy je centrální sklad firmy v Hájích u Příbrami (viz Příloha 1), kam je sváženo zboží a přerozdělováno do příslušných kamionů. Přeprava zde také končí.

Kamion vždy směřuje do přístavu v Le Havre (č. 13 a 14 na mapě, viz Příloha 2), kde probíhá vykládka i nakládka strojů Bobcat, případně součástek a náhradních dílů. Do trasy je také zařazeno jedno pravidelně navštěvované parkoviště – místo 2 (viz Příloha 2), zde řidiči absolvují povinnou devítihodinovou hodinovou pauzu. Místo 3 je zařazeno jako pomocné, aby bylo zajištěno, že vozidlo pojedje přes bývalý hraniční přechod Rozvadov. Místo 19 je pravidelná vykládka při zpáteční cestě. Zbývající místa jsou logistická centra, kde se nacházejí firmy, od kterých je doprava objednávaná pravidelně. Mají být navštívena, ale přesná poloha se může měnit. V mapě jsou proto zaznamenány polohy průmyslových oblastí, kde se tato místa nacházejí.

Za použití doplňku pro Mapy.cz byla do MS Excel vyexportována matice sazeb jednotlivých tras mezi místy. Jednotlivé vzdálenosti jsou uvedeny v hodinách (z důvodu práce s časovými údaji v robustním modelu a později v modelu s časovými okny).

**Tabulka 2 Matice vzdáleností (v hodinách)**

	1	2	3	4	5	6	7	8	9	10	11	12	13	14	15	16	17	18	19
1	0	6.789	1.714	8.26	8.85	10.041	10.166	10.343	10.471	10.284	10.335	11.173	11.623	11.624	10.086	9.395	8.555	6.314	0.147
2	6.786	0	5.183	1.679	2.27	4.894	5.147	5.354	5.646	5.555	5.808	6.379	6.728	6.81	5.911	5.22	4.38	2.472	6.748
3	1.739	5.221	0	6.692	7.282	8.473	8.598	8.775	8.903	8.716	8.767	9.605	10.055	10.056	8.518	7.827	6.987	4.746	1.7
4	8.264	1.673	6.661	0	0.878	3.502	3.755	3.962	4.253	4.282	4.587	4.987	5.336	5.418	4.826	4.135	3.295	3.804	8.225
5	8.859	2.269	7.257	0.892	0	2.901	3.153	3.36	3.652	3.68	3.986	4.386	4.735	4.817	4.327	3.637	2.796	3.306	8.821
6	10.026	4.932	8.423	3.555	2.93	0	0.395	0.602	0.894	0.974	1.374	1.628	1.977	2.059	1.914	2.054	1.79	3.994	9.988
7	10.124	5.149	8.522	3.772	3.147	0.352	0	0.459	0.751	0.838	1.402	1.485	1.834	1.916	1.778	2.083	1.888	4.092	10.086
8	10.32	5.43	8.717	4.053	3.428	0.633	0.48	0	0.462	0.539	1.273	1.305	1.654	1.736	1.545	1.989	2.084	4.287	10.281
9	10.473	5.703	8.87	4.326	3.701	0.906	0.753	0.445	0	0.412	1.187	1.53	1.879	1.961	1.459	2.058	2.237	4.44	10.434
10	10.308	5.665	8.705	4.354	3.729	0.981	0.842	0.516	0.432	0	0.971	1.526	1.875	1.957	1.243	1.869	2.072	4.276	10.27
11	10.299	5.901	8.696	4.648	4.023	1.368	1.379	1.237	1.181	0.96	0	1.784	2.31	2.311	0.888	1.25	2.006	4.266	10.26
12	11.133	6.403	9.529	5.026	4.401	1.606	1.453	1.294	1.506	1.552	1.78	0	0.877	0.879	1.318	1.981	2.883	5.1	11.094
13	11.565	6.745	9.962	5.368	4.743	1.948	1.795	1.636	1.848	1.894	2.297	0.879	0	0.209	1.751	2.414	3.315	5.532	11.526
14	11.571	6.833	9.968	5.456	4.831	2.036	1.883	1.724	1.936	1.982	2.302	0.884	0.206	0	1.756	2.419	3.321	5.538	11.532
15	10.039	5.9	8.436	4.871	4.338	1.894	1.756	1.5	1.444	1.223	0.858	1.314	1.764	1.765	0	0.887	1.789	4.006	10
16	9.351	5.212	7.748	4.183	3.65	1.985	1.996	1.927	1.979	1.798	1.233	1.967	2.416	2.418	0.879	0	1.101	3.318	9.312
17	8.511	4.372	6.908	3.343	2.809	1.736	1.861	2.039	2.166	1.98	1.971	2.838	3.288	3.289	1.75	1.059	0	2.478	8.472
18	6.259	2.45	4.656	3.856	3.323	3.946	4.072	4.249	4.377	4.19	4.241	5.079	5.529	5.53	3.991	3.301	2.461	0	6.22
19	0.156	6.759	1.684	8.23	8.821	10.011	10.136	10.314	10.441	10.255	10.306	11.144	11.593	11.595	10.056	9.365	8.525	6.284	0

### 4.3 Robustní optimalizace

Ve standardním modelu obchodního cestujícího se řeší pouze minimalizace celkové ujeté vzdálenosti při projetí všech míst. Pomocí robustní optimalizace je do modelu zahrnut i faktor nejistoty (viz kapitola 3.7), který se v případě modelu obchodního cestujícího projeví v ohodnocení jednotlivých tras v účelové funkci. Tato nejistota bude zobrazena v podobě odchylek od doby jízdy mezi jednotlivými spoji. Doba od které bude vypočítána odchylka je doba získaná pomocí doplňku pro Google maps. Úprava modelu tak, aby obsahoval hledisko nejistoty, bude provedena v následujících kapitolách.

Protože nelze přesně říci, kolik spojů, případně o kolik přesně se která trasa zhorší/zlepší, bude sestaveno několik scénářů s různými hodnotami odchylek a počty dotčených tras. Na základě výsledků bude zvolen nejpravděpodobnější scénář, který bude použit pro další výpočet v modelu s časovými okny. Na základě řešených scénářů budou také určeny kritické spoje, které se mohou v rámci výsledků objevovat častěji. Tyto spoje mohou být problémové a způsobovat změny v účelové funkci.

Znalost různých scénářů při zahrnutí odchylek od očekávané doby přepravy může pomoci nejen při samotném plánování trasy, ale i v dalších oblastech, jako například zefektivnění vytěžování jednotlivých řidičů v návaznosti na jejich další cesty a celková lepší organizovanost a plynulost dopravy.

#### 4.3.1 Úprava a konstrukce matematického modelu (Fáze design)

Na základě informací z předchozích částí budou sestaveny jednotlivé testované scénáře a robustní matematický model obchodního cestujícího.

Před konstrukcí modelu pro jednotlivé scénáře je nejprve třeba upravit model obchodního cestujícího na robustní, tj. zahrnout faktor nejistoty (viz kapitola 3.7.1.) V případě řešeném v této práci se nejistota vztahuje k časovému ohodnocení jednotlivých spojů.

Do účelové funkce je vedle prostého ohodnocení jednotlivých spojů  $c_{ij}$  třeba zahrnout také odchylku od této očekávané hodnoty. Tato změna je označena jako  $\delta_{ij}^c$  (viz kapitola 3.7.1). Předpokládejme účelovou funkci modelu obchodního cestujícího s odchylkou v  $c_{ij}$ :

$$\min \sum_{i=1}^m \sum_{j=1}^n (c_{ij} + \delta_{ij}^c) x_{ij} \quad (4.1)$$

Rovnici (4.1) lze vyjádřit také takto:

$$\min E \quad (4.2)$$

za podmínek

$$\sum_{i=1}^m \sum_{j=1}^n (c_{ij} + \delta_{ij}^c) x_{ij} \leq E \quad (4.3)$$

(Hlavatý a Brožová, 2017)

Nyní může být model obchodního cestujícího upraven dle kapitoly 3.7.1 následovně:

$$\min E \quad (4.4)$$

za podmínek

$$\sum_{i=1}^m \sum_{j=1}^n c_{ij} x_{ij} + \Gamma z + \sum_{(i,j) \in U_i} p_{ij} \leq E \quad (4.5)$$

$$z_i + p_{ij} \geq \delta_{ij}^c x_j, \quad \forall (i,j) \in U_i \quad (4.6)$$

$$\sum_{j=1}^n x_{ij} = 1, \quad i = 1, 2, \dots, m \quad (4.7)$$

$$\sum_{i=1}^m x_{ij} = 1, \quad j = 1, 2, \dots, n \quad (4.8)$$

$$z \geq 0 \quad (4.9)$$

$$p_{ij} \geq 0 \quad \forall (i,j) \in U_i \quad (4.10)$$

$$u_i - u_j + n x_{ij} \leq n - 1, \quad i = 1, 2, \dots, n; j = 1, 2, \dots, n; i \neq j \quad (4.11)$$

$$x_{ij} \in \{0; 1\} \quad i = 1, 2, \dots, n; j = 1, 2, \dots, n \quad (4.12)$$

kde:

$n$  = počet míst, které vozidlo musí projet (vč. výchozího označeného 1),

$c_{ij}$  = vzdálenost mezi místy  $i$  a  $j$ ,



$u$  = pomocná proměnná modelu,

$\delta_{ij}^c$  = odchylka od hodnoty  $c_{ij}$ ,

$\Gamma$  = umožňuje regulovat míru nejistoty pro vybrané omezení  $i$ . Hodnota parametru  $\Gamma$  udává maximální počet levostranných koeficientů  $c_{ij}$ , u nichž očekáváme, že dojde k vychýlení hodnoty o nejvýše  $\delta_{ij}^c$ ,

$p_{ij}$  = pomocná proměnná pro každé  $c_{ij}$ , které je uvažováno vychýlení nejvýše o  $\delta_{ij}^c$ ,

$U_i$  = označuje množinu těch  $j$ , pro které je uvažována odchylka  $\delta_{ij}^c$ ,

$x_{ij}$  = bivaletní proměnná nabývající hodnoty 1, jestliže je spoj z místa  $i$  do místa  $j$  realizován. V opačném případě bude nabývat hodnoty 0.

Podle takto upraveného modelu obchodního cestujícího lze sestavit robustní model pro jednotlivé scénáře. Nejprve je třeba určit potřebné hodnoty odchylek  $\delta_{ij}^c$  a hodnotu  $\Gamma$ . Hodnota koeficientu  $\Gamma$  se odvíjí od počtu binárních proměnných v modelu. V případě řešení v této práci je to 342. Testované scénáře budou vypočítány se zvolenými hodnotami  $\Gamma \in \langle 18, 342 \rangle$ , z důvodu zjednodušení a časové náročnosti jsou použity násobky 18.

Hodnoty  $\delta_{ij}^c$  budou v jednotlivých scénářích určeny 10% – 30% změny  $c_{ij}$ . Vyšší změny jsou pravděpodobné spíše pro jednotlivé spoje a proto nebudou uvažovány. Pro scénář s uvažovanou odchylkou  $\delta_{ij}^c = 0,1c_{ij}$  by omezující podmínka (4.6) pro  $x_{1,2}$ ,  $x_{1,3}$  a  $x_{1,4}$  vypadaly následovně:

$$z + p_{1,2} \geq 0,6789x_{1,2} \quad (4.13)$$

$$z + p_{1,3} \geq 0,1714x_{1,3} \quad (4.14)$$

$$z + p_{1,4} \geq 0,826x_{1,4} \quad (4.15)$$

Kompletní model vč. všech podmínek a účelové funkce upravený pro výpočet v programu Gurobi optimizer lze vidět v Příloha 4. Tento model je také výchozím pro další scénáře. Podle potřeby konkrétních scénářů bude pouze upravena hodnota  $\Gamma$  a omezující podmínky (4.6).

### 4.3.2 Výpočet a analýza scénářů (Fáze choice)

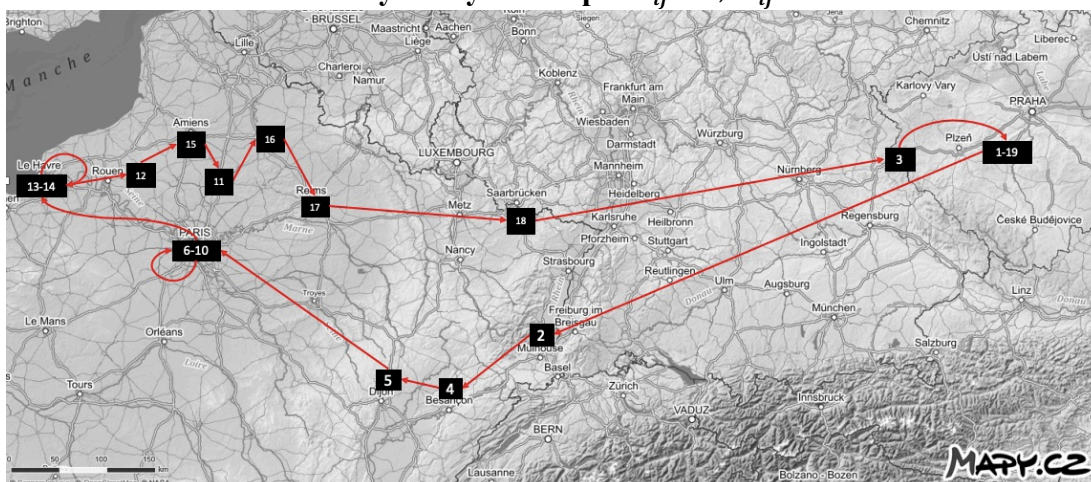
Fáze *choice* je poslední částí rozhodovacího procesu podle Simonovy teorie a bude zde proveden výpočet optimálního pořadí míst v okružním dopravním problému, určení kritických tras a nejpravděpodobnějšího scénáře, který bude použit pro výpočet v další části práce. K výpočtu byl využit software Gurobi Optimizer 8.1.0 build v8.1.0rc1 běžící na konfiguraci:

- MacBook Air (13-inch, Early 2015)
  - MacOS Mojave verze 10.14.3,
  - procesor 1.6 GHz Intel Core i5,
  - paměť 8 GB 1600 MHz DDR3.

Hodnoty účelové funkce okruhů vypočtené v této kapitole představují pouze čistou dobu jízdy, nejsou zahrnuty povinné pauzy, obsluhy v jednotlivých místech případně čekání na obsluhu. Tato hlediska budou zahrnuta až v modelu obchodního cestujícího s časovými okny. Samotná hodnota účelové funkce reprezentuje dobu, za kterou bude okruh absolvován pokud dojde ke zdržení na všech spojích o stanovenou hodnotu  $\delta_{ij}^c$ .

Pro  $\delta_{ij}^c = 0,1c_{ij}$ ,  $c_{ij} \in [c_{ij} - \delta_{ij}^c, c_{ij} + \delta_{ij}^c]$  a pro  $\Gamma \in \langle 18, 342 \rangle$  se vyskytují 3 výsledná pořadí míst. Pro  $\Gamma = 18$  vozidlo vyjíždí z výchozího místa do místa 2, dále do 4 – 5 – 6 – 7 – 8 – 9 – 10 – 13 – 14 – 12 – 11 – 15 – 16 – 17 – 18 – 3 – 19 a zpět do místa 1. Hodnota účelové funkce tohoto okruhu je 33,49 hodin, celková vzdálenost je 2666,2 km. Hodnoty pro  $\delta_{ij}^c$  pro jednotlivé spoje jsou uvedeny v Tabulka 3.

Obrázek 8 Výsledný okruh pro  $\delta_{ij}^c = 0,1c_{ij}$  a  $\Gamma = 18$



Zdroj: vlastní zpracování, Mapy.cz

**Tabulka 3 Výsledné hodnoty hodnot pro  $\delta_{ij}^c = 0,1c_{ij}$   $\Gamma = 18$**

$x_{ij}$	$\delta_{ij}^c$ (hod)	$c_{ij}$ (hod)	$\Sigma$ (hod)
x1_2	0,6633	6,7892	7,4525
x2_4	0,1523	1,6794	1,8317
x3_19	0,1544	1,7000	1,8544
x4_5	0,0722	0,8775	0,9497
x5_6	0,2745	2,9011	3,1756
x6_7	0,0239	0,3953	0,4192
x7_8	0,0303	0,4594	0,4897
x8_9	0,0306	0,4617	0,4923
x9_10	0,0256	0,4117	0,4373
x10_13	0,1719	1,8750	2,0469
x11_16	0,1094	1,2500	1,3594
x12_15	0,1162	1,3181	1,4343
x13_14	0,0053	0,2086	0,2139
x14_12	0,0728	0,8842	0,9570
x15_11	0,0702	0,8583	0,9285
x16_17	0,0945	1,1008	1,1953
x17_18	0,2322	2,4781	2,7103
x18_3	0,4500	4,6556	5,1056
x19_1	0,0000	0,1558	0,1558
$\Sigma$ (hod)	3,0393	30,4597	33,4990

Výstup z programu Gurobi pro výše uvedený testovaný scénář vypadá následovně:

Academic license - for non-commercial use only  
Set parameter timelimit to value 50

Gurobi Optimizer version 8.1.0 build v8.1.0rc1 (mac64)  
Copyright (c) 2018, Gurobi Optimization, LLC

Read LP format model from file /Users/nehj/Documents/škola/DP/prakticka/TSP\_robust/TSP\_Robust  
new/10/spravny/10\_18.lp

Reading time = 0.01 seconds

: 1086 rows, 705 columns, 3749 nonzeros

Optimize a model with 1086 rows, 705 columns and 3749 nonzeros

Variable types: 363 continuous, 342 integer (342 binary)

Coefficient statistics:

Matrix range [1e-02, 4e+01]

Objective range [1e+00, 1e+00]

Bounds range [1e+00, 1e+00]

RHS range [1e+00, 2e+01]

Presolve removed 382 rows and 2 columns

Presolve time: 0.04s

Presolved: 704 rows, 703 columns, 5333 nonzeros

Variable types: 361 continuous, 342 integer (342 binary)

Root relaxation: objective 2.033062e+01, 131 iterations, 0.02 seconds

Nodes	Current Node	Objective Bounds	Work
Expl Unexpl	Obj Depth IntInf	Incumbent BestBd Gap	It/Node Time
0 0	20.33062 0 44	- 20.33062 - -	0s
H 0 0	67.1528000	20.33062 69.7%	- 0s
H 0 0	50.1578000	20.33062 59.5%	- 0s
0 0	22.58469 0 46	50.15780 22.58469 55.0%	- 0s
0 0	22.58469 0 46	50.15780 22.58469 55.0%	- 0s
0 0	22.94259 0 57	50.15780 22.94259 54.3%	- 0s
0 0	23.00404 0 54	50.15780 23.00404 54.1%	- 0s
0 0	23.00404 0 54	50.15780 23.00404 54.1%	- 0s
0 0	23.00843 0 54	50.15780 23.00843 54.1%	- 0s
0 0	23.00863 0 54	50.15780 23.00863 54.1%	- 0s
0 0	23.01324 0 53	50.15780 23.01324 54.1%	- 0s
0 0	23.01324 0 53	50.15780 23.01324 54.1%	- 0s
0 0	23.01497 0 52	50.15780 23.01497 54.1%	- 0s
0 0	23.01497 0 52	50.15780 23.01497 54.1%	- 0s
0 2	23.01497 0 52	50.15780 23.01497 54.1%	- 0s
H 88 85	44.0594000	23.31950 47.1%	20.1 0s
H 111 103	40.3887000	23.31950 42.3%	19.1 0s
* 119 103	57 39.8299000	23.31950 41.5%	18.6 0s
* 128 101	61 33.6171000	23.32140 30.6%	18.8 0s
H 882 619	33.5896000	24.02389 28.5%	22.5 2s
H 1478 836	33.5060000	25.11749 25.0%	22.8 2s
5671 3404	28.86307 40 15	33.50600 25.63532 23.5%	18.4 5s
18369 10239	30.74118 43 8	33.50600 25.94520 22.6%	15.3 10s
20711 11490	26.35282 30 52	33.50600 25.97869 22.5%	15.1 16s
20754 11519	27.04685 31 76	33.50600 25.97869 22.5%	15.0 20s
21516 11817	26.75355 39 26	33.50600 25.97869 22.5%	15.4 25s
30347 15191	26.41254 39 6	33.50600 25.97869 22.5%	14.9 30s
41645 18776	26.83337 37 13	33.50600 25.97869 22.5%	14.5 35s
H48566 20280	33.5059999	25.97869 22.5%	14.4 38s
52661 21411	26.87660 55 25	33.50600 26.00676 22.4%	14.3 40s
62915 27365	29.24033 49 9	33.50600 26.07986 22.2%	14.3 45s
73297 33342	28.78665 51 12	33.50600 26.14092 22.0%	14.1 50s

Cutting planes:

Learned: 5  
Gomory: 27  
Implied bound: 9  
Clique: 2  
MIR: 22  
Flow cover: 221  
Inf proof: 16  
Zero half: 8

Explored 73718 nodes (1041974 simplex iterations) in 50.01 seconds  
Thread count was 4 (of 4 available processors)

Solution count 9: 33.506 33.506 33.5896 ... 67.1528

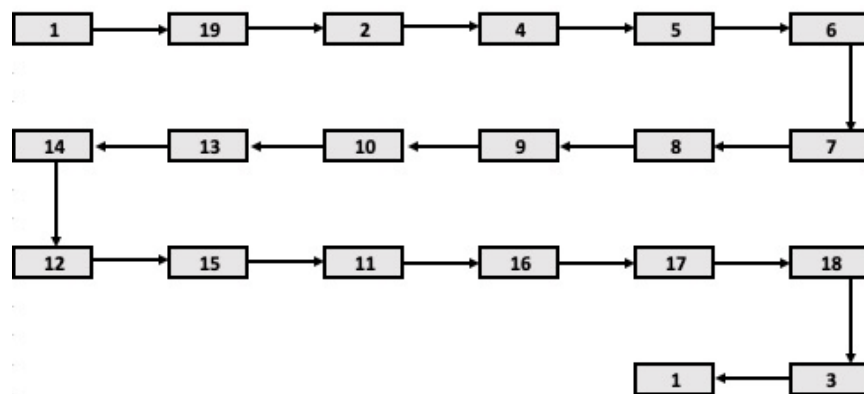
Time limit reached

Best objective 3.350599990275e+01, best bound 2.614302665259e+01, gap 21.9751%

Tento výstup udává veškeré informace ohledně výpočtu výchozího modelu. Program zjistil model s 1086 řádky, 705 sloupci a obsahující 342 binárních proměnných. Výsledná hodnota účelové funkce po 50 vteřinách výpočtu je 33,506, odhadovaná dolní hodnota optimálního řešení je 26,14 hodin. Hodnota ve sloupci gap značí rozdíl mezi horním a dolním odhadem optimálního řešení, v tomto případě 22 %. Pokud byl ponechán neomezený čas pro výpočet, u hodnoty účelové funkce nedocházelo po určitém čase k žádné změně, jako lze vidět v tomto případě u hodnot 2 – 50s, a výpočet nebyl ukončen ani po několika hodinách. Proto byl čas byl omezen u všech scénářů na 50 sekund.

Pokud u stejného modelu dojde ke změně hodnoty  $\Gamma = 36$ , tak se pořadí míst v okruhu mění na 1 – 19 – 2 – 4 – 5 – 6 – 7 – 8 – 9 – 10 – 13 – 14 – 12 – 11 – 15 – 16 – 17 – 18 – 3 – 19 – 1. Dochází k zařazení místa 19 do okruhu ihned po výchozím místě a u spoje směrem z místa 19 se již vyskytuje nenulová hodnota  $\delta_{ij}^c$ . Z toho důvodu je také vyšší hodnota účelové funkce, konkrétně 33,507 hod. Celková vzdálenost, kterou vozidlo ujede při absolvování tohoto pořadí míst je 2845 km. Hodnoty pro jednotlivé spoje a jejich příslušná zpoždění jsou vypsány v Tabulka 4. Tato varianta je však realizovatelná v malém počtu případů, protože v reálné situaci je místo 19 většinou navštěvováno jako poslední před návratem do výchozího místa

**Obrázek 9 Výsledný okruh pro  $\delta_{ij}^c = 0, 1c_{ij}$  a  $\Gamma = 36$**

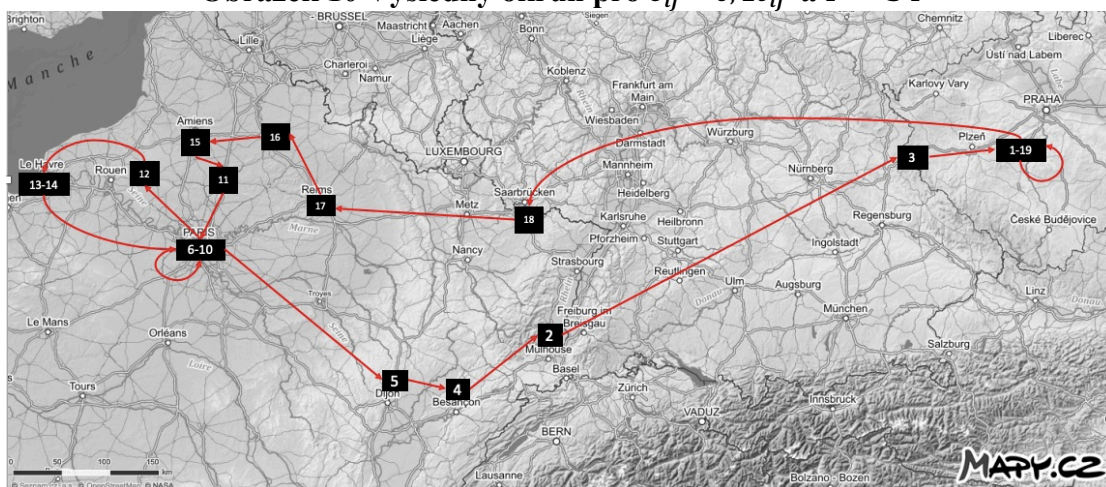


**Tabulka 4 Výsledné hodnoty pro  $\delta_{ij}^c = 0, 1c_{ij}$  a  $\Gamma = 36$**

$x_{ij}$	$\delta_{ij}^c$ (hod)	$c_{ij}$ (hod)	$\Sigma$ (hod)
x1_19	0,0147	0,1469	0,1616
x2_4	0,1679	1,6794	1,8473
x3_1	0,1739	1,7386	1,9125
x4_5	0,0878	0,8775	0,9653
x5_6	0,2901	2,9011	3,1912
x6_7	0,0395	0,3953	0,4348
x7_8	0,0459	0,4594	0,5053
x8_9	0,0462	0,4617	0,5079
x9_10	0,0412	0,4117	0,4529
x10_13	0,1875	1,8750	2,0625
x11_16	0,1250	1,2500	1,3750
x12_15	0,1318	1,3181	1,4499
x13_14	0,0209	0,2086	0,2295
x14_12	0,0884	0,8842	0,9726
x15_11	0,0858	0,8583	0,9441
x16_17	0,1101	1,1008	1,2109
x17_18	0,2478	2,4781	2,7259
x18_3	0,4656	4,6556	5,1212
x19_2	0,6759	6,7594	7,4353
$\Sigma$ (hod)	3,0460	30,4597	33,5057

Pro hodnotu  $\Gamma = 54$  dochází k výrazné změně pořadí míst v okruhu. Z výchozího místa vozidlo jede do 18 – 17 – 16 – 15 – 11 – 10 – 9 – 8 – 12 – 14 – 13 – 7 – 6 – 5 – 4 – 3 – 19 a zpět do výchozího místa (Obrázek 10). Oproti předchozím případům jsou místa s mírnými změnami navštívena v opačném pořadí. V tomto případě je hodnota účelové funkce 33, 52 hodin čisté jízdy. (výsledné hodnoty jsou k vidění v Tabulka 5).

**Obrázek 10 Výsledný okruh pro  $\delta_{ij}^c = 0, 1c_{ij}$  a  $\Gamma = 54$**



Zdroj: vlastní zpracování, Mappy.cz

**Tabulka 5** Výsledné hodnoty pro  $\delta_{ij}^c = 0,1c_{ij}$  a  $\Gamma = 54$

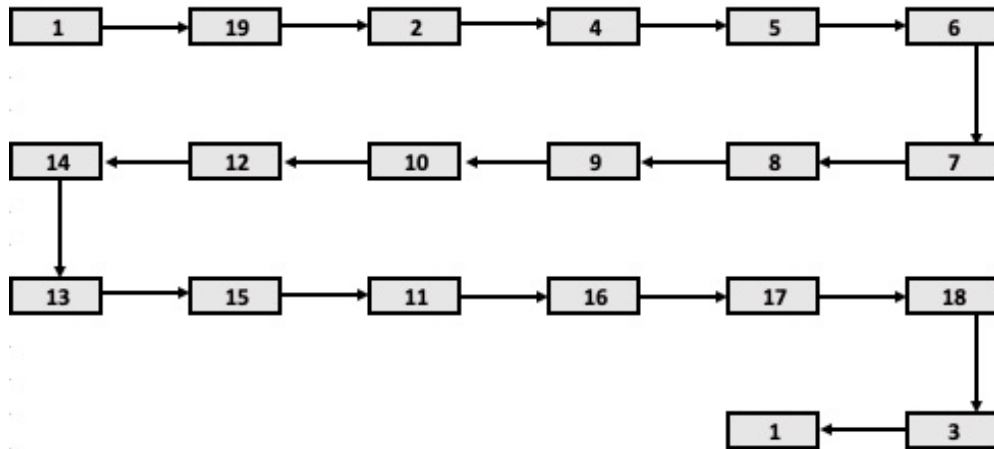
$x_{ij}$	$\delta_{ij}^c$ (hod)	$c_{ij}$ (hod)	$\Sigma$ (hod)
x1_18	0,6314	6,3142	6,9456
x2_3	0,5183	5,1833	5,7016
x3_19	0,1700	1,7000	1,8700
x4_2	0,1673	1,6731	1,8404
x5_4	0,0892	0,8917	0,9809
x6_5	0,2930	2,9300	3,2230
x7_6	0,0352	0,3522	0,3874
x8_12	0,1305	1,3047	1,4352
x9_8	0,0445	0,4453	0,4898
x10_9	0,0432	0,4319	0,4751
x11_10	0,0960	0,9597	1,0557
x12_14	0,0879	0,8786	0,9665
x13_7	0,1795	1,7950	1,9745
x14_13	0,0206	0,2056	0,2262
x15_11	0,0858	0,8583	0,9441
x16_15	0,0879	0,8786	0,9665
x17_16	0,1059	1,0594	1,1653
x18_17	0,2461	2,4606	2,7067
x19_1	0,0156	0,1558	0,1714
$\Sigma$ (hod)	3,0479	30,4781	33,5260

Při dalším zvyšování hodnoty  $\Gamma$  se opakovaně vyskytují předchozí nalezené okruhy a pořadí míst v ani hodnota účelové funkce se nemění. Například pro hodnotu  $\Gamma = 342$  vychází výsledný okruh stejně jako pro  $\Gamma = 36$  (viz Obrázek 9).

Pro další testovaný scénář je uvažováno  $\delta_{ij}^c = 0,15c_{ij}$ . Výpočet je prováděn na stejném modelu jako pro, pouze je upravená podmínka (4.6) tak, aby hodnoty  $\delta_{ij}^c$  odpovídaly 15% z  $c_{ij}$ . Upravené podmínky jsou k vidění v přílohách. U hodnoty  $\Gamma = 18$  je výsledné pořadí míst mírně jiné než v předchozích případech a je zobrazeno na následujícím schématu:

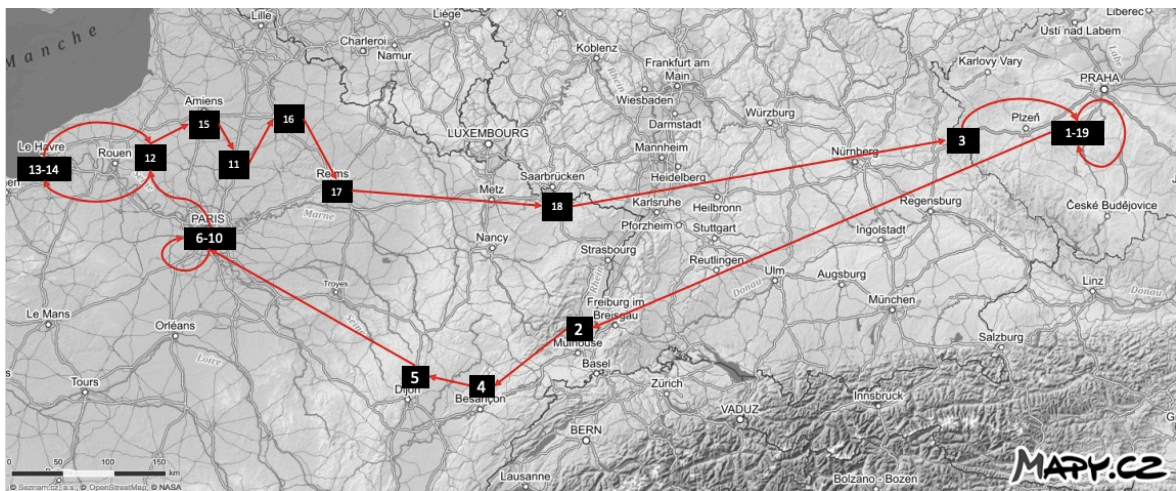


Obrázek 11 Výsledné pořadí míst pro  $\delta_{ij}^c = 0, 15c_{ij}$  a  $\Gamma = 18$



Hodnota účelové funkce z důvodu nárůstu hodnoty zpoždění na jednotlivých trasách vyšší, než u varianty s  $\delta_{ij}^c = 0, 1c_{ij}$ , konkrétně 34,74 hodin. Jednotlivé hodnoty  $c_{ij}$  a  $\delta_{ij}^c$  jsou zobrazeny v Tabulka 6.

Obrázek 12 Mapa okruhu pro  $\delta_{ij}^c = 0, 15c_{ij}$  a  $\Gamma = 18$



Zdroj: vlastní zpracování, Mapy.cz

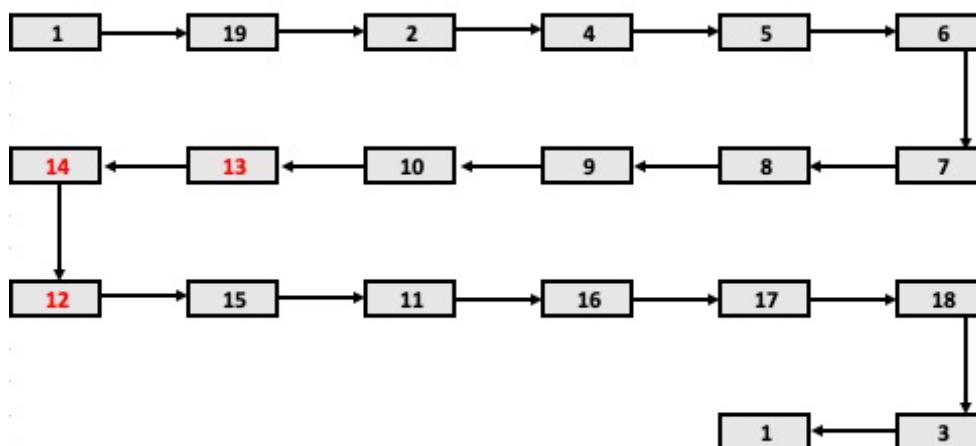


**Tabulka 6 Výsledné hodnoty pro  $\delta_{ij}^c = 0,15c_{ij}$  a  $\Gamma = 18$**

$x_{ij}$	$\delta_{ij}^c$ (hod)	$c_{ij}$ (hod)	$\Sigma$ (hod)
x1_19	0,0220	0,1469	0,1689
x2_4	0,2519	1,6794	1,9313
x3_1	0,2608	1,7386	1,9994
x4_5	0,1316	0,8775	1,0091
x5_6	0,4352	2,9011	3,3363
x6_7	0,0593	0,3953	0,4546
x7_8	0,0689	0,4594	0,5283
x8_9	0,0693	0,4617	0,5310
x9_10	0,0618	0,4117	0,4735
x10_12	0,2288	1,5256	1,7544
x11_16	0,1875	1,2500	1,4375
x12_14	0,1318	0,8786	1,0104
x13_15	0,2626	1,7506	2,0132
x14_13	0,0308	0,2056	0,2364
x15_11	0,1288	0,8583	0,9871
x16_17	0,1651	1,1008	1,2659
x17_18	0,0000	2,4781	2,4781
x18_3	0,6983	4,6556	5,3539
x19_2	1,0139	6,7594	7,7733
$\Sigma$ (hod)	4,2084	30,5342	34,7426

Pro hodnotu  $\Gamma = 36$  dochází pouze k malé změně v pořadí, konkrétně po místě 10 následují 13 – 14 – 12 a dále je okruh stejný jako pro  $\Gamma = 18$ . Hodnota účelové funkce je 34,675 hodin. Stejný okruh a hodnota účelové funkce vychází i pro hodnoty  $\Gamma = 56 – 342$  se nevyskytuje jiné pořadí míst ani hodnota účelové funkce. Pořadí míst je následující:

**Obrázek 13 Výsledný okruh pro  $\delta_{ij}^c = 0,15c_{ij}$  a  $\Gamma = 36 – 342$**



**Tabulka 7 Výsledné hodnoty pro  $\delta_{ij}^c = 0,15c_{ij}$  a  $\Gamma = 36 - 342$**

$x_{ij}$	$\delta_{ij}^c$ (hod)	$c_{ij}$ (hod)	$\Sigma$ (hod)
x1_19	0,0220	0,1469	0,1689
x2_4	0,2519	1,6794	1,9313
x3_1	0,2608	1,7386	1,9994
x4_5	0,1316	0,8775	1,0091
x5_6	0,4352	2,9011	3,3363
x6_7	0,0593	0,3953	0,4546
x7_8	0,0689	0,4594	0,5283
x8_9	0,0693	0,4617	0,5310
x9_10	0,0618	0,4117	0,4735
x10_13	0,2813	1,8750	2,1563
x11_16	0,1875	1,2500	1,4375
x12_15	0,1977	1,3181	1,5158
x13_14	0,0313	0,2086	0,2399
x14_12	0,1326	0,8842	1,0168
x15_11	0,1288	0,8583	0,9871
x16_17	0,1651	1,1008	1,2659
x17_18	0,0000	2,4781	2,4781
x18_3	0,6983	4,6556	5,3539
x19_2	1,0139	6,7594	7,7733
$\Sigma$ (hod)	4,1973	30,4597	34,6570

Pro hodnoty  $\delta_{ij}^c = 0,2c_{ij}$  až  $\delta_{ij}^c = 0,3c_{ij}$  výpočet neposkytuje jiné okruhy než dosud uvedené, pouze dochází k zvýšení účelové funkce úměrně ke zvýšení hodnoty  $\delta_{ij}^c$ . Ke změnám v pořadí míst dochází až pro hodnotu  $\delta_{ij}^c = 0,4c_{ij}$  % a výše. Zvýšení o 40% je však velmi málo pravděpodobný scénář a není v této práci zahrnut.

Jako nejpravděpodobnější scénáře jsou po konzultaci s odpovědným pracovníkem firmy na základě jeho zkušeností vybrány dvě varianty, a to s hodnotami  $\delta_{ij}^c = 0,1c_{ij}$ , tzn. hodnoty  $c_{ij}$  se oproti hodnotám ve výchozí matici sazeb (viz Tabulka 2) zvýší o 10 %, a s hodnotami  $\delta_{ij}^c = 0,3c_{ij}$ , tj. dojde ke zvýšení o 30%.

Zvláště pak varianta  $\delta_{ij}^c = 10\%$  je realističtější scénář než výpočet prostého okružního dopravního problému bez zahrnutí hlediska nejistoty v ohodnocení jednotlivých tras. Varianta s možným 30% zvýšením hodnot  $c_{ij}$  odpovídá poměrně často vyskytujícím se výkyvům v plynulosti dopravy na dané trase, způsobené hustotou provozu nebo jinými dopravními omezeními. Proto by mohla být využita právě pro období, kdy dochází

k výrazným nárůstům provozu, například prázdniny, případně při výskytu dopravních omezení z důvodu rekonstrukce komunikací apod.

#### 4.4 TSP s časovými okny

Na základě výsledků z předchozí kapitoly bude sestaven matematický model obchodního cestujícího s časovými okny (viz kapitola 3.6.5) pro stanovené scénáře a vypočteno optimální pořadí míst v okruhu. Následně bude provedeno srovnání se současnou situací a ekonomická analýza výsledného řešení.

##### 4.4.1 Konstrukce matematického modelu (Fáze design)

Pro sestavení tohoto modelu je nutné určit dobu obsluhy v jednotlivých místech a časová okna, ve kterých mají být místa navštívena. Jak již bylo řečeno, model počítá s odjezdem k  $j$ -tému zákazníkovi bezprostředně po dokončení obsluhy  $i$ -tého zákazníka (viz kapitola 3.6.5).

Nejprve budou stanoveny doby obsluhy jednotlivých míst:

- 1 (počáteční místo) – 0 hodin,
- 2 (parkoviště) - 9 hodin (povinná pauza řidiče, která je zde absolvována vždy),
- 4-19 (vykládky/nakládky) – 45 minut.

Následně je třeba pro každé místo určit časová okna, která určují časové rozpětí, ve kterém má být místo obslouženo. Protože se jedná o přepravu, která probíhá ve více dnech, jsou hodnoty pro jednotlivá místa určena pro konkrétní dny od 8:00 hod do 16:00 hod. Čas, ve který řidič vyjíždí je stanoven jako  $a = 0$  a od tohoto času se odvíjí hodnota všech ostatních časových oken. Při stanovení časových oken je třeba přihlédnout k době přejezdu mezi jednotlivými místy, aby byla zajištěna přípustnost modelu. Pomocí těchto hodnot lze částečně ovlivnit pořadí míst v okruhu, například místo 2 má být v první variantě navštíveno po výchozím místě. Podmínka, která v modelu zajišťuje navštívení místa v konkrétním čase vypadá například právě pro místo 2 následovně:

$$a_2 \geq 0 \quad (4.16)$$

$$a_2 \leq 16 \quad (4.17)$$

Hodnoty jsou pro ostatní místa nastaveny tak, aby obsluha daného místa probíhala od 8:00 do 16:00, tedy je zajištěno, že obsluha nebude prováděna v noci. Hodnoty  $a_i$  jsou pro jednotlivá místa sestaveny tak, aby bylo zachováno alespoň přibližně pořadí míst ze zvoleného výchozího robustního modelu. Konkrétní hodnoty časových oken a doby obsluhy pro jednotlivá místa jsou uvedeny v následující tabulce:

**Tabulka 8 Časová okna a doby obsluhy**

Číslo	Název	$a_i$	$S_i$
1	Háje	0	0
2	Parkoviště Mulhouse	8-24	9
3	Hraniční přechod Rozvadov	x	0,75
4	Saint Vit	24-32	0,75
5	Dijon	24-32	0,75
6	Paříž - Palasieu	48-56	0,75
7	Paříž - Viroflay	48-56	0,75
8	Paříž - Saint-Germain-en-lay	48-56	0,75
9	Paříž - Andrésy	48-56	0,75
10	Paříž - Osny	48-56	0,75
11	Clermont	72-80	0,75
12	Rouen	72-80	0,75
13	Le havre 1	72-80	0,75
14	Le havre 2	72-80	0,75
15	Amiens	72-80	0,75
16	Saint - Quentin	96-104	0,75
17	Reims	96-104	0,75
18	Saaerbrucken	x	0,75
19	Sklad Dobříš	x	0,75
	<b>suma</b>		<b>21,75</b>

V případě kamionové dopravy jsou ze zákona stanovené pravidelné pauzy řidiče, které je třeba brát v úvahu:

- řidič kamionu musí po 4,5 hodinách jízdy zařadit 45 min bezpečnostní pauzu,
- po 9 hodinách jízdy musí následovat 9 hodinová pauza.

Dodržování těchto přestávek je v modelu zajištěno tak, že jednotlivé úseky obsluhy v modelu jsou nastaveny na 8 – 16 hod a 9 hodinová pauza je absolvována mimo tento úsek. 45 minutové přestávky jsou v úsecích s malou vzdáleností mezi jednotlivými místy absolvovány při vykládce/nakládce. U delších úseků je přizpůsobena hodnota časového okna tak, aby při přejezdu mezi místy byla dostatečná časová rezerva. Přestávka tak může být provedena během cesty.

Dále je třeba doplnit model podmínky zajišťující, že časový interval mezi návštěvou zákazníka  $j$  bezprostředně po zákazníkovi  $i$  má minimálně hodnotu  $t_{ij}$  (viz rovnice (3.18)). Pro  $x_{1_2}$  a  $x_{1_3}$  příslušná podmínka, upravená pro výpočet v programu Gurobi vypadá takto:

$$a_1 - a_2 + 1000000x_{1_2} + W_2 + v_{1_2} = 999983,532 \quad (4.18)$$

$$a_1 - a_3 + 1000000x_{1_3} + W_3 + v_{1_3} = 999998,114 \quad (4.19)$$

Tato podmínka musí být vyjádřena pro všechny spoje v modelu. Kompletní model upravený pro použití v programu Gurobi je k vidění v přílohách této práce.

#### 4.4.2 Výpočet (Fáze choice)

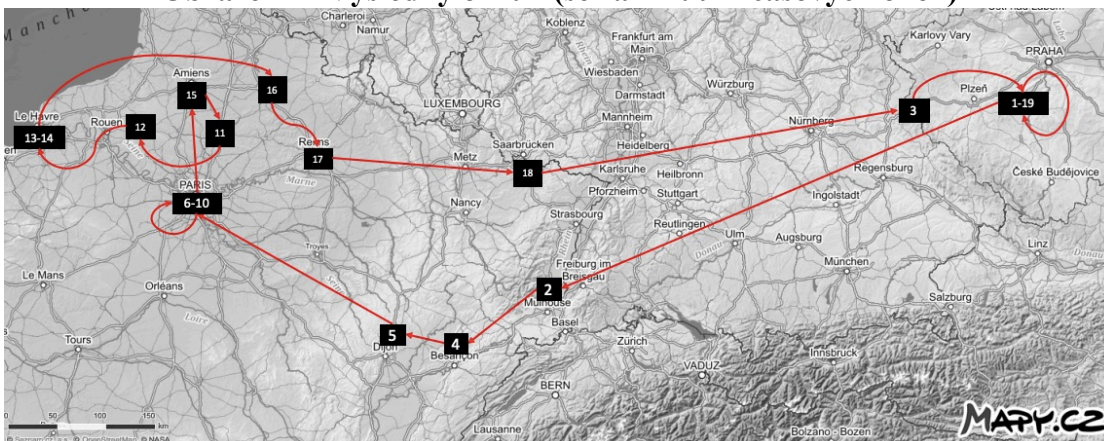
Fáze *choice* je poslední částí rozhodovacího procesu podle Simonovy teorie a bude zde proveden výpočet optimálního pořadí míst v okružním dopravním problému a analýza výsledku. K výpočtu byl opět využit software Gurobi Optimizer 8.1.0 build v8.1.0rc1 běžící na stejné konfiguraci jako v předchozím případě.

Pro výpočet platí:

- řidič vyjíždí z výchozího místa (1 na mapě) v pondělí v 8:00,
- doba obsluhy je 45 minut a řidič se jí neúčastní – může ji využít k odpočinku,
- povinná 9 hodinová pauza je, pokud je potřeba, absolvována vždy v mezi 16 hod aktuálního dne a 8 hod dne následujícího (kromě pauzy absolvované v místě 2).

Výsledný okruh pro daný model se kvůli zahrnutí omezujících podmínek, které určují časový interval navštívení místa, oproti výchozímu modelu mírně mění. Pořadí míst je 1 – 2 – 4 – 5 – 8 – 6 – 7 – 9 – 10 – 15 – 11 – 12 – 13 – 14 – 16 – 17 – 18 – 3 – 19 – 1 a na mapě vypadá následovně:

Obrázek 14 Výsledný okruh (se zahrnutím časových oken)

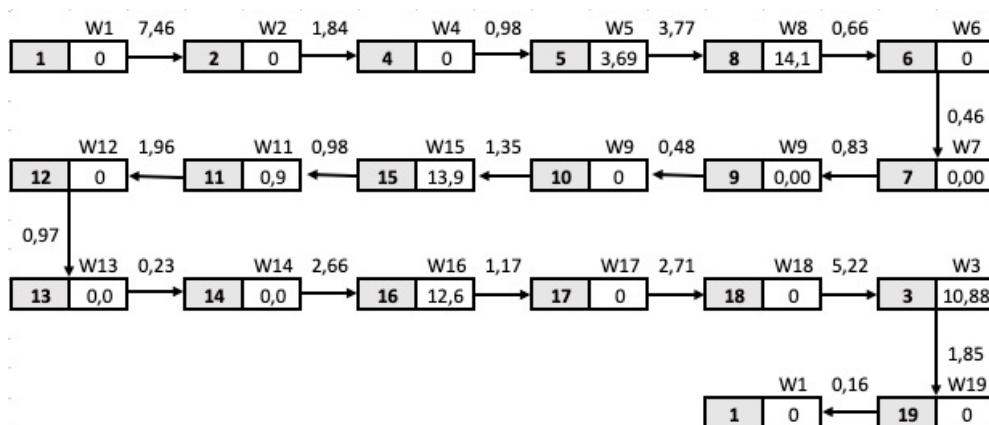


Zdroj: vlastní zpracování, Mapy.cz

Hodnota účelové funkce vč. doby obsluhy je 113, 44 hod. Výsledek modelu byl nalezen s nulovou hodnotou „gap“, tj. jedná se o řešení optimální.

V rámci okruhu dochází k čekáním v určitých místech, které mohou být využity pro absolvování povinné pauzy. Hodnoty jednotlivých spojů v okruhu a hodnoty  $W_i$  (čekání) jsou uvedeny v následujícím schématu (v hodinách):

Obrázek 15 Optimální pořadí míst vč. hodnot  $W_i$



Jak lze z vidět na přiloženém zobrazení trasy na mapě (), mezi místy 10 – 1 – 11 – 1 se vozidlo „vrací“. To je způsobeno tím, že model minimalizuje čekání v jednotlivých místech. Místo toho aby vozidlo v nějakém místě čekalo delší dobu, je do trasy zařazena cesta do jiného místa a čas je využit k cestě a obsluze dalších místa lepšimu využití času.

## 5 Výsledky a diskuse

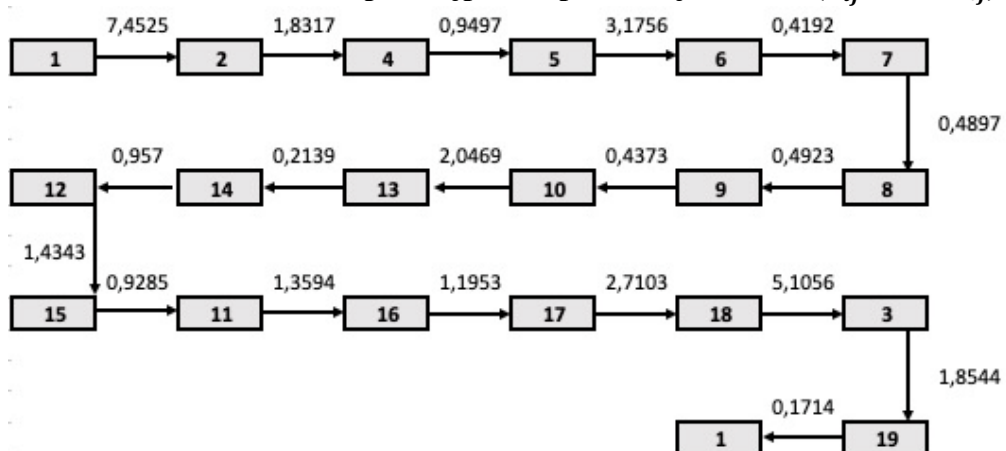
Cílem práce byla konstrukce robustních scénářů pro vybranou množinu míst a následně aplikovat model obchodního cestujícího se zahrnutím časových oken.

### 5.1 Konstrukce robustních scénářů

Jako první byly sestaven robustní model obchodního cestujícího. Bylo vytvořeno několik variant možných scénářů a následně byl po konzultaci s pověřeným pracovníkem firmy vybrán scénář nejpravděpodobnější. K výpočtu byl použit software Gurobi optimizer.

Konkrétní testované scénáře byly uvažovány se změnou hodnoty  $\delta_{ij}^c = 0,1c_{ij}$ ,  $\delta_{ij}^c = 0,15c_{ij}$ ,  $\delta_{ij}^c = 0,2c_{ij}$  a  $\delta_{ij}^c = 0,3c_{ij}$  v kombinaci s hodnotami  $\Gamma \in \langle 18,342 \rangle$ . Hodnoty  $\Gamma$  byly z důvodů časové náročnosti zvoleny jako násobky 18. Jako nejpravděpodobnější scénář byl vybrán nejčastěji se vyskytující okruh pro  $\delta_{ij}^c = 0,1c_{ij}$ . Hodnota účelové funkce je 33,5057 hodin čisté jízdy a optimální pořadí míst je následující:

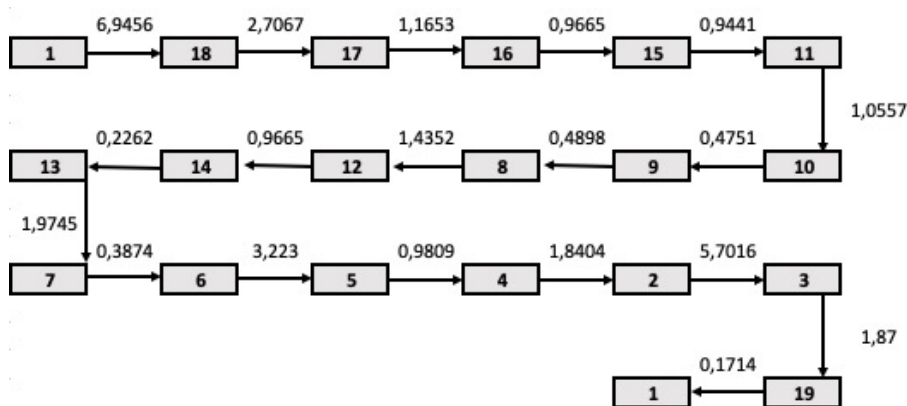
**Obrázek 16** Pořadí míst pro nejpravděpodobnější scénář ( $\delta_{ij}^c = 0,1c_{ij}$ )



Pokud se tento scénář srovná s běžnou dobou čisté jízdy, tj. bez obsluhy a přestávek, která je dle zkušeností pracovníků firmy 38, vychází úspora 4,5 hodiny.

V pořadí míst v modelu od  $\delta_{ij}^c = 0,15c_{ij}$  do  $\delta_{ij}^c = 0,3c_{ij}$  v různých kombinacích s hodnotami  $\Gamma$  docházelo pouze k mírným změnám ve střední části okruhu, kde jsou vzdálenosti mezi jednotlivými místy poměrně krátké. Výjimku tvoří varianta  $\delta_{ij}^c = 0,1c_{ij}$  a  $\Gamma = 54$ , kdy by měl být okruh absolvován opačně oproti většině ostatních výsledků. Přesné pořadí míst je následující:

**Obrázek 17 Pořadí míst pro  $\delta_{ij}^c = 0, 1c_{ij}$   $\Gamma = 54$**



Tento výsledek firma může použít při plánování dopravy v případě, že by měl být náklad vyložen nejprve v místech 18 – 17 – 16 – 15. Tato situace však nastává výjimečně, většinou kamiony míří nejdříve do míst 4 – 9.

Na základě výsledků testovaných scénářů lze říci, že i při malých změnách v ohodnocení tras může docházet k výrazným změnám pořadí míst v okruhu. Nelze však jednoznačně určit, k jak velké změně a na kterém spoji může v reálném případě dojít. Informace o maximální hodnotě doby strávené na trase pro jednotlivé scénáře je pro dispečery důležitým ukazatelem při dlouhodobějším vytěžování řidičů, zvláště pak s přihlédnutím k nutnosti dodržovat zákonné týdenní pauzy.

Běžná čistá doba jízdy podle informací z dopravní firmy je 38 hodin. Ve zvoleném modelu se jedná o 33,5075 hodin. To je úspora o 4,5 hodiny čisté jízdy. V celkovém součtu a v kontextu s dalším vytěžováním řidičů a povinností konat i týdenní a 14 denní pauzy znamená významnou úsporu. Dále se nabízí možnost využívat řidiče více pro rozvoz a svoz nákladů do distribučního centra firmy v Hájích u Příbrami a skladu firmy Bobcat, pokud dojde lepšímu naplánování trasy a získání rezervy v rámci povinných dlouhodobých přestávek.

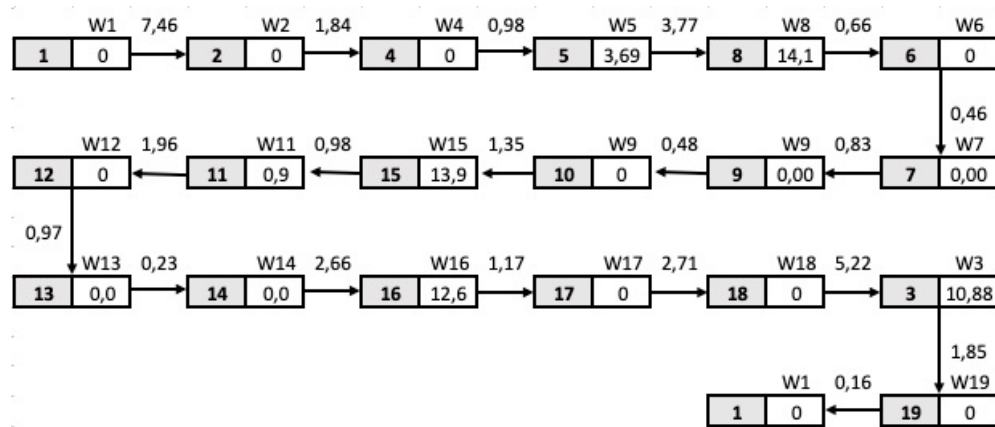
Znalost doby jízdy mezi jednotlivými spoji včetně jejich změn může mít významný vliv při plánování dopravy. Zdržení mohou být způsobeny například dlouhodobou uzavírkou či dopravním omezením. Na základě informace o optimálním pořadí míst s danou hodnotou zdržení lze přizpůsobit plánování dopravy a vyhnout se případným komplikacím vhodnou kombinací objednávek.



## 5.2 Optimalizace v mezinárodní kamionové dopravě

Ze sestavených robustních scénářů byla pro sestavení modelu obchodního cestujícího s časovými okny vybrána nejčastěji se vyskytující varianta pro  $\delta_{ij}^c = 0,1c_{ij}$ . Pro daná místa byly sestaveny tzv. časová okna, která udávají interval, ve kterém má být provedena obsluha konkrétního místa. Zároveň má každé místo stanovenou dobu obsluhy. Posléze byl sestaven odpovídající model a pomocí programu Gurobi optimizer vypočítán. Výsledné optimální pořadí míst vč. hodnot  $c_{ij}$  a  $W_i$  je následující:

Obrázek 18 Optimální pořadí míst vč. hodnot  $W_i$



Hodnota účelové funkce vč. všech čekání a obsluhy míst je 113,44 hodin. Po přenesení jednotlivých spojů do matice vzdáleností v km je výsledná trasa dlouhá 2988,8 km (matice vzdáleností v km je uvedena v přílohách této práce). Průměrná vzdálenost řešeného okruhu, kterou řidiči absolvují je 3700 km. Vypočítaný model nabízí značně nižší ujetou vzdálenost a tím i úsporu nákladů. Náklad na 1 km firma vyčíslila na 28 Kč a v této částce je zahrnut plat řidiče, silniční poplatky a cena pohonných hmot.. To znamená, že za současné situace daný okruh stojí 107800,- a náklady na okruh, který je výsledkem modelu v této práci je 80676,-. Rozdíl je tedy 27127,-. To je značná úspora nákladů, zvláště přihlédneme-li se k faktu, že je okruh absolvován s každý týden 1 - 2x, jedná se o nezanedbatelnou roční úsporu nákladů přibližně 1 300 000,- Kč.

### 5.3 Doporučení

Vzhledem k faktu, že dispečeři nevyužívají žádný systém, který by jim umožňoval nějakou formu optimalizace vzdáleností a času, a spoléhají se pouze na informace ohledně dopravní situace, aplikaci GPS a hlavně vlastní zkušenosti, mohlo by zavedení podobného programu přispět v celkovém měřítku ke značným úsporám. Software RAALTRANS, který firma používá v současné době, nabízí pouze funkce související s přiřazováním objednávek jednotlivým řidičům/kamionům, kilometrovník a výpočet nákladů na základě ručně zadané trasy a nenabízí žádnou možnost optimalizace vzdálenosti nebo času.

Pokud by byl uvažován software využitý k výpočtům v této práci, tedy Gurobi optimizer, bylo by jeho zavedení a využívání v podniku v jeho ryzí formě prakticky nereálné. Program vyžaduje znalosti konkrétních matematických modelů a jejich konstrukce. Program vyžaduje vstupy v podobě textového formátu a i na samotném modelu je třeba provést drobné úpravy. Většina modelů je navíc velmi rozsáhlých a v takovémto měřítku se velice snadno vyskytne chyba, kterou je velmi složité a zdlouhavé najít. Dalším faktorem, který znemožňuje využití programu Gurobi je fakt, že konstrukce modelu pro problém řešený v této práci je poměrně časově náročná a dispečer se musí věnovat i dalším řidičům a objednávkám. Model je i pro takovýto problém značně rozsáhlý a práce s ním je v kontextu dopravní firmy neefektivní. Program Gurobi lze propojit s MS Excel, což se jeví jako možné řešení, ovšem značně omezené a stále vyžadující určité znalosti v oblasti matematického modelování.

Lze doporučit využití programu, konkrétně modelově orientovaného systému pro podporu rozhodování, který umožňuje optimalizaci dopravních tras v podmínkách spediční firmy. Důležitý je přívětivější uživatelský interface pro osobu, která není seznámena s konstrukcí matematických modelů. Výhodou ne-li požadavkem je možnost vkládat vstupní data pomocí standardizovaného vstupního formuláře, např. informace o místech, která mají být obsloužena pomocí adresy nebo importem přímo z objednávkového systému. Samozřejmostí je kontrola správnosti dat. Součástí systému by měl být kilometrovník, informace o dopravní situaci (např. na základě informací z Google maps), sazby mýtného, databáze automobilů (sledování kapacity) a měl by umožňovat modifikaci již zadaných dat – např. za pomoci využití modelů a metod pro řešení dynamického modelu obchodního cestujícího. Jako výstup by měl systém poskytovat návrh několika tras s možností výběru, zda je cílem minimalizovat vzdálenost nebo například přepravní náklady (cena mýtného).

Velkou výhodou systému by bylo možnost udržovat databázi řidičů s přehledem čerpání týdenních/čtrnáctidenních limitů omezených legislativou. Otázkou je, zda takový program je v dnešní době na trhu a zda je finančně dostupný pro firmu takovéto velikosti.

## 6 Závěr

Cílem diplomové práce bylo analyzovat vybraný dopravní problém a následně na něj aplikovat model obchodního cestujícího s časovými okny. Dílčím cílem byla konstrukce robustních scénářů. Oba cíle diplomové práce byly splněny.

Teoretická část práce se věnovala v první části nejprve logistice, jejím cílům a použitím v oblasti dopravy. V další části byl charakterizován operačním výzkum a matematické modelování jako jeho nástroj a byl popsán průběh konstrukce matematického modelu. Samostatná část byla věnována celočíselnému programování, které je konkrétně v podobě binárního programování použito v praktické části této práce. Celočíselný model byl charakterizován a byly uvedeny metody pro řešení celočíselných úloh. Dále byla uvedena oblast dopravních úloh, zejména problému obchodního cestujícího, vč. jeho modifikace se zahrnutím časových oken. Poslední část se věnovala robustní optimalizaci a úpravě lineárního optimalizačního modelu na robustní. Všechna uvedená teoretická východiska byla zpracována na základě syntézy odborných zdrojů, které byly prostudovány před zpracováním vlastní části práce.

Praktická část práce byla postupně zpracována na základě rozdělení podle Simonovy teorie. Nejdříve byl ve fázi *intelligence* identifikován problém, veškeré jeho podstatné části a na základě informací o rozložení míst byla vytvořena matice sazeb. Protože je v modelu pracováno s časovými údaji, je matice uvedena v hodinách. První kapitola vlastní části práce se věnovala konstrukci několika variant robustních scénářů pro zvolený dopravní problém. Ve fázi *design* byl upraven obecný matematický model obchodního cestujícího tak, aby zahrnoval hledisko nejistoty v ohodnocení vzdáleností mezi jednotlivými místy a pro jednotlivé scénáře byly sestaveny konkrétní omezující podmínky. Ve fázi *choice* byl proveden výpočet pomocí programu Gurobi optimizer, analýza výsledných scénářů a výběr nejpravděpodobnějšího scénáře, který byl použit v další části.

Druhá kapitola vlastní části práce navazuje na předchozí. Jako východisko pro konstrukci matematického modelu byl použit zvolený scénář vypočítaný v rámci robustní optimalizace dopravního problému. V této části bylo opět použito rozdělení podle Simonovy teorie. Ve fázi *design* byly určeny hodnoty časových oken a doby obsluhy jednotlivých míst. V návaznosti byl sestaven matematický model obchodního cestujícího zahrnující časová okna. Ve fázi *choice* byl proveden výpočet pomocí programu Gurobi optimizer. Následně

bylo provedena ekonomická analýza výsledků a porovnání se současným řešením ve firmě.  
Z výsledků byly vyvozeny závěry a doporučení.

## 7 Seznam použitých zdrojů

APPLEGATE, David L. c2006. *The traveling salesman problem: a computational study*. Princeton: Princeton University Press. ISBN 978-0-691-12993-8.

ARORA, Sanjeev a Boaz BARAK, 2009. *Computational complexity: a modern approach*. New York: Cambridge University Press. ISBN 978-0521424264.

BALAS, Egon, 1989. The prize collecting traveling salesman problem. *Networks* [online]. Carnegie Mellon University, Pittsburgh, Pennsylvania, United States, Říjen 1989, **16**(6), 621-636 [cit. 2018-10-26]. ISSN 00283045. Dostupné z: <https://doi-org.infozdroje.czu.cz/10.1002/net.3230190602>

BERTSIMAS, D. and SIM, M.: Robust discrete optimization and network flows. *Mathematical Programming*, 98 (2003), 49-71.

BÜSING, Cristina a Fabio D'ANDREAGIOVANNI, 2012. New results under multi-band uncertainty in robust optimization. *Proc. Of the 11th symposium on Experimental Algorithms - SEA 2012* [online]. Heidelberg, 2012, 63-74 [cit. 2018-12-05].

BÜSING, C. and D'ANDREAGIOVANNI, F.: Robust optimization under Multi-band uncertainty – Part I: Theory, 2013.

BERTSIMAS, Dimitris a Melvyn SIM, 2004. The Price of Robustness. *Operations Research* [online]. **52**(1), 35-53 [cit. 2018-12-05]. DOI: 10.1287/opre.1030.0065. ISSN 0030-364X. Dostupné z: <http://pubsonline.informs.org/doi/abs/10.1287/opre.1030.0065>

BROŽOVÁ, Helena a Milan HOUŠKA, 2002. *Základní metody operační analýzy*. Praha: Česká zemědělská univerzita v Praze, Provozně ekonomická fakulta ve vydavatelství Credit. ISBN 9788021309517.

COOK, Stephen A., 1971. The complexity of theorem-proving procedures. *Proceedings of the third annual ACM symposium on Theory of computing - STOC '71*. New York, New

York, USA: ACM Press, 1971, 151-158. DOI: 10.1145/800157.805047. Dostupné také z: <http://portal.acm.org/citation.cfm?doid=800157.805047>

COOK, William, 2012. *Po stopách obchodního cestujícího: matematika na hranicích možností*. Praha: Argo. Zip (Argo: Dokořán): Dokořán). ISBN 978-80-7363-412-4.

DRAHOTSKÝ, Ivo a Bohumil ŘEZNÍČEK, 2003. *Logistika - procesy a jejich řízení*. Brno: Computer Press. Praxe manažera (Computer Press). ISBN 80-7226-521-0.

FÁBRY, Jan, 2011. *Matematické modelování*. Praha: Professional Publishing. ISBN 978-80-7431-066-9.

FIALA, Petr, 2010. *Operační výzkum: nové trendy*. Praha: Professional Publishing. ISBN 978-80-7431-036-2.

Gurobi Optimizer: State of the Art *Mathematical Programming Solver*, b.r. *Gurobi Optimization: An easier way to make better decisions* [online]. [cit. 2018-11-17]. Dostupné z: <http://www.gurobi.com/products/gurobi-optimizer>

GROS, Ivan, 2003. *Kvantitativní metody v manažerském rozhodování*. Praha: Grada. Expert (Grada). ISBN 8024704218.

HLADÍK, Milan, 2017. *Celočíselné programování*: text k přednášce. Praha, 90 s. Dostupné také z: [https://kam.mff.cuni.cz/~hladik/CP/text\\_cp.pdf](https://kam.mff.cuni.cz/~hladik/CP/text_cp.pdf). Text k přednášce. Univerzita Karlova v Praze.

HLAVATÝ, Robert a Helena BROŽOVÁ, 2017. *Mathematical Methods in Economics 2017: Robust optimization approach in transportation problem* [online]. 1-6 [cit. 2018-11-17]. Dostupné z: [https://www.researchgate.net/publication/319670419\\_Robust\\_optimization\\_approach\\_in\\_transportation\\_problem](https://www.researchgate.net/publication/319670419_Robust_optimization_approach_in_transportation_problem)

JABLONSKÝ, Josef, 2002. *Operační výzkum: kvantitativní modely pro ekonomické rozhodování*. 2. vyd. Praha: Professional Publishing. ISBN 80-86419-42-8.

KAIN, Ravi a Ajay VERMA, 2018. Logistics Management in Supply Chain – An Overview. *Materials Today* [online]. 24. 3. 2018, (5), 3811-3816 [cit. 2018-10-25]. ISSN 2214-7853. Dostupné z: <https://www.sciencedirect.com/science/article/pii/S2214785317329073>

KAUFMAN, Arnold. *Methods and models of operations research*. Englewood Cliffs, N.J.: Prentice-Hall, 1963. ISBN 978-0135794098.

KLAPKA, Jindřich, Jiří DVOŘÁK a Pavel POPELA. *Metody operačního výzkumu*. Brno: Vysoké učení technické, 1996. ISBN 80-214-0817-0.

KOTLER, Philip, c2001. *Marketing management*. 10. rozš. vyd., 1. vyd. [Grada Publishing]. Praha: Grada. Profesionál. ISBN 80-247-0016-6.

LAGOVÁ, Milada a Josef JABLONSKÝ. *Lineární modely: Operační výzkum – kvantitativní modely pro ekonomické rozhodování*. Praha: Oeconomica, 2004. ISBN 80-245-0816-8.

MALAGUTI, Enrico, Silvano MARTELLO a Alberto SANTINI, 2018. The traveling salesman problem with pickups, deliveries, and draft limits. *Omega* [online]. 24. 1. 2017, (74), 50-58 [cit. 2018-10-26]. ISSN 0305-0483. Dostupné z: <https://doi.org/10.1016/j.omega.2017.01.005>

REINELT, G., c1994. *The traveling salesman: computational solutions for TSP applications*. New York: Springer-Verlag. ISBN 0-387-58334-3.

SIXTA, Josef a Václav MAČÁT, 2005. *Logistika: teorie a praxe*. Brno: CP Books. Business books (CP Books). ISBN 80-251-0573-3.



ŠTŮSEK, Jaromír. 2005. Logistický management. V Praze: Česká zemědělská univerzita, Provozně ekonomická fakulta, Katedra řízení. ISBN 80-213-1259-9.

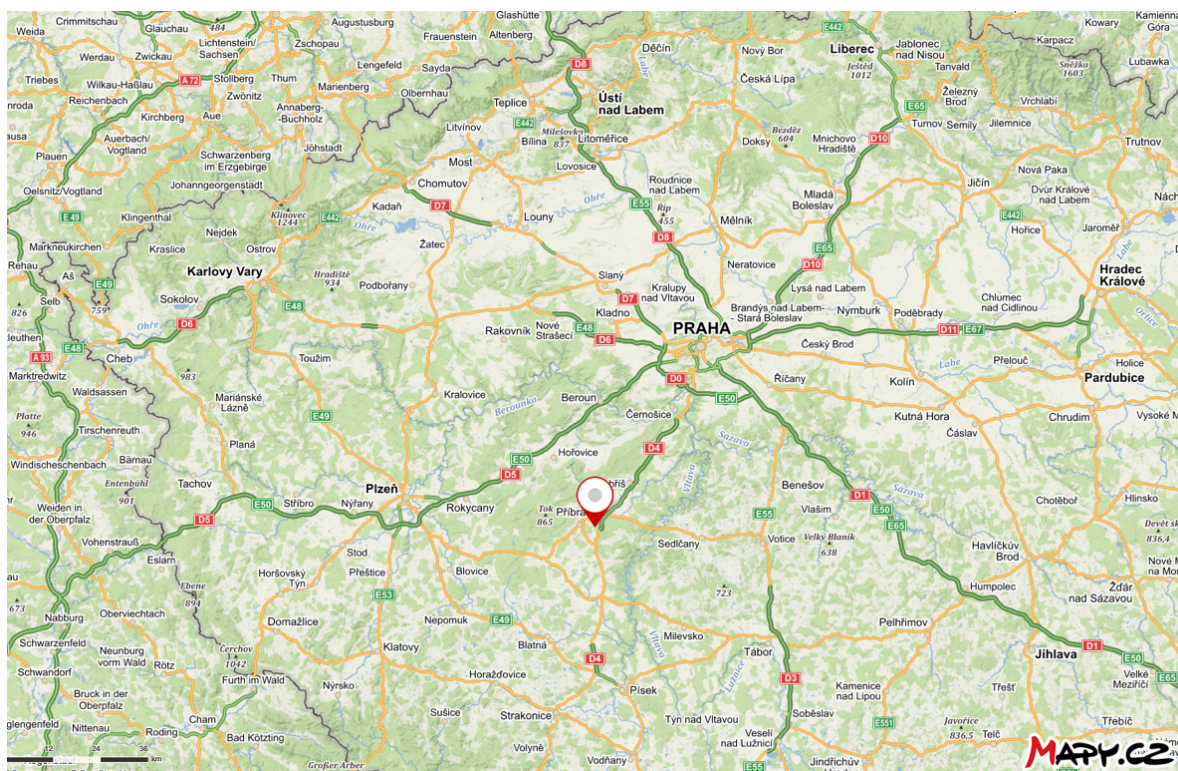
WAYNE L. WINSTON., 1997. Operations research: applications and algorithms. 3. ed. Belmont, Calif: Duxbury Press. ISBN 978-0534520205.

What is Operational Research?. The Operational Research Society [online]. [cit. 2019-03-25]. Dostupné z: <https://www.theorsociety.com/about-or/>

## 8 Přílohy

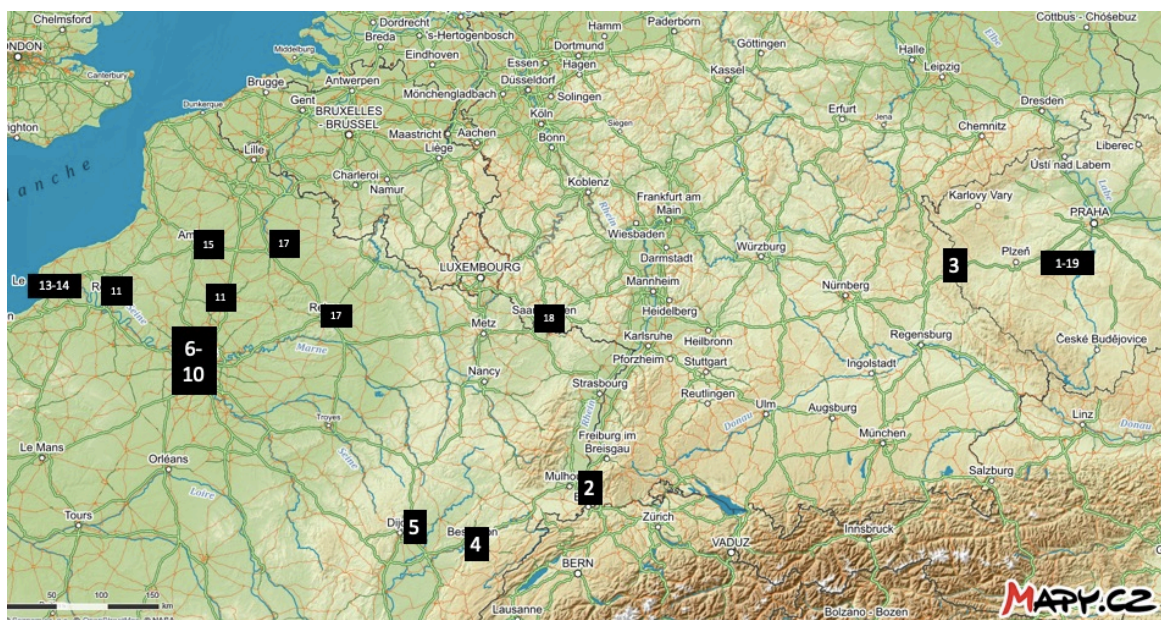
Příloha 1 Sídlo firmy Josef Vondráček s. r. o. ....	58
Příloha 2 Místa na trase.....	58
Příloha 3 Matice vzdáleností (v km).....	59
Příloha 4 Robustní model $\delta_{ijc} = 0,1c_{ij}$ $\Gamma = 18$ .....	60
Příloha 5 Omezující podmínka pro (4.6) $\delta_{ijc} = 0,15c_{ij}$ .....	73
Příloha 6 Podmínka (4.6) pro $\delta_{ijc} = 0,2c_{ij}$ .....	77
Příloha 7 Výstup z Gurobi pro $\delta_{ijc} = 10\%$ $\Gamma = 18$ .....	81
Příloha 8 Výstup z Gurobi pro $\delta_{ijc} = 10\%$ $\Gamma = 3$ .....	83
Příloha 9 Výstup z Gurobi pro $\delta_{ijc} = 10\%$ $\Gamma=56$ .....	84
Příloha 10 Výstup z Gurobi $\delta_{ijc} = 15\%$ $\Gamma = 18$ .....	86
Příloha 11 Výstup z Gurobi pro $\delta_{ijc} = 15\%$ , $\Gamma = 36$ .....	88
Příloha 12 Matematický model TSP s časovými okny.....	90
Příloha 13 Výstup z programu Gurobi pro TSP s časovými okny.....	109

## Příloha 1 Sídlo firmy Josef Vondráček s. r. o.



Zdroj: Mapy.cz

## Příloha 2 Místa na trase



Zdroj: Mapy.cz

**Příloha 3 Matice vzdáleností (v km)**

	1	2	3	4	5	6	7	8	9	10	11	12	13	14	15	16	17	18	19
1	0,0	682,8	146,8	831,6	901,8	1027,1	1034,1	1045,4	1049,6	1046,9	999,5	1159,2	1214,2	1214,5	1045,8	968,3	869,8	625,1	6,0
2	682,2	0,0	536,8	163,1	233,3	533,6	552,0	566,2	586,7	529,5	561,6	682,8	725,5	734,5	634,9	557,3	458,8	233,6	679,8
3	146,6	537,4	0,0	686,2	756,4	881,7	888,7	900,0	904,2	901,6	854,2	1013,9	1068,8	1069,1	900,5	822,9	724,4	479,7	144,2
4	831,2	162,6	685,8	0,0	79,2	379,5	397,9	412,1	432,6	434,7	470,3	528,7	571,4	580,4	535,5	457,9	359,4	393,9	828,9
5	901,9	233,3	756,5	79,4	0,0	300,5	318,9	333,1	353,6	355,7	391,3	449,7	492,4	501,4	479,4	401,9	303,4	337,8	899,5
6	1029,1	535,5	883,7	381,7	302,4	0,0	17,4	31,6	52,1	64,7	104,0	148,3	190,9	199,9	165,3	187,2	162,5	410,7	1026,8
7	1033,6	550,3	888,2	396,4	317,2	17,2	0,0	16,5	37,0	50,4	101,8	133,1	175,8	184,8	151,1	185,0	166,9	415,2	1031,2
8	1046,0	565,8	900,6	411,9	332,7	32,8	16,7	0,0	16,8	25,5	102,3	119,2	161,9	170,9	133,5	185,2	179,3	427,6	1043,7
9	1049,6	585,3	904,2	431,5	352,2	52,3	36,2	16,7	0,0	11,8	94,9	125,6	168,3	177,3	126,1	180,1	182,9	431,2	1047,2
10	1047,3	531,7	901,9	435,1	355,9	64,0	48,9	24,5	12,3	0,0	77,2	124,5	167,1	176,1	108,4	181,1	180,6	428,9	1044,9
11	999,2	561,5	853,8	467,8	388,6	98,7	98,2	100,7	93,6	75,5	0,0	119,2	192,0	192,3	80,8	115,4	132,5	380,8	996,8
12	1159,3	681,8	1014,0	527,9	448,7	148,7	132,6	118,7	125,9	125,5	118,4	0,0	79,6	79,9	120,2	196,9	292,5	540,9	1157,0
13	1213,4	724,3	1068,0	570,5	491,2	191,3	175,2	161,3	168,5	168,0	192,2	80,7	0,0	8,9	174,3	250,9	346,6	595,0	1211,0
14	1213,7	732,1	1068,3	578,2	499,0	199,0	183,0	169,0	176,3	175,8	192,6	81,0	8,7	0,0	174,6	251,2	346,9	595,3	1211,4
15	1045,3	634,7	899,9	536,5	478,7	164,7	149,6	132,9	125,9	107,8	81,2	119,5	174,5	174,8	0,0	82,8	178,5	426,9	1042,9
16	968,7	558,1	823,3	459,9	402,1	183,8	183,3	183,5	181,4	178,8	115,6	195,9	250,8	251,1	82,5	0,0	101,8	350,3	966,3
17	870,2	459,6	724,8	361,4	303,6	159,8	166,8	178,2	182,3	179,7	132,5	291,3	346,2	346,5	177,9	100,3	0,0	251,8	867,8
18	624,8	234,8	479,4	396,6	338,8	409,3	416,3	427,7	431,8	429,2	381,8	541,5	596,4	596,7	428,1	350,5	252,0	0,0	622,4
19	6,0	680,4	144,4	829,2	899,4	1024,7	1031,7	1043,0	1047,2	1044,6	997,2	1156,9	1211,8	1212,1	1043,5	965,9	867,4	622,8	0,0

#### Příloha 4 Robustní model $\delta_{ij}^c = 0, 1c_{ij} \Gamma z = 18$

Minimize

E

Subject to

6.789 x1\_2 + 1.714 x1\_3 + 8.26 x1\_4 + 8.85 x1\_5 + 10.041 x1\_6 + 10.166 x1\_7 + 10.343 x1\_8 + 10.471 x1\_9 + 10.284 x1\_10 + 10.335 x1\_11 + 11.173 x1\_12 + 11.623 x1\_13 + 11.624 x1\_14 + 10.086 x1\_15 + 9.395 x1\_16 + 8.555 x1\_17 + 6.314 x1\_18 + 0.147 x1\_19 + 6.786 x2\_1 + 5.183 x2\_3 + 1.679 x2\_4 + 2.27 x2\_5 + 4.894 x2\_6 + 5.147 x2\_7 + 5.354 x2\_8 + 5.646 x2\_9 + 5.555 x2\_10 + 5.808 x2\_11 + 6.379 x2\_12 + 6.728 x2\_13 + 6.81 x2\_14 + 5.911 x2\_15 + 5.22 x2\_16 + 4.38 x2\_17 + 2.472 x2\_18 + 6.748 x2\_19 + 5.221 x3\_2 + 1.739 x3\_1 + 6.692 x3\_4 + 7.282 x3\_5 + 8.473 x3\_6 + 8.598 x3\_7 + 8.775 x3\_8 + 8.903 x3\_9 + 8.716 x3\_10 + 8.767 x3\_11 + 9.605 x3\_12 + 10.055 x3\_13 + 10.056 x3\_14 + 8.518 x3\_15 + 7.827 x3\_16 + 6.987 x3\_17 + 4.746 x3\_18 + 1.7 x3\_19 + 1.673 x4\_2 + 6.661 x4\_3 + 8.264 x4\_1 + 0.878 x4\_5 + 3.502 x4\_6 + 3.755 x4\_7 + 3.962 x4\_8 + 4.253 x4\_9 + 4.282 x4\_10 + 4.587 x4\_11 + 4.987 x4\_12 + 5.336 x4\_13 + 5.418 x4\_14 + 4.826 x4\_15 + 4.135 x4\_16 + 3.295 x4\_17 + 3.804 x4\_18 + 8.225 x4\_19 + 2.269 x5\_2 + 7.257 x5\_3 + 0.892 x5\_4 + 8.859 x5\_1 + 2.901 x5\_6 + 3.153 x5\_7 + 3.36 x5\_8 + 3.652 x5\_9 + 3.68 x5\_10 + 3.986 x5\_11 + 4.386 x5\_12 + 4.735 x5\_13 + 4.817 x5\_14 + 4.327 x5\_15 + 3.637 x5\_16 + 2.796 x5\_17 + 3.306 x5\_18 + 8.821 x5\_19 + 4.932 x6\_2 + 8.423 x6\_3 + 3.555 x6\_4 + 2.93 x6\_5 + 10.026 x6\_1 + 0.395 x6\_7 + 0.602 x6\_8 + 0.894 x6\_9 + 0.974 x6\_10 + 1.374 x6\_11 + 1.628 x6\_12 + 1.977 x6\_13 + 2.059 x6\_14 + 1.914 x6\_15 + 2.054 x6\_16 + 1.79 x6\_17 + 3.994 x6\_18 + 9.988 x6\_19 + 5.149 x7\_2 + 8.522 x7\_3 + 3.772 x7\_4 + 3.147 x7\_5 + 0.352 x7\_6 + 10.124 x7\_1 + 0.459 x7\_8 + 0.751 x7\_9 + 0.838 x7\_10 + 1.402 x7\_11 + 1.485 x7\_12 + 1.834 x7\_13 + 1.916 x7\_14 + 1.778 x7\_15 + 2.083 x7\_16 + 1.888 x7\_17 + 4.092 x7\_18 + 10.086 x7\_19 + 5.43 x8\_2 + 8.717 x8\_3 + 4.053 x8\_4 + 3.428 x8\_5 + 0.633 x8\_6 + 0.48 x8\_7 + 10.32 x8\_1 + 0.462 x8\_9 + 0.539 x8\_10 + 1.273 x8\_11 + 1.305 x8\_12 + 1.654 x8\_13 + 1.736 x8\_14 + 1.545 x8\_15 + 1.989 x8\_16 + 2.084 x8\_17 + 4.287 x8\_18 + 10.281 x8\_19 + 5.703 x9\_2 + 8.87 x9\_3 + 4.326 x9\_4 + 3.701 x9\_5 + 0.906 x9\_6 + 0.753 x9\_7 + 0.445 x9\_8 + 10.473 x9\_1 + 0.412 x9\_10 + 1.187 x9\_11 + 1.53 x9\_12 + 1.879 x9\_13 + 1.961 x9\_14 + 1.459 x9\_15 + 2.058 x9\_16 + 2.237 x9\_17 + 4.44 x9\_18 + 10.434 x9\_19 + 5.665 x10\_2 + 8.705 x10\_3 + 4.354 x10\_4 + 3.729 x10\_5 + 0.981 x10\_6 + 0.842 x10\_7 + 0.516 x10\_8 + 0.432 x10\_9 + 10.308 x10\_1 + 0.971 x10\_11 + 1.526 x10\_12 + 1.875 x10\_13 + 1.957 x10\_14 + 1.243 x10\_15 + 1.869 x10\_16 + 2.072 x10\_17 + 4.276 x10\_18 + 10.27 x10\_19 + 5.901 x11\_2 + 8.696 x11\_3 + 4.648 x11\_4 + 4.023 x11\_5 + 1.368 x11\_6 + 1.379 x11\_7 + 1.237 x11\_8 + 1.181 x11\_9 + 0.96 x11\_10 + 10.299 x11\_1 + 1.784 x11\_12 + 2.31 x11\_13 + 2.311 x11\_14 + 0.888 x11\_15 + 1.25 x11\_16 + 2.006 x11\_17 + 4.266 x11\_18 + 10.26 x11\_19 + 6.403 x12\_2 + 9.529 x12\_3 + 5.026 x12\_4 + 4.401 x12\_5 + 1.606 x12\_6 + 1.453 x12\_7 + 1.294 x12\_8 + 1.506 x12\_9 + 1.552 x12\_10 + 1.78 x12\_11 + 11.133 x12\_1 + 0.877 x12\_13 + 0.879 x12\_14 + 1.318 x12\_15 + 1.981 x12\_16 + 2.883 x12\_17 + 5.1 x12\_18 + 11.094 x12\_19 + 6.745 x13\_2 + 9.962 x13\_3 + 5.368 x13\_4 + 4.743 x13\_5 + 1.948 x13\_6 + 1.795 x13\_7 + 1.636 x13\_8 + 1.848 x13\_9 + 1.894 x13\_10 + 2.297 x13\_11 + 0.879 x13\_12 + 11.565 x13\_1 + 0.209 x13\_14 + 1.751 x13\_15 + 2.414 x13\_16 + 3.315 x13\_17 + 5.532 x13\_18 + 11.526 x13\_19 + 6.833 x14\_2 + 9.968 x14\_3 + 5.456 x14\_4 + 4.831 x14\_5 + 2.036 x14\_6 + 1.883 x14\_7 + 1.724 x14\_8 + 1.936 x14\_9 + 1.982 x14\_10 + 2.302 x14\_11 + 0.884 x14\_12 + 0.206 x14\_13 + 11.571 x14\_1 + 1.756 x14\_15 + 2.419 x14\_16 + 3.321 x14\_17 + 5.538 x14\_18 + 11.532 x14\_19 + 5.9 x15\_2 + 8.436 x15\_3 + 4.871 x15\_4 + 4.338 x15\_5 + 1.894 x15\_6 + 1.756 x15\_7 + 1.5 x15\_8 + 1.444 x15\_9 + 1.223 x15\_10 + 0.858 x15\_11 + 1.314 x15\_12 + 1.764 x15\_13 + 1.765 x15\_14 + 10.039 x15\_1 + 0.887 x15\_16 + 1.789 x15\_17 + 4.006 x15\_18 + 10 x15\_19 + 5.212 x16\_2 + 7.748 x16\_3 + 4.183 x16\_4 + 3.65 x16\_5 + 1.985 x16\_6 + 1.996 x16\_7 + 1.927 x16\_8 + 1.979 x16\_9 + 1.798 x16\_10 + 1.233 x16\_11 + 1.967 x16\_12 + 2.416 x16\_13 + 2.418 x16\_14 + 0.879 x16\_15 + 9.351 x16\_1 + 1.101 x16\_17 + 3.318 x16\_18 + 9.312 x16\_19 + 4.372 x17\_2 + 6.908 x17\_3 + 3.343 x17\_4 + 2.809 x17\_5 + 1.736 x17\_6 + 1.861 x17\_7 + 2.039 x17\_8 + 2.166 x17\_9 + 1.98 x17\_10 + 1.971 x17\_11 + 2.838 x17\_12 + 3.288 x17\_13 + 3.289 x17\_14 + 1.75 x17\_15 + 1.059 x17\_16 + 8.511 x17\_1 + 2.478 x17\_18 + 8.472 x17\_19 + 2.45 x18\_2 + 4.656 x18\_3 + 3.856 x18\_4 + 3.323 x18\_5 + 3.946 x18\_6 + 4.072 x18\_7 + 4.249 x18\_8 + 4.377 x18\_9 + 4.19 x18\_10 + 4.241 x18\_11 + 5.079 x18\_12 + 5.529 x18\_13 + 5.53 x18\_14 + 3.991 x18\_15 + 3.301 x18\_16 + 2.461 x18\_17 + 6.259 x18\_1 + 6.22 x18\_19 + 6.759 x19\_2 + 1.684 x19\_3 + 8.23 x19\_4 + 8.821 x19\_5 + 10.011 x19\_6 + 10.136 x19\_7 + 10.314 x19\_8 + 10.441 x19\_9 + 10.255 x19\_10 + 10.306 x19\_11 + 11.144 x19\_12 + 11.593 x19\_13 + 11.595 x19\_14 + 10.056 x19\_15 + 9.365 x19\_16 + 8.525 x19\_17 + 6.284 x19\_18 + 0.156 x19\_1 + 18 z + p1\_2 + p1\_3 + p1\_4 + p1\_5 + p1\_6 + p1\_7 + p1\_8 + p1\_9 + p1\_10 + p1\_11 + p1\_12 + p1\_13 + p1\_14 + p1\_15 + p1\_16 + p1\_17 + p1\_18 + p1\_19 + p2\_1 + p2\_3 + p2\_4 + p2\_5 + p2\_6 + p2\_7 + p2\_8 + p2\_9 + p2\_10 + p2\_11 + p2\_12 + p2\_13 + p2\_14 + p2\_15 + p2\_16 + p2\_17 + p2\_18 + p2\_19 + p3\_1 + p3\_2 + p3\_4 + p3\_5 + p3\_6 + p3\_7 + p3\_8 +



$p3\_9 + p3\_10 + p3\_11 + p3\_12 + p3\_13 + p3\_14 + p3\_15 + p3\_16 + p3\_17 + p3\_18 + p3\_19 + p4\_1 + p4\_2 + p4\_3 + p4\_4 + p4\_5 + p4\_6 + p4\_7 + p4\_8 + p4\_9 + p4\_10 + p4\_11 + p4\_12 + p4\_13 + p4\_14 + p4\_15 + p4\_16 + p4\_17 + p4\_18 + p4\_19 + p5\_1 + p5\_2 + p5\_3 + p5\_4 + p5\_5 + p5\_6 + p5\_7 + p5\_8 + p5\_9 + p5\_10 + p5\_11 + p5\_12 + p5\_13 + p5\_14 + p5\_15 + p5\_16 + p5\_17 + p5\_18 + p5\_19 + p6\_1 + p6\_2 + p6\_3 + p6\_4 + p6\_5 + p6\_6 + p6\_7 + p6\_8 + p6\_9 + p6\_10 + p6\_11 + p6\_12 + p6\_13 + p6\_14 + p6\_15 + p6\_16 + p6\_17 + p6\_18 + p6\_19 + p7\_1 + p7\_2 + p7\_3 + p7\_4 + p7\_5 + p7\_6 + p7\_7 + p7\_8 + p7\_9 + p7\_10 + p7\_11 + p7\_12 + p7\_13 + p7\_14 + p7\_15 + p7\_16 + p7\_17 + p7\_18 + p7\_19 + p8\_1 + p8\_2 + p8\_3 + p8\_4 + p8\_5 + p8\_6 + p8\_7 + p8\_8 + p8\_9 + p8\_10 + p8\_11 + p8\_12 + p8\_13 + p8\_14 + p8\_15 + p8\_16 + p8\_17 + p8\_18 + p8\_19 + p9\_1 + p9\_2 + p9\_3 + p9\_4 + p9\_5 + p9\_6 + p9\_7 + p9\_8 + p9\_9 + p9\_10 + p9\_11 + p9\_12 + p9\_13 + p9\_14 + p9\_15 + p9\_16 + p9\_17 + p9\_18 + p9\_19 + p10\_1 + p10\_2 + p10\_3 + p10\_4 + p10\_5 + p10\_6 + p10\_7 + p10\_8 + p10\_9 + p10\_10 + p10\_11 + p10\_12 + p10\_13 + p10\_14 + p10\_15 + p10\_16 + p10\_17 + p10\_18 + p10\_19 + p11\_1 + p11\_2 + p11\_3 + p11\_4 + p11\_5 + p11\_6 + p11\_7 + p11\_8 + p11\_9 + p11\_10 + p11\_11 + p11\_12 + p11\_13 + p11\_14 + p11\_15 + p11\_16 + p11\_17 + p11\_18 + p11\_19 + p12\_1 + p12\_2 + p12\_3 + p12\_4 + p12\_5 + p12\_6 + p12\_7 + p12\_8 + p12\_9 + p12\_10 + p12\_11 + p12\_12 + p12\_13 + p12\_14 + p12\_15 + p12\_16 + p12\_17 + p12\_18 + p12\_19 + p13\_1 + p13\_2 + p13\_3 + p13\_4 + p13\_5 + p13\_6 + p13\_7 + p13\_8 + p13\_9 + p13\_10 + p13\_11 + p13\_12 + p13\_13 + p13\_14 + p13\_15 + p13\_16 + p13\_17 + p13\_18 + p13\_19 + p14\_1 + p14\_2 + p14\_3 + p14\_4 + p14\_5 + p14\_6 + p14\_7 + p14\_8 + p14\_9 + p14\_10 + p14\_11 + p14\_12 + p14\_13 + p14\_14 + p14\_15 + p14\_16 + p14\_17 + p14\_18 + p14\_19 + p15\_1 + p15\_2 + p15\_3 + p15\_4 + p15\_5 + p15\_6 + p15\_7 + p15\_8 + p15\_9 + p15\_10 + p15\_11 + p15\_12 + p15\_13 + p15\_14 + p15\_15 + p15\_16 + p15\_17 + p15\_18 + p15\_19 + p16\_1 + p16\_2 + p16\_3 + p16\_4 + p16\_5 + p16\_6 + p16\_7 + p16\_8 + p16\_9 + p16\_10 + p16\_11 + p16\_12 + p16\_13 + p16\_14 + p16\_15 + p16\_16 + p16\_17 + p16\_18 + p16\_19 + p17\_1 + p17\_2 + p17\_3 + p17\_4 + p17\_5 + p17\_6 + p17\_7 + p17\_8 + p17\_9 + p17\_10 + p17\_11 + p17\_12 + p17\_13 + p17\_14 + p17\_15 + p17\_16 + p17\_17 + p17\_18 + p17\_19 + p18\_1 + p18\_2 + p18\_3 + p18\_4 + p18\_5 + p18\_6 + p18\_7 + p18\_8 + p18\_9 + p18\_10 + p18\_11 + p18\_12 + p18\_13 + p18\_14 + p18\_15 + p18\_16 + p18\_17 + p18\_18 + p18\_19 + p19\_1 + p19\_2 + p19\_3 + p19\_4 + p19\_5 + p19\_6 + p19\_7 + p19\_8 + p19\_9 + p19\_10 + p19\_11 + p19\_12 + p19\_13 + p19\_14 + p19\_15 + p19\_16 + p19\_17 + p19\_18 - E \leq 0$

$z + p1\_2 - 0.6789 x1\_2 \geq 0$   
 $z + p1\_3 - 0.1714 x1\_3 \geq 0$   
 $z + p1\_4 - 0.826 x1\_4 \geq 0$   
 $z + p1\_5 - 0.885 x1\_5 \geq 0$   
 $z + p1\_6 - 1.0041 x1\_6 \geq 0$   
 $z + p1\_7 - 1.0166 x1\_7 \geq 0$   
 $z + p1\_8 - 1.0343 x1\_8 \geq 0$   
 $z + p1\_9 - 1.0471 x1\_9 \geq 0$   
 $z + p1\_10 - 1.0284 x1\_10 \geq 0$   
 $z + p1\_11 - 1.0335 x1\_11 \geq 0$   
 $z + p1\_12 - 1.1173 x1\_12 \geq 0$   
 $z + p1\_13 - 1.1623 x1\_13 \geq 0$   
 $z + p1\_14 - 1.1624 x1\_14 \geq 0$   
 $z + p1\_15 - 1.0086 x1\_15 \geq 0$   
 $z + p1\_16 - 0.9395 x1\_16 \geq 0$   
 $z + p1\_17 - 0.8555 x1\_17 \geq 0$   
 $z + p1\_18 - 0.6314 x1\_18 \geq 0$   
 $z + p1\_19 - 0.0147 x1\_19 \geq 1$

$z + p2\_15 - 0.5911 x2\_15 \geq 0$   
 $z + p2\_16 - 0.522 x2\_16 \geq 0$   
 $z + p2\_17 - 0.438 x2\_17 \geq 0$   
 $z + p2\_18 - 0.2472 x2\_18 \geq 0$   
 $z + p2\_19 - 0.6748 x2\_19 \geq 1$

$z + p3\_1 - 0.1739 x3\_1 \geq 0$   
 $z + p3\_2 - 0.5221 x3\_2 \geq 0$   
 $z + p3\_4 - 0.6692 x3\_4 \geq 0$   
 $z + p3\_5 - 0.7282 x3\_5 \geq 0$   
 $z + p3\_6 - 0.8473 x3\_6 \geq 0$   
 $z + p3\_7 - 0.8598 x3\_7 \geq 0$   
 $z + p3\_8 - 0.8775 x3\_8 \geq 0$   
 $z + p3\_9 - 0.8903 x3\_9 \geq 0$   
 $z + p3\_10 - 0.8716 x3\_10 \geq 0$   
 $z + p3\_11 - 0.8767 x3\_11 \geq 0$   
 $z + p3\_12 - 0.9605 x3\_12 \geq 0$   
 $z + p3\_13 - 1.0055 x3\_13 \geq 0$   
 $z + p3\_14 - 1.0056 x3\_14 \geq 0$   
 $z + p3\_15 - 0.8518 x3\_15 \geq 0$   
 $z + p3\_16 - 0.7827 x3\_16 \geq 0$   
 $z + p3\_17 - 0.6987 x3\_17 \geq 0$   
 $z + p3\_18 - 0.4746 x3\_18 \geq 0$   
 $z + p3\_19 - 0.17 x3\_19 \geq 1$

$z + p2\_1 - 0.6786 x2\_1 \geq 0$   
 $z + p2\_3 - 0.5183 x2\_3 \geq 0$   
 $z + p2\_4 - 0.1679 x2\_4 \geq 0$   
 $z + p2\_5 - 0.227 x2\_5 \geq 0$   
 $z + p2\_6 - 0.4894 x2\_6 \geq 0$   
 $z + p2\_7 - 0.5147 x2\_7 \geq 0$   
 $z + p2\_8 - 0.5354 x2\_8 \geq 0$   
 $z + p2\_9 - 0.5646 x2\_9 \geq 0$   
 $z + p2\_10 - 0.5555 x2\_10 \geq 0$   
 $z + p2\_11 - 0.5808 x2\_11 \geq 0$   
 $z + p2\_12 - 0.6379 x2\_12 \geq 0$   
 $z + p2\_13 - 0.6728 x2\_13 \geq 0$   
 $z + p2\_14 - 0.681 x2\_14 \geq 0$

$z + p4\_1 - 0.8264 x4\_1 \geq 0$   
 $z + p4\_2 - 0.1673 x4\_2 \geq 0$   
 $z + p4\_3 - 0.6661 x4\_3 \geq 0$   
 $z + p4\_5 - 0.0878 x4\_5 \geq 0$   
 $z + p4\_6 - 0.3502 x4\_6 \geq 0$   
 $z + p4\_7 - 0.3755 x4\_7 \geq 0$   
 $z + p4\_8 - 0.3962 x4\_8 \geq 0$

z + p4\_9 - 0.4253 x4\_9 >= 0  
z + p4\_10 - 0.4282 x4\_10 >= 0  
z + p4\_11 - 0.4587 x4\_11 >= 0  
z + p4\_12 - 0.4987 x4\_12 >= 0  
z + p4\_13 - 0.5336 x4\_13 >= 0  
z + p4\_14 - 0.5418 x4\_14 >= 0  
z + p4\_15 - 0.4826 x4\_15 >= 0  
z + p4\_16 - 0.4135 x4\_16 >= 0  
z + p4\_17 - 0.3295 x4\_17 >= 0  
z + p4\_18 - 0.3804 x4\_18 >= 0  
z + p4\_19 - 0.8225 x4\_19 >= 1

z + p7\_9 - 0.0751 x7\_9 >= 0  
z + p7\_10 - 0.0838 x7\_10 >= 0  
z + p7\_11 - 0.1402 x7\_11 >= 0  
z + p7\_12 - 0.1485 x7\_12 >= 0  
z + p7\_13 - 0.1834 x7\_13 >= 0  
z + p7\_14 - 0.1916 x7\_14 >= 0  
z + p7\_15 - 0.1778 x7\_15 >= 0  
z + p7\_16 - 0.2083 x7\_16 >= 0  
z + p7\_17 - 0.1888 x7\_17 >= 0  
z + p7\_18 - 0.4092 x7\_18 >= 0  
z + p7\_19 - 1.0086 x7\_19 >= 1

z + p5\_1 - 0.8859 x5\_1 >= 0  
z + p5\_2 - 0.2269 x5\_2 >= 0  
z + p5\_3 - 0.7257 x5\_3 >= 0  
z + p5\_4 - 0.0892 x5\_4 >= 0  
z + p5\_6 - 0.2901 x5\_6 >= 0  
z + p5\_7 - 0.3153 x5\_7 >= 0  
z + p5\_8 - 0.336 x5\_8 >= 0  
z + p5\_9 - 0.3652 x5\_9 >= 0  
z + p5\_10 - 0.368 x5\_10 >= 0  
z + p5\_11 - 0.3986 x5\_11 >= 0  
z + p5\_12 - 0.4386 x5\_12 >= 0  
z + p5\_13 - 0.4735 x5\_13 >= 0  
z + p5\_14 - 0.4817 x5\_14 >= 0  
z + p5\_15 - 0.4327 x5\_15 >= 0  
z + p5\_16 - 0.3637 x5\_16 >= 0  
z + p5\_17 - 0.2796 x5\_17 >= 0  
z + p5\_18 - 0.3306 x5\_18 >= 0  
z + p5\_19 - 0.8821 x5\_19 >= 1

z + p8\_1 - 1.032 x8\_1 >= 0  
z + p8\_2 - 0.543 x8\_2 >= 0  
z + p8\_3 - 0.8717 x8\_3 >= 0  
z + p8\_4 - 0.4053 x8\_4 >= 0  
z + p8\_5 - 0.3428 x8\_5 >= 0  
z + p8\_6 - 0.0633 x8\_6 >= 0  
z + p8\_7 - 0.048 x8\_7 >= 0  
z + p8\_9 - 0.0462 x8\_9 >= 0  
z + p8\_10 - 0.0539 x8\_10 >= 0  
z + p8\_11 - 0.1273 x8\_11 >= 0  
z + p8\_12 - 0.1305 x8\_12 >= 0  
z + p8\_13 - 0.1654 x8\_13 >= 0  
z + p8\_14 - 0.1736 x8\_14 >= 0  
z + p8\_15 - 0.1545 x8\_15 >= 0  
z + p8\_16 - 0.1989 x8\_16 >= 0  
z + p8\_17 - 0.2084 x8\_17 >= 0  
z + p8\_18 - 0.4287 x8\_18 >= 0  
z + p8\_19 - 1.0281 x8\_19 >= 0

z + p6\_1 - 1.0026 x6\_1 >= 0  
z + p6\_2 - 0.4932 x6\_2 >= 0  
z + p6\_3 - 0.8423 x6\_3 >= 0  
z + p6\_4 - 0.3555 x6\_4 >= 0  
z + p6\_5 - 0.293 x6\_5 >= 0  
z + p6\_7 - 0.0395 x6\_7 >= 0  
z + p6\_8 - 0.0602 x6\_8 >= 0  
z + p6\_9 - 0.0894 x6\_9 >= 0  
z + p6\_10 - 0.0974 x6\_10 >= 0  
z + p6\_11 - 0.1374 x6\_11 >= 0  
z + p6\_12 - 0.1628 x6\_12 >= 0  
z + p6\_13 - 0.1977 x6\_13 >= 0  
z + p6\_14 - 0.2059 x6\_14 >= 0  
z + p6\_15 - 0.1914 x6\_15 >= 0  
z + p6\_16 - 0.2054 x6\_16 >= 0  
z + p6\_17 - 0.179 x6\_17 >= 0  
z + p6\_18 - 0.3994 x6\_18 >= 0  
z + p6\_19 - 0.9988 x6\_19 >= 1

z + p9\_1 - 1.0473 x9\_1 >= 0  
z + p9\_2 - 0.5703 x9\_2 >= 0  
z + p9\_3 - 0.887 x9\_3 >= 0  
z + p9\_4 - 0.4326 x9\_4 >= 0  
z + p9\_5 - 0.3701 x9\_5 >= 0  
z + p9\_6 - 0.0906 x9\_6 >= 0  
z + p9\_7 - 0.0753 x9\_7 >= 0  
z + p9\_8 - 0.0445 x9\_8 >= 0  
z + p9\_10 - 0.0412 x9\_10 >= 0  
z + p9\_11 - 0.1187 x9\_11 >= 0  
z + p9\_12 - 0.153 x9\_12 >= 0  
z + p9\_13 - 0.1879 x9\_13 >= 0  
z + p9\_14 - 0.1961 x9\_14 >= 0  
z + p9\_15 - 0.1459 x9\_15 >= 0  
z + p9\_16 - 0.2058 x9\_16 >= 0  
z + p9\_17 - 0.2237 x9\_17 >= 0  
z + p9\_18 - 0.444 x9\_18 >= 0  
z + p9\_19 - 1.0434 x9\_19 >= 0

z + p7\_1 - 1.0124 x7\_1 >= 0  
z + p7\_2 - 0.5149 x7\_2 >= 0  
z + p7\_3 - 0.8522 x7\_3 >= 0  
z + p7\_4 - 0.3772 x7\_4 >= 0  
z + p7\_5 - 0.3147 x7\_5 >= 0  
z + p7\_6 - 0.0352 x7\_6 >= 0  
z + p7\_8 - 0.0459 x7\_8 >= 0

z + p10\_1 - 1.0308 x10\_1 >= 0  
z + p10\_2 - 0.5665 x10\_2 >= 0  
z + p10\_3 - 0.8705 x10\_3 >= 0  
z + p10\_4 - 0.4354 x10\_4 >= 0  
z + p10\_5 - 0.3729 x10\_5 >= 0  
z + p10\_6 - 0.0981 x10\_6 >= 0  
z + p10\_7 - 0.0842 x10\_7 >= 0

$z + p_{10\_8} - 0.0516 x_{10\_8} \geq 0$   
 $z + p_{10\_9} - 0.0432 x_{10\_9} \geq 0$   
 $z + p_{10\_11} - 0.0971 x_{10\_11} \geq 0$   
 $z + p_{10\_12} - 0.1526 x_{10\_12} \geq 0$   
 $z + p_{10\_13} - 0.1875 x_{10\_13} \geq 0$   
 $z + p_{10\_14} - 0.1957 x_{10\_14} \geq 0$   
 $z + p_{10\_15} - 0.1243 x_{10\_15} \geq 0$   
 $z + p_{10\_16} - 0.1869 x_{10\_16} \geq 0$   
 $z + p_{10\_17} - 0.2072 x_{10\_17} \geq 0$   
 $z + p_{10\_18} - 0.4276 x_{10\_18} \geq 0$   
 $z + p_{10\_19} - 1.027 x_{10\_19} \geq 0$

$z + p_{11\_1} - 1.0299 x_{11\_1} \geq 0$   
 $z + p_{11\_2} - 0.5901 x_{11\_2} \geq 0$   
 $z + p_{11\_3} - 0.8696 x_{11\_3} \geq 0$   
 $z + p_{11\_4} - 0.4648 x_{11\_4} \geq 0$   
 $z + p_{11\_5} - 0.4023 x_{11\_5} \geq 0$   
 $z + p_{11\_6} - 0.1368 x_{11\_6} \geq 0$   
 $z + p_{11\_7} - 0.1379 x_{11\_7} \geq 0$   
 $z + p_{11\_8} - 0.1237 x_{11\_8} \geq 0$   
 $z + p_{11\_9} - 0.1181 x_{11\_9} \geq 0$   
 $z + p_{11\_10} - 0.096 x_{11\_10} \geq 0$   
 $z + p_{11\_12} - 0.1784 x_{11\_12} \geq 0$   
 $z + p_{11\_13} - 0.231 x_{11\_13} \geq 0$   
 $z + p_{11\_14} - 0.2311 x_{11\_14} \geq 0$   
 $z + p_{11\_15} - 0.0888 x_{11\_15} \geq 0$   
 $z + p_{11\_16} - 0.125 x_{11\_16} \geq 0$   
 $z + p_{11\_17} - 0.2006 x_{11\_17} \geq 0$   
 $z + p_{11\_18} - 0.4266 x_{11\_18} \geq 0$   
 $z + p_{11\_19} - 1.026 x_{11\_19} \geq 0$

$z + p_{12\_1} - 1.1133 x_{12\_1} \geq 0$   
 $z + p_{12\_2} - 0.6403 x_{12\_2} \geq 0$   
 $z + p_{12\_3} - 0.9529 x_{12\_3} \geq 0$   
 $z + p_{12\_4} - 0.5026 x_{12\_4} \geq 0$   
 $z + p_{12\_5} - 0.4401 x_{12\_5} \geq 0$   
 $z + p_{12\_6} - 0.1606 x_{12\_6} \geq 0$   
 $z + p_{12\_7} - 0.1453 x_{12\_7} \geq 0$   
 $z + p_{12\_8} - 0.1294 x_{12\_8} \geq 0$   
 $z + p_{12\_9} - 0.1506 x_{12\_9} \geq 0$   
 $z + p_{12\_10} - 0.1552 x_{12\_10} \geq 0$   
 $z + p_{12\_11} - 0.178 x_{12\_11} \geq 0$   
 $z + p_{12\_13} - 0.0877 x_{12\_13} \geq 0$   
 $z + p_{12\_14} - 0.0879 x_{12\_14} \geq 0$   
 $z + p_{12\_15} - 0.1318 x_{12\_15} \geq 0$   
 $z + p_{12\_16} - 0.1981 x_{12\_16} \geq 0$   
 $z + p_{12\_17} - 0.2883 x_{12\_17} \geq 0$   
 $z + p_{12\_18} - 0.51 x_{12\_18} \geq 0$   
 $z + p_{12\_19} - 1.1094 x_{12\_19} \geq 0$

$z + p_{13\_1} - 1.1565 x_{13\_1} \geq 0$   
 $z + p_{13\_2} - 0.6745 x_{13\_2} \geq 0$   
 $z + p_{13\_3} - 0.9962 x_{13\_3} \geq 0$   
 $z + p_{13\_4} - 0.5368 x_{13\_4} \geq 0$   
 $z + p_{13\_5} - 0.4743 x_{13\_5} \geq 0$   
 $z + p_{13\_6} - 0.1948 x_{13\_6} \geq 0$   
 $z + p_{13\_7} - 0.1795 x_{13\_7} \geq 0$

$z + p_{13\_8} - 0.1636 x_{13\_8} \geq 0$   
 $z + p_{13\_9} - 0.1848 x_{13\_9} \geq 0$   
 $z + p_{13\_10} - 0.1894 x_{13\_10} \geq 0$   
 $z + p_{13\_11} - 0.2297 x_{13\_11} \geq 0$   
 $z + p_{13\_12} - 0.0879 x_{13\_12} \geq 0$   
 $z + p_{13\_14} - 0.0209 x_{13\_14} \geq 0$   
 $z + p_{13\_15} - 0.1751 x_{13\_15} \geq 0$   
 $z + p_{13\_16} - 0.2414 x_{13\_16} \geq 0$   
 $z + p_{13\_17} - 0.3315 x_{13\_17} \geq 0$   
 $z + p_{13\_18} - 0.5532 x_{13\_18} \geq 0$   
 $z + p_{13\_19} - 1.1526 x_{13\_19} \geq 0$

$z + p_{14\_1} - 1.1571 x_{14\_1} \geq 0$   
 $z + p_{14\_2} - 0.6833 x_{14\_2} \geq 0$   
 $z + p_{14\_3} - 0.9968 x_{14\_3} \geq 0$   
 $z + p_{14\_4} - 0.5456 x_{14\_4} \geq 0$   
 $z + p_{14\_5} - 0.4831 x_{14\_5} \geq 0$   
 $z + p_{14\_6} - 0.2036 x_{14\_6} \geq 0$   
 $z + p_{14\_7} - 0.1883 x_{14\_7} \geq 0$   
 $z + p_{14\_8} - 0.1724 x_{14\_8} \geq 0$   
 $z + p_{14\_9} - 0.1936 x_{14\_9} \geq 0$   
 $z + p_{14\_10} - 0.1982 x_{14\_10} \geq 0$   
 $z + p_{14\_11} - 0.2302 x_{14\_11} \geq 0$   
 $z + p_{14\_12} - 0.0884 x_{14\_12} \geq 0$   
 $z + p_{14\_13} - 0.0206 x_{14\_13} \geq 0$   
 $z + p_{14\_15} - 0.1756 x_{14\_15} \geq 0$   
 $z + p_{14\_16} - 0.2419 x_{14\_16} \geq 0$   
 $z + p_{14\_17} - 0.3321 x_{14\_17} \geq 0$   
 $z + p_{14\_18} - 0.5538 x_{14\_18} \geq 0$   
 $z + p_{14\_19} - 1.1532 x_{14\_19} \geq 0$

$z + p_{15\_1} - 1.0039 x_{15\_1} \geq 0$   
 $z + p_{15\_2} - 0.59 x_{15\_2} \geq 0$   
 $z + p_{15\_3} - 0.8436 x_{15\_3} \geq 0$   
 $z + p_{15\_4} - 0.4871 x_{15\_4} \geq 0$   
 $z + p_{15\_5} - 0.4338 x_{15\_5} \geq 0$   
 $z + p_{15\_6} - 0.1894 x_{15\_6} \geq 0$   
 $z + p_{15\_7} - 0.1756 x_{15\_7} \geq 0$   
 $z + p_{15\_8} - 0.15 x_{15\_8} \geq 0$   
 $z + p_{15\_9} - 0.1444 x_{15\_9} \geq 0$   
 $z + p_{15\_10} - 0.1223 x_{15\_10} \geq 0$   
 $z + p_{15\_11} - 0.0858 x_{15\_11} \geq 0$   
 $z + p_{15\_12} - 0.1314 x_{15\_12} \geq 0$   
 $z + p_{15\_13} - 0.1764 x_{15\_13} \geq 0$   
 $z + p_{15\_14} - 0.1765 x_{15\_14} \geq 0$   
 $z + p_{15\_16} - 0.0887 x_{15\_16} \geq 0$   
 $z + p_{15\_17} - 0.1789 x_{15\_17} \geq 0$   
 $z + p_{15\_18} - 0.4006 x_{15\_18} \geq 0$   
 $z + p_{15\_19} - 1 x_{15\_19} \geq 0$

$z + p_{16\_1} - 0.9351 x_{16\_1} \geq 0$   
 $z + p_{16\_2} - 0.5212 x_{16\_2} \geq 0$   
 $z + p_{16\_3} - 0.7748 x_{16\_3} \geq 0$   
 $z + p_{16\_4} - 0.4183 x_{16\_4} \geq 0$   
 $z + p_{16\_5} - 0.365 x_{16\_5} \geq 0$   
 $z + p_{16\_6} - 0.1985 x_{16\_6} \geq 0$   
 $z + p_{16\_7} - 0.1996 x_{16\_7} \geq 0$



$z + p16\_8 - 0.1927 x16\_8 \geq 0$   
 $z + p16\_9 - 0.1979 x16\_9 \geq 0$   
 $z + p16\_10 - 0.1798 x16\_10 \geq 0$   
 $z + p16\_11 - 0.1233 x16\_11 \geq 0$   
 $z + p16\_12 - 0.1967 x16\_12 \geq 0$   
 $z + p16\_13 - 0.2416 x16\_13 \geq 0$   
 $z + p16\_14 - 0.2418 x16\_14 \geq 0$   
 $z + p16\_15 - 0.0879 x16\_15 \geq 0$   
 $z + p16\_17 - 0.1101 x16\_17 \geq 0$   
 $z + p16\_18 - 0.3318 x16\_18 \geq 0$   
 $z + p16\_19 - 0.9312 x16\_19 \geq 0$

$z + p19\_8 - 1.0314 x19\_8 \geq 0$   
 $z + p19\_9 - 1.0441 x19\_9 \geq 0$   
 $z + p19\_10 - 1.0255 x19\_10 \geq 0$   
 $z + p19\_11 - 1.0306 x19\_11 \geq 0$   
 $z + p19\_12 - 1.1144 x19\_12 \geq 0$   
 $z + p19\_13 - 1.1593 x19\_13 \geq 0$   
 $z + p19\_14 - 1.1595 x19\_14 \geq 0$   
 $z + p19\_15 - 1.0056 x19\_15 \geq 0$   
 $z + p19\_16 - 0.9365 x19\_16 \geq 0$   
 $z + p19\_17 - 0.8525 x19\_17 \geq 0$   
 $z + p19\_18 - 0.6284 x19\_18 \geq 0$

$z + p17\_1 - 0.8511 x17\_1 \geq 0$   
 $z + p17\_2 - 0.4372 x17\_2 \geq 0$   
 $z + p17\_3 - 0.6908 x17\_3 \geq 0$   
 $z + p17\_4 - 0.3343 x17\_4 \geq 0$   
 $z + p17\_5 - 0.2809 x17\_5 \geq 0$   
 $z + p17\_6 - 0.1736 x17\_6 \geq 0$   
 $z + p17\_7 - 0.1861 x17\_7 \geq 0$   
 $z + p17\_8 - 0.2039 x17\_8 \geq 0$   
 $z + p17\_9 - 0.2166 x17\_9 \geq 0$   
 $z + p17\_10 - 0.198 x17\_10 \geq 0$   
 $z + p17\_11 - 0.1971 x17\_11 \geq 0$   
 $z + p17\_12 - 0.2838 x17\_12 \geq 0$   
 $z + p17\_13 - 0.3288 x17\_13 \geq 0$   
 $z + p17\_14 - 0.3289 x17\_14 \geq 0$   
 $z + p17\_15 - 0.175 x17\_15 \geq 0$   
 $z + p17\_16 - 0.1059 x17\_16 \geq 0$   
 $z + p17\_18 - 0.2478 x17\_18 \geq 0$   
 $z + p17\_19 - 0.8472 x17\_19 \geq 0$

$p1\_2 \geq 0$   
 $p1\_3 \geq 0$   
 $p1\_4 \geq 0$   
 $p1\_5 \geq 0$   
 $p1\_6 \geq 0$   
 $p1\_7 \geq 0$   
 $p1\_8 \geq 0$   
 $p1\_9 \geq 0$   
 $p1\_10 \geq 0$   
 $p1\_11 \geq 0$   
 $p1\_12 \geq 0$   
 $p1\_13 \geq 0$   
 $p1\_14 \geq 0$   
 $p1\_15 \geq 0$   
 $p1\_16 \geq 0$   
 $p1\_17 \geq 0$   
 $p1\_18 \geq 0$   
 $p1\_19 \geq 0$

$z + p18\_1 - 0.6259 x18\_1 \geq 0$   
 $z + p18\_2 - 0.245 x18\_2 \geq 0$   
 $z + p18\_3 - 0.4656 x18\_3 \geq 0$   
 $z + p18\_4 - 0.3856 x18\_4 \geq 0$   
 $z + p18\_5 - 0.3323 x18\_5 \geq 0$   
 $z + p18\_6 - 0.3946 x18\_6 \geq 0$   
 $z + p18\_7 - 0.4072 x18\_7 \geq 0$   
 $z + p18\_8 - 0.4249 x18\_8 \geq 0$   
 $z + p18\_9 - 0.4377 x18\_9 \geq 0$   
 $z + p18\_10 - 0.419 x18\_10 \geq 0$   
 $z + p18\_11 - 0.4241 x18\_11 \geq 0$   
 $z + p18\_12 - 0.5079 x18\_12 \geq 0$   
 $z + p18\_13 - 0.5529 x18\_13 \geq 0$   
 $z + p18\_14 - 0.553 x18\_14 \geq 0$   
 $z + p18\_15 - 0.3991 x18\_15 \geq 0$   
 $z + p18\_16 - 0.3301 x18\_16 \geq 0$   
 $z + p18\_17 - 0.2461 x18\_17 \geq 0$   
 $z + p18\_19 - 0.622 x18\_19 \geq 0$

$p2\_1 \geq 0$   
 $p2\_3 \geq 0$   
 $p2\_4 \geq 0$   
 $p2\_5 \geq 0$   
 $p2\_6 \geq 0$   
 $p2\_7 \geq 0$   
 $p2\_8 \geq 0$   
 $p2\_9 \geq 0$   
 $p2\_10 \geq 0$   
 $p2\_11 \geq 0$   
 $p2\_12 \geq 0$   
 $p2\_13 \geq 0$   
 $p2\_14 \geq 0$   
 $p2\_15 \geq 0$   
 $p2\_16 \geq 0$   
 $p2\_17 \geq 0$   
 $p2\_18 \geq 0$   
 $p2\_19 \geq 0$

$z + p19\_1 - 0.0156 x19\_1 \geq 0$   
 $z + p19\_2 - 0.6759 x19\_2 \geq 0$   
 $z + p19\_3 - 0.1684 x19\_3 \geq 0$   
 $z + p19\_4 - 0.823 x19\_4 \geq 0$   
 $z + p19\_5 - 0.8821 x19\_5 \geq 0$   
 $z + p19\_6 - 1.0011 x19\_6 \geq 0$   
 $z + p19\_7 - 1.0136 x19\_7 \geq 0$

$p3\_1 \geq 0$   
 $p3\_2 \geq 0$   
 $p3\_4 \geq 0$   
 $p3\_5 \geq 0$   
 $p3\_6 \geq 0$   
 $p3\_7 \geq 0$   
 $p3\_8 \geq 0$

p3\_9 >= 0  
p3\_10 >= 0  
p3\_11 >= 0  
p3\_12 >= 0  
p3\_13 >= 0  
p3\_14 >= 0  
p3\_15 >= 0  
p3\_16 >= 0  
p3\_17 >= 0  
p3\_18 >= 0  
p3\_19 >= 0

p6\_9 >= 0  
p6\_10 >= 0  
p6\_11 >= 0  
p6\_12 >= 0  
p6\_13 >= 0  
p6\_14 >= 0  
p6\_15 >= 0  
p6\_16 >= 0  
p6\_17 >= 0  
p6\_18 >= 0  
p6\_19 >= 0

p4\_1 >= 0  
p4\_2 >= 0  
p4\_3 >= 0  
p4\_5 >= 0  
p4\_6 >= 0  
p4\_7 >= 0  
p4\_8 >= 0  
p4\_9 >= 0  
p4\_10 >= 0  
p4\_11 >= 0  
p4\_12 >= 0  
p4\_13 >= 0  
p4\_14 >= 0  
p4\_15 >= 0  
p4\_16 >= 0  
p4\_17 >= 0  
p4\_18 >= 0  
p4\_19 >= 0

p7\_1 >= 0  
p7\_2 >= 0  
p7\_3 >= 0  
p7\_4 >= 0  
p7\_5 >= 0  
p7\_6 >= 0  
p7\_8 >= 0  
p7\_9 >= 0  
p7\_10 >= 0  
p7\_11 >= 0  
p7\_12 >= 0  
p7\_13 >= 0  
p7\_14 >= 0  
p7\_15 >= 0  
p7\_16 >= 0  
p7\_17 >= 0  
p7\_18 >= 0  
p7\_19 >= 0

p5\_1 >= 0  
p5\_2 >= 0  
p5\_3 >= 0  
p5\_4 >= 0  
p5\_6 >= 0  
p5\_7 >= 0  
p5\_8 >= 0  
p5\_9 >= 0  
p5\_10 >= 0  
p5\_11 >= 0  
p5\_12 >= 0  
p5\_13 >= 0  
p5\_14 >= 0  
p5\_15 >= 0  
p5\_16 >= 0  
p5\_17 >= 0  
p5\_18 >= 0  
p5\_19 >= 0

p8\_1 >= 0  
p8\_2 >= 0  
p8\_3 >= 0  
p8\_4 >= 0  
p8\_5 >= 0  
p8\_6 >= 0  
p8\_7 >= 0  
p8\_9 >= 0  
p8\_10 >= 0  
p8\_11 >= 0  
p8\_12 >= 0  
p8\_13 >= 0  
p8\_14 >= 0  
p8\_15 >= 0  
p8\_16 >= 0  
p8\_17 >= 0  
p8\_18 >= 0  
p8\_19 >= 0

p6\_1 >= 0  
p6\_2 >= 0  
p6\_3 >= 0  
p6\_4 >= 0  
p6\_5 >= 0  
p6\_7 >= 0  
p6\_8 >= 0

p9\_1 >= 0  
p9\_2 >= 0  
p9\_3 >= 0  
p9\_4 >= 0  
p9\_5 >= 0  
p9\_6 >= 0  
p9\_7 >= 0

p9\_8 >= 0  
p9\_10 >= 0  
p9\_11 >= 0  
p9\_12 >= 0  
p9\_13 >= 0  
p9\_14 >= 0  
p9\_15 >= 0  
p9\_16 >= 0  
p9\_17 >= 0  
p9\_18 >= 0  
p9\_19 >= 0

p10\_1 >= 0  
p10\_2 >= 0  
p10\_3 >= 0  
p10\_4 >= 0  
p10\_5 >= 0  
p10\_6 >= 0  
p10\_7 >= 0  
p10\_8 >= 0  
p10\_9 >= 0  
p10\_11 >= 0  
p10\_12 >= 0  
p10\_13 >= 0  
p10\_14 >= 0  
p10\_15 >= 0  
p10\_16 >= 0  
p10\_17 >= 0  
p10\_18 >= 0  
p10\_19 >= 0

p11\_1 >= 0  
p11\_2 >= 0  
p11\_3 >= 0  
p11\_4 >= 0  
p11\_5 >= 0  
p11\_6 >= 0  
p11\_7 >= 0  
p11\_8 >= 0  
p11\_9 >= 0  
p11\_10 >= 0  
p11\_12 >= 0  
p11\_13 >= 0  
p11\_14 >= 0  
p11\_15 >= 0  
p11\_16 >= 0  
p11\_17 >= 0  
p11\_18 >= 0  
p11\_19 >= 0

p12\_1 >= 0  
p12\_2 >= 0  
p12\_3 >= 0  
p12\_4 >= 0  
p12\_5 >= 0  
p12\_6 >= 0  
p12\_7 >= 0

p12\_8 >= 0  
p12\_9 >= 0  
p12\_10 >= 0  
p12\_11 >= 0  
p12\_13 >= 0  
p12\_14 >= 0  
p12\_15 >= 0  
p12\_16 >= 0  
p12\_17 >= 0  
p12\_18 >= 0  
p12\_19 >= 0

p13\_1 >= 0  
p13\_2 >= 0  
p13\_3 >= 0  
p13\_4 >= 0  
p13\_5 >= 0  
p13\_6 >= 0  
p13\_7 >= 0  
p13\_8 >= 0  
p13\_9 >= 0  
p13\_10 >= 0  
p13\_11 >= 0  
p13\_12 >= 0  
p13\_14 >= 0  
p13\_15 >= 0  
p13\_16 >= 0  
p13\_17 >= 0  
p13\_18 >= 0  
p13\_19 >= 0

p14\_1 >= 0  
p14\_2 >= 0  
p14\_3 >= 0  
p14\_4 >= 0  
p14\_5 >= 0  
p14\_6 >= 0  
p14\_7 >= 0  
p14\_8 >= 0  
p14\_9 >= 0  
p14\_10 >= 0  
p14\_11 >= 0  
p14\_12 >= 0  
p14\_13 >= 0  
p14\_15 >= 0  
p14\_16 >= 0  
p14\_17 >= 0  
p14\_18 >= 0  
p14\_19 >= 0

p15\_1 >= 0  
p15\_2 >= 0  
p15\_3 >= 0  
p15\_4 >= 0  
p15\_5 >= 0  
p15\_6 >= 0  
p15\_7 >= 0

p15_8 >= 0	p17_14 >= 0
p15_9 >= 0	p17_15 >= 0
p15_10 >= 0	p17_16 >= 0
p15_11 >= 0	p17_18 >= 0
p15_12 >= 0	p17_19 >= 0
p15_13 >= 0	
p15_14 >= 0	p18_1 >= 0
p15_16 >= 0	p18_2 >= 0
p15_17 >= 0	p18_3 >= 0
p15_18 >= 0	p18_4 >= 0
p15_19 >= 0	p18_5 >= 0
	p18_6 >= 0
p16_1 >= 0	p18_7 >= 0
p16_2 >= 0	p18_8 >= 0
p16_3 >= 0	p18_9 >= 0
p16_4 >= 0	p18_10 >= 0
p16_5 >= 0	p18_11 >= 0
p16_6 >= 0	p18_12 >= 0
p16_7 >= 0	p18_13 >= 0
p16_8 >= 0	p18_14 >= 0
p16_9 >= 0	p18_15 >= 0
p16_10 >= 0	p18_16 >= 0
p16_11 >= 0	p18_17 >= 0
p16_12 >= 0	p18_19 >= 0
p16_13 >= 0	
p16_14 >= 0	p19_1 >= 0
p16_15 >= 0	p19_2 >= 0
p16_17 >= 0	p19_3 >= 0
p16_18 >= 0	p19_4 >= 0
p16_19 >= 0	p19_5 >= 0
	p19_6 >= 0
p17_1 >= 0	p19_7 >= 0
p17_2 >= 0	p19_8 >= 0
p17_3 >= 0	p19_9 >= 0
p17_4 >= 0	p19_10 >= 0
p17_5 >= 0	p19_11 >= 0
p17_6 >= 0	p19_12 >= 0
p17_7 >= 0	p19_13 >= 0
p17_8 >= 0	p19_14 >= 0
p17_9 >= 0	p19_15 >= 0
p17_10 >= 0	p19_16 >= 0
p17_11 >= 0	p19_17 >= 0
p17_12 >= 0	p19_18 >= 0
p17_13 >= 0	

$x1_2 + x1_3 + x1_4 + x1_5 + x1_6 + x1_7 + x1_8 + x1_9 + x1_{10} + x1_{11} + x1_{12} + x1_{13} + x1_{14} + x1_{15} + x1_{16} + x1_{17} + x1_{18} + x1_{19} = 1$   
 $x2_1 + x2_3 + x2_4 + x2_5 + x2_6 + x2_7 + x2_8 + x2_9 + x2_{10} + x2_{11} + x2_{12} + x2_{13} + x2_{14} + x2_{15} + x2_{16} + x2_{17} + x2_{18} + x2_{19} = 1$   
 $x3_2 + x3_1 + x3_4 + x3_5 + x3_6 + x3_7 + x3_8 + x3_9 + x3_{10} + x3_{11} + x3_{12} + x3_{13} + x3_{14} + x3_{15} + x3_{16} + x3_{17} + x3_{18} + x3_{19} = 1$   
 $x4_2 + x4_3 + x4_1 + x4_5 + x4_6 + x4_7 + x4_8 + x4_9 + x4_{10} + x4_{11} + x4_{12} + x4_{13} + x4_{14} + x4_{15} + x4_{16} + x4_{17} + x4_{18} + x4_{19} = 1$   
 $x5_2 + x5_3 + x5_4 + x5_1 + x5_6 + x5_7 + x5_8 + x5_9 + x5_{10} + x5_{11} + x5_{12} + x5_{13} + x5_{14} + x5_{15} + x5_{16} + x5_{17} + x5_{18} + x5_{19} = 1$   
 $x6_2 + x6_3 + x6_4 + x6_5 + x6_1 + x6_7 + x6_8 + x6_9 + x6_{10} + x6_{11} + x6_{12} + x6_{13} + x6_{14} + x6_{15} + x6_{16} + x6_{17} + x6_{18} + x6_{19} = 1$

$x7\_2 + x7\_3 + x7\_4 + x7\_5 + x7\_6 + x7\_1 + x7\_8 + x7\_9 + x7\_10 + x7\_11 + x7\_12 + x7\_13 + x7\_14 + x7\_15 + x7\_16$   
 $+ x7\_17 + x7\_18 + x7\_19 = 1$   
 $x8\_2 + x8\_3 + x8\_4 + x8\_5 + x8\_6 + x8\_7 + x8\_1 + x8\_9 + x8\_10 + x8\_11 + x8\_12 + x8\_13 + x8\_14 + x8\_15 + x8\_16$   
 $+ x8\_17 + x8\_18 + x8\_19 = 1$   
 $x9\_2 + x9\_3 + x9\_4 + x9\_5 + x9\_6 + x9\_7 + x9\_8 + x9\_1 + x9\_10 + x9\_11 + x9\_12 + x9\_13 + x9\_14 + x9\_15 + x9\_16$   
 $+ x9\_17 + x9\_18 + x9\_19 = 1$   
 $x10\_1 + x10\_2 + x10\_3 + x10\_4 + x10\_5 + x10\_6 + x10\_7 + x10\_8 + x10\_9 + x10\_11 + x10\_12 + x10\_13 + x10\_14$   
 $+ x10\_15 + x10\_16 + x10\_17 + x10\_18 + x10\_19 = 1$   
 $x11\_1 + x11\_2 + x11\_3 + x11\_4 + x11\_5 + x11\_6 + x11\_7 + x11\_8 + x11\_9 + x11\_10 + x11\_12 + x11\_13 + x11\_14$   
 $+ x11\_15 + x11\_16 + x11\_17 + x11\_18 + x11\_19 = 1$   
 $x12\_1 + x12\_2 + x12\_3 + x12\_4 + x12\_5 + x12\_6 + x12\_7 + x12\_8 + x12\_9 + x12\_11 + x12\_10 + x12\_13 + x12\_14$   
 $+ x12\_15 + x12\_16 + x12\_17 + x12\_18 + x12\_19 = 1$   
 $x13\_1 + x13\_2 + x13\_3 + x13\_4 + x13\_5 + x13\_6 + x13\_7 + x13\_8 + x13\_9 + x13\_11 + x13\_12 + x13\_10 + x13\_14$   
 $+ x13\_15 + x13\_16 + x13\_17 + x13\_18 + x13\_19 = 1$   
 $x14\_1 + x14\_2 + x14\_3 + x14\_4 + x14\_5 + x14\_6 + x14\_7 + x14\_8 + x14\_9 + x14\_11 + x14\_12 + x14\_13 + x14\_10$   
 $+ x14\_15 + x14\_16 + x14\_17 + x14\_18 + x14\_19 = 1$   
 $x15\_1 + x15\_2 + x15\_3 + x15\_4 + x15\_5 + x15\_6 + x15\_7 + x15\_8 + x15\_9 + x15\_11 + x15\_12 + x15\_13 + x15\_14$   
 $+ x15\_10 + x15\_16 + x15\_17 + x15\_18 + x15\_19 = 1$   
 $x16\_1 + x16\_2 + x16\_3 + x16\_4 + x16\_5 + x16\_6 + x16\_7 + x16\_8 + x16\_9 + x16\_11 + x16\_12 + x16\_13 + x16\_14$   
 $+ x16\_15 + x16\_10 + x16\_17 + x16\_18 + x16\_19 = 1$   
 $x17\_1 + x17\_2 + x17\_3 + x17\_4 + x17\_5 + x17\_6 + x17\_7 + x17\_8 + x17\_9 + x17\_11 + x17\_12 + x17\_13 + x17\_14$   
 $+ x17\_15 + x17\_16 + x17\_10 + x17\_18 + x17\_19 = 1$   
 $x18\_1 + x18\_2 + x18\_3 + x18\_4 + x18\_5 + x18\_6 + x18\_7 + x18\_8 + x18\_9 + x18\_11 + x18\_12 + x18\_13 + x18\_14$   
 $+ x18\_15 + x18\_16 + x18\_17 + x18\_10 + x18\_19 = 1$   
 $x19\_1 + x19\_2 + x19\_3 + x19\_4 + x19\_5 + x19\_6 + x19\_7 + x19\_8 + x19\_9 + x19\_11 + x19\_12 + x19\_13 + x19\_14$   
 $+ x19\_15 + x19\_16 + x19\_17 + x19\_18 + x19\_10 = 1$

$x2\_1 + x3\_1 + x4\_1 + x5\_1 + x6\_1 + x7\_1 + x8\_1 + x9\_1 + x10\_1 + x11\_1 + x12\_1 + x13\_1 + x14\_1 + x15\_1 + x16\_1$   
 $+ x17\_1 + x18\_1 + x19\_1 = 1$   
 $x1\_2 + x3\_2 + x4\_2 + x5\_2 + x6\_2 + x7\_2 + x8\_2 + x9\_2 + x10\_2 + x11\_2 + x12\_2 + x13\_2 + x14\_2 + x15\_2 + x16\_2$   
 $+ x17\_2 + x18\_2 + x19\_2 = 1$   
 $x1\_3 + x2\_3 + x4\_3 + x5\_3 + x6\_3 + x7\_3 + x8\_3 + x9\_3 + x10\_3 + x11\_3 + x12\_3 + x13\_3 + x14\_3 + x15\_3 + x16\_3$   
 $+ x17\_3 + x18\_3 + x19\_3 = 1$   
 $x1\_4 + x2\_4 + x3\_4 + x5\_4 + x6\_4 + x7\_4 + x8\_4 + x9\_4 + x10\_4 + x11\_4 + x12\_4 + x13\_4 + x14\_4 + x15\_4 + x16\_4$   
 $+ x17\_4 + x18\_4 + x19\_4 = 1$   
 $x1\_5 + x2\_5 + x3\_5 + x4\_5 + x6\_5 + x7\_5 + x8\_5 + x9\_5 + x10\_5 + x11\_5 + x12\_5 + x13\_5 + x14\_5 + x15\_5 + x16\_5$   
 $+ x17\_5 + x18\_5 + x19\_5 = 1$   
 $x1\_6 + x2\_6 + x3\_6 + x4\_6 + x5\_6 + x7\_6 + x8\_6 + x9\_6 + x10\_6 + x11\_6 + x12\_6 + x13\_6 + x14\_6 + x15\_6 + x16\_6$   
 $+ x17\_6 + x18\_6 + x19\_6 = 1$   
 $x1\_7 + x2\_7 + x3\_7 + x4\_7 + x5\_7 + x6\_7 + x8\_7 + x9\_7 + x10\_7 + x11\_7 + x12\_7 + x13\_7 + x14\_7 + x15\_7 + x16\_7$   
 $+ x17\_7 + x18\_7 + x19\_7 = 1$   
 $x1\_8 + x2\_8 + x3\_8 + x4\_8 + x5\_8 + x6\_8 + x7\_8 + x9\_8 + x10\_8 + x11\_8 + x12\_8 + x13\_8 + x14\_8 + x15\_8 + x16\_8$   
 $+ x17\_8 + x18\_8 + x19\_8 = 1$   
 $x1\_9 + x2\_9 + x3\_9 + x4\_9 + x5\_9 + x6\_9 + x7\_9 + x8\_9 + x10\_9 + x11\_9 + x12\_9 + x13\_9 + x14\_9 + x15\_9 + x16\_9$   
 $+ x17\_9 + x18\_9 + x19\_9 = 1$   
 $x1\_10 + x2\_10 + x3\_10 + x4\_10 + x5\_10 + x6\_10 + x7\_10 + x8\_10 + x9\_10 + x11\_10 + x12\_10 + x13\_10 + x14\_10$   
 $+ x15\_10 + x16\_10 + x17\_10 + x18\_10 + x19\_10 = 1$   
 $x1\_11 + x2\_11 + x3\_11 + x4\_11 + x5\_11 + x6\_11 + x7\_11 + x8\_11 + x9\_11 + x10\_11 + x12\_11 + x13\_11 + x14\_11$   
 $+ x15\_11 + x16\_11 + x17\_11 + x18\_11 + x19\_11 = 1$   
 $x1\_12 + x2\_12 + x3\_12 + x4\_12 + x5\_12 + x6\_12 + x7\_12 + x8\_12 + x9\_12 + x10\_12 + x11\_12 + x13\_12 + x14\_12$   
 $+ x15\_12 + x16\_12 + x17\_12 + x18\_12 + x19\_12 = 1$   
 $x1\_13 + x2\_13 + x3\_13 + x4\_13 + x5\_13 + x6\_13 + x7\_13 + x8\_13 + x9\_13 + x10\_13 + x11\_13 + x12\_13 + x14\_13$   
 $+ x15\_13 + x16\_13 + x17\_13 + x18\_13 + x19\_13 = 1$   
 $x1\_14 + x2\_14 + x3\_14 + x4\_14 + x5\_14 + x6\_14 + x7\_14 + x8\_14 + x9\_14 + x10\_14 + x11\_14 + x12\_14 + x13\_14$   
 $+ x15\_14 + x16\_14 + x17\_14 + x18\_14 + x19\_14 = 1$   
 $x1\_15 + x2\_15 + x3\_15 + x4\_15 + x5\_15 + x6\_15 + x7\_15 + x8\_15 + x9\_15 + x10\_15 + x11\_15 + x12\_15 + x13\_15$   
 $+ x14\_15 + x16\_15 + x17\_15 + x18\_15 + x19\_15 = 1$

$$\begin{aligned}
& x1_{16} + x2_{16} + x3_{16} + x4_{16} + x5_{16} + x6_{16} + x7_{16} + x8_{16} + x9_{16} + x10_{16} + x11_{16} + x12_{16} + x13_{16} \\
& + x14_{16} + x15_{16} + x17_{16} + x18_{16} + x19_{16} = 1 \\
& x1_{17} + x2_{17} + x3_{17} + x4_{17} + x5_{17} + x6_{17} + x7_{17} + x8_{17} + x9_{17} + x10_{17} + x11_{17} + x12_{17} + x13_{17} \\
& + x14_{17} + x15_{17} + x16_{17} + x18_{17} + x19_{17} = 1 \\
& x1_{18} + x2_{18} + x3_{18} + x4_{18} + x5_{18} + x6_{18} + x7_{18} + x8_{18} + x9_{18} + x10_{18} + x11_{18} + x12_{18} + x13_{18} \\
& + x14_{18} + x15_{18} + x16_{18} + x17_{18} + x19_{18} = 1 \\
& x1_{19} + x2_{19} + x3_{19} + x4_{19} + x5_{19} + x6_{19} + x7_{19} + x8_{19} + x9_{19} + x10_{19} + x11_{19} + x12_{19} + x13_{19} \\
& + x14_{19} + x15_{19} + x16_{19} + x17_{19} + x18_{19} = 1
\end{aligned}$$

$$\begin{aligned}
u1 - u2 + 19x1_2 &\leq 18 \\
u1 - u3 + 19x1_3 &\leq 18 \\
u1 - u4 + 19x1_4 &\leq 18 \\
u1 - u5 + 19x1_5 &\leq 18 \\
u1 - u6 + 19x1_6 &\leq 18 \\
u1 - u7 + 19x1_7 &\leq 18 \\
u1 - u8 + 19x1_8 &\leq 18 \\
u1 - u9 + 19x1_9 &\leq 18 \\
u1 - u10 + 19x1_{10} &\leq 18 \\
u1 - u11 + 19x1_{11} &\leq 18 \\
u1 - u12 + 19x1_{12} &\leq 18 \\
u1 - u13 + 19x1_{13} &\leq 18 \\
u1 - u14 + 19x1_{14} &\leq 18 \\
u1 - u15 + 19x1_{15} &\leq 18 \\
u1 - u16 + 19x1_{16} &\leq 18 \\
u1 - u17 + 19x1_{17} &\leq 18 \\
u1 - u18 + 19x1_{18} &\leq 18 \\
u1 - u19 + 19x1_{19} &\leq 18
\end{aligned}$$

$$\begin{aligned}
u2 - u3 + 19x2_3 &\leq 18 \\
u2 - u4 + 19x2_4 &\leq 18 \\
u2 - u5 + 19x2_5 &\leq 18 \\
u2 - u6 + 19x2_6 &\leq 18 \\
u2 - u7 + 19x2_7 &\leq 18 \\
u2 - u8 + 19x2_8 &\leq 18 \\
u2 - u9 + 19x2_9 &\leq 18 \\
u2 - u10 + 19x2_{10} &\leq 18 \\
u2 - u11 + 19x2_{11} &\leq 18 \\
u2 - u12 + 19x2_{12} &\leq 18 \\
u2 - u13 + 19x2_{13} &\leq 18 \\
u2 - u14 + 19x2_{14} &\leq 18 \\
u2 - u15 + 19x2_{15} &\leq 18 \\
u2 - u16 + 19x2_{16} &\leq 18 \\
u2 - u17 + 19x2_{17} &\leq 18 \\
u2 - u18 + 19x2_{18} &\leq 18 \\
u2 - u19 + 19x2_{19} &\leq 18
\end{aligned}$$

$$\begin{aligned}
u3 - u2 + 19x3_2 &\leq 18 \\
u3 - u4 + 19x3_4 &\leq 18 \\
u3 - u5 + 19x3_5 &\leq 18 \\
u3 - u6 + 19x3_6 &\leq 18 \\
u3 - u7 + 19x3_7 &\leq 18 \\
u3 - u8 + 19x3_8 &\leq 18 \\
u3 - u9 + 19x3_9 &\leq 18 \\
u3 - u10 + 19x3_{10} &\leq 18 \\
u3 - u11 + 19x3_{11} &\leq 18 \\
u3 - u12 + 19x3_{12} &\leq 18 \\
u3 - u13 + 19x3_{13} &\leq 18
\end{aligned}$$

$$\begin{aligned}
u3 - u14 + 19x3_{14} &\leq 18 \\
u3 - u15 + 19x3_{15} &\leq 18 \\
u3 - u16 + 19x3_{16} &\leq 18 \\
u3 - u17 + 19x3_{17} &\leq 18 \\
u3 - u18 + 19x3_{18} &\leq 18 \\
u3 - u19 + 19x3_{19} &\leq 18
\end{aligned}$$

$$\begin{aligned}
u4 - u2 + 19x4_2 &\leq 18 \\
u4 - u3 + 19x4_3 &\leq 18 \\
u4 - u5 + 19x4_5 &\leq 18 \\
u4 - u6 + 19x4_6 &\leq 18 \\
u4 - u7 + 19x4_7 &\leq 18 \\
u4 - u8 + 19x4_8 &\leq 18 \\
u4 - u9 + 19x4_9 &\leq 18 \\
u4 - u10 + 19x4_{10} &\leq 18 \\
u4 - u11 + 19x4_{11} &\leq 18 \\
u4 - u12 + 19x4_{12} &\leq 18 \\
u4 - u13 + 19x4_{13} &\leq 18 \\
u4 - u14 + 19x4_{14} &\leq 18 \\
u4 - u15 + 19x4_{15} &\leq 18 \\
u4 - u16 + 19x4_{16} &\leq 18 \\
u4 - u17 + 19x4_{17} &\leq 18 \\
u4 - u18 + 19x4_{18} &\leq 18 \\
u4 - u19 + 19x4_{19} &\leq 18
\end{aligned}$$

$$\begin{aligned}
u5 - u2 + 19x5_2 &\leq 18 \\
u5 - u3 + 19x5_3 &\leq 18 \\
u5 - u4 + 19x5_4 &\leq 18 \\
u5 - u6 + 19x5_6 &\leq 18 \\
u5 - u7 + 19x5_7 &\leq 18 \\
u5 - u8 + 19x5_8 &\leq 18 \\
u5 - u9 + 19x5_9 &\leq 18 \\
u5 - u10 + 19x5_{10} &\leq 18 \\
u5 - u11 + 19x5_{11} &\leq 18 \\
u5 - u12 + 19x5_{12} &\leq 18 \\
u5 - u13 + 19x5_{13} &\leq 18 \\
u5 - u14 + 19x5_{14} &\leq 18 \\
u5 - u15 + 19x5_{15} &\leq 18 \\
u5 - u16 + 19x5_{16} &\leq 18 \\
u5 - u17 + 19x5_{17} &\leq 18 \\
u5 - u18 + 19x5_{18} &\leq 18 \\
u5 - u19 + 19x5_{19} &\leq 18
\end{aligned}$$

$$\begin{aligned}
u6 - u2 + 19x6_2 &\leq 18 \\
u6 - u3 + 19x6_3 &\leq 18 \\
u6 - u4 + 19x6_4 &\leq 18 \\
u6 - u5 + 19x6_5 &\leq 18 \\
u6 - u7 + 19x6_7 &\leq 18 \\
u6 - u8 + 19x6_8 &\leq 18
\end{aligned}$$

u6 - u9 + 19 x6\_9 <= 18  
u6 - u10 + 19 x6\_10 <= 18  
u6 - u11 + 19 x6\_11 <= 18  
u6 - u12 + 19 x6\_12 <= 18  
u6 - u13 + 19 x6\_13 <= 18  
u6 - u14 + 19 x6\_14 <= 18  
u6 - u15 + 19 x6\_15 <= 18  
u6 - u16 + 19 x6\_16 <= 18  
u6 - u17 + 19 x6\_17 <= 18  
u6 - u18 + 19 x6\_18 <= 18  
u6 - u19 + 19 x6\_19 <= 18

u7 - u2 + 19 x7\_2 <= 18  
u7 - u3 + 19 x7\_3 <= 18  
u7 - u4 + 19 x7\_4 <= 18  
u7 - u5 + 19 x7\_5 <= 18  
u7 - u6 + 19 x7\_6 <= 18  
u7 - u8 + 19 x7\_8 <= 18  
u7 - u9 + 19 x7\_9 <= 18  
u7 - u10 + 19 x7\_10 <= 18  
u7 - u11 + 19 x7\_11 <= 18  
u7 - u12 + 19 x7\_12 <= 18  
u7 - u13 + 19 x7\_13 <= 18  
u7 - u14 + 19 x7\_14 <= 18  
u7 - u15 + 19 x7\_15 <= 18  
u7 - u16 + 19 x7\_16 <= 18  
u7 - u17 + 19 x7\_17 <= 18  
u7 - u18 + 19 x7\_18 <= 18  
u7 - u19 + 19 x7\_19 <= 18

u8 - u2 + 19 x8\_2 <= 18  
u8 - u3 + 19 x8\_3 <= 18  
u8 - u4 + 19 x8\_4 <= 18  
u8 - u5 + 19 x8\_5 <= 18  
u8 - u6 + 19 x8\_6 <= 18  
u8 - u7 + 19 x8\_7 <= 18  
u8 - u9 + 19 x8\_9 <= 18  
u8 - u10 + 19 x8\_10 <= 18  
u8 - u11 + 19 x8\_11 <= 18  
u8 - u12 + 19 x8\_12 <= 18  
u8 - u13 + 19 x8\_13 <= 18  
u8 - u14 + 19 x8\_14 <= 18  
u8 - u15 + 19 x8\_15 <= 18  
u8 - u16 + 19 x8\_16 <= 18  
u8 - u17 + 19 x8\_17 <= 18  
u8 - u18 + 19 x8\_18 <= 18  
u8 - u19 + 19 x8\_19 <= 18

u9 - u2 + 19 x9\_2 <= 18  
u9 - u3 + 19 x9\_3 <= 18  
u9 - u4 + 19 x9\_4 <= 18  
u9 - u5 + 19 x9\_5 <= 18  
u9 - u6 + 19 x9\_6 <= 18  
u9 - u7 + 19 x9\_7 <= 18  
u9 - u8 + 19 x9\_8 <= 18  
u9 - u10 + 19 x9\_10 <= 18  
u9 - u11 + 19 x9\_11 <= 18

u9 - u12 + 19 x9\_12 <= 18  
u9 - u13 + 19 x9\_13 <= 18  
u9 - u14 + 19 x9\_14 <= 18  
u9 - u15 + 19 x9\_15 <= 18  
u9 - u16 + 19 x9\_16 <= 18  
u9 - u17 + 19 x9\_17 <= 18  
u9 - u18 + 19 x9\_18 <= 18  
u9 - u19 + 19 x9\_19 <= 18

u10 - u2 + 19 x10\_2 <= 18  
u10 - u3 + 19 x10\_3 <= 18  
u10 - u4 + 19 x10\_4 <= 18  
u10 - u5 + 19 x10\_5 <= 18  
u10 - u6 + 19 x10\_6 <= 18  
u10 - u7 + 19 x10\_7 <= 18  
u10 - u8 + 19 x10\_8 <= 18  
u10 - u9 + 19 x10\_9 <= 18  
u10 - u11 + 19 x10\_11 <= 18  
u10 - u12 + 19 x10\_12 <= 18  
u10 - u13 + 19 x10\_13 <= 18  
u10 - u14 + 19 x10\_14 <= 18  
u10 - u15 + 19 x10\_15 <= 18  
u10 - u16 + 19 x10\_16 <= 18  
u10 - u17 + 19 x10\_17 <= 18  
u10 - u18 + 19 x10\_18 <= 18  
u10 - u19 + 19 x10\_19 <= 18

u11 - u2 + 19 x11\_2 <= 18  
u11 - u3 + 19 x11\_3 <= 18  
u11 - u4 + 19 x11\_4 <= 18  
u11 - u5 + 19 x11\_5 <= 18  
u11 - u6 + 19 x11\_6 <= 18  
u11 - u7 + 19 x11\_7 <= 18  
u11 - u8 + 19 x11\_8 <= 18  
u11 - u9 + 19 x11\_9 <= 18  
u11 - u10 + 19 x11\_10 <= 18  
u11 - u12 + 19 x11\_12 <= 18  
u11 - u13 + 19 x11\_13 <= 18  
u11 - u14 + 19 x11\_14 <= 18  
u11 - u15 + 19 x11\_15 <= 18  
u11 - u16 + 19 x11\_16 <= 18  
u11 - u17 + 19 x11\_17 <= 18  
u11 - u18 + 19 x11\_18 <= 18  
u11 - u19 + 19 x11\_19 <= 18

u12 - u2 + 19 x12\_2 <= 18  
u12 - u3 + 19 x12\_3 <= 18  
u12 - u4 + 19 x12\_4 <= 18  
u12 - u5 + 19 x12\_5 <= 18  
u12 - u6 + 19 x12\_6 <= 18  
u12 - u7 + 19 x12\_7 <= 18  
u12 - u8 + 19 x12\_8 <= 18  
u12 - u9 + 19 x12\_9 <= 18  
u12 - u10 + 19 x12\_10 <= 18  
u12 - u11 + 19 x12\_11 <= 18  
u12 - u13 + 19 x12\_13 <= 18  
u12 - u14 + 19 x12\_14 <= 18

u12 - u15 + 19 x12\_15 <= 18  
u12 - u16 + 19 x12\_16 <= 18  
u12 - u17 + 19 x12\_17 <= 18  
u12 - u18 + 19 x12\_18 <= 18  
u12 - u19 + 19 x12\_19 <= 18

u13 - u2 + 19 x13\_2 <= 18  
u13 - u3 + 19 x13\_3 <= 18  
u13 - u4 + 19 x13\_4 <= 18  
u13 - u5 + 19 x13\_5 <= 18  
u13 - u6 + 19 x13\_6 <= 18  
u13 - u7 + 19 x13\_7 <= 18  
u13 - u8 + 19 x13\_8 <= 18  
u13 - u9 + 19 x13\_9 <= 18  
u13 - u10 + 19 x13\_10 <= 18  
u13 - u11 + 19 x13\_11 <= 18  
u13 - u12 + 19 x13\_12 <= 18  
u13 - u14 + 19 x13\_14 <= 18  
u13 - u15 + 19 x13\_15 <= 18  
u13 - u16 + 19 x13\_16 <= 18  
u13 - u17 + 19 x13\_17 <= 18  
u13 - u18 + 19 x13\_18 <= 18  
u13 - u19 + 19 x13\_19 <= 18

u14 - u2 + 19 x14\_2 <= 18  
u14 - u3 + 19 x14\_3 <= 18  
u14 - u4 + 19 x14\_4 <= 18  
u14 - u5 + 19 x14\_5 <= 18  
u14 - u6 + 19 x14\_6 <= 18  
u14 - u7 + 19 x14\_7 <= 18  
u14 - u8 + 19 x14\_8 <= 18  
u14 - u9 + 19 x14\_9 <= 18  
u14 - u10 + 19 x14\_10 <= 18  
u14 - u11 + 19 x14\_11 <= 18  
u14 - u12 + 19 x14\_12 <= 18  
u14 - u13 + 19 x14\_13 <= 18  
u14 - u15 + 19 x14\_15 <= 18  
u14 - u16 + 19 x14\_16 <= 18  
u14 - u17 + 19 x14\_17 <= 18  
u14 - u18 + 19 x14\_18 <= 18  
u14 - u19 + 19 x14\_19 <= 18

u15 - u2 + 19 x15\_2 <= 18  
u15 - u3 + 19 x15\_3 <= 18  
u15 - u4 + 19 x15\_4 <= 18  
u15 - u5 + 19 x15\_5 <= 18  
u15 - u6 + 19 x15\_6 <= 18  
u15 - u7 + 19 x15\_7 <= 18  
u15 - u8 + 19 x15\_8 <= 18  
u15 - u9 + 19 x15\_9 <= 18  
u15 - u10 + 19 x15\_10 <= 18  
u15 - u11 + 19 x15\_11 <= 18  
u15 - u12 + 19 x15\_12 <= 18  
u15 - u13 + 19 x15\_13 <= 18  
u15 - u14 + 19 x15\_14 <= 18  
u15 - u16 + 19 x15\_16 <= 18  
u15 - u17 + 19 x15\_17 <= 18

u15 - u18 + 19 x15\_18 <= 18  
u15 - u19 + 19 x15\_19 <= 18

u16 - u2 + 19 x16\_2 <= 18  
u16 - u3 + 19 x16\_3 <= 18  
u16 - u4 + 19 x16\_4 <= 18  
u16 - u5 + 19 x16\_5 <= 18  
u16 - u6 + 19 x16\_6 <= 18  
u16 - u7 + 19 x16\_7 <= 18  
u16 - u8 + 19 x16\_8 <= 18  
u16 - u9 + 19 x16\_9 <= 18  
u16 - u10 + 19 x16\_10 <= 18  
u16 - u11 + 19 x16\_11 <= 18  
u16 - u12 + 19 x16\_12 <= 18  
u16 - u13 + 19 x16\_13 <= 18  
u16 - u14 + 19 x16\_14 <= 18  
u16 - u15 + 19 x16\_15 <= 18  
u16 - u17 + 19 x16\_17 <= 18  
u16 - u18 + 19 x16\_18 <= 18  
u16 - u19 + 19 x16\_19 <= 18

u17 - u2 + 19 x17\_2 <= 18  
u17 - u3 + 19 x17\_3 <= 18  
u17 - u4 + 19 x17\_4 <= 18  
u17 - u5 + 19 x17\_5 <= 18  
u17 - u6 + 19 x17\_6 <= 18  
u17 - u7 + 19 x17\_7 <= 18  
u17 - u8 + 19 x17\_8 <= 18  
u17 - u9 + 19 x17\_9 <= 18  
u17 - u10 + 19 x17\_10 <= 18  
u17 - u11 + 19 x17\_11 <= 18  
u17 - u12 + 19 x17\_12 <= 18  
u17 - u13 + 19 x17\_13 <= 18  
u17 - u14 + 19 x17\_14 <= 18  
u17 - u15 + 19 x17\_15 <= 18  
u17 - u16 + 19 x17\_16 <= 18  
u17 - u18 + 19 x17\_18 <= 18  
u17 - u19 + 19 x17\_19 <= 18

u18 - u2 + 19 x18\_2 <= 18  
u18 - u3 + 19 x18\_3 <= 18  
u18 - u4 + 19 x18\_4 <= 18  
u18 - u5 + 19 x18\_5 <= 18  
u18 - u6 + 19 x18\_6 <= 18  
u18 - u7 + 19 x18\_7 <= 18  
u18 - u8 + 19 x18\_8 <= 18  
u18 - u9 + 19 x18\_9 <= 18  
u18 - u10 + 19 x18\_10 <= 18  
u18 - u11 + 19 x18\_11 <= 18  
u18 - u12 + 19 x18\_12 <= 18  
u18 - u13 + 19 x18\_13 <= 18  
u18 - u14 + 19 x18\_14 <= 18  
u18 - u15 + 19 x18\_15 <= 18  
u18 - u16 + 19 x18\_16 <= 18  
u18 - u17 + 19 x18\_17 <= 18  
u18 - u19 + 19 x18\_19 <= 18



u19 - u2 + 19 x19_2 <= 18	u12 >= 1
u19 - u3 + 19 x19_3 <= 18	u13 >= 1
u19 - u4 + 19 x19_4 <= 18	u14 >= 1
u19 - u5 + 19 x19_5 <= 18	u15 >= 1
u19 - u6 + 19 x19_6 <= 18	u16 >= 1
u19 - u7 + 19 x19_7 <= 18	u17 >= 1
u19 - u8 + 19 x19_8 <= 18	u18 >= 1
u19 - u9 + 19 x19_9 <= 18	u19 >= 1
u19 - u10 + 19 x19_10 <= 18	
u19 - u11 + 19 x19_11 <= 18	u1 <= 19
u19 - u12 + 19 x19_12 <= 18	u2 <= 19
u19 - u13 + 19 x19_13 <= 18	u3 <= 19
u19 - u14 + 19 x19_14 <= 18	u4 <= 19
u19 - u15 + 19 x19_15 <= 18	u5 <= 19
u19 - u16 + 19 x19_16 <= 18	u6 <= 19
u19 - u17 + 19 x19_17 <= 18	u7 <= 19
u19 - u18 + 19 x19_18 <= 18	u8 <= 19
	u9 <= 19
u1 >= 1	u10 <= 19
u2 >= 1	u11 <= 19
u3 >= 1	u12 <= 19
u4 >= 1	u13 <= 19
u5 >= 1	u14 <= 19
u6 >= 1	u15 <= 19
u7 >= 1	u16 <= 19
u8 >= 1	u17 <= 19
u9 >= 1	u18 <= 19
u10 >= 1	u19 <= 19
u11 >= 1	

Binaries

x1\_2 x1\_3 x1\_4 x1\_5 x1\_6 x1\_7 x1\_8 x1\_9 x1\_10 x1\_11 x1\_12 x1\_13 x1\_14 x1\_15 x1\_16 x1\_17 x1\_18 x1\_19  
x2\_1 x2\_3 x2\_4 x2\_5 x2\_6 x2\_7 x2\_8 x2\_9 x2\_10 x2\_11 x2\_12 x2\_13 x2\_14 x2\_15 x2\_16 x2\_17 x2\_18 x2\_19  
x3\_2 x3\_1 x3\_4 x3\_5 x3\_6 x3\_7 x3\_8 x3\_9 x3\_10 x3\_11 x3\_12 x3\_13 x3\_14 x3\_15 x3\_16 x3\_17 x3\_18 x3\_19  
x4\_2 x4\_3 x4\_1 x4\_5 x4\_6 x4\_7 x4\_8 x4\_9 x4\_10 x4\_11 x4\_12 x4\_13 x4\_14 x4\_15 x4\_16 x4\_17 x4\_18 x4\_19  
x5\_2 x5\_3 x5\_4 x5\_1 x5\_6 x5\_7 x5\_8 x5\_9 x5\_10 x5\_11 x5\_12 x5\_13 x5\_14 x5\_15 x5\_16 x5\_17 x5\_18 x5\_19  
x6\_2 x6\_3 x6\_4 x6\_5 x6\_1 x6\_7 x6\_8 x6\_9 x6\_10 x6\_11 x6\_12 x6\_13 x6\_14 x6\_15 x6\_16 x6\_17 x6\_18 x6\_19  
x7\_2 x7\_3 x7\_4 x7\_5 x7\_6 x7\_1 x7\_8 x7\_9 x7\_10 x7\_11 x7\_12 x7\_13 x7\_14 x7\_15 x7\_16 x7\_17 x7\_18 x7\_19  
x8\_2 x8\_3 x8\_4 x8\_5 x8\_6 x8\_7 x8\_1 x8\_9 x8\_10 x8\_11 x8\_12 x8\_13 x8\_14 x8\_15 x8\_16 x8\_17 x8\_18 x8\_19  
x9\_2 x9\_3 x9\_4 x9\_5 x9\_6 x9\_7 x9\_8 x9\_1 x9\_10 x9\_11 x9\_12 x9\_13 x9\_14 x9\_15 x9\_16 x9\_17 x9\_18 x9\_19  
x10\_2 x10\_3 x10\_4 x10\_5 x10\_6 x10\_7 x10\_8 x10\_9 x10\_1 x10\_11 x10\_12 x10\_13 x10\_14 x10\_15 x10\_16 x10\_17  
x10\_18 x10\_19  
x11\_2 x11\_3 x11\_4 x11\_5 x11\_6 x11\_7 x11\_8 x11\_9 x11\_10 x11\_1 x11\_12 x11\_13 x11\_14 x11\_15 x11\_16 x11\_17  
x11\_18 x11\_19  
x12\_2 x12\_3 x12\_4 x12\_5 x12\_6 x12\_7 x12\_8 x12\_9 x12\_10 x12\_11 x12\_1 x12\_13 x12\_14 x12\_15 x12\_16 x12\_17  
x12\_18 x12\_19  
x13\_2 x13\_3 x13\_4 x13\_5 x13\_6 x13\_7 x13\_8 x13\_9 x13\_10 x13\_11 x13\_12 x13\_1 x13\_14 x13\_15 x13\_16 x13\_17  
x13\_18 x13\_19  
x14\_2 x14\_3 x14\_4 x14\_5 x14\_6 x14\_7 x14\_8 x14\_9 x14\_10 x14\_11 x14\_12 x14\_13 x14\_1 x14\_15 x14\_16 x14\_17  
x14\_18 x14\_19  
x15\_2 x15\_3 x15\_4 x15\_5 x15\_6 x15\_7 x15\_8 x15\_9 x15\_10 x15\_11 x15\_12 x15\_13 x15\_14 x15\_1 x15\_16 x15\_17  
x15\_18 x15\_19  
x16\_2 x16\_3 x16\_4 x16\_5 x16\_6 x16\_7 x16\_8 x16\_9 x16\_10 x16\_11 x16\_12 x16\_13 x16\_14 x16\_15 x16\_1 x16\_17  
x16\_18 x16\_19  
x17\_2 x17\_3 x17\_4 x17\_5 x17\_6 x17\_7 x17\_8 x17\_9 x17\_10 x17\_11 x17\_12 x17\_13 x17\_14 x17\_15 x17\_16 x17\_1  
x17\_18 x17\_19

x18\_2 x18\_3 x18\_4 x18\_5 x18\_6 x18\_7 x18\_8 x18\_9 x18\_10 x18\_11 x18\_12 x18\_13 x18\_14 x18\_15 x18\_16  
x18\_17 x18\_1 x18\_19  
x19\_2 x19\_3 x19\_4 x19\_5 x19\_6 x19\_7 x19\_8 x19\_9 x19\_10 x19\_11 x19\_12 x19\_13 x19\_14 x19\_15 x19\_16  
x19\_17 x19\_18 x19\_1

End

**Příloha 5 Omezující podmínka (4.6) pro  $\delta_{ij}^c = 0, 15c_{ij}$**

z + p1_2 - 1.0184 x1_2 >= 0	z + p3_10 - 1.3075 x3_10 >= 0
z + p1_3 - 0.2571 x1_3 >= 0	z + p3_11 - 1.315 x3_11 >= 0
z + p1_4 - 1.239 x1_4 >= 0	z + p3_12 - 1.4408 x3_12 >= 0
z + p1_5 - 1.3275 x1_5 >= 0	z + p3_13 - 1.5083 x3_13 >= 0
z + p1_6 - 1.5061 x1_6 >= 0	z + p3_14 - 1.5085 x3_14 >= 0
z + p1_7 - 1.5248 x1_7 >= 0	z + p3_15 - 1.2776 x3_15 >= 0
z + p1_8 - 1.5515 x1_8 >= 0	z + p3_16 - 1.174 x3_16 >= 0
z + p1_9 - 1.5706 x1_9 >= 0	z + p3_17 - 1.048 x3_17 >= 0
z + p1_10 - 1.5427 x1_10 >= 0	z + p3_18 - 0.7119 x3_18 >= 0
z + p1_11 - 1.5503 x1_11 >= 0	z + p3_19 - 0.255 x3_19 >= 0
z + p1_12 - 1.676 x1_12 >= 0	
z + p1_13 - 1.7435 x1_13 >= 0	z + p4_1 - 1.2396 x4_1 >= 0
z + p1_14 - 1.7437 x1_14 >= 0	z + p4_2 - 0.251 x4_2 >= 0
z + p1_15 - 1.5128 x1_15 >= 0	z + p4_3 - 0.9992 x4_3 >= 0
z + p1_16 - 1.4093 x1_16 >= 0	z + p4_5 - 0.1316 x4_5 >= 0
z + p1_17 - 1.2832 x1_17 >= 0	z + p4_6 - 0.5253 x4_6 >= 0
z + p1_18 - 0.9471 x1_18 >= 0	z + p4_7 - 0.5632 x4_7 >= 0
z + p1_19 - 0.022 x1_19 >= 0	z + p4_8 - 0.5943 x4_8 >= 0
	z + p4_9 - 0.638 x4_9 >= 0
z + p2_1 - 1.0179 x2_1 >= 0	z + p4_10 - 0.6423 x4_10 >= 0
z + p2_3 - 0.7775 x2_3 >= 0	z + p4_11 - 0.688 x4_11 >= 0
z + p2_4 - 0.2519 x2_4 >= 0	z + p4_12 - 0.748 x4_12 >= 0
z + p2_5 - 0.3405 x2_5 >= 0	z + p4_13 - 0.8004 x4_13 >= 0
z + p2_6 - 0.7342 x2_6 >= 0	z + p4_14 - 0.8127 x4_14 >= 0
z + p2_7 - 0.772 x2_7 >= 0	z + p4_15 - 0.7239 x4_15 >= 0
z + p2_8 - 0.8031 x2_8 >= 0	z + p4_16 - 0.6203 x4_16 >= 0
z + p2_9 - 0.8468 x2_9 >= 0	z + p4_17 - 0.4943 x4_17 >= 0
z + p2_10 - 0.8333 x2_10 >= 0	z + p4_18 - 0.5707 x4_18 >= 0
z + p2_11 - 0.8713 x2_11 >= 0	z + p4_19 - 1.2338 x4_19 >= 0
z + p2_12 - 0.9568 x2_12 >= 0	
z + p2_13 - 1.0093 x2_13 >= 0	z + p5_1 - 1.3289 x5_1 >= 0
z + p2_14 - 1.0215 x2_14 >= 0	z + p5_2 - 0.3403 x5_2 >= 0
z + p2_15 - 0.8866 x2_15 >= 0	z + p5_3 - 1.0885 x5_3 >= 0
z + p2_16 - 0.783 x2_16 >= 0	z + p5_4 - 0.1338 x5_4 >= 0
z + p2_17 - 0.657 x2_17 >= 0	z + p5_6 - 0.4352 x5_6 >= 0
z + p2_18 - 0.3708 x2_18 >= 0	z + p5_7 - 0.473 x5_7 >= 0
z + p2_19 - 1.0121 x2_19 >= 0	z + p5_8 - 0.504 x5_8 >= 0
	z + p5_9 - 0.5478 x5_9 >= 0
z + p3_1 - 0.2608 x3_1 >= 0	z + p5_10 - 0.552 x5_10 >= 0
z + p3_2 - 0.7832 x3_2 >= 0	z + p5_11 - 0.5979 x5_11 >= 0
z + p3_4 - 1.0038 x3_4 >= 0	z + p5_12 - 0.6578 x5_12 >= 0
z + p3_5 - 1.0923 x3_5 >= 0	z + p5_13 - 0.7102 x5_13 >= 0
z + p3_6 - 1.2709 x3_6 >= 0	z + p5_14 - 0.7225 x5_14 >= 0
	z + p5_15 - 0.649 x5_15 >= 0
z + p3_7 - 1.2896 x3_7 >= 0	z + p5_16 - 0.5455 x5_16 >= 0
z + p3_8 - 1.3163 x3_8 >= 0	z + p5_17 - 0.4195 x5_17 >= 0
z + p3_9 - 1.3354 x3_9 >= 0	z + p5_18 - 0.4959 x5_18 >= 0
	z + p5_19 - 1.3231 x5_19 >= 0

$z + p6\_1 - 1.504 x6\_1 \geq 0$   
 $z + p6\_2 - 0.7398 x6\_2 \geq 0$   
 $z + p6\_3 - 1.2635 x6\_3 \geq 0$   
 $z + p6\_4 - 0.5332 x6\_4 \geq 0$   
 $z + p6\_5 - 0.4395 x6\_5 \geq 0$   
 $z + p6\_7 - 0.0593 x6\_7 \geq 0$   
 $z + p6\_8 - 0.0903 x6\_8 \geq 0$   
 $z + p6\_9 - 0.1341 x6\_9 \geq 0$   
 $z + p6\_10 - 0.1462 x6\_10 \geq 0$   
 $z + p6\_11 - 0.206 x6\_11 \geq 0$   
 $z + p6\_12 - 0.2441 x6\_12 \geq 0$   
 $z + p6\_13 - 0.2965 x6\_13 \geq 0$   
 $z + p6\_14 - 0.3088 x6\_14 \geq 0$   
 $z + p6\_15 - 0.287 x6\_15 \geq 0$   
 $z + p6\_16 - 0.3082 x6\_16 \geq 0$   
 $z + p6\_17 - 0.2685 x6\_17 \geq 0$   
 $z + p6\_18 - 0.599 x6\_18 \geq 0$   
 $z + p6\_19 - 1.4981 x6\_19 \geq 0$

$z + p7\_1 - 1.5187 x7\_1 \geq 0$   
 $z + p7\_2 - 0.7723 x7\_2 \geq 0$   
 $z + p7\_3 - 1.2783 x7\_3 \geq 0$   
 $z + p7\_4 - 0.5658 x7\_4 \geq 0$   
 $z + p7\_5 - 0.4721 x7\_5 \geq 0$   
 $z + p7\_6 - 0.0528 x7\_6 \geq 0$   
 $z + p7\_8 - 0.0689 x7\_8 \geq 0$   
 $z + p7\_9 - 0.1127 x7\_9 \geq 0$   
 $z + p7\_10 - 0.1258 x7\_10 \geq 0$   
 $z + p7\_11 - 0.2103 x7\_11 \geq 0$   
 $z + p7\_12 - 0.2227 x7\_12 \geq 0$   
 $z + p7\_13 - 0.2751 x7\_13 \geq 0$   
 $z + p7\_14 - 0.2874 x7\_14 \geq 0$   
 $z + p7\_15 - 0.2667 x7\_15 \geq 0$   
 $z + p7\_16 - 0.3124 x7\_16 \geq 0$   
 $z + p7\_17 - 0.2833 x7\_17 \geq 0$   
 $z + p7\_18 - 0.6138 x7\_18 \geq 0$   
 $z + p7\_19 - 1.5129 x7\_19 \geq 0$

$z + p8\_1 - 1.548 x8\_1 \geq 0$   
 $z + p8\_2 - 0.8145 x8\_2 \geq 0$   
 $z + p8\_3 - 1.3075 x8\_3 \geq 0$   
 $z + p8\_4 - 0.6079 x8\_4 \geq 0$   
 $z + p8\_5 - 0.5142 x8\_5 \geq 0$   
 $z + p8\_6 - 0.095 x8\_6 \geq 0$   
 $z + p8\_7 - 0.072 x8\_7 \geq 0$   
 $z + p8\_9 - 0.0693 x8\_9 \geq 0$   
 $z + p8\_10 - 0.0808 x8\_10 \geq 0$   
 $z + p8\_11 - 0.191 x8\_11 \geq 0$   
 $z + p8\_12 - 0.1957 x8\_12 \geq 0$   
 $z + p8\_13 - 0.2481 x8\_13 \geq 0$   
 $z + p8\_14 - 0.2604 x8\_14 \geq 0$   
 $z + p8\_15 - 0.2318 x8\_15 \geq 0$   
 $z + p8\_16 - 0.2984 x8\_16 \geq 0$   
 $z + p8\_17 - 0.3125 x8\_17 \geq 0$   
 $z + p8\_18 - 0.643 x8\_18 \geq 0$   
 $z + p8\_19 - 1.5422 x8\_19 \geq 0$

$z + p9\_1 - 1.5709 x9\_1 \geq 0$   
 $z + p9\_2 - 0.8554 x9\_2 \geq 0$   
 $z + p9\_3 - 1.3305 x9\_3 \geq 0$   
 $z + p9\_4 - 0.6489 x9\_4 \geq 0$   
 $z + p9\_5 - 0.5551 x9\_5 \geq 0$   
 $z + p9\_6 - 0.1359 x9\_6 \geq 0$   
 $z + p9\_7 - 0.113 x9\_7 \geq 0$   
 $z + p9\_8 - 0.0668 x9\_8 \geq 0$   
 $z + p9\_10 - 0.0618 x9\_10 \geq 0$   
 $z + p9\_11 - 0.178 x9\_11 \geq 0$   
 $z + p9\_12 - 0.2295 x9\_12 \geq 0$   
 $z + p9\_13 - 0.2819 x9\_13 \geq 0$   
 $z + p9\_14 - 0.2942 x9\_14 \geq 0$   
 $z + p9\_15 - 0.2188 x9\_15 \geq 0$   
 $z + p9\_16 - 0.3086 x9\_16 \geq 0$   
 $z + p9\_17 - 0.3355 x9\_17 \geq 0$   
 $z + p9\_18 - 0.666 x9\_18 \geq 0$   
 $z + p9\_19 - 1.5651 x9\_19 \geq 0$

$z + p10\_1 - 1.5463 x10\_1 \geq 0$   
 $z + p10\_2 - 0.8498 x10\_2 \geq 0$   
 $z + p10\_3 - 1.3058 x10\_3 \geq 0$   
 $z + p10\_4 - 0.6531 x10\_4 \geq 0$   
 $z + p10\_5 - 0.5594 x10\_5 \geq 0$   
 $z + p10\_6 - 0.1471 x10\_6 \geq 0$   
 $z + p10\_7 - 0.1263 x10\_7 \geq 0$   
 $z + p10\_8 - 0.0774 x10\_8 \geq 0$   
 $z + p10\_9 - 0.0648 x10\_9 \geq 0$   
 $z + p10\_11 - 0.1456 x10\_11 \geq 0$   
 $z + p10\_12 - 0.2288 x10\_12 \geq 0$   
 $z + p10\_13 - 0.2813 x10\_13 \geq 0$   
 $z + p10\_14 - 0.2935 x10\_14 \geq 0$   
 $z + p10\_15 - 0.1865 x10\_15 \geq 0$   
 $z + p10\_16 - 0.2804 x10\_16 \geq 0$   
 $z + p10\_17 - 0.3108 x10\_17 \geq 0$   
 $z + p10\_18 - 0.6413 x10\_18 \geq 0$   
 $z + p10\_19 - 1.5405 x10\_19 \geq 0$

$z + p11\_1 - 1.5448 x11\_1 \geq 0$   
 $z + p11\_2 - 0.8852 x11\_2 \geq 0$   
 $z + p11\_3 - 1.3044 x11\_3 \geq 0$   
 $z + p11\_4 - 0.6972 x11\_4 \geq 0$   
 $z + p11\_5 - 0.6034 x11\_5 \geq 0$   
 $z + p11\_6 - 0.2052 x11\_6 \geq 0$   
 $z + p11\_7 - 0.2068 x11\_7 \geq 0$   
 $z + p11\_8 - 0.1855 x11\_8 \geq 0$   
 $z + p11\_9 - 0.1771 x11\_9 \geq 0$   
 $z + p11\_10 - 0.144 x11\_10 \geq 0$   
 $z + p11\_12 - 0.2676 x11\_12 \geq 0$   
 $z + p11\_13 - 0.3465 x11\_13 \geq 0$   
 $z + p11\_14 - 0.3467 x11\_14 \geq 0$   
 $z + p11\_15 - 0.1331 x11\_15 \geq 0$   
 $z + p11\_16 - 0.1875 x11\_16 \geq 0$   
 $z + p11\_17 - 0.3008 x11\_17 \geq 0$   
 $z + p11\_18 - 0.6399 x11\_18 \geq 0$   
 $z + p11\_19 - 1.539 x11\_19 \geq 0$

$z + p12\_1 - 1.6699 x12\_1 \geq 0$   
 $z + p12\_2 - 0.9604 x12\_2 \geq 0$   
 $z + p12\_3 - 1.4294 x12\_3 \geq 0$   
 $z + p12\_4 - 0.7538 x12\_4 \geq 0$   
 $z + p12\_5 - 0.6601 x12\_5 \geq 0$   
 $z + p12\_6 - 0.2409 x12\_6 \geq 0$   
 $z + p12\_7 - 0.2179 x12\_7 \geq 0$   
 $z + p12\_8 - 0.1941 x12\_8 \geq 0$   
 $z + p12\_9 - 0.2259 x12\_9 \geq 0$   
 $z + p12\_10 - 0.2328 x12\_10 \geq 0$   
 $z + p12\_11 - 0.267 x12\_11 \geq 0$   
 $z + p12\_13 - 0.1316 x12\_13 \geq 0$   
 $z + p12\_14 - 0.1318 x12\_14 \geq 0$   
 $z + p12\_15 - 0.1977 x12\_15 \geq 0$   
 $z + p12\_16 - 0.2972 x12\_16 \geq 0$   
 $z + p12\_17 - 0.4324 x12\_17 \geq 0$   
 $z + p12\_18 - 0.765 x12\_18 \geq 0$   
 $z + p12\_19 - 1.664 x12\_19 \geq 0$

$z + p13\_1 - 1.7348 x13\_1 \geq 0$   
 $z + p13\_2 - 1.0117 x13\_2 \geq 0$   
 $z + p13\_3 - 1.4943 x13\_3 \geq 0$   
 $z + p13\_4 - 0.8052 x13\_4 \geq 0$   
 $z + p13\_5 - 0.7114 x13\_5 \geq 0$   
 $z + p13\_6 - 0.2922 x13\_6 \geq 0$   
 $z + p13\_7 - 0.2693 x13\_7 \geq 0$   
 $z + p13\_8 - 0.2454 x13\_8 \geq 0$   
 $z + p13\_9 - 0.2773 x13\_9 \geq 0$   
 $z + p13\_10 - 0.284 x13\_10 \geq 0$   
 $z + p13\_11 - 0.3445 x13\_11 \geq 0$   
 $z + p13\_12 - 0.1318 x13\_12 \geq 0$   
 $z + p13\_14 - 0.0313 x13\_14 \geq 0$   
 $z + p13\_15 - 0.2626 x13\_15 \geq 0$   
 $z + p13\_16 - 0.362 x13\_16 \geq 0$   
 $z + p13\_17 - 0.4973 x13\_17 \geq 0$   
 $z + p13\_18 - 0.8298 x13\_18 \geq 0$   
 $z + p13\_19 - 1.729 x13\_19 \geq 0$

$z + p14\_1 - 1.7356 x14\_1 \geq 0$   
 $z + p14\_2 - 1.025 x14\_2 \geq 0$   
 $z + p14\_3 - 1.4951 x14\_3 \geq 0$   
 $z + p14\_4 - 0.8184 x14\_4 \geq 0$   
 $z + p14\_5 - 0.7247 x14\_5 \geq 0$   
 $z + p14\_6 - 0.3054 x14\_6 \geq 0$   
 $z + p14\_7 - 0.2825 x14\_7 \geq 0$   
 $z + p14\_8 - 0.2586 x14\_8 \geq 0$   
 $z + p14\_9 - 0.2905 x14\_9 \geq 0$   
 $z + p14\_10 - 0.2973 x14\_10 \geq 0$   
 $z + p14\_11 - 0.3453 x14\_11 \geq 0$   
 $z + p14\_12 - 0.1326 x14\_12 \geq 0$   
 $z + p14\_13 - 0.0308 x14\_13 \geq 0$   
 $z + p14\_15 - 0.2634 x14\_15 \geq 0$   
 $z + p14\_16 - 0.3628 x14\_16 \geq 0$   
 $z + p14\_17 - 0.4981 x14\_17 \geq 0$   
 $z + p14\_18 - 0.8307 x14\_18 \geq 0$   
 $z + p14\_19 - 1.7298 x14\_19 \geq 0$

$z + p15\_1 - 1.5058 x15\_1 \geq 0$   
 $z + p15\_2 - 0.885 x15\_2 \geq 0$   
 $z + p15\_3 - 1.2654 x15\_3 \geq 0$   
 $z + p15\_4 - 0.7306 x15\_4 \geq 0$   
 $z + p15\_5 - 0.6507 x15\_5 \geq 0$   
 $z + p15\_6 - 0.2841 x15\_6 \geq 0$   
 $z + p15\_7 - 0.2633 x15\_7 \geq 0$   
 $z + p15\_8 - 0.225 x15\_8 \geq 0$   
 $z + p15\_9 - 0.2165 x15\_9 \geq 0$   
 $z + p15\_10 - 0.1835 x15\_10 \geq 0$   
 $z + p15\_11 - 0.1288 x15\_11 \geq 0$   
 $z + p15\_12 - 0.1971 x15\_12 \geq 0$   
 $z + p15\_13 - 0.2645 x15\_13 \geq 0$   
 $z + p15\_14 - 0.2648 x15\_14 \geq 0$   
 $z + p15\_16 - 0.1331 x15\_16 \geq 0$   
 $z + p15\_17 - 0.2683 x15\_17 \geq 0$   
 $z + p15\_18 - 0.6009 x15\_18 \geq 0$   
 $z + p15\_19 - 1.5 x15\_19 \geq 0$

$z + p16\_1 - 1.4026 x16\_1 \geq 0$   
 $z + p16\_2 - 0.7818 x16\_2 \geq 0$   
 $z + p16\_3 - 1.1622 x16\_3 \geq 0$   
 $z + p16\_4 - 0.6274 x16\_4 \geq 0$   
 $z + p16\_5 - 0.5475 x16\_5 \geq 0$   
 $z + p16\_6 - 0.2978 x16\_6 \geq 0$   
 $z + p16\_7 - 0.2993 x16\_7 \geq 0$   
 $z + p16\_8 - 0.289 x16\_8 \geq 0$   
 $z + p16\_9 - 0.2969 x16\_9 \geq 0$   
 $z + p16\_10 - 0.2698 x16\_10 \geq 0$   
 $z + p16\_11 - 0.185 x16\_11 \geq 0$   
 $z + p16\_12 - 0.295 x16\_12 \geq 0$   
 $z + p16\_13 - 0.3625 x16\_13 \geq 0$   
 $z + p16\_14 - 0.3627 x16\_14 \geq 0$   
 $z + p16\_15 - 0.1318 x16\_15 \geq 0$   
 $z + p16\_17 - 0.1651 x16\_17 \geq 0$   
 $z + p16\_18 - 0.4977 x16\_18 \geq 0$   
 $z + p16\_19 - 1.3968 x16\_19 \geq 0$

$z + p17\_1 - 1.2766 x17\_1 \geq 0$   
 $z + p17\_2 - 0.6558 x17\_2 \geq 0$   
 $z + p17\_3 - 1.0362 x17\_3 \geq 0$   
 $z + p17\_4 - 0.5014 x17\_4 \geq 0$   
 $z + p17\_5 - 0.4214 x17\_5 \geq 0$   
 $z + p17\_6 - 0.2604 x17\_6 \geq 0$   
 $z + p17\_7 - 0.2792 x17\_7 \geq 0$   
 $z + p17\_8 - 0.3058 x17\_8 \geq 0$   
 $z + p17\_9 - 0.3249 x17\_9 \geq 0$   
 $z + p17\_10 - 0.297 x17\_10 \geq 0$   
 $z + p17\_11 - 0.2957 x17\_11 \geq 0$   
 $z + p17\_12 - 0.4257 x17\_12 \geq 0$   
 $z + p17\_13 - 0.4932 x17\_13 \geq 0$   
 $z + p17\_14 - 0.4934 x17\_14 \geq 0$   
 $z + p17\_15 - 0.2625 x17\_15 \geq 0$   
 $z + p17\_16 - 0.1589 x17\_16 \geq 0$   
 $z + p17\_18 - 0 x17\_18 \geq 0$   
 $z + p17\_19 - 1.2708 x17\_19 \geq 0$

$z + p18\_1 - 0.9388 x18\_1 \geq 0$   
 $z + p18\_2 - 0.3675 x18\_2 \geq 0$   
 $z + p18\_3 - 0.6983 x18\_3 \geq 0$   
 $z + p18\_4 - 0.5784 x18\_4 \geq 0$   
 $z + p18\_5 - 0.4984 x18\_5 \geq 0$   
 $z + p18\_6 - 0.592 x18\_6 \geq 0$   
 $z + p18\_7 - 0.6108 x18\_7 \geq 0$   
 $z + p18\_8 - 0.6374 x18\_8 \geq 0$   
 $z + p18\_9 - 0.6565 x18\_9 \geq 0$   
 $z + p18\_10 - 0.6285 x18\_10 \geq 0$   
 $z + p18\_11 - 0.6361 x18\_11 \geq 0$   
 $z + p18\_12 - 0.7619 x18\_12 \geq 0$   
 $z + p18\_13 - 0.8293 x18\_13 \geq 0$   
 $z + p18\_14 - 0.8295 x18\_14 \geq 0$   
 $z + p18\_15 - 0.5987 x18\_15 \geq 0$   
 $z + p18\_16 - 0.4951 x18\_16 \geq 0$   
 $z + p18\_17 - 0.3691 x18\_17 \geq 0$   
 $z + p18\_19 - 0.933 x18\_19 \geq 0$

$z + p19\_1 - 0.0234 x19\_1 \geq 0$   
 $z + p19\_2 - 1.0139 x19\_2 \geq 0$   
 $z + p19\_3 - 0.2527 x19\_3 \geq 0$   
 $z + p19\_4 - 1.2345 x19\_4 \geq 0$   
 $z + p19\_5 - 1.3231 x19\_5 \geq 0$   
 $z + p19\_6 - 1.5016 x19\_6 \geq 0$   
 $z + p19\_7 - 1.5204 x19\_7 \geq 0$   
 $z + p19\_8 - 1.547 x19\_8 \geq 0$   
 $z + p19\_9 - 1.5662 x19\_9 \geq 0$   
 $z + p19\_10 - 1.5383 x19\_10 \geq 0$   
 $z + p19\_11 - 1.5458 x19\_11 \geq 0$   
 $z + p19\_12 - 1.6716 x19\_12 \geq 0$   
 $z + p19\_13 - 1.739 x19\_13 \geq 0$   
 $z + p19\_14 - 1.7393 x19\_14 \geq 0$   
 $z + p19\_15 - 1.5084 x19\_15 \geq 0$   
 $z + p19\_16 - 1.4048 x19\_16 \geq 0$   
 $z + p19\_17 - 1.2788 x19\_17 \geq 0$   
 $z + p19\_18 - 0.9427 x19\_18 \geq 0$

## Příloha 6 Podmínka (4.6) pro $\delta_{ij}^c =$

### $0, 2c_{ij}$

$$\begin{aligned}z + p1\_2 - 0 x1\_2 &\geq 0 \\z + p1\_3 - 0.3428 x1\_3 &\geq 0 \\z + p1\_4 - 1.652 x1\_4 &\geq 0 \\z + p1\_5 - 1.7701 x1\_5 &\geq 0 \\z + p1\_6 - 2.0081 x1\_6 &\geq 0 \\z + p1\_7 - 2.0331 x1\_7 &\geq 0 \\z + p1\_8 - 2.0687 x1\_8 &\geq 0 \\z + p1\_9 - 2.0942 x1\_9 &\geq 0 \\z + p1\_10 - 2.0569 x1\_10 &\geq 0 \\z + p1\_11 - 2.067 x1\_11 &\geq 0 \\z + p1\_12 - 2.2347 x1\_12 &\geq 0 \\z + p1\_13 - 2.3246 x1\_13 &\geq 0 \\z + p1\_14 - 2.3249 x1\_14 &\geq 0 \\z + p1\_15 - 2.0171 x1\_15 &\geq 0 \\z + p1\_16 - 1.879 x1\_16 &\geq 0 \\z + p1\_17 - 1.7109 x1\_17 &\geq 0 \\z + p1\_18 - 1.2628 x1\_18 &\geq 0 \\z + p1\_19 - 0.0294 x1\_19 &\geq 0\end{aligned}$$

$$\begin{aligned}z + p2\_1 - 1.3572 x2\_1 &\geq 0 \\z + p2\_3 - 1.0367 x2\_3 &\geq 0 \\z + p2\_4 - 0 x2\_4 &\geq 0 \\z + p2\_5 - 0.4539 x2\_5 &\geq 0 \\z + p2\_6 - 0.9789 x2\_6 &\geq 0 \\z + p2\_7 - 1.0294 x2\_7 &\geq 0 \\z + p2\_8 - 1.0708 x2\_8 &\geq 0 \\z + p2\_9 - 1.1291 x2\_9 &\geq 0 \\z + p2\_10 - 1.111 x2\_10 &\geq 0 \\z + p2\_11 - 1.1617 x2\_11 &\geq 0 \\z + p2\_12 - 1.2758 x2\_12 &\geq 0 \\z + p2\_13 - 1.3457 x2\_13 &\geq 0 \\z + p2\_14 - 1.3621 x2\_14 &\geq 0 \\z + p2\_15 - 1.1821 x2\_15 &\geq 0 \\z + p2\_16 - 1.044 x2\_16 &\geq 0 \\z + p2\_17 - 0.8759 x2\_17 &\geq 0 \\z + p2\_18 - 0.4943 x2\_18 &\geq 0 \\z + p2\_19 - 1.3495 x2\_19 &\geq 0\end{aligned}$$

$$\begin{aligned}z + p3\_1 - 0.3477 x3\_1 &\geq 0 \\z + p3\_2 - 1.0442 x3\_2 &\geq 0 \\z + p3\_4 - 1.3384 x3\_4 &\geq 0 \\z + p3\_5 - 1.4564 x3\_5 &\geq 0 \\z + p3\_6 - 1.6945 x3\_6 &\geq 0 \\z + p3\_7 - 1.7195 x3\_7 &\geq 0 \\z + p3\_8 - 1.7551 x3\_8 &\geq 0 \\z + p3\_9 - 1.7806 x3\_9 &\geq 0 \\z + p3\_10 - 1.7433 x3\_10 &\geq 0 \\z + p3\_11 - 1.7534 x3\_11 &\geq 0 \\z + p3\_12 - 1.9211 x3\_12 &\geq 0 \\z + p3\_13 - 2.011 x3\_13 &\geq 0 \\z + p3\_14 - 2.0113 x3\_14 &\geq 0 \\z + p3\_15 - 1.7035 x3\_15 &\geq 0 \\z + p3\_16 - 1.5654 x3\_16 &\geq 0 \\z + p3\_17 - 1.3973 x3\_17 &\geq 0\end{aligned}$$

$$\begin{aligned}z + p3\_18 - 0.9492 x3\_18 &\geq 0 \\z + p3\_19 - 0.34 x3\_19 &\geq 0\end{aligned}$$

$$\begin{aligned}z + p4\_1 - 1.6528 x4\_1 &\geq 0 \\z + p4\_2 - 0.3346 x4\_2 &\geq 0 \\z + p4\_3 - 1.3322 x4\_3 &\geq 0 \\z + p4\_5 - 0 x4\_5 &\geq 0 \\z + p4\_6 - 0.7004 x4\_6 &\geq 0 \\z + p4\_7 - 0.7509 x4\_7 &\geq 0 \\z + p4\_8 - 0.7923 x4\_8 &\geq 0 \\z + p4\_9 - 0.8507 x4\_9 &\geq 0 \\z + p4\_10 - 0.8563 x4\_10 &\geq 0 \\z + p4\_11 - 0.9174 x4\_11 &\geq 0 \\z + p4\_12 - 0.9973 x4\_12 &\geq 0 \\z + p4\_13 - 1.0672 x4\_13 &\geq 0 \\z + p4\_14 - 1.0836 x4\_14 &\geq 0 \\z + p4\_15 - 0.9652 x4\_15 &\geq 0 \\z + p4\_16 - 0.8271 x4\_16 &\geq 0 \\z + p4\_17 - 0.659 x4\_17 &\geq 0 \\z + p4\_18 - 0.7609 x4\_18 &\geq 0 \\z + p4\_19 - 1.6451 x4\_19 &\geq 0\end{aligned}$$

$$\begin{aligned}z + p5\_1 - 1.7719 x5\_1 &\geq 0 \\z + p5\_2 - 0.4537 x5\_2 &\geq 0 \\z + p5\_3 - 1.4513 x5\_3 &\geq 0 \\z + p5\_4 - 0.1783 x5\_4 &\geq 0 \\z + p5\_6 - 0.5802 x5\_6 &\geq 0 \\z + p5\_7 - 0.6307 x5\_7 &\geq 0 \\z + p5\_8 - 0.6721 x5\_8 &\geq 0 \\z + p5\_9 - 0.7304 x5\_9 &\geq 0 \\z + p5\_10 - 0.7361 x5\_10 &\geq 0 \\z + p5\_11 - 0.7972 x5\_11 &\geq 0 \\z + p5\_12 - 0.8771 x5\_12 &\geq 0 \\z + p5\_13 - 0.9469 x5\_13 &\geq 0 \\z + p5\_14 - 0.9634 x5\_14 &\geq 0 \\z + p5\_15 - 0.8654 x5\_15 &\geq 0 \\z + p5\_16 - 0.7273 x5\_16 &\geq 0 \\z + p5\_17 - 0.5593 x5\_17 &\geq 0 \\z + p5\_18 - 0.6612 x5\_18 &\geq 0 \\z + p5\_19 - 1.7642 x5\_19 &\geq 0\end{aligned}$$

$$\begin{aligned}z + p6\_1 - 2.0053 x6\_1 &\geq 0 \\z + p6\_2 - 0.9864 x6\_2 &\geq 0 \\z + p6\_3 - 1.6847 x6\_3 &\geq 0 \\z + p6\_4 - 0.7109 x6\_4 &\geq 0 \\z + p6\_5 - 0.586 x6\_5 &\geq 0 \\z + p6\_7 - 0.0791 x6\_7 &\geq 0 \\z + p6\_8 - 0.1204 x6\_8 &\geq 0 \\z + p6\_9 - 0.1788 x6\_9 &\geq 0 \\z + p6\_10 - 0.1949 x6\_10 &\geq 0 \\z + p6\_11 - 0.2747 x6\_11 &\geq 0 \\z + p6\_12 - 0.3255 x6\_12 &\geq 0 \\z + p6\_13 - 0.3953 x6\_13 &\geq 0 \\z + p6\_14 - 0.4117 x6\_14 &\geq 0 \\z + p6\_15 - 0.3827 x6\_15 &\geq 0\end{aligned}$$

z + p6\_16 - 0.4109 x6\_16 >= 0  
z + p6\_17 - 0.3581 x6\_17 >= 0  
z + p6\_18 - 0.7987 x6\_18 >= 0  
z + p6\_19 - 1.9975 x6\_19 >= 0

z + p7\_1 - 2.0249 x7\_1 >= 0  
z + p7\_2 - 1.0298 x7\_2 >= 0  
z + p7\_3 - 1.7043 x7\_3 >= 0  
z + p7\_4 - 0.7544 x7\_4 >= 0  
z + p7\_5 - 0.6294 x7\_5 >= 0  
z + p7\_6 - 0.0704 x7\_6 >= 0  
z + p7\_8 - 0.0919 x7\_8 >= 0  
z + p7\_9 - 0.1503 x7\_9 >= 0  
z + p7\_10 - 0.1677 x7\_10 >= 0  
z + p7\_11 - 0.2803 x7\_11 >= 0  
z + p7\_12 - 0.2969 x7\_12 >= 0  
z + p7\_13 - 0.3668 x7\_13 >= 0  
z + p7\_14 - 0.3832 x7\_14 >= 0  
z + p7\_15 - 0.3556 x7\_15 >= 0  
z + p7\_16 - 0.4165 x7\_16 >= 0  
z + p7\_17 - 0.3777 x7\_17 >= 0  
z + p7\_18 - 0.8184 x7\_18 >= 0  
z + p7\_19 - 2.0172 x7\_19 >= 0

z + p8\_1 - 2.0639 x8\_1 >= 0  
z + p8\_2 - 1.086 x8\_2 >= 0  
z + p8\_3 - 1.7434 x8\_3 >= 0  
z + p8\_4 - 0.8106 x8\_4 >= 0  
z + p8\_5 - 0.6856 x8\_5 >= 0  
z + p8\_6 - 0.1266 x8\_6 >= 0  
z + p8\_7 - 0.096 x8\_7 >= 0  
z + p8\_9 - 0.0923 x8\_9 >= 0  
z + p8\_10 - 0.1077 x8\_10 >= 0  
z + p8\_11 - 0.2546 x8\_11 >= 0  
z + p8\_12 - 0.2609 x8\_12 >= 0  
z + p8\_13 - 0.3308 x8\_13 >= 0  
z + p8\_14 - 0.3472 x8\_14 >= 0  
z + p8\_15 - 0.3091 x8\_15 >= 0  
z + p8\_16 - 0.3978 x8\_16 >= 0  
z + p8\_17 - 0.4167 x8\_17 >= 0  
z + p8\_18 - 0.8574 x8\_18 >= 0  
z + p8\_19 - 2.0562 x8\_19 >= 0

z + p9\_1 - 2.0946 x9\_1 >= 0  
z + p9\_2 - 1.1406 x9\_2 >= 0  
z + p9\_3 - 1.774 x9\_3 >= 0  
z + p9\_4 - 0.8652 x9\_4 >= 0  
z + p9\_5 - 0.7402 x9\_5 >= 0  
z + p9\_6 - 0.1812 x9\_6 >= 0  
z + p9\_7 - 0.1506 x9\_7 >= 0  
z + p9\_8 - 0.0891 x9\_8 >= 0  
z + p9\_10 - 0.0823 x9\_10 >= 0  
z + p9\_11 - 0.2373 x9\_11 >= 0  
z + p9\_12 - 0.306 x9\_12 >= 0  
z + p9\_13 - 0.3759 x9\_13 >= 0  
z + p9\_14 - 0.3923 x9\_14 >= 0  
z + p9\_15 - 0.2918 x9\_15 >= 0

z + p9\_16 - 0.4115 x9\_16 >= 0  
z + p9\_17 - 0.4473 x9\_17 >= 0  
z + p9\_18 - 0.888 x9\_18 >= 0  
z + p9\_19 - 2.0868 x9\_19 >= 0

z + p10\_1 - 2.0617 x10\_1 >= 0  
z + p10\_2 - 1.1331 x10\_2 >= 0  
z + p10\_3 - 1.7411 x10\_3 >= 0  
z + p10\_4 - 0.8708 x10\_4 >= 0  
z + p10\_5 - 0.7459 x10\_5 >= 0  
z + p10\_6 - 0.1961 x10\_6 >= 0  
z + p10\_7 - 0.1683 x10\_7 >= 0  
z + p10\_8 - 0.1032 x10\_8 >= 0  
z + p10\_9 - 0.0864 x10\_9 >= 0  
z + p10\_11 - 0.1942 x10\_11 >= 0  
z + p10\_12 - 0.3051 x10\_12 >= 0  
z + p10\_13 - 0.375 x10\_13 >= 0  
z + p10\_14 - 0.3914 x10\_14 >= 0  
z + p10\_15 - 0.2486 x10\_15 >= 0  
z + p10\_16 - 0.3738 x10\_16 >= 0  
z + p10\_17 - 0.4144 x10\_17 >= 0  
z + p10\_18 - 0.8551 x10\_18 >= 0  
z + p10\_19 - 2.0539 x10\_19 >= 0

z + p11\_1 - 2.0598 x11\_1 >= 0  
z + p11\_2 - 1.1803 x11\_2 >= 0  
z + p11\_3 - 1.7392 x11\_3 >= 0  
z + p11\_4 - 0.9296 x11\_4 >= 0  
z + p11\_5 - 0.8046 x11\_5 >= 0  
z + p11\_6 - 0.2736 x11\_6 >= 0  
z + p11\_7 - 0.2757 x11\_7 >= 0  
z + p11\_8 - 0.2474 x11\_8 >= 0  
z + p11\_9 - 0.2361 x11\_9 >= 0  
z + p11\_10 - 0.1919 x11\_10 >= 0  
z + p11\_12 - 0.3568 x11\_12 >= 0  
z + p11\_13 - 0.4619 x11\_13 >= 0  
z + p11\_14 - 0.4622 x11\_14 >= 0  
z + p11\_15 - 0.1775 x11\_15 >= 0  
z + p11\_16 - 0.25 x11\_16 >= 0  
z + p11\_17 - 0.4011 x11\_17 >= 0  
z + p11\_18 - 0.8532 x11\_18 >= 0  
z + p11\_19 - 2.052 x11\_19 >= 0

z + p12\_1 - 2.2265 x12\_1 >= 0  
z + p12\_2 - 1.2805 x12\_2 >= 0  
z + p12\_3 - 1.9059 x12\_3 >= 0  
z + p12\_4 - 1.0051 x12\_4 >= 0  
z + p12\_5 - 0.8802 x12\_5 >= 0  
z + p12\_6 - 0.3212 x12\_6 >= 0  
z + p12\_7 - 0.2906 x12\_7 >= 0  
z + p12\_8 - 0.2588 x12\_8 >= 0  
z + p12\_9 - 0.3012 x12\_9 >= 0  
z + p12\_10 - 0.3103 x12\_10 >= 0  
z + p12\_11 - 0.356 x12\_11 >= 0  
z + p12\_13 - 0.1754 x12\_13 >= 0  
z + p12\_14 - 0.1757 x12\_14 >= 0  
z + p12\_15 - 0.2636 x12\_15 >= 0

$z + p12\_16 - 0.3962 x12\_16 \geq 0$   
 $z + p12\_17 - 0.5766 x12\_17 \geq 0$   
 $z + p12\_18 - 1.0199 x12\_18 \geq 0$   
 $z + p12\_19 - 2.2187 x12\_19 \geq 0$

$z + p13\_1 - 2.313 x13\_1 \geq 0$   
 $z + p13\_2 - 1.3489 x13\_2 \geq 0$   
 $z + p13\_3 - 1.9924 x13\_3 \geq 0$   
 $z + p13\_4 - 1.0736 x13\_4 \geq 0$   
 $z + p13\_5 - 0.9486 x13\_5 \geq 0$   
 $z + p13\_6 - 0.3896 x13\_6 \geq 0$   
 $z + p13\_7 - 0.359 x13\_7 \geq 0$   
 $z + p13\_8 - 0.3272 x13\_8 \geq 0$   
 $z + p13\_9 - 0.3697 x13\_9 \geq 0$   
 $z + p13\_10 - 0.3787 x13\_10 \geq 0$   
 $z + p13\_11 - 0.4594 x13\_11 \geq 0$   
 $z + p13\_12 - 0.1757 x13\_12 \geq 0$   
 $z + p13\_14 - 0.0417 x13\_14 \geq 0$   
 $z + p13\_15 - 0.3501 x13\_15 \geq 0$   
 $z + p13\_16 - 0.4827 x13\_16 \geq 0$   
 $z + p13\_17 - 0.6631 x13\_17 \geq 0$   
 $z + p13\_18 - 1.1064 x13\_18 \geq 0$   
 $z + p13\_19 - 2.3053 x13\_19 \geq 0$

$z + p14\_1 - 2.3141 x14\_1 \geq 0$   
 $z + p14\_2 - 1.3666 x14\_2 \geq 0$   
 $z + p14\_3 - 1.9935 x14\_3 \geq 0$   
 $z + p14\_4 - 1.0912 x14\_4 \geq 0$   
 $z + p14\_5 - 0.9662 x14\_5 \geq 0$   
 $z + p14\_6 - 0.4072 x14\_6 \geq 0$   
 $z + p14\_7 - 0.3766 x14\_7 \geq 0$   
 $z + p14\_8 - 0.3448 x14\_8 \geq 0$   
 $z + p14\_9 - 0.3873 x14\_9 \geq 0$   
 $z + p14\_10 - 0.3964 x14\_10 \geq 0$   
 $z + p14\_11 - 0.4604 x14\_11 \geq 0$   
 $z + p14\_12 - 0.1768 x14\_12 \geq 0$   
 $z + p14\_13 - 0.0411 x14\_13 \geq 0$   
 $z + p14\_15 - 0.3512 x14\_15 \geq 0$   
 $z + p14\_16 - 0.4838 x14\_16 \geq 0$   
 $z + p14\_17 - 0.6641 x14\_17 \geq 0$   
 $z + p14\_18 - 1.1076 x14\_18 \geq 0$   
 $z + p14\_19 - 2.3063 x14\_19 \geq 0$

$z + p15\_1 - 2.0078 x15\_1 \geq 0$   
 $z + p15\_2 - 1.1801 x15\_2 \geq 0$   
 $z + p15\_3 - 1.6872 x15\_3 \geq 0$   
 $z + p15\_4 - 0.9741 x15\_4 \geq 0$   
 $z + p15\_5 - 0.8676 x15\_5 \geq 0$   
 $z + p15\_6 - 0.3788 x15\_6 \geq 0$   
 $z + p15\_7 - 0.3511 x15\_7 \geq 0$   
 $z + p15\_8 - 0.3001 x15\_8 \geq 0$   
 $z + p15\_9 - 0.2887 x15\_9 \geq 0$   
 $z + p15\_10 - 0.2446 x15\_10 \geq 0$   
 $z + p15\_11 - 0.1717 x15\_11 \geq 0$   
 $z + p15\_12 - 0.2628 x15\_12 \geq 0$   
 $z + p15\_13 - 0.3527 x15\_13 \geq 0$   
 $z + p15\_14 - 0.353 x15\_14 \geq 0$

$z + p15\_16 - 0.1774 x15\_16 \geq 0$   
 $z + p15\_17 - 0.3578 x15\_17 \geq 0$   
 $z + p15\_18 - 0.8012 x15\_18 \geq 0$   
 $z + p15\_19 - 2 x15\_19 \geq 0$

$z + p16\_1 - 1.8702 x16\_1 \geq 0$   
 $z + p16\_2 - 1.0424 x16\_2 \geq 0$   
 $z + p16\_3 - 1.5496 x16\_3 \geq 0$   
 $z + p16\_4 - 0.8365 x16\_4 \geq 0$   
 $z + p16\_5 - 0.7299 x16\_5 \geq 0$   
 $z + p16\_6 - 0.397 x16\_6 \geq 0$   
 $z + p16\_7 - 0.3991 x16\_7 \geq 0$   
 $z + p16\_8 - 0.3854 x16\_8 \geq 0$   
 $z + p16\_9 - 0.3959 x16\_9 \geq 0$   
 $z + p16\_10 - 0.3597 x16\_10 \geq 0$   
 $z + p16\_11 - 0.2466 x16\_11 \geq 0$   
 $z + p16\_12 - 0.3933 x16\_12 \geq 0$   
 $z + p16\_13 - 0.4833 x16\_13 \geq 0$   
 $z + p16\_14 - 0.4836 x16\_14 \geq 0$   
 $z + p16\_15 - 0.1757 x16\_15 \geq 0$   
 $z + p16\_17 - 0.2202 x16\_17 \geq 0$   
 $z + p16\_18 - 0.6636 x16\_18 \geq 0$   
 $z + p16\_19 - 1.8624 x16\_19 \geq 0$

$z + p17\_1 - 1.7021 x17\_1 \geq 0$   
 $z + p17\_2 - 0.8744 x17\_2 \geq 0$   
 $z + p17\_3 - 1.3816 x17\_3 \geq 0$   
 $z + p17\_4 - 0.6685 x17\_4 \geq 0$   
 $z + p17\_5 - 0.5619 x17\_5 \geq 0$   
 $z + p17\_6 - 0.3472 x17\_6 \geq 0$   
 $z + p17\_7 - 0.3722 x17\_7 \geq 0$   
 $z + p17\_8 - 0.4077 x17\_8 \geq 0$   
 $z + p17\_9 - 0.4332 x17\_9 \geq 0$   
 $z + p17\_10 - 0.3959 x17\_10 \geq 0$   
 $z + p17\_11 - 0.3943 x17\_11 \geq 0$   
 $z + p17\_12 - 0.5676 x17\_12 \geq 0$   
 $z + p17\_13 - 0.6576 x17\_13 \geq 0$   
 $z + p17\_14 - 0.6578 x17\_14 \geq 0$   
 $z + p17\_15 - 0.35 x17\_15 \geq 0$   
 $z + p17\_16 - 0.2119 x17\_16 \geq 0$   
 $z + p17\_18 - 0 x17\_18 \geq 0$   
 $z + p17\_19 - 1.6944 x17\_19 \geq 0$

$z + p18\_1 - 1.2517 x18\_1 \geq 0$   
 $z + p18\_2 - 0.4901 x18\_2 \geq 0$   
 $z + p18\_3 - 0.9311 x18\_3 \geq 0$   
 $z + p18\_4 - 0.7712 x18\_4 \geq 0$   
 $z + p18\_5 - 0.6646 x18\_5 \geq 0$   
 $z + p18\_6 - 0.7893 x18\_6 \geq 0$   
 $z + p18\_7 - 0.8143 x18\_7 \geq 0$   
 $z + p18\_8 - 0.8498 x18\_8 \geq 0$   
 $z + p18\_9 - 0.8753 x18\_9 \geq 0$   
 $z + p18\_10 - 0.8381 x18\_10 \geq 0$   
 $z + p18\_11 - 0.8482 x18\_11 \geq 0$   
 $z + p18\_12 - 1.0158 x18\_12 \geq 0$   
 $z + p18\_13 - 1.1058 x18\_13 \geq 0$   
 $z + p18\_14 - 1.1061 x18\_14 \geq 0$



$z + p18_{15} - 0.7983 x18_{15} \geq 0$   
 $z + p18_{16} - 0.6602 x18_{16} \geq 0$   
 $z + p18_{17} - 0.4921 x18_{17} \geq 0$   
 $z + p18_{19} - 1.2439 x18_{19} \geq 0$

$z + p19_1 - 0.0312 x19_1 \geq 0$   
 $z + p19_2 - 1.3519 x19_2 \geq 0$   
 $z + p19_3 - 0.3369 x19_3 \geq 0$   
 $z + p19_4 - 1.6461 x19_4 \geq 0$   
 $z + p19_5 - 1.7642 x19_5 \geq 0$   
 $z + p19_6 - 2.0022 x19_6 \geq 0$   
 $z + p19_7 - 2.0272 x19_7 \geq 0$

$z + p19_8 - 2.0627 x19_8 \geq 0$   
 $z + p19_9 - 2.0882 x19_9 \geq 0$   
 $z + p19_{10} - 2.051 x19_{10} \geq 0$   
 $z + p19_{11} - 2.0611 x19_{11} \geq 0$   
 $z + p19_{12} - 2.2288 x19_{12} \geq 0$   
 $z + p19_{13} - 2.3187 x19_{13} \geq 0$   
 $z + p19_{14} - 2.319 x19_{14} \geq 0$   
 $z + p19_{15} - 2.0112 x19_{15} \geq 0$   
 $z + p19_{16} - 1.8731 x19_{16} \geq 0$   
 $z + p19_{17} - 1.705 x19_{17} \geq 0$   
 $z + p19_{18} - 1.2569 x19_{18} \geq 0$

## Příloha 7 Výstup z Gurobi pro $\delta_{ij}^c = 10\% \Gamma = 18$

Academic license - for non-commercial use only

Set parameter timelimit to value 50

Gurobi Optimizer version 8.1.0 build v8.1.0rc1 (mac64)

Copyright (c) 2018, Gurobi Optimization, LLC

Read LP format model from file /Users/nehj/Documents/škola/DP/prakticka/TSP\_robust/TSP\_Robust  
new/10/spravny/10\_18.lp

Reading time = 0.01 seconds

: 1086 rows, 705 columns, 3749 nonzeros

Optimize a model with 1086 rows, 705 columns and 3749 nonzeros

Variable types: 363 continuous, 342 integer (342 binary)

Coefficient statistics:

Matrix range [1e-02, 2e+01]

Objective range [1e+00, 1e+00]

Bounds range [1e+00, 1e+00]

RHS range [1e+00, 2e+01]

Presolve removed 382 rows and 2 columns

Presolve time: 0.03s

Presolved: 704 rows, 703 columns, 5333 nonzeros

Variable types: 361 continuous, 342 integer (342 binary)

Root relaxation: objective 2.008097e+01, 98 iterations, 0.02 seconds

Nodes	Current Node	Objective	Bounds	Work
Expl Unexpl	Obj	Depth	IntInf	Incumbent BestBd Gap   It/Node Time
0	0	20.08097	0 33	- 20.08097 - - 0s
H	0	0	65.8786000	20.08097 69.5% - 0s
H	0	0	61.2454000	20.08097 67.2% - 0s
H	0	0	46.4069000	20.08097 56.7% - 0s
0	0	21.97540	0 40	46.40690 21.97540 52.6% - 0s
0	0	22.38796	0 48	46.40690 22.38796 51.8% - 0s
0	0	22.41170	0 46	46.40690 22.41170 51.7% - 0s
0	0	22.44715	0 46	46.40690 22.44715 51.6% - 0s
0	0	22.44722	0 46	46.40690 22.44722 51.6% - 0s
0	0	22.48607	0 48	46.40690 22.48607 51.5% - 0s
0	0	22.48609	0 48	46.40690 22.48609 51.5% - 0s
0	0	22.50298	0 49	46.40690 22.50298 51.5% - 0s
0	0	22.50479	0 49	46.40690 22.50479 51.5% - 0s
0	0	22.52328	0 49	46.40690 22.52328 51.5% - 0s
0	0	22.52430	0 48	46.40690 22.52430 51.5% - 0s
0	0	22.55729	0 48	46.40690 22.55729 51.4% - 0s
0	0	22.55736	0 48	46.40690 22.55736 51.4% - 0s
0	0	22.56828	0 48	46.40690 22.56828 51.4% - 0s
0	0	22.56828	0 48	46.40690 22.56828 51.4% - 0s
0	0	22.58962	0 49	46.40690 22.58962 51.3% - 0s
0	0	22.59395	0 48	46.40690 22.59395 51.3% - 0s
0	0	22.59402	0 48	46.40690 22.59402 51.3% - 0s
0	0	22.59898	0 48	46.40690 22.59898 51.3% - 0s
0	0	22.59924	0 49	46.40690 22.59924 51.3% - 0s
0	0	22.63539	0 51	46.40690 22.63539 51.2% - 0s
0	0	22.63588	0 51	46.40690 22.63588 51.2% - 0s
0	0	22.64385	0 51	46.40690 22.64385 51.2% - 0s
0	0	22.64425	0 50	46.40690 22.64425 51.2% - 0s

```

0 0 22.64459 0 51 46.40690 22.64459 51.2% - 0s
0 0 22.64528 0 50 46.40690 22.64528 51.2% - 0s
0 0 22.64605 0 50 46.40690 22.64605 51.2% - 0s
0 0 22.64605 0 50 46.40690 22.64605 51.2% - 0s
0 2 22.64605 0 50 46.40690 22.64605 51.2% - 0s
H 183 178          44.7819000 22.88462 48.9% 11.8 0s
* 230 214        111  43.3563000 22.98361 47.0% 12.2 0s
H 443 362          43.2584000 23.09593 46.6% 13.1 0s
H 595 509          41.8416000 23.19167 44.6% 12.9 0s
H 880 676          40.3632000 24.78713 38.6% 17.4 2s
* 1106 766        61  36.6384000 24.78713 32.3% 18.8 2s
H 1556 900         36.6296000 24.80454 32.3% 19.9 3s
* 2145 960        41  33.8895000 25.09677 25.9% 19.7 3s
* 2305 945        56  33.5122000 25.10346 25.1% 19.7 3s
* 2306 945        56  33.5113000 25.10346 25.1% 19.7 3s
5098 2801 27.02475 44 15 33.51130 25.36797 24.3% 17.1 5s
* 6826 3877       35  33.5023000 25.46374 24.0% 16.2 6s
* 6828 3875       35  33.4904000 25.46374 24.0% 16.2 6s
10573 6111 30.50990 40 37 33.49040 25.56472 23.7% 16.0 10s
19649 8604 26.41780 51 12 33.49040 25.61103 23.5% 15.4 15s
H19653 8300       33.4904000 25.61103 23.5% 15.4 15s
21024 8663 27.26769 56 69 33.49040 25.63265 23.5% 15.4 20s
21065 8690 30.22410 63 81 33.49040 25.63265 23.5% 15.3 25s
21111 8721 26.02958 49 65 33.49040 25.63265 23.5% 15.3 30s
21148 8746 31.30707 63 67 33.49040 25.63265 23.5% 15.3 35s
21200 8783 25.63265 42 51 33.49040 25.63265 23.5% 15.7 40s
24374 10156 28.28729 76 21 33.49040 25.63265 23.5% 16.5 45s
30319 12693 28.68016 81 34 33.49040 25.68280 23.3% 16.9 50s

```

Cutting planes:

```

Learned: 2
Gomory: 22
Cover: 3
Implied bound: 10
Clique: 1
MIR: 160
StrongCG: 1
Flow cover: 401
Inf proof: 2
Zero half: 1

```

Explored 30661 nodes (521846 simplex iterations) in 50.01 seconds  
Thread count was 4 (of 4 available processors)

Solution count 10: 33.4904 33.4904 33.5023 ... 41.8416

Time limit reached

Best objective 3.349039997251e+01, best bound 2.568280397199e+01, gap 23.3129%

Wrote result file '/Users/nehj/Documents/škola/DP/prakticka/TSP\_robust/TSP\_Robust new/10/spravny/1018.sol'

## Příloha 8 Výstup z Gurobi pro $\delta_{ij}^c = 10\% \Gamma = 3$

Academic license - for non-commercial use only

Set parameter timelimit to value 50

Gurobi Optimizer version 8.1.0 build v8.1.0rc1 (mac64)

Copyright (c) 2018, Gurobi Optimization, LLC

Read LP format model from file /Users/nehj/Documents/škola/DP/prakticka/TSP\_robust/TSP\_Robust  
new/10/spravny/10\_18.lp

Reading time = 0.01 seconds

: 1086 rows, 705 columns, 3749 nonzeros

Optimize a model with 1086 rows, 705 columns and 3749 nonzeros

Variable types: 363 continuous, 342 integer (342 binary)

Coefficient statistics:

Matrix range [1e-02, 4e+01]

Objective range [1e+00, 1e+00]

Bounds range [1e+00, 1e+00]

RHS range [1e+00, 2e+01]

Presolve removed 382 rows and 2 columns

Presolve time: 0.04s

Presolved: 704 rows, 703 columns, 5333 nonzeros

Variable types: 361 continuous, 342 integer (342 binary)

Root relaxation: objective 2.033062e+01, 131 iterations, 0.02 seconds

Nodes	Current Node	Objective	Bounds	Work
Expl Unexpl	Obj	Depth	IntInf	Incumbent BestBd Gap   It/Node Time
0	0	20.33062	0 44	- 20.33062 - - 0s
H 0	0		67.1528000	20.33062 69.7% - 0s
H 0	0		50.1578000	20.33062 59.5% - 0s
0	0	22.58469	0 46	50.15780 22.58469 55.0% - 0s
0	0	22.58469	0 46	50.15780 22.58469 55.0% - 0s
0	0	22.94259	0 57	50.15780 22.94259 54.3% - 0s
0	0	23.00404	0 54	50.15780 23.00404 54.1% - 0s
0	0	23.00404	0 54	50.15780 23.00404 54.1% - 0s
0	0	23.00843	0 54	50.15780 23.00843 54.1% - 0s
0	0	23.00863	0 54	50.15780 23.00863 54.1% - 0s
0	0	23.01324	0 53	50.15780 23.01324 54.1% - 0s
0	0	23.01324	0 53	50.15780 23.01324 54.1% - 0s
0	0	23.01497	0 52	50.15780 23.01497 54.1% - 0s
0	0	23.01497	0 52	50.15780 23.01497 54.1% - 0s
0	2	23.01497	0 52	50.15780 23.01497 54.1% - 0s
H 88	85		44.0594000	23.31950 47.1% 20.1 0s
H 111	103		40.3887000	23.31950 42.3% 19.1 0s
*	119	103	57	39.8299000 23.31950 41.5% 18.6 0s
*	128	101	61	33.6171000 23.32140 30.6% 18.8 0s
H 882	619		33.5896000	24.02389 28.5% 22.5 2s
H 1478	836		33.5060000	25.11749 25.0% 22.8 2s
5671	3404	28.86307	40 15	33.50600 25.63532 23.5% 18.4 5s
18369	10239	30.74118	43 8	33.50600 25.94520 22.6% 15.3 10s
20711	11490	26.35282	30 52	33.50600 25.97869 22.5% 15.1 16s
20754	11519	27.04685	31 76	33.50600 25.97869 22.5% 15.0 20s
21516	11817	26.75355	39 26	33.50600 25.97869 22.5% 15.4 25s
30347	15191	26.41254	39 6	33.50600 25.97869 22.5% 14.9 30s
41645	18776	26.83337	37 13	33.50600 25.97869 22.5% 14.5 35s

```

H48566 20280          33.5059999  25.97869  22.5%  14.4  38s
52661 21411  26.87660  55  25  33.50600  26.00676  22.4%  14.3  40s
62915 27365  29.24033  49  9  33.50600  26.07986  22.2%  14.3  45s
73297 33342  28.78665  51  12  33.50600  26.14092  22.0%  14.1  50s

```

Cutting planes:

```

Learned: 5
Gomory: 27
Implied bound: 9
Clique: 2
MIR: 22
Flow cover: 221
Inf proof: 16
Zero half: 8

```

Explored 73718 nodes (1041974 simplex iterations) in 50.01 seconds  
Thread count was 4 (of 4 available processors)

Solution count 9: 33.506 33.506 33.5896 ... 67.1528

Time limit reached

Best objective 3.350599990275e+01, best bound 2.614302665259e+01, gap 21.9751%

## **Příloha 9 Výstup z Gurobi pro $\delta_{ij}^c = 10\%$ $\Gamma=56$**

Academic license - for non-commercial use only

Set parameter timelimit to value 50

Gurobi Optimizer version 8.1.0 build v8.1.0rc1 (mac64)

Copyright (c) 2018, Gurobi Optimization, LLC

Read LP format model from file /Users/nehj/Documents/škola/DP/prakticka/TSP\_robust/TSP\_Robust  
new/10/spravny/10\_18.lp

Reading time = 0.02 seconds

: 1086 rows, 705 columns, 3749 nonzeros

Optimize a model with 1086 rows, 705 columns and 3749 nonzeros

Variable types: 363 continuous, 342 integer (342 binary)

Coefficient statistics:

Matrix range [1e-02, 5e+01]

Objective range [1e+00, 1e+00]

Bounds range [1e+00, 1e+00]

RHS range [1e+00, 2e+01]

Presolve removed 382 rows and 2 columns

Presolve time: 0.05s

Presolved: 704 rows, 703 columns, 5333 nonzeros

Variable types: 361 continuous, 342 integer (342 binary)

Root relaxation: objective 2.035560e+01, 123 iterations, 0.02 seconds

Nodes	Current Node	Objective	Bounds	Work					
Expl	Unexpl	Obj	Depth	IntInf	Incumbent	BestBd	Gap	It/Node	Time

0	0	20.35560	0	30	-	20.35560	-	-	0s
H	0	0			70.6310000	20.35560	71.2%	-	0s
H	0	0			51.2314000	20.35560	60.3%	-	0s
0	0	22.65815	0	24	51.23140	22.65815	55.8%	-	0s
0	0	22.66689	0	24	51.23140	22.66689	55.8%	-	0s

```

0 0 22.96542 0 30 51.23140 22.96542 55.2% - 0s
H 0 0 48.0403000 22.96542 52.2% - 0s
0 0 23.12235 0 22 48.04030 23.12235 51.9% - 0s
0 0 23.12429 0 27 48.04030 23.12429 51.9% - 0s
0 0 23.12530 0 22 48.04030 23.12530 51.9% - 0s
0 0 23.12530 0 22 48.04030 23.12530 51.9% - 0s
0 0 23.12695 0 27 48.04030 23.12695 51.9% - 0s
0 0 23.12695 0 27 48.04030 23.12695 51.9% - 0s
0 0 23.12695 0 27 48.04030 23.12695 51.9% - 0s
0 0 23.12695 0 27 48.04030 23.12695 51.9% - 0s
0 2 23.12695 0 27 48.04030 23.12695 51.9% - 0s
H 69 68 45.5994000 23.34859 48.8% 23.5 0s
H 345 218 33.6171000 23.75940 29.3% 17.6 0s
H 802 478 33.5896000 25.33876 24.6% 17.6 2s
* 1727 819 58 33.5511000 25.51497 24.0% 17.3 3s
* 1728 795 57 33.5401000 25.51497 23.9% 17.3 3s
H 2219 1066 33.5400999 25.53760 23.9% 16.0 3s
5017 3024 32.93107 40 6 33.54010 25.66931 23.5% 14.0 5s
H12330 7947 33.5400999 25.82396 23.0% 12.6 7s
H16176 10461 33.5400997 25.88461 22.8% 12.4 9s
17903 11480 33.46379 41 15 33.54010 25.90355 22.8% 12.4 10s
H21021 13490 33.5269000 25.94426 22.6% 12.3 16s
21054 13512 26.16853 33 75 33.52690 25.94426 22.6% 12.3 20s
26574 15791 26.21127 38 25 33.52690 25.94426 22.6% 12.5 25s
38122 19814 cutoff 62 33.52690 25.94426 22.6% 12.7 30s
50027 22956 infeasible 60 33.52690 26.02190 22.4% 12.9 35s
62498 26102 28.04938 45 9 33.52690 26.12216 22.1% 13.1 40s
75646 33415 30.68677 59 12 33.52690 26.19916 21.9% 13.1 45s
89874 41161 infeasible 46 33.52690 26.27715 21.6% 13.2 50s

```

Cutting planes:

```

Learned: 6
Gomory: 14
Cover: 25
Implied bound: 10
Clique: 4
MIR: 12
Flow cover: 243
Inf proof: 8
Zero half: 6

```

Explored 90219 nodes (1190105 simplex iterations) in 50.00 seconds  
Thread count was 4 (of 4 available processors)

Solution count 10: 33.5269 33.5401 33.5401 ... 48.0403

Time limit reached

Best objective 3.352690000000e+01, best bound 2.627845033581e+01, gap 21.6198%

## Příloha 10 Výstup z Gurobi $\delta_{ij}^c = 15\%$ $\Gamma z = 18$

Academic license - for non-commercial use only  
Set parameter timelimit to value 40

Gurobi Optimizer version 8.1.0 build v8.1.0rc1 (mac64)  
Copyright (c) 2018, Gurobi Optimization, LLC

Read LP format model from file /Users/nehj/Documents/škola/DP/prakticka/TSP\_robust/TSP\_Robust  
new/15/10\_18.lp

Reading time = 0.01 seconds

: 1086 rows, 705 columns, 3748 nonzeros

Optimize a model with 1086 rows, 705 columns and 3748 nonzeros

Variable types: 363 continuous, 342 integer (342 binary)

Coefficient statistics:

Matrix range [2e-02, 2e+01]

Objective range [1e+00, 1e+00]

Bounds range [1e+00, 1e+00]

RHS range [1e+00, 2e+01]

Presolve removed 383 rows and 3 columns

Presolve time: 0.01s

Presolved: 703 rows, 702 columns, 5330 nonzeros

Variable types: 360 continuous, 342 integer (342 binary)

Root relaxation: objective 2.085546e+01, 100 iterations, 0.00 seconds

Nodes	Current Node	Objective Bounds	Work
Expl Unexpl	Obj Depth IntInf	Incumbent BestBd Gap	It/Node Time

0	0	20.85546	0	33	-	20.85546	-	-	0s
H	0	0	68.8663000	20.85546	69.7%	-	-	-	0s
H	0	0	64.0220000	20.85546	67.4%	-	-	-	0s
H	0	0	53.0224000	20.85546	60.7%	-	-	-	0s
0	0	22.53465	0	43	53.02240	22.53465	57.5%	-	0s
H	0	0	49.6135000	22.53465	54.6%	-	-	-	0s
0	0	22.53800	0	40	49.61350	22.53800	54.6%	-	0s
0	0	22.89314	0	45	49.61350	22.89314	53.9%	-	0s
0	0	22.90890	0	43	49.61350	22.90890	53.8%	-	0s
0	0	22.96181	0	43	49.61350	22.96181	53.7%	-	0s
H	0	0	41.6663000	22.96181	44.9%	-	-	-	0s
0	0	22.96471	0	40	41.66630	22.96471	44.9%	-	0s
0	0	22.99937	0	44	41.66630	22.99937	44.8%	-	0s
0	0	23.05990	0	44	41.66630	23.05990	44.7%	-	0s
0	0	23.05990	0	44	41.66630	23.05990	44.7%	-	0s
0	0	23.09556	0	44	41.66630	23.09556	44.6%	-	0s
0	0	23.09556	0	44	41.66630	23.09556	44.6%	-	0s
0	0	23.12684	0	44	41.66630	23.12684	44.5%	-	0s
0	0	23.17263	0	42	41.66630	23.17263	44.4%	-	0s
0	0	23.17263	0	42	41.66630	23.17263	44.4%	-	0s
0	0	23.17263	0	42	41.66630	23.17263	44.4%	-	0s
0	0	23.17263	0	42	41.66630	23.17263	44.4%	-	0s
0	2	23.17263	0	42	41.66630	23.17263	44.4%	-	0s
H	211	181	41.5946259	23.69600	43.0%	14.3	0s		
H	220	187	41.5792000	23.69600	43.0%	14.2	0s		
*	517	416	58	39.7289000	23.86975	39.9%	14.1	0s	
*	519	416	57	39.7275000	23.86975	39.9%	14.1	0s	
H	747	569	38.9409000	24.01974	38.3%	14.3	0s		
*	1085	721	49	37.2412000	24.01974	35.5%	17.7	2s	

H 1402	796			37.1320000	24.15192	35.0%	18.3	2s	
H 1447	794			37.0286000	24.15192	34.8%	18.5	2s	
* 4017	2161	38		35.7981000	25.83043	27.8%	17.6	4s	
* 4018	2161	38		35.7967000	25.83043	27.8%	17.6	4s	
H 4446	2299			35.1874000	25.90542	26.4%	17.5	4s	
5011	2705	27.50979	41	9	35.18740	26.04586	26.0%	17.3	5s
H 5049	2664			35.0411000	26.04586	25.7%	17.3	5s	
15415	8703	26.91629	25	18	35.04110	26.55258	24.2%	14.6	10s
20771	11646	29.63551	32	42	35.04110	26.64537	24.0%	14.2	18s
20803	11667	28.09187	34	72	35.04110	26.64537	24.0%	14.2	20s
20854	11701	27.53405	27	77	35.04110	26.64537	24.0%	14.1	25s
20898	11731	27.80601	35	80	35.04110	26.64537	24.0%	14.1	30s
H20914	11154			35.0275000	26.64537	23.9%	14.5	33s	
20920	11160	26.64537	26	54	35.02750	26.64537	23.9%	14.5	35s
*21249	10757	67		34.7632000	26.64537	23.4%	15.0	36s	
*21250	10224	68		34.7515000	26.64537	23.3%	15.0	36s	
H21582	9821			34.7445000	26.64537	23.3%	15.2	36s	
*22790	9768	76		34.7444000	26.64537	23.3%	15.5	38s	
23439	10006	infeasible	67		34.74440	26.64537	23.3%	15.7	40s

Cutting planes:

Learned: 1

Gomory: 11

Implied bound: 10

Clique: 1

MIR: 106

Flow cover: 197

Inf proof: 3

Zero half: 5

Explored 23470 nodes (369741 simplex iterations) in 40.01 seconds

Thread count was 4 (of 4 available processors)

Solution count 10: 34.7444 34.7445 34.7515 ... 37.0286

Time limit reached

Best objective 3.474440000000e+01, best bound 2.664536983686e+01, gap 23.3103%



## Příloha 11 Výstup z Gurobi pro $\delta_{ij}^c = 15\%$ , $\Gamma = 36$

Academic license - for non-commercial use only  
Set parameter timelimit to value 40

Gurobi Optimizer version 8.1.0 build v8.1.0rc1 (mac64)  
Copyright (c) 2018, Gurobi Optimization, LLC

Read LP format model from file /Users/nehj/Documents/škola/DP/prakticka/TSP\_robust/TSP\_Robust  
new/15/10\_18.lp

Reading time = 0.00 seconds

: 1086 rows, 705 columns, 3748 nonzeros

Optimize a model with 1086 rows, 705 columns and 3748 nonzeros

Variable types: 363 continuous, 342 integer (342 binary)

Coefficient statistics:

Matrix range [2e-02, 4e+01]

Objective range [1e+00, 1e+00]

Bounds range [1e+00, 1e+00]

RHS range [1e+00, 2e+01]

Presolve removed 383 rows and 3 columns

Presolve time: 0.01s

Presolved: 703 rows, 702 columns, 5330 nonzeros

Variable types: 360 continuous, 342 integer (342 binary)

Root relaxation: objective 2.122518e+01, 139 iterations, 0.00 seconds

Nodes	Current Node	Objective	Bounds	Work		
Expl Unexpl	Obj	Depth	IntInf	Incumbent BestBd Gap	It/Node	Time

0	0	21.22518	0	46	-	21.22518	-	-	0s	
H	0	0		70.2050000	21.22518	69.8%	-	-	0s	
H	0	0		52.3661000	21.22518	59.5%	-	-	0s	
	0	0	23.38362	0	52	52.36610	23.38362	55.3%	-	0s
	0	0	23.40059	0	46	52.36610	23.40059	55.3%	-	0s
	0	0	23.73216	0	49	52.36610	23.73216	54.7%	-	0s
H	0	0		46.5425000	23.73216	49.0%	-	-	0s	
	0	0	23.73216	0	49	46.54250	23.73216	49.0%	-	0s
	0	0	23.74616	0	46	46.54250	23.74616	49.0%	-	0s
	0	0	23.74823	0	44	46.54250	23.74823	49.0%	-	0s
H	0	0		45.9663000	23.74823	48.3%	-	-	0s	
	0	0	23.74823	0	44	45.96630	23.74823	48.3%	-	0s
	0	0	23.75885	0	44	45.96630	23.75885	48.3%	-	0s
	0	0	23.75885	0	44	45.96630	23.75885	48.3%	-	0s
	0	0	23.77050	0	46	45.96630	23.77050	48.3%	-	0s
	0	0	23.77050	0	46	45.96630	23.77050	48.3%	-	0s
	0	0	23.77311	0	44	45.96630	23.77311	48.3%	-	0s
	0	0	23.77370	0	46	45.96630	23.77370	48.3%	-	0s
	0	0	23.77494	0	46	45.96630	23.77494	48.3%	-	0s
	0	0	23.77534	0	44	45.96630	23.77534	48.3%	-	0s
	0	0	23.78182	0	44	45.96630	23.78182	48.3%	-	0s
	0	0	23.78182	0	44	45.96630	23.78182	48.3%	-	0s
	0	0	23.82524	0	48	45.96630	23.82524	48.2%	-	0s
	0	0	23.84132	0	53	45.96630	23.84132	48.1%	-	0s
	0	0	23.84172	0	51	45.96630	23.84172	48.1%	-	0s
	0	0	23.84285	0	51	45.96630	23.84285	48.1%	-	0s
	0	0	23.84299	0	52	45.96630	23.84299	48.1%	-	0s
	0	0	24.13049	0	55	45.96630	24.13049	47.5%	-	0s
	0	0	24.13759	0	60	45.96630	24.13759	47.5%	-	0s

```

0 0 24.13759 0 60 45.96630 24.13759 47.5% - 0s
0 0 24.14368 0 59 45.96630 24.14368 47.5% - 0s
0 0 24.14430 0 58 45.96630 24.14430 47.5% - 0s
0 0 24.14657 0 57 45.96630 24.14657 47.5% - 0s
0 0 24.14657 0 57 45.96630 24.14657 47.5% - 0s
0 0 24.15057 0 56 45.96630 24.15057 47.5% - 0s
0 0 24.15057 0 56 45.96630 24.15057 47.5% - 0s
0 2 24.15057 0 56 45.96630 24.15057 47.5% - 0s
H 8 9 44.8322000 25.10328 44.0% 70.6 0s
H 9 11 43.5730000 25.10328 42.4% 73.6 0s
H 100 94 40.6971000 25.10328 38.3% 29.8 0s
H 136 109 40.5313000 25.18279 37.9% 25.8 0s
H 481 398 40.4060000 25.70076 36.4% 24.9 0s
* 532 428 48 40.3236000 25.70076 36.3% 24.3 0s
* 537 427 48 40.3120000 25.70076 36.2% 24.1 0s
H 743 524 37.0518000 26.06599 29.6% 22.5 1s
5195 3024 34.28749 45 23 37.05180 26.58551 28.2% 16.9 5s
H 5197 3025 37.0345000 26.58551 28.2% 16.9 5s
* 8562 5075 45 37.0255000 26.71738 27.8% 15.6 7s
* 8565 5073 45 37.0138000 26.71738 27.8% 15.6 7s
H12383 7072 35.4267000 26.80710 24.3% 14.8 8s
15766 8855 cutoff 26 35.42670 26.86987 24.2% 14.3 10s
H19184 10356 34.8606000 26.92031 22.8% 14.1 11s
H19413 10435 34.7734000 26.92120 22.6% 14.0 11s
H20747 11115 34.7422000 26.94126 22.5% 13.9 18s
20767 11129 30.56840 30 84 34.74220 26.94126 22.5% 13.9 20s
20811 11158 32.88698 44 84 34.74220 26.94126 22.5% 13.9 25s
H20872 10638 34.6573000 26.94126 22.3% 14.2 29s
20876 10640 26.94126 28 17 34.65730 26.94126 22.3% 14.2 30s
29047 13199 27.47393 45 19 34.65730 26.94126 22.3% 14.7 35s
H33935 14202 34.6572999 26.94126 22.3% 14.9 37s
39439 15957 28.96013 48 4 34.65730 26.94126 22.3% 15.0 40s

```

Cutting planes:

```

Learned: 4
Gomory: 27
Implied bound: 14
Clique: 1
MIR: 52
Flow cover: 186
Inf proof: 10
Zero half: 9

```

Explored 39819 nodes (595813 simplex iterations) in 40.01 seconds  
Thread count was 4 (of 4 available processors)

Solution count 10: 34.6573 34.6573 34.7422 ... 37.0518

Time limit reached

Best objective 3.465729992476e+01, best bound 2.694126274510e+01, gap 22.2638%

Wrote result file '/Users/nehj/Documents/škola/DP/prakticka/TSP\_robust/TSP\_Robust new/15/1536.sol'

## Příloha 12 Matematický model TSP s časovými okny

Minimize

7.468 x1\_2 + 1.886 x1\_3 + 9.086 x1\_4 + 9.735 x1\_5 + 11.045 x1\_6 + 11.182 x1\_7 + 11.378 x1\_8 + 11.518 x1\_9 + 11.313 x1\_10 + 11.369 x1\_11 + 12.291 x1\_12 + 12.785 x1\_13 + 12.787 x1\_14 + 11.094 x1\_15 + 10.335 x1\_16 + 9.41 x1\_17 + 6.946 x1\_18 + 0.162 x1\_19 + 7.465 x2\_1 + 5.702 x2\_3 + 1.847 x2\_4 + 2.497 x2\_5 + 5.384 x2\_6 + 5.662 x2\_7 + 5.889 x2\_8 + 6.21 x2\_9 + 6.111 x2\_10 + 6.389 x2\_11 + 7.017 x2\_12 + 7.401 x2\_13 + 7.491 x2\_14 + 6.502 x2\_15 + 5.742 x2\_16 + 4.818 x2\_17 + 2.719 x2\_18 + 7.422 x2\_19 + 5.743 x3\_2 + 1.912 x3\_1 + 7.361 x3\_4 + 8.01 x3\_5 + 9.32 x3\_6 + 9.457 x3\_7 + 9.653 x3\_8 + 9.793 x3\_9 + 9.588 x3\_10 + 9.644 x3\_11 + 10.566 x3\_12 + 11.061 x3\_13 + 11.062 x3\_14 + 9.369 x3\_15 + 8.61 x3\_16 + 7.685 x3\_17 + 5.221 x3\_18 + 1.87 x3\_19 + 1.84 x4\_2 + 7.327 x4\_3 + 9.09 x4\_1 + 0.965 x4\_5 + 3.852 x4\_6 + 4.13 x4\_7 + 4.358 x4\_8 + 4.679 x4\_9 + 4.71 x4\_10 + 5.046 x4\_11 + 5.485 x4\_12 + 5.87 x4\_13 + 5.96 x4\_14 + 5.308 x4\_15 + 4.549 x4\_16 + 3.625 x4\_17 + 4.185 x4\_18 + 9.048 x4\_19 + 2.495 x5\_2 + 7.982 x5\_3 + 0.981 x5\_4 + 9.745 x5\_1 + 3.191 x5\_6 + 3.469 x5\_7 + 3.696 x5\_8 + 4.017 x5\_9 + 4.048 x5\_10 + 4.384 x5\_11 + 4.824 x5\_12 + 5.208 x5\_13 + 5.299 x5\_14 + 4.76 x5\_15 + 4 x5\_16 + 3.076 x5\_17 + 3.636 x5\_18 + 9.703 x5\_19 + 5.425 x6\_2 + 9.266 x6\_3 + 3.91 x6\_4 + 3.223 x6\_5 + 11.029 x6\_1 + 0.435 x6\_7 + 0.662 x6\_8 + 0.983 x6\_9 + 1.072 x6\_10 + 1.511 x6\_11 + 1.79 x6\_12 + 2.174 x6\_13 + 2.264 x6\_14 + 2.105 x6\_15 + 2.26 x6\_16 + 1.969 x6\_17 + 4.393 x6\_18 + 10.986 x6\_19 + 5.664 x7\_2 + 9.374 x7\_3 + 4.149 x7\_4 + 3.462 x7\_5 + 0.387 x7\_6 + 11.137 x7\_1 + 0.505 x7\_8 + 0.827 x7\_9 + 0.922 x7\_10 + 1.542 x7\_11 + 1.633 x7\_12 + 2.018 x7\_13 + 2.108 x7\_14 + 1.956 x7\_15 + 2.291 x7\_16 + 2.077 x7\_17 + 4.501 x7\_18 + 11.094 x7\_19 + 5.973 x8\_2 + 9.589 x8\_3 + 4.458 x8\_4 + 3.771 x8\_5 + 0.696 x8\_6 + 0.528 x8\_7 + 11.352 x8\_1 + 0.508 x8\_9 + 0.592 x8\_10 + 1.4 x8\_11 + 1.435 x8\_12 + 1.819 x8\_13 + 1.91 x8\_14 + 1.7 x8\_15 + 2.188 x8\_16 + 2.292 x8\_17 + 4.716 x8\_18 + 11.309 x8\_19 + 6.273 x9\_2 + 9.757 x9\_3 + 4.758 x9\_4 + 4.071 x9\_5 + 0.996 x9\_6 + 0.828 x9\_7 + 0.49 x9\_8 + 11.52 x9\_1 + 0.453 x9\_10 + 1.305 x9\_11 + 1.683 x9\_12 + 2.067 x9\_13 + 2.158 x9\_14 + 1.605 x9\_15 + 2.263 x9\_16 + 2.46 x9\_17 + 4.884 x9\_18 + 11.478 x9\_19 + 6.232 x10\_2 + 9.576 x10\_3 + 4.79 x10\_4 + 4.102 x10\_5 + 1.079 x10\_6 + 0.926 x10\_7 + 0.568 x10\_8 + 0.475 x10\_9 + 11.339 x10\_1 + 1.068 x10\_11 + 1.678 x10\_12 + 2.063 x10\_13 + 2.153 x10\_14 + 1.367 x10\_15 + 2.056 x10\_16 + 2.279 x10\_17 + 4.703 x10\_18 + 11.297 x10\_19 + 6.492 x11\_2 + 9.565 x11\_3 + 5.113 x11\_4 + 4.425 x11\_5 + 1.505 x11\_6 + 1.516 x11\_7 + 1.361 x11\_8 + 1.299 x11\_9 + 1.056 x11\_10 + 11.329 x11\_1 + 1.962 x11\_12 + 2.541 x11\_13 + 2.542 x11\_14 + 0.976 x11\_15 + 1.375 x11\_16 + 2.206 x11\_17 + 4.693 x11\_18 + 11.286 x11\_19 + 7.043 x12\_2 + 10.482 x12\_3 + 5.528 x12\_4 + 4.841 x12\_5 + 1.766 x12\_6 + 1.598 x12\_7 + 1.423 x12\_8 + 1.657 x12\_9 + 1.707 x12\_10 + 1.958 x12\_11 + 12.246 x12\_12 + 0.965 x12\_13 + 0.966 x12\_14 + 1.45 x12\_15 + 2.179 x12\_16 + 3.171 x12\_17 + 5.61 x12\_18 + 12.203 x12\_19 + 7.419 x13\_2 + 10.958 x13\_3 + 5.905 x13\_4 + 5.217 x13\_5 + 2.143 x13\_6 + 1.975 x13\_7 + 1.8 x13\_8 + 2.033 x13\_9 + 2.083 x13\_10 + 2.527 x13\_11 + 0.966 x13\_12 + 12.722 x13\_1 + 0.229 x13\_14 + 1.926 x13\_15 + 2.655 x13\_16 + 3.647 x13\_17 + 6.085 x13\_18 + 12.679 x13\_19 + 7.516 x14\_2 + 10.964 x14\_3 + 6.001 x14\_4 + 5.314 x14\_5 + 2.24 x14\_6 + 2.071 x14\_7 + 1.897 x14\_8 + 2.13 x14\_9 + 2.18 x14\_10 + 2.532 x14\_11 + 0.973 x14\_12 + 0.226 x14\_13 + 12.728 x14\_1 + 1.931 x14\_15 + 2.661 x14\_16 + 3.653 x14\_17 + 6.092 x14\_18 + 12.685 x14\_19 + 6.49 x15\_2 + 9.279 x15\_3 + 5.358 x15\_4 + 4.772 x15\_5 + 2.084 x15\_6 + 1.931 x15\_7 + 1.65 x15\_8 + 1.588 x15\_9 + 1.345 x15\_10 + 0.944 x15\_11 + 1.445 x15\_12 + 1.94 x15\_13 + 1.942 x15\_14 + 11.043 x15\_1 + 0.976 x15\_16 + 1.968 x15\_17 + 4.407 x15\_18 + 11 x15\_19 + 5.733 x16\_2 + 8.523 x16\_3 + 4.601 x16\_4 + 4.015 x16\_5 + 2.184 x16\_6 + 2.195 x16\_7 + 2.12 x16\_8 + 2.177 x16\_9 + 1.978 x16\_10 + 1.356 x16\_11 + 2.163 x16\_12 + 2.658 x16\_13 + 2.66 x16\_14 + 0.966 x16\_15 + 10.286 x16\_1 + 1.211 x16\_17 + 3.65 x16\_18 + 10.243 x16\_19 + 4.809 x17\_2 + 7.599 x17\_3 + 3.677 x17\_4 + 3.09 x17\_5 + 1.909 x17\_6 + 2.047 x17\_7 + 2.242 x17\_8 + 2.383 x17\_9 + 2.178 x17\_10 + 2.169 x17\_11 + 3.122 x17\_12 + 3.617 x17\_13 + 3.618 x17\_14 + 1.925 x17\_15 + 1.165 x17\_16 + 9.362 x17\_1 + 2.726 x17\_18 + 9.319 x17\_19 + 2.695 x18\_2 + 5.121 x18\_3 + 4.241 x18\_4 + 3.655 x18\_5 + 4.341 x18\_6 + 4.479 x18\_7 + 4.674 x18\_8 + 4.814 x18\_9 + 4.609 x18\_10 + 4.665 x18\_11 + 5.587 x18\_12 + 6.082 x18\_13 + 6.083 x18\_14 + 4.391 x18\_15 + 3.631 x18\_16 + 2.707 x18\_17 + 6.884 x18\_1 + 6.842 x18\_19 + 7.435 x19\_2 + 1.853 x19\_3 + 9.053 x19\_4 + 9.703 x19\_5 + 11.012 x19\_6 + 11.15 x19\_7 + 11.345 x19\_8 + 11.485 x19\_9 + 11.281 x19\_10 + 11.336 x19\_11 + 12.258 x19\_12 + 12.753 x19\_13 + 12.755 x19\_14 + 11.061 x19\_15 + 10.302 x19\_16 + 9.378 x19\_17 + 6.913 x19\_18 + 0.171 x19\_1 + W1 + W2 + W3 + W4 + W5 + W6 + W7 + W8 + W9 + W10 + W11 + W12 + W13 + W14 + W15 + W16 + W17 + W18 + W19

Subject to

$$\begin{aligned} &x1\_2 + x1\_3 + x1\_4 + x1\_5 + x1\_6 + x1\_7 + x1\_8 + x1\_9 + x1\_10 + x1\_11 + x1\_12 + x1\_13 + x1\_14 + x1\_15 + \\ &x1\_16 + x1\_17 + x1\_18 + x1\_19 = 1 \\ &x2\_1 + x2\_3 + x2\_4 + x2\_5 + x2\_6 + x2\_7 + x2\_8 + x2\_9 + x2\_10 + x2\_11 + x2\_12 + x2\_13 + x2\_14 + x2\_15 + \\ &x2\_16 + x2\_17 + x2\_18 + x2\_19 = 1 \\ &x3\_2 + x3\_1 + x3\_4 + x3\_5 + x3\_6 + x3\_7 + x3\_8 + x3\_9 + x3\_10 + x3\_11 + x3\_12 + x3\_13 + x3\_14 + x3\_15 + \\ &x3\_16 + x3\_17 + x3\_18 + x3\_19 = 1 \\ &x4\_2 + x4\_3 + x4\_1 + x4\_5 + x4\_6 + x4\_7 + x4\_8 + x4\_9 + x4\_10 + x4\_11 + x4\_12 + x4\_13 + x4\_14 + x4\_15 + \\ &x4\_16 + x4\_17 + x4\_18 + x4\_19 = 1 \\ &x5\_2 + x5\_3 + x5\_4 + x5\_1 + x5\_6 + x5\_7 + x5\_8 + x5\_9 + x5\_10 + x5\_11 + x5\_12 + x5\_13 + x5\_14 + x5\_15 + \\ &x5\_16 + x5\_17 + x5\_18 + x5\_19 = 1 \\ &x6\_2 + x6\_3 + x6\_4 + x6\_5 + x6\_1 + x6\_7 + x6\_8 + x6\_9 + x6\_10 + x6\_11 + x6\_12 + x6\_13 + x6\_14 + x6\_15 + \\ &x6\_16 + x6\_17 + x6\_18 + x6\_19 = 1 \\ &x7\_2 + x7\_3 + x7\_4 + x7\_5 + x7\_6 + x7\_1 + x7\_8 + x7\_9 + x7\_10 + x7\_11 + x7\_12 + x7\_13 + x7\_14 + x7\_15 + \\ &x7\_16 + x7\_17 + x7\_18 + x7\_19 = 1 \\ &x8\_2 + x8\_3 + x8\_4 + x8\_5 + x8\_6 + x8\_7 + x8\_1 + x8\_9 + x8\_10 + x8\_11 + x8\_12 + x8\_13 + x8\_14 + x8\_15 + \\ &x8\_16 + x8\_17 + x8\_18 + x8\_19 = 1 \\ &x9\_2 + x9\_3 + x9\_4 + x9\_5 + x9\_6 + x9\_7 + x9\_8 + x9\_1 + x9\_10 + x9\_11 + x9\_12 + x9\_13 + x9\_14 + x9\_15 + \\ &x9\_16 + x9\_17 + x9\_18 + x9\_19 = 1 \\ &x10\_1 + x10\_2 + x10\_3 + x10\_4 + x10\_5 + x10\_6 + x10\_7 + x10\_8 + x10\_9 + x10\_11 + x10\_12 + x10\_13 + x10\_14 \\ &+ x10\_15 + x10\_16 + x10\_17 + x10\_18 + x10\_19 = 1 \\ &x11\_1 + x11\_2 + x11\_3 + x11\_4 + x11\_5 + x11\_6 + x11\_7 + x11\_8 + x11\_9 + x11\_10 + x11\_12 + x11\_13 + x11\_14 \\ &+ x11\_15 + x11\_16 + x11\_17 + x11\_18 + x11\_19 = 1 \\ &x12\_1 + x12\_2 + x12\_3 + x12\_4 + x12\_5 + x12\_6 + x12\_7 + x12\_8 + x12\_9 + x12\_11 + x12\_10 + x12\_13 + x12\_14 \\ &+ x12\_15 + x12\_16 + x12\_17 + x12\_18 + x12\_19 = 1 \\ &x13\_1 + x13\_2 + x13\_3 + x13\_4 + x13\_5 + x13\_6 + x13\_7 + x13\_8 + x13\_9 + x13\_11 + x13\_12 + x13\_10 + x13\_14 \\ &+ x13\_15 + x13\_16 + x13\_17 + x13\_18 + x13\_19 = 1 \\ &x14\_1 + x14\_2 + x14\_3 + x14\_4 + x14\_5 + x14\_6 + x14\_7 + x14\_8 + x14\_9 + x14\_11 + x14\_12 + x14\_13 + x14\_10 \\ &+ x14\_15 + x14\_16 + x14\_17 + x14\_18 + x14\_19 = 1 \\ &x15\_1 + x15\_2 + x15\_3 + x15\_4 + x15\_5 + x15\_6 + x15\_7 + x15\_8 + x15\_9 + x15\_11 + x15\_12 + x15\_13 + x15\_14 \\ &+ x15\_10 + x15\_16 + x15\_17 + x15\_18 + x15\_19 = 1 \\ &x16\_1 + x16\_2 + x16\_3 + x16\_4 + x16\_5 + x16\_6 + x16\_7 + x16\_8 + x16\_9 + x16\_11 + x16\_12 + x16\_13 + x16\_14 \\ &+ x16\_15 + x16\_10 + x16\_17 + x16\_18 + x16\_19 = 1 \\ &x17\_1 + x17\_2 + x17\_3 + x17\_4 + x17\_5 + x17\_6 + x17\_7 + x17\_8 + x17\_9 + x17\_11 + x17\_12 + x17\_13 + x17\_14 \\ &+ x17\_15 + x17\_16 + x17\_10 + x17\_18 + x17\_19 = 1 \\ &x18\_1 + x18\_2 + x18\_3 + x18\_4 + x18\_5 + x18\_6 + x18\_7 + x18\_8 + x18\_9 + x18\_11 + x18\_12 + x18\_13 + x18\_14 \\ &+ x18\_15 + x18\_16 + x18\_17 + x18\_10 + x18\_19 = 1 \\ &x19\_1 + x19\_2 + x19\_3 + x19\_4 + x19\_5 + x19\_6 + x19\_7 + x19\_8 + x19\_9 + x19\_11 + x19\_12 + x19\_13 + x19\_14 \\ &+ x19\_15 + x19\_16 + x19\_17 + x19\_18 + x19\_10 = 1 \\ \\ &x2\_1 + x3\_1 + x4\_1 + x5\_1 + x6\_1 + x7\_1 + x8\_1 + x9\_1 + x10\_1 + x11\_1 + x12\_1 + x13\_1 + x14\_1 + x15\_1 + \\ &x16\_1 + x17\_1 + x18\_1 + x19\_1 = 1 \\ &x1\_2 + x3\_2 + x4\_2 + x5\_2 + x6\_2 + x7\_2 + x8\_2 + x9\_2 + x10\_2 + x11\_2 + x12\_2 + x13\_2 + x14\_2 + x15\_2 + \\ &x16\_2 + x17\_2 + x18\_2 + x19\_2 = 1 \\ &x1\_3 + x2\_3 + x4\_3 + x5\_3 + x6\_3 + x7\_3 + x8\_3 + x9\_3 + x10\_3 + x11\_3 + x12\_3 + x13\_3 + x14\_3 + x15\_3 + \\ &x16\_3 + x17\_3 + x18\_3 + x19\_3 = 1 \\ &x1\_4 + x2\_4 + x3\_4 + x5\_4 + x6\_4 + x7\_4 + x8\_4 + x9\_4 + x10\_4 + x11\_4 + x12\_4 + x13\_4 + x14\_4 + x15\_4 + \\ &x16\_4 + x17\_4 + x18\_4 + x19\_4 = 1 \\ &x1\_5 + x2\_5 + x3\_5 + x4\_5 + x6\_5 + x7\_5 + x8\_5 + x9\_5 + x10\_5 + x11\_5 + x12\_5 + x13\_5 + x14\_5 + x15\_5 + \\ &x16\_5 + x17\_5 + x18\_5 + x19\_5 = 1 \\ &x1\_6 + x2\_6 + x3\_6 + x4\_6 + x5\_6 + x7\_6 + x8\_6 + x9\_6 + x10\_6 + x11\_6 + x12\_6 + x13\_6 + x14\_6 + x15\_6 + \\ &x16\_6 + x17\_6 + x18\_6 + x19\_6 = 1 \\ &x1\_7 + x2\_7 + x3\_7 + x4\_7 + x5\_7 + x6\_7 + x8\_7 + x9\_7 + x10\_7 + x11\_7 + x12\_7 + x13\_7 + x14\_7 + x15\_7 + \\ &x16\_7 + x17\_7 + x18\_7 + x19\_7 = 1 \\ &x1\_8 + x2\_8 + x3\_8 + x4\_8 + x5\_8 + x6\_8 + x7\_8 + x9\_8 + x10\_8 + x11\_8 + x12\_8 + x13\_8 + x14\_8 + x15\_8 + \\ &x16\_8 + x17\_8 + x18\_8 + x19\_8 = 1 \end{aligned}$$

$x1\_9 + x2\_9 + x3\_9 + x4\_9 + x5\_9 + x6\_9 + x7\_9 + x8\_9 + x10\_9 + x11\_9 + x12\_9 + x13\_9 + x14\_9 + x15\_9 +$   
 $x16\_9 + x17\_9 + x18\_9 + x19\_9 = 1$   
 $x1\_10 + x2\_10 + x3\_10 + x4\_10 + x5\_10 + x6\_10 + x7\_10 + x8\_10 + x9\_10 + x11\_10 + x12\_10 + x13\_10 + x14\_10$   
 $+ x15\_10 + x16\_10 + x17\_10 + x18\_10 + x19\_10 = 1$   
 $x1\_11 + x2\_11 + x3\_11 + x4\_11 + x5\_11 + x6\_11 + x7\_11 + x8\_11 + x9\_11 + x10\_11 + x12\_11 + x13\_11 + x14\_11$   
 $+ x15\_11 + x16\_11 + x17\_11 + x18\_11 + x19\_11 = 1$   
 $x1\_12 + x2\_12 + x3\_12 + x4\_12 + x5\_12 + x6\_12 + x7\_12 + x8\_12 + x9\_12 + x10\_12 + x11\_12 + x13\_12 + x14\_12$   
 $+ x15\_12 + x16\_12 + x17\_12 + x18\_12 + x19\_12 = 1$   
 $x1\_13 + x2\_13 + x3\_13 + x4\_13 + x5\_13 + x6\_13 + x7\_13 + x8\_13 + x9\_13 + x10\_13 + x11\_13 + x12\_13 + x14\_13$   
 $+ x15\_13 + x16\_13 + x17\_13 + x18\_13 + x19\_13 = 1$   
 $x1\_14 + x2\_14 + x3\_14 + x4\_14 + x5\_14 + x6\_14 + x7\_14 + x8\_14 + x9\_14 + x10\_14 + x11\_14 + x12\_14 + x13\_14$   
 $+ x15\_14 + x16\_14 + x17\_14 + x18\_14 + x19\_14 = 1$   
 $x1\_15 + x2\_15 + x3\_15 + x4\_15 + x5\_15 + x6\_15 + x7\_15 + x8\_15 + x9\_15 + x10\_15 + x11\_15 + x12\_15 + x13\_15$   
 $+ x14\_15 + x16\_15 + x17\_15 + x18\_15 + x19\_15 = 1$   
 $x1\_16 + x2\_16 + x3\_16 + x4\_16 + x5\_16 + x6\_16 + x7\_16 + x8\_16 + x9\_16 + x10\_16 + x11\_16 + x12\_16 + x13\_16$   
 $+ x14\_16 + x15\_16 + x17\_16 + x18\_16 + x19\_16 = 1$   
 $x1\_17 + x2\_17 + x3\_17 + x4\_17 + x5\_17 + x6\_17 + x7\_17 + x8\_17 + x9\_17 + x10\_17 + x11\_17 + x12\_17 + x13\_17$   
 $+ x14\_17 + x15\_17 + x16\_17 + x18\_17 + x19\_17 = 1$   
 $x1\_18 + x2\_18 + x3\_18 + x4\_18 + x5\_18 + x6\_18 + x7\_18 + x8\_18 + x9\_18 + x10\_18 + x11\_18 + x12\_18 + x13\_18$   
 $+ x14\_18 + x15\_18 + x16\_18 + x17\_18 + x19\_18 = 1$   
 $x1\_19 + x2\_19 + x3\_19 + x4\_19 + x5\_19 + x6\_19 + x7\_19 + x8\_19 + x9\_19 + x10\_19 + x11\_19 + x12\_19 + x13\_19$   
 $+ x14\_19 + x15\_19 + x16\_19 + x17\_19 + x18\_19 = 1$

$u1 - u2 + 19 x1\_2 \leq 18$   
 $u1 - u3 + 19 x1\_3 \leq 18$   
 $u1 - u4 + 19 x1\_4 \leq 18$   
 $u1 - u5 + 19 x1\_5 \leq 18$   
 $u1 - u6 + 19 x1\_6 \leq 18$   
 $u1 - u7 + 19 x1\_7 \leq 18$   
 $u1 - u8 + 19 x1\_8 \leq 18$   
 $u1 - u9 + 19 x1\_9 \leq 18$   
 $u1 - u10 + 19 x1\_10 \leq 18$   
 $u1 - u11 + 19 x1\_11 \leq 18$   
 $u1 - u12 + 19 x1\_12 \leq 18$   
 $u1 - u13 + 19 x1\_13 \leq 18$   
 $u1 - u14 + 19 x1\_14 \leq 18$   
 $u1 - u15 + 19 x1\_15 \leq 18$   
 $u1 - u16 + 19 x1\_16 \leq 18$   
 $u1 - u17 + 19 x1\_17 \leq 18$   
 $u1 - u18 + 19 x1\_18 \leq 18$   
 $u1 - u19 + 19 x1\_19 \leq 18$

$u2 - u3 + 19 x2\_3 \leq 18$   
 $u2 - u4 + 19 x2\_4 \leq 18$   
 $u2 - u5 + 19 x2\_5 \leq 18$   
 $u2 - u6 + 19 x2\_6 \leq 18$   
 $u2 - u7 + 19 x2\_7 \leq 18$   
 $u2 - u8 + 19 x2\_8 \leq 18$   
 $u2 - u9 + 19 x2\_9 \leq 18$   
 $u2 - u10 + 19 x2\_10 \leq 18$   
 $u2 - u11 + 19 x2\_11 \leq 18$   
 $u2 - u12 + 19 x2\_12 \leq 18$   
 $u2 - u13 + 19 x2\_13 \leq 18$   
 $u2 - u14 + 19 x2\_14 \leq 18$   
 $u2 - u15 + 19 x2\_15 \leq 18$   
 $u2 - u16 + 19 x2\_16 \leq 18$   
 $u2 - u17 + 19 x2\_17 \leq 18$

$u2 - u18 + 19 x2\_18 \leq 18$   
 $u2 - u19 + 19 x2\_19 \leq 18$

$u3 - u2 + 19 x3\_2 \leq 18$   
 $u3 - u4 + 19 x3\_4 \leq 18$   
 $u3 - u5 + 19 x3\_5 \leq 18$   
 $u3 - u6 + 19 x3\_6 \leq 18$   
 $u3 - u7 + 19 x3\_7 \leq 18$   
 $u3 - u8 + 19 x3\_8 \leq 18$   
 $u3 - u9 + 19 x3\_9 \leq 18$   
 $u3 - u10 + 19 x3\_10 \leq 18$   
 $u3 - u11 + 19 x3\_11 \leq 18$   
 $u3 - u12 + 19 x3\_12 \leq 18$   
 $u3 - u13 + 19 x3\_13 \leq 18$   
 $u3 - u14 + 19 x3\_14 \leq 18$   
 $u3 - u15 + 19 x3\_15 \leq 18$   
 $u3 - u16 + 19 x3\_16 \leq 18$   
 $u3 - u17 + 19 x3\_17 \leq 18$   
 $u3 - u18 + 19 x3\_18 \leq 18$   
 $u3 - u19 + 19 x3\_19 \leq 18$

$u4 - u2 + 19 x4\_2 \leq 18$   
 $u4 - u3 + 19 x4\_3 \leq 18$   
 $u4 - u5 + 19 x4\_5 \leq 18$   
 $u4 - u6 + 19 x4\_6 \leq 18$   
 $u4 - u7 + 19 x4\_7 \leq 18$   
 $u4 - u8 + 19 x4\_8 \leq 18$   
 $u4 - u9 + 19 x4\_9 \leq 18$   
 $u4 - u10 + 19 x4\_10 \leq 18$   
 $u4 - u11 + 19 x4\_11 \leq 18$   
 $u4 - u12 + 19 x4\_12 \leq 18$   
 $u4 - u13 + 19 x4\_13 \leq 18$   
 $u4 - u14 + 19 x4\_14 \leq 18$   
 $u4 - u15 + 19 x4\_15 \leq 18$   
 $u4 - u16 + 19 x4\_16 \leq 18$

u4 - u17 + 19 x4\_17 <= 18  
u4 - u18 + 19 x4\_18 <= 18  
u4 - u19 + 19 x4\_19 <= 18

u5 - u2 + 19 x5\_2 <= 18  
u5 - u3 + 19 x5\_3 <= 18  
u5 - u4 + 19 x5\_4 <= 18  
u5 - u6 + 19 x5\_6 <= 18  
u5 - u7 + 19 x5\_7 <= 18  
u5 - u8 + 19 x5\_8 <= 18  
u5 - u9 + 19 x5\_9 <= 18  
u5 - u10 + 19 x5\_10 <= 18  
u5 - u11 + 19 x5\_11 <= 18  
u5 - u12 + 19 x5\_12 <= 18  
u5 - u13 + 19 x5\_13 <= 18  
u5 - u14 + 19 x5\_14 <= 18  
u5 - u15 + 19 x5\_15 <= 18  
u5 - u16 + 19 x5\_16 <= 18  
u5 - u17 + 19 x5\_17 <= 18  
u5 - u18 + 19 x5\_18 <= 18  
u5 - u19 + 19 x5\_19 <= 18

u6 - u2 + 19 x6\_2 <= 18  
u6 - u3 + 19 x6\_3 <= 18  
u6 - u4 + 19 x6\_4 <= 18  
u6 - u5 + 19 x6\_5 <= 18  
u6 - u7 + 19 x6\_7 <= 18  
u6 - u8 + 19 x6\_8 <= 18  
u6 - u9 + 19 x6\_9 <= 18  
u6 - u10 + 19 x6\_10 <= 18  
u6 - u11 + 19 x6\_11 <= 18  
u6 - u12 + 19 x6\_12 <= 18  
u6 - u13 + 19 x6\_13 <= 18  
u6 - u14 + 19 x6\_14 <= 18  
u6 - u15 + 19 x6\_15 <= 18  
u6 - u16 + 19 x6\_16 <= 18  
u6 - u17 + 19 x6\_17 <= 18  
u6 - u18 + 19 x6\_18 <= 18  
u6 - u19 + 19 x6\_19 <= 18

u7 - u2 + 19 x7\_2 <= 18  
u7 - u3 + 19 x7\_3 <= 18  
u7 - u4 + 19 x7\_4 <= 18  
u7 - u5 + 19 x7\_5 <= 18  
u7 - u6 + 19 x7\_6 <= 18  
u7 - u8 + 19 x7\_8 <= 18  
u7 - u9 + 19 x7\_9 <= 18  
u7 - u10 + 19 x7\_10 <= 18  
u7 - u11 + 19 x7\_11 <= 18  
u7 - u12 + 19 x7\_12 <= 18  
u7 - u13 + 19 x7\_13 <= 18  
u7 - u14 + 19 x7\_14 <= 18  
u7 - u15 + 19 x7\_15 <= 18  
u7 - u16 + 19 x7\_16 <= 18  
u7 - u17 + 19 x7\_17 <= 18  
u7 - u18 + 19 x7\_18 <= 18  
u7 - u19 + 19 x7\_19 <= 18

u8 - u2 + 19 x8\_2 <= 18  
u8 - u3 + 19 x8\_3 <= 18  
u8 - u4 + 19 x8\_4 <= 18  
u8 - u5 + 19 x8\_5 <= 18  
u8 - u6 + 19 x8\_6 <= 18  
u8 - u7 + 19 x8\_7 <= 18  
u8 - u9 + 19 x8\_9 <= 18  
u8 - u10 + 19 x8\_10 <= 18  
u8 - u11 + 19 x8\_11 <= 18  
u8 - u12 + 19 x8\_12 <= 18  
u8 - u13 + 19 x8\_13 <= 18  
u8 - u14 + 19 x8\_14 <= 18  
u8 - u15 + 19 x8\_15 <= 18  
u8 - u16 + 19 x8\_16 <= 18  
u8 - u17 + 19 x8\_17 <= 18  
u8 - u18 + 19 x8\_18 <= 18  
u8 - u19 + 19 x8\_19 <= 18

u9 - u2 + 19 x9\_2 <= 18  
u9 - u3 + 19 x9\_3 <= 18  
u9 - u4 + 19 x9\_4 <= 18  
u9 - u5 + 19 x9\_5 <= 18  
u9 - u6 + 19 x9\_6 <= 18  
u9 - u7 + 19 x9\_7 <= 18  
u9 - u8 + 19 x9\_8 <= 18  
u9 - u10 + 19 x9\_10 <= 18  
u9 - u11 + 19 x9\_11 <= 18  
u9 - u12 + 19 x9\_12 <= 18  
u9 - u13 + 19 x9\_13 <= 18  
u9 - u14 + 19 x9\_14 <= 18  
u9 - u15 + 19 x9\_15 <= 18  
u9 - u16 + 19 x9\_16 <= 18  
u9 - u17 + 19 x9\_17 <= 18  
u9 - u18 + 19 x9\_18 <= 18  
u9 - u19 + 19 x9\_19 <= 18

u10 - u2 + 19 x10\_2 <= 18  
u10 - u3 + 19 x10\_3 <= 18  
u10 - u4 + 19 x10\_4 <= 18  
u10 - u5 + 19 x10\_5 <= 18  
u10 - u6 + 19 x10\_6 <= 18  
u10 - u7 + 19 x10\_7 <= 18  
u10 - u8 + 19 x10\_8 <= 18  
u10 - u9 + 19 x10\_9 <= 18  
u10 - u11 + 19 x10\_11 <= 18  
u10 - u12 + 19 x10\_12 <= 18  
u10 - u13 + 19 x10\_13 <= 18  
u10 - u14 + 19 x10\_14 <= 18  
u10 - u15 + 19 x10\_15 <= 18  
u10 - u16 + 19 x10\_16 <= 18  
u10 - u17 + 19 x10\_17 <= 18  
u10 - u18 + 19 x10\_18 <= 18  
u10 - u19 + 19 x10\_19 <= 18

u11 - u2 + 19 x11\_2 <= 18  
u11 - u3 + 19 x11\_3 <= 18

u11 - u4 + 19 x11\_4 <= 18  
u11 - u5 + 19 x11\_5 <= 18  
u11 - u6 + 19 x11\_6 <= 18  
u11 - u7 + 19 x11\_7 <= 18  
u11 - u8 + 19 x11\_8 <= 18  
u11 - u9 + 19 x11\_9 <= 18  
u11 - u10 + 19 x11\_10 <= 18  
u11 - u12 + 19 x11\_12 <= 18  
u11 - u13 + 19 x11\_13 <= 18  
u11 - u14 + 19 x11\_14 <= 18  
u11 - u15 + 19 x11\_15 <= 18  
u11 - u16 + 19 x11\_16 <= 18  
u11 - u17 + 19 x11\_17 <= 18  
u11 - u18 + 19 x11\_18 <= 18  
u11 - u19 + 19 x11\_19 <= 18

u12 - u2 + 19 x12\_2 <= 18  
u12 - u3 + 19 x12\_3 <= 18  
u12 - u4 + 19 x12\_4 <= 18  
u12 - u5 + 19 x12\_5 <= 18  
u12 - u6 + 19 x12\_6 <= 18  
u12 - u7 + 19 x12\_7 <= 18  
u12 - u8 + 19 x12\_8 <= 18  
u12 - u9 + 19 x12\_9 <= 18  
u12 - u10 + 19 x12\_10 <= 18  
u12 - u11 + 19 x12\_11 <= 18  
u12 - u13 + 19 x12\_13 <= 18  
u12 - u14 + 19 x12\_14 <= 18  
u12 - u15 + 19 x12\_15 <= 18  
u12 - u16 + 19 x12\_16 <= 18  
u12 - u17 + 19 x12\_17 <= 18  
u12 - u18 + 19 x12\_18 <= 18  
u12 - u19 + 19 x12\_19 <= 18

u13 - u2 + 19 x13\_2 <= 18  
u13 - u3 + 19 x13\_3 <= 18  
u13 - u4 + 19 x13\_4 <= 18  
u13 - u5 + 19 x13\_5 <= 18  
u13 - u6 + 19 x13\_6 <= 18  
u13 - u7 + 19 x13\_7 <= 18  
u13 - u8 + 19 x13\_8 <= 18  
u13 - u9 + 19 x13\_9 <= 18  
u13 - u10 + 19 x13\_10 <= 18  
u13 - u11 + 19 x13\_11 <= 18  
u13 - u12 + 19 x13\_12 <= 18  
u13 - u14 + 19 x13\_14 <= 18  
u13 - u15 + 19 x13\_15 <= 18  
u13 - u16 + 19 x13\_16 <= 18  
u13 - u17 + 19 x13\_17 <= 18  
u13 - u18 + 19 x13\_18 <= 18  
u13 - u19 + 19 x13\_19 <= 18

u14 - u2 + 19 x14\_2 <= 18  
u14 - u3 + 19 x14\_3 <= 18  
u14 - u4 + 19 x14\_4 <= 18  
u14 - u5 + 19 x14\_5 <= 18  
u14 - u6 + 19 x14\_6 <= 18

u14 - u7 + 19 x14\_7 <= 18  
u14 - u8 + 19 x14\_8 <= 18  
u14 - u9 + 19 x14\_9 <= 18  
u14 - u10 + 19 x14\_10 <= 18  
u14 - u11 + 19 x14\_11 <= 18  
u14 - u12 + 19 x14\_12 <= 18  
u14 - u13 + 19 x14\_13 <= 18  
u14 - u15 + 19 x14\_15 <= 18  
u14 - u16 + 19 x14\_16 <= 18  
u14 - u17 + 19 x14\_17 <= 18  
u14 - u18 + 19 x14\_18 <= 18  
u14 - u19 + 19 x14\_19 <= 18

u15 - u2 + 19 x15\_2 <= 18  
u15 - u3 + 19 x15\_3 <= 18  
u15 - u4 + 19 x15\_4 <= 18  
u15 - u5 + 19 x15\_5 <= 18  
u15 - u6 + 19 x15\_6 <= 18  
u15 - u7 + 19 x15\_7 <= 18  
u15 - u8 + 19 x15\_8 <= 18  
u15 - u9 + 19 x15\_9 <= 18  
u15 - u10 + 19 x15\_10 <= 18  
u15 - u11 + 19 x15\_11 <= 18  
u15 - u12 + 19 x15\_12 <= 18  
u15 - u13 + 19 x15\_13 <= 18  
u15 - u14 + 19 x15\_14 <= 18  
u15 - u16 + 19 x15\_16 <= 18  
u15 - u17 + 19 x15\_17 <= 18  
u15 - u18 + 19 x15\_18 <= 18  
u15 - u19 + 19 x15\_19 <= 18

u16 - u2 + 19 x16\_2 <= 18  
u16 - u3 + 19 x16\_3 <= 18  
u16 - u4 + 19 x16\_4 <= 18  
u16 - u5 + 19 x16\_5 <= 18  
u16 - u6 + 19 x16\_6 <= 18  
u16 - u7 + 19 x16\_7 <= 18  
u16 - u8 + 19 x16\_8 <= 18  
u16 - u9 + 19 x16\_9 <= 18  
u16 - u10 + 19 x16\_10 <= 18  
u16 - u11 + 19 x16\_11 <= 18  
u16 - u12 + 19 x16\_12 <= 18  
u16 - u13 + 19 x16\_13 <= 18  
u16 - u14 + 19 x16\_14 <= 18  
u16 - u15 + 19 x16\_15 <= 18  
u16 - u17 + 19 x16\_17 <= 18  
u16 - u18 + 19 x16\_18 <= 18  
u16 - u19 + 19 x16\_19 <= 18

u17 - u2 + 19 x17\_2 <= 18  
u17 - u3 + 19 x17\_3 <= 18  
u17 - u4 + 19 x17\_4 <= 18  
u17 - u5 + 19 x17\_5 <= 18  
u17 - u6 + 19 x17\_6 <= 18  
u17 - u7 + 19 x17\_7 <= 18  
u17 - u8 + 19 x17\_8 <= 18  
u17 - u9 + 19 x17\_9 <= 18

$u_{17} - u_{10} + 19 x_{17\_10} \leq 18$	$u_{12} \geq 1$
$u_{17} - u_{11} + 19 x_{17\_11} \leq 18$	$u_{13} \geq 1$
$u_{17} - u_{12} + 19 x_{17\_12} \leq 18$	$u_{14} \geq 1$
$u_{17} - u_{13} + 19 x_{17\_13} \leq 18$	$u_{15} \geq 1$
$u_{17} - u_{14} + 19 x_{17\_14} \leq 18$	$u_{16} \geq 1$
$u_{17} - u_{15} + 19 x_{17\_15} \leq 18$	$u_{17} \geq 1$
$u_{17} - u_{16} + 19 x_{17\_16} \leq 18$	$u_{18} \geq 1$
$u_{17} - u_{18} + 19 x_{17\_18} \leq 18$	$u_{19} \geq 1$
$u_{17} - u_{19} + 19 x_{17\_19} \leq 18$	
	$u_1 \leq 19$
$u_{18} - u_2 + 19 x_{18\_2} \leq 18$	$u_2 \leq 19$
$u_{18} - u_3 + 19 x_{18\_3} \leq 18$	$u_3 \leq 19$
$u_{18} - u_4 + 19 x_{18\_4} \leq 18$	$u_4 \leq 19$
$u_{18} - u_5 + 19 x_{18\_5} \leq 18$	$u_5 \leq 19$
$u_{18} - u_6 + 19 x_{18\_6} \leq 18$	$u_6 \leq 19$
$u_{18} - u_7 + 19 x_{18\_7} \leq 18$	$u_7 \leq 19$
$u_{18} - u_8 + 19 x_{18\_8} \leq 18$	$u_8 \leq 19$
$u_{18} - u_9 + 19 x_{18\_9} \leq 18$	$u_9 \leq 19$
$u_{18} - u_{10} + 19 x_{18\_10} \leq 18$	$u_{10} \leq 19$
$u_{18} - u_{11} + 19 x_{18\_11} \leq 18$	$u_{11} \leq 19$
$u_{18} - u_{12} + 19 x_{18\_12} \leq 18$	$u_{12} \leq 19$
$u_{18} - u_{13} + 19 x_{18\_13} \leq 18$	$u_{13} \leq 19$
$u_{18} - u_{14} + 19 x_{18\_14} \leq 18$	$u_{14} \leq 19$
$u_{18} - u_{15} + 19 x_{18\_15} \leq 18$	$u_{15} \leq 19$
$u_{18} - u_{16} + 19 x_{18\_16} \leq 18$	$u_{16} \leq 19$
$u_{18} - u_{17} + 19 x_{18\_17} \leq 18$	$u_{17} \leq 19$
$u_{18} - u_{19} + 19 x_{18\_19} \leq 18$	$u_{18} \leq 19$
	$u_{19} \leq 19$
$u_{19} - u_2 + 19 x_{19\_2} \leq 18$	
$u_{19} - u_3 + 19 x_{19\_3} \leq 18$	$a_1 = 0$
$u_{19} - u_4 + 19 x_{19\_4} \leq 18$	$a_2 \geq 8$
$u_{19} - u_5 + 19 x_{19\_5} \leq 18$	$a_2 \leq 24$
$u_{19} - u_6 + 19 x_{19\_6} \leq 18$	$a_4 \geq 24$
$u_{19} - u_7 + 19 x_{19\_7} \leq 18$	$a_4 \leq 28$
$u_{19} - u_8 + 19 x_{19\_8} \leq 18$	$a_5 \geq 24$
$u_{19} - u_9 + 19 x_{19\_9} \leq 18$	$a_5 \leq 32$
$u_{19} - u_{10} + 19 x_{19\_10} \leq 18$	$a_6 \geq 48$
$u_{19} - u_{11} + 19 x_{19\_11} \leq 18$	$a_6 \leq 56$
$u_{19} - u_{12} + 19 x_{19\_12} \leq 18$	$a_7 \geq 48$
$u_{19} - u_{13} + 19 x_{19\_13} \leq 18$	$a_7 \leq 56$
$u_{19} - u_{14} + 19 x_{19\_14} \leq 18$	$a_8 \geq 48$
$u_{19} - u_{15} + 19 x_{19\_15} \leq 18$	$a_8 \leq 56$
$u_{19} - u_{16} + 19 x_{19\_16} \leq 18$	$a_9 \geq 48$
$u_{19} - u_{17} + 19 x_{19\_17} \leq 18$	$a_9 \leq 56$
$u_{19} - u_{18} + 19 x_{19\_18} \leq 18$	$a_{10} \geq 48$
	$a_{10} \leq 56$
$u_1 \geq 1$	$a_{11} \geq 72$
$u_2 \geq 1$	$a_{11} \leq 80$
$u_3 \geq 1$	$a_{12} \geq 72$
$u_4 \geq 1$	$a_{12} \leq 80$
$u_5 \geq 1$	$a_{13} \geq 72$
$u_6 \geq 1$	$a_{13} \leq 80$
$u_7 \geq 1$	$a_{14} \geq 72$
$u_8 \geq 1$	$a_{14} \leq 80$
$u_9 \geq 1$	$a_{15} \geq 72$
$u_{10} \geq 1$	$a_{15} \leq 80$
$u_{11} \geq 1$	$a_{16} \geq 72$



a16 <= 80  
a17 >= 96  
a17 <= 100

a18 >= 100  
a18 <= 104  
a19 >= 120

a1 - a3 + 1000000 x1\_3 + W3 + v1\_3 = 999998.114  
a1 - a4 + 1000000 x1\_4 + W4 + v1\_4 = 999990.164  
a1 - a5 + 1000000 x1\_5 + W5 + v1\_5 = 999989.515  
a1 - a6 + 1000000 x1\_6 + W6 + v1\_6 = 999988.205  
a1 - a7 + 1000000 x1\_7 + W7 + v1\_7 = 999988.068  
a1 - a8 + 1000000 x1\_8 + W8 + v1\_8 = 999987.872  
a1 - a9 + 1000000 x1\_9 + W9 + v1\_9 = 999987.732  
a1 - a10 + 1000000 x1\_10 + W10 + v1\_10 = 999987.937  
a1 - a11 + 1000000 x1\_11 + W11 + v1\_11 = 999987.882  
a1 - a12 + 1000000 x1\_12 + W12 + v1\_12 = 999986.959  
a1 - a13 + 1000000 x1\_13 + W13 + v1\_13 = 999986.465  
a1 - a14 + 1000000 x1\_14 + W14 + v1\_14 = 999986.463  
a1 - a15 + 1000000 x1\_15 + W15 + v1\_15 = 999988.156  
a1 - a16 + 1000000 x1\_16 + W16 + v1\_16 = 999988.916  
a1 - a17 + 1000000 x1\_17 + W17 + v1\_17 = 999989.84  
a1 - a18 + 1000000 x1\_18 + W18 + v1\_18 = 999992.304  
a1 - a19 + 1000000 x1\_19 + W19 + v1\_19 = 999999.088

a2 - a3 + 1000000 x2\_3 + W3 + v2\_3 = 999994.298  
a2 - a4 + 1000000 x2\_4 + W4 + v2\_4 = 999997.403  
a2 - a5 + 1000000 x2\_5 + W5 + v2\_5 = 999996.753  
a2 - a6 + 1000000 x2\_6 + W6 + v2\_6 = 999993.866  
a2 - a7 + 1000000 x2\_7 + W7 + v2\_7 = 999993.588  
a2 - a8 + 1000000 x2\_8 + W8 + v2\_8 = 999993.361  
a2 - a9 + 1000000 x2\_9 + W9 + v2\_9 = 999993.04  
a2 - a10 + 1000000 x2\_10 + W10 + v2\_10 = 999993.14  
a2 - a11 + 1000000 x2\_11 + W11 + v2\_11 = 999992.861  
a2 - a12 + 1000000 x2\_12 + W12 + v2\_12 = 999992.233  
a2 - a13 + 1000000 x2\_13 + W13 + v2\_13 = 999991.849  
a2 - a14 + 1000000 x2\_14 + W14 + v2\_14 = 999991.759  
a2 - a15 + 1000000 x2\_15 + W15 + v2\_15 = 999992.748  
a2 - a16 + 1000000 x2\_16 + W16 + v2\_16 = 999993.508  
a2 - a17 + 1000000 x2\_17 + W17 + v2\_17 = 999994.432  
a2 - a18 + 1000000 x2\_18 + W18 + v2\_18 = 999996.531  
a2 - a19 + 1000000 x2\_19 + W19 + v2\_19 = 999991.828

a3 - a2 + 1000000 x3\_2 + W2 + v3\_2 = 999985.257  
a3 - a4 + 1000000 x3\_4 + W4 + v3\_4 = 999991.889  
a3 - a5 + 1000000 x3\_5 + W5 + v3\_5 = 999991.24  
a3 - a6 + 1000000 x3\_6 + W6 + v3\_6 = 999989.93  
a3 - a7 + 1000000 x3\_7 + W7 + v3\_7 = 999989.793  
a3 - a8 + 1000000 x3\_8 + W8 + v3\_8 = 999989.597  
a3 - a9 + 1000000 x3\_9 + W9 + v3\_9 = 999989.457  
a3 - a10 + 1000000 x3\_10 + W10 + v3\_10 = 999989.662  
a3 - a11 + 1000000 x3\_11 + W11 + v3\_11 = 999989.606  
a3 - a12 + 1000000 x3\_12 + W12 + v3\_12 = 999988.684  
a3 - a13 + 1000000 x3\_13 + W13 + v3\_13 = 999988.19  
a3 - a14 + 1000000 x3\_14 + W14 + v3\_14 = 999988.188  
a3 - a15 + 1000000 x3\_15 + W15 + v3\_15 = 999989.881  
a3 - a16 + 1000000 x3\_16 + W16 + v3\_16 = 999990.64  
a3 - a17 + 1000000 x3\_17 + W17 + v3\_17 = 999991.565

a3 - a18 + 1000000 x3\_18 + W18 + v3\_18 = 999994.029  
a3 - a19 + 1000000 x3\_19 + W19 + v3\_19 = 999997.38

a4 - a2 + 1000000 x4\_2 + W2 + v4\_2 = 999989.16  
a4 - a3 + 1000000 x4\_3 + W3 + v4\_3 = 999992.673  
a4 - a5 + 1000000 x4\_5 + W5 + v4\_5 = 999998.285  
a4 - a6 + 1000000 x4\_6 + W6 + v4\_6 = 999995.398  
a4 - a7 + 1000000 x4\_7 + W7 + v4\_7 = 999995.12  
a4 - a8 + 1000000 x4\_8 + W8 + v4\_8 = 999994.892  
a4 - a9 + 1000000 x4\_9 + W9 + v4\_9 = 999994.571  
a4 - a10 + 1000000 x4\_10 + W10 + v4\_10 = 999994.54  
a4 - a11 + 1000000 x4\_11 + W11 + v4\_11 = 999994.204  
a4 - a12 + 1000000 x4\_12 + W12 + v4\_12 = 999993.765  
a4 - a13 + 1000000 x4\_13 + W13 + v4\_13 = 999993.38  
a4 - a14 + 1000000 x4\_14 + W14 + v4\_14 = 999993.29  
a4 - a15 + 1000000 x4\_15 + W15 + v4\_15 = 999993.942  
a4 - a16 + 1000000 x4\_16 + W16 + v4\_16 = 999994.701  
a4 - a17 + 1000000 x4\_17 + W17 + v4\_17 = 999995.626  
a4 - a18 + 1000000 x4\_18 + W18 + v4\_18 = 999995.065  
a4 - a19 + 1000000 x4\_19 + W19 + v4\_19 = 999990.202

a5 - a2 + 1000000 x5\_2 + W2 + v5\_2 = 999988.505  
a5 - a3 + 1000000 x5\_3 + W3 + v5\_3 = 999992.018  
a5 - a4 + 1000000 x5\_4 + W4 + v5\_4 = 999998.269  
a5 - a6 + 1000000 x5\_6 + W6 + v5\_6 = 999996.059  
a5 - a7 + 1000000 x5\_7 + W7 + v5\_7 = 999995.781  
a5 - a8 + 1000000 x5\_8 + W8 + v5\_8 = 999995.554  
a5 - a9 + 1000000 x5\_9 + W9 + v5\_9 = 999995.233  
a5 - a10 + 1000000 x5\_10 + W10 + v5\_10 = 999995.202  
a5 - a11 + 1000000 x5\_11 + W11 + v5\_11 = 999994.866  
a5 - a12 + 1000000 x5\_12 + W12 + v5\_12 = 999994.426  
a5 - a13 + 1000000 x5\_13 + W13 + v5\_13 = 999994.042  
a5 - a14 + 1000000 x5\_14 + W14 + v5\_14 = 999993.951  
a5 - a15 + 1000000 x5\_15 + W15 + v5\_15 = 999994.49  
a5 - a16 + 1000000 x5\_16 + W16 + v5\_16 = 999995.25  
a5 - a17 + 1000000 x5\_17 + W17 + v5\_17 = 999996.174  
a5 - a18 + 1000000 x5\_18 + W18 + v5\_18 = 999995.614  
a5 - a19 + 1000000 x5\_19 + W19 + v5\_19 = 999989.547

a6 - a2 + 1000000 x6\_2 + W2 + v6\_2 = 999985.575  
a6 - a3 + 1000000 x6\_3 + W3 + v6\_3 = 999990.734  
a6 - a4 + 1000000 x6\_4 + W4 + v6\_4 = 999995.34  
a6 - a5 + 1000000 x6\_5 + W5 + v6\_5 = 999996.027  
a6 - a7 + 1000000 x6\_7 + W7 + v6\_7 = 999998.815  
a6 - a8 + 1000000 x6\_8 + W8 + v6\_8 = 999998.588  
a6 - a9 + 1000000 x6\_9 + W9 + v6\_9 = 999998.267  
a6 - a10 + 1000000 x6\_10 + W10 + v6\_10 = 999998.178  
a6 - a11 + 1000000 x6\_11 + W11 + v6\_11 = 999997.739  
a6 - a12 + 1000000 x6\_12 + W12 + v6\_12 = 999997.46  
a6 - a13 + 1000000 x6\_13 + W13 + v6\_13 = 999997.076  
a6 - a14 + 1000000 x6\_14 + W14 + v6\_14 = 999996.986  
a6 - a15 + 1000000 x6\_15 + W15 + v6\_15 = 999997.145  
a6 - a16 + 1000000 x6\_16 + W16 + v6\_16 = 999996.99  
a6 - a17 + 1000000 x6\_17 + W17 + v6\_17 = 999997.281

a6 - a18 + 1000000 x6\_18 + W18 + v6\_18 = 999994.857  
a6 - a19 + 1000000 x6\_19 + W19 + v6\_19 = 999988.264

a7 - a2 + 1000000 x7\_2 + W2 + v7\_2 = 999985.336  
a7 - a3 + 1000000 x7\_3 + W3 + v7\_3 = 999990.626  
a7 - a4 + 1000000 x7\_4 + W4 + v7\_4 = 999995.101  
a7 - a5 + 1000000 x7\_5 + W5 + v7\_5 = 999995.788  
a7 - a6 + 1000000 x7\_6 + W6 + v7\_6 = 999998.863  
a7 - a8 + 1000000 x7\_8 + W8 + v7\_8 = 999998.745  
a7 - a9 + 1000000 x7\_9 + W9 + v7\_9 = 999998.423  
a7 - a10 + 1000000 x7\_10 + W10 + v7\_10 = 999998.328  
a7 - a11 + 1000000 x7\_11 + W11 + v7\_11 = 999997.708  
a7 - a12 + 1000000 x7\_12 + W12 + v7\_12 = 999997.617  
a7 - a13 + 1000000 x7\_13 + W13 + v7\_13 = 999997.232  
a7 - a14 + 1000000 x7\_14 + W14 + v7\_14 = 999997.142  
a7 - a15 + 1000000 x7\_15 + W15 + v7\_15 = 999997.294  
a7 - a16 + 1000000 x7\_16 + W16 + v7\_16 = 999996.959  
a7 - a17 + 1000000 x7\_17 + W17 + v7\_17 = 999997.173  
a7 - a18 + 1000000 x7\_18 + W18 + v7\_18 = 999994.749  
a7 - a19 + 1000000 x7\_19 + W19 + v7\_19 = 999988.156

a8 - a2 + 1000000 x8\_2 + W2 + v8\_2 = 999985.027  
a8 - a3 + 1000000 x8\_3 + W3 + v8\_3 = 999990.411  
a8 - a4 + 1000000 x8\_4 + W4 + v8\_4 = 999994.792  
a8 - a5 + 1000000 x8\_5 + W5 + v8\_5 = 999995.479  
a8 - a6 + 1000000 x8\_6 + W6 + v8\_6 = 999998.554  
a8 - a7 + 1000000 x8\_7 + W7 + v8\_7 = 999998.722  
a8 - a9 + 1000000 x8\_9 + W9 + v8\_9 = 999998.742  
a8 - a10 + 1000000 x8\_10 + W10 + v8\_10 = 999998.658  
a8 - a11 + 1000000 x8\_11 + W11 + v8\_11 = 999997.85  
a8 - a12 + 1000000 x8\_12 + W12 + v8\_12 = 999997.815  
a8 - a13 + 1000000 x8\_13 + W13 + v8\_13 = 999997.431  
a8 - a14 + 1000000 x8\_14 + W14 + v8\_14 = 999997.34  
a8 - a15 + 1000000 x8\_15 + W15 + v8\_15 = 999997.55  
a8 - a16 + 1000000 x8\_16 + W16 + v8\_16 = 999997.062  
a8 - a17 + 1000000 x8\_17 + W17 + v8\_17 = 999996.958  
a8 - a18 + 1000000 x8\_18 + W18 + v8\_18 = 999994.534  
a8 - a19 + 1000000 x8\_19 + W19 + v8\_19 = 999987.941

a9 - a2 + 1000000 x9\_2 + W2 + v9\_2 = 999984.727  
a9 - a3 + 1000000 x9\_3 + W3 + v9\_3 = 999990.243  
a9 - a4 + 1000000 x9\_4 + W4 + v9\_4 = 999994.492  
a9 - a5 + 1000000 x9\_5 + W5 + v9\_5 = 999995.179  
a9 - a6 + 1000000 x9\_6 + W6 + v9\_6 = 999998.254  
a9 - a7 + 1000000 x9\_7 + W7 + v9\_7 = 999998.422  
a9 - a8 + 1000000 x9\_8 + W8 + v9\_8 = 999998.76  
a9 - a10 + 1000000 x9\_10 + W10 + v9\_10 = 999998.797  
a9 - a11 + 1000000 x9\_11 + W11 + v9\_11 = 999997.945  
a9 - a12 + 1000000 x9\_12 + W12 + v9\_12 = 999997.567  
a9 - a13 + 1000000 x9\_13 + W13 + v9\_13 = 999997.183  
a9 - a14 + 1000000 x9\_14 + W14 + v9\_14 = 999997.092  
a9 - a15 + 1000000 x9\_15 + W15 + v9\_15 = 999997.645  
a9 - a16 + 1000000 x9\_16 + W16 + v9\_16 = 999996.987  
a9 - a17 + 1000000 x9\_17 + W17 + v9\_17 = 999996.79

a9 - a18 + 1000000 x9\_18 + W18 + v9\_18 = 999994.366  
a9 - a19 + 1000000 x9\_19 + W19 + v9\_19 = 999987.772

a10 - a2 + 1000000 x10\_2 + W2 + v10\_2 = 999984.768  
a10 - a3 + 1000000 x10\_3 + W3 + v10\_3 = 999990.424  
a10 - a4 + 1000000 x10\_4 + W4 + v10\_4 = 999994.46  
a10 - a5 + 1000000 x10\_5 + W5 + v10\_5 = 999995.148  
a10 - a6 + 1000000 x10\_6 + W6 + v10\_6 = 999998.171  
a10 - a7 + 1000000 x10\_7 + W7 + v10\_7 = 999998.324  
a10 - a8 + 1000000 x10\_8 + W8 + v10\_8 = 999998.682  
a10 - a9 + 1000000 x10\_9 + W9 + v10\_9 = 999998.775  
a10 - a11 + 1000000 x10\_11 + W11 + v10\_11 = 999998.182  
a10 - a12 + 1000000 x10\_12 + W12 + v10\_12 = 999997.572  
a10 - a13 + 1000000 x10\_13 + W13 + v10\_13 = 999997.188  
a10 - a14 + 1000000 x10\_14 + W14 + v10\_14 = 999997.097  
a10 - a15 + 1000000 x10\_15 + W15 + v10\_15 = 999997.883  
a10 - a16 + 1000000 x10\_16 + W16 + v10\_16 = 999997.194  
a10 - a17 + 1000000 x10\_17 + W17 + v10\_17 = 999996.971  
a10 - a18 + 1000000 x10\_18 + W18 + v10\_18 = 999994.547  
a10 - a19 + 1000000 x10\_19 + W19 + v10\_19 = 999987.953

a11 - a2 + 1000000 x11\_2 + W2 + v11\_2 = 999984.508  
a11 - a3 + 1000000 x11\_3 + W3 + v11\_3 = 999990.435  
a11 - a4 + 1000000 x11\_4 + W4 + v11\_4 = 999994.137  
a11 - a5 + 1000000 x11\_5 + W5 + v11\_5 = 999994.825  
a11 - a6 + 1000000 x11\_6 + W6 + v11\_6 = 999997.745  
a11 - a7 + 1000000 x11\_7 + W7 + v11\_7 = 999997.734  
a11 - a8 + 1000000 x11\_8 + W8 + v11\_8 = 999997.889  
a11 - a9 + 1000000 x11\_9 + W9 + v11\_9 = 999997.951  
a11 - a10 + 1000000 x11\_10 + W10 + v11\_10 = 999998.194  
a11 - a12 + 1000000 x11\_12 + W12 + v11\_12 = 999997.288  
a11 - a13 + 1000000 x11\_13 + W13 + v11\_13 = 999996.709  
a11 - a14 + 1000000 x11\_14 + W14 + v11\_14 = 999996.708  
a11 - a15 + 1000000 x11\_15 + W15 + v11\_15 = 999998.274  
a11 - a16 + 1000000 x11\_16 + W16 + v11\_16 = 999997.875  
a11 - a17 + 1000000 x11\_17 + W17 + v11\_17 = 999997.044  
a11 - a18 + 1000000 x11\_18 + W18 + v11\_18 = 999994.557  
a11 - a19 + 1000000 x11\_19 + W19 + v11\_19 = 999987.964

a12 - a2 + 1000000 x12\_2 + W2 + v12\_2 = 999983.957  
a12 - a3 + 1000000 x12\_3 + W3 + v12\_3 = 999989.518  
a12 - a4 + 1000000 x12\_4 + W4 + v12\_4 = 999993.722  
a12 - a5 + 1000000 x12\_5 + W5 + v12\_5 = 999994.409  
a12 - a6 + 1000000 x12\_6 + W6 + v12\_6 = 999997.484  
a12 - a7 + 1000000 x12\_7 + W7 + v12\_7 = 999997.652  
a12 - a8 + 1000000 x12\_8 + W8 + v12\_8 = 999997.827  
a12 - a9 + 1000000 x12\_9 + W9 + v12\_9 = 999997.593  
a12 - a10 + 1000000 x12\_10 + W10 + v12\_10 = 999997.543  
a12 - a11 + 1000000 x12\_11 + W11 + v12\_11 = 999997.292  
a12 - a13 + 1000000 x12\_13 + W13 + v12\_13 = 999998.285  
a12 - a14 + 1000000 x12\_14 + W14 + v12\_14 = 999998.284  
a12 - a15 + 1000000 x12\_15 + W15 + v12\_15 = 999997.8  
a12 - a16 + 1000000 x12\_16 + W16 + v12\_16 = 999997.071  
a12 - a17 + 1000000 x12\_17 + W17 + v12\_17 = 999996.079

a12 - a18 + 1000000 x12\_18 + W18 + v12\_18 = 999993.64  
a12 - a19 + 1000000 x12\_19 + W19 + v12\_19 = 999987.047

a13 - a2 + 1000000 x13\_2 + W2 + v13\_2 = 999983.581  
a13 - a3 + 1000000 x13\_3 + W3 + v13\_3 = 999989.042  
a13 - a4 + 1000000 x13\_4 + W4 + v13\_4 = 999993.345  
a13 - a5 + 1000000 x13\_5 + W5 + v13\_5 = 999994.033  
a13 - a6 + 1000000 x13\_6 + W6 + v13\_6 = 999997.107  
a13 - a7 + 1000000 x13\_7 + W7 + v13\_7 = 999997.276  
a13 - a8 + 1000000 x13\_8 + W8 + v13\_8 = 999997.45  
a13 - a9 + 1000000 x13\_9 + W9 + v13\_9 = 999997.217  
a13 - a10 + 1000000 x13\_10 + W10 + v13\_10 = 999997.167  
a13 - a11 + 1000000 x13\_11 + W11 + v13\_11 = 999996.723  
a13 - a12 + 1000000 x13\_12 + W12 + v13\_12 = 999998.284  
a13 - a14 + 1000000 x13\_14 + W14 + v13\_14 = 999999.021  
a13 - a15 + 1000000 x13\_15 + W15 + v13\_15 = 999997.324  
a13 - a16 + 1000000 x13\_16 + W16 + v13\_16 = 999996.595  
a13 - a17 + 1000000 x13\_17 + W17 + v13\_17 = 999995.603  
a13 - a18 + 1000000 x13\_18 + W18 + v13\_18 = 999993.165  
a13 - a19 + 1000000 x13\_19 + W19 + v13\_19 = 999986.571

a14 - a2 + 1000000 x14\_2 + W2 + v14\_2 = 999983.484  
a14 - a3 + 1000000 x14\_3 + W3 + v14\_3 = 999989.036  
a14 - a4 + 1000000 x14\_4 + W4 + v14\_4 = 999993.249  
a14 - a5 + 1000000 x14\_5 + W5 + v14\_5 = 999993.936  
a14 - a6 + 1000000 x14\_6 + W6 + v14\_6 = 999997.01  
a14 - a7 + 1000000 x14\_7 + W7 + v14\_7 = 999997.179  
a14 - a8 + 1000000 x14\_8 + W8 + v14\_8 = 999997.353  
a14 - a9 + 1000000 x14\_9 + W9 + v14\_9 = 999997.12  
a14 - a10 + 1000000 x14\_10 + W10 + v14\_10 = 999997.07  
a14 - a11 + 1000000 x14\_11 + W11 + v14\_11 = 999996.718  
a14 - a12 + 1000000 x14\_12 + W12 + v14\_12 = 999998.277  
a14 - a13 + 1000000 x14\_13 + W13 + v14\_13 = 999999.024  
a14 - a15 + 1000000 x14\_15 + W15 + v14\_15 = 999997.319  
a14 - a16 + 1000000 x14\_16 + W16 + v14\_16 = 999996.589  
a14 - a17 + 1000000 x14\_17 + W17 + v14\_17 = 999995.597  
a14 - a18 + 1000000 x14\_18 + W18 + v14\_18 = 999993.158  
a14 - a19 + 1000000 x14\_19 + W19 + v14\_19 = 999986.565

a15 - a2 + 1000000 x15\_2 + W2 + v15\_2 = 999984.51  
a15 - a3 + 1000000 x15\_3 + W3 + v15\_3 = 999990.721  
a15 - a4 + 1000000 x15\_4 + W4 + v15\_4 = 999993.892  
a15 - a5 + 1000000 x15\_5 + W5 + v15\_5 = 999994.478  
a15 - a6 + 1000000 x15\_6 + W6 + v15\_6 = 999997.166  
a15 - a7 + 1000000 x15\_7 + W7 + v15\_7 = 999997.319  
a15 - a8 + 1000000 x15\_8 + W8 + v15\_8 = 999997.6  
a15 - a9 + 1000000 x15\_9 + W9 + v15\_9 = 999997.662  
a15 - a10 + 1000000 x15\_10 + W10 + v15\_10 = 999997.905  
a15 - a11 + 1000000 x15\_11 + W11 + v15\_11 = 999998.306  
a15 - a12 + 1000000 x15\_12 + W12 + v15\_12 = 999997.805  
a15 - a13 + 1000000 x15\_13 + W13 + v15\_13 = 999997.31  
a15 - a14 + 1000000 x15\_14 + W14 + v15\_14 = 999997.309  
a15 - a16 + 1000000 x15\_16 + W16 + v15\_16 = 999998.274  
a15 - a17 + 1000000 x15\_17 + W17 + v15\_17 = 999997.282

a15 - a18 + 1000000 x15\_18 + W18 + v15\_18 = 999994.843  
a15 - a19 + 1000000 x15\_19 + W19 + v15\_19 = 999988.25

a16 - a2 + 1000000 x16\_2 + W2 + v16\_2 = 999985.267  
a16 - a3 + 1000000 x16\_3 + W3 + v16\_3 = 999991.477  
a16 - a4 + 1000000 x16\_4 + W4 + v16\_4 = 999994.649  
a16 - a5 + 1000000 x16\_5 + W5 + v16\_5 = 999995.235  
a16 - a6 + 1000000 x16\_6 + W6 + v16\_6 = 999997.067  
a16 - a7 + 1000000 x16\_7 + W7 + v16\_7 = 999997.055  
a16 - a8 + 1000000 x16\_8 + W8 + v16\_8 = 999997.13  
a16 - a9 + 1000000 x16\_9 + W9 + v16\_9 = 999997.073  
a16 - a10 + 1000000 x16\_10 + W10 + v16\_10 = 999997.272  
a16 - a11 + 1000000 x16\_11 + W11 + v16\_11 = 999997.894  
a16 - a12 + 1000000 x16\_12 + W12 + v16\_12 = 999997.087  
a16 - a13 + 1000000 x16\_13 + W13 + v16\_13 = 999996.592  
a16 - a14 + 1000000 x16\_14 + W14 + v16\_14 = 999996.59  
a16 - a15 + 1000000 x16\_15 + W15 + v16\_15 = 999998.284  
a16 - a17 + 1000000 x16\_17 + W17 + v16\_17 = 999998.039  
a16 - a18 + 1000000 x16\_18 + W18 + v16\_18 = 999995.6  
a16 - a19 + 1000000 x16\_19 + W19 + v16\_19 = 999989.007

a17 - a2 + 1000000 x17\_2 + W2 + v17\_2 = 999986.191  
a17 - a3 + 1000000 x17\_3 + W3 + v17\_3 = 999992.401  
a17 - a4 + 1000000 x17\_4 + W4 + v17\_4 = 999995.573  
a17 - a5 + 1000000 x17\_5 + W5 + v17\_5 = 999996.16  
a17 - a6 + 1000000 x17\_6 + W6 + v17\_6 = 999997.341  
a17 - a7 + 1000000 x17\_7 + W7 + v17\_7 = 999997.203  
a17 - a8 + 1000000 x17\_8 + W8 + v17\_8 = 999997.008  
a17 - a9 + 1000000 x17\_9 + W9 + v17\_9 = 999996.867  
a17 - a10 + 1000000 x17\_10 + W10 + v17\_10 = 999997.072  
a17 - a11 + 1000000 x17\_11 + W11 + v17\_11 = 999997.081  
a17 - a12 + 1000000 x17\_12 + W12 + v17\_12 = 999996.128  
a17 - a13 + 1000000 x17\_13 + W13 + v17\_13 = 999995.633  
a17 - a14 + 1000000 x17\_14 + W14 + v17\_14 = 999995.632  
a17 - a15 + 1000000 x17\_15 + W15 + v17\_15 = 999997.325  
a17 - a16 + 1000000 x17\_16 + W16 + v17\_16 = 999998.085  
a17 - a18 + 1000000 x17\_18 + W18 + v17\_18 = 999996.524  
a17 - a19 + 1000000 x17\_19 + W19 + v17\_19 = 999989.931

a18 - a2 + 1000000 x18\_2 + W2 + v18\_2 = 999988.305  
a18 - a3 + 1000000 x18\_3 + W3 + v18\_3 = 999994.879  
a18 - a4 + 1000000 x18\_4 + W4 + v18\_4 = 999995.009  
a18 - a5 + 1000000 x18\_5 + W5 + v18\_5 = 999995.595  
a18 - a6 + 1000000 x18\_6 + W6 + v18\_6 = 999994.909  
a18 - a7 + 1000000 x18\_7 + W7 + v18\_7 = 999994.771  
a18 - a8 + 1000000 x18\_8 + W8 + v18\_8 = 999994.576  
a18 - a9 + 1000000 x18\_9 + W9 + v18\_9 = 999994.436  
a18 - a10 + 1000000 x18\_10 + W10 + v18\_10 = 999994.641  
a18 - a11 + 1000000 x18\_11 + W11 + v18\_11 = 999994.585  
a18 - a12 + 1000000 x18\_12 + W12 + v18\_12 = 999993.663  
a18 - a13 + 1000000 x18\_13 + W13 + v18\_13 = 999993.168  
a18 - a14 + 1000000 x18\_14 + W14 + v18\_14 = 999993.167  
a18 - a15 + 1000000 x18\_15 + W15 + v18\_15 = 999994.859  
a18 - a16 + 1000000 x18\_16 + W16 + v18\_16 = 999995.619

a18 - a17 + 1000000 x18\_17 + W17 + v18\_17 = 999996.543  
a18 - a19 + 1000000 x18\_19 + W19 + v18\_19 = 999992.408

a19 - a2 + 1000000 x19\_2 + W2 + v19\_2 = 999983.565  
a19 - a3 + 1000000 x19\_3 + W3 + v19\_3 = 999998.147  
a19 - a4 + 1000000 x19\_4 + W4 + v19\_4 = 999990.197  
a19 - a5 + 1000000 x19\_5 + W5 + v19\_5 = 999989.547  
a19 - a6 + 1000000 x19\_6 + W6 + v19\_6 = 999988.238  
a19 - a7 + 1000000 x19\_7 + W7 + v19\_7 = 999988.1  
a19 - a8 + 1000000 x19\_8 + W8 + v19\_8 = 999987.905  
a19 - a9 + 1000000 x19\_9 + W9 + v19\_9 = 999987.765  
a19 - a10 + 1000000 x19\_10 + W10 + v19\_10 = 999987.97  
a19 - a11 + 1000000 x19\_11 + W11 + v19\_11 = 999987.914  
a19 - a12 + 1000000 x19\_12 + W12 + v19\_12 = 999986.992  
a19 - a13 + 1000000 x19\_13 + W13 + v19\_13 = 999986.497  
a19 - a14 + 1000000 x19\_14 + W14 + v19\_14 = 999986.496  
a19 - a15 + 1000000 x19\_15 + W15 + v19\_15 = 999988.189  
a19 - a16 + 1000000 x19\_16 + W16 + v19\_16 = 999988.948  
a19 - a17 + 1000000 x19\_17 + W17 + v19\_17 = 999989.873  
a19 - a18 + 1000000 x19\_18 + W18 + v19\_18 = 999992.337

v2\_19 >= 0

v1\_2 >= 0  
v1\_3 >= 0  
v1\_4 >= 0  
v1\_5 >= 0  
v1\_6 >= 0  
v1\_7 >= 0  
v1\_8 >= 0  
v1\_9 >= 0  
v1\_10 >= 0  
v1\_11 >= 0  
v1\_12 >= 0  
v1\_13 >= 0  
v1\_14 >= 0  
v1\_15 >= 0  
v1\_16 >= 0  
v1\_17 >= 0  
v1\_18 >= 0  
v1\_19 >= 0

v3\_2 >= 0  
v3\_4 >= 0  
v3\_5 >= 0  
v3\_6 >= 0  
v3\_7 >= 0  
v3\_8 >= 0  
v3\_9 >= 0  
v3\_10 >= 0  
v3\_11 >= 0  
v3\_12 >= 0  
v3\_13 >= 0  
v3\_14 >= 0  
v3\_15 >= 0  
v3\_16 >= 0  
v3\_17 >= 0  
v3\_18 >= 0  
v3\_19 >= 0

v2\_3 >= 0  
v2\_4 >= 0  
v2\_5 >= 0  
v2\_6 >= 0  
v2\_7 >= 0  
v2\_8 >= 0  
v2\_9 >= 0  
v2\_10 >= 0  
v2\_11 >= 0  
v2\_12 >= 0  
v2\_13 >= 0  
v2\_14 >= 0  
v2\_15 >= 0  
v2\_16 >= 0  
v2\_17 >= 0  
v2\_18 >= 0

v4\_2 >= 0  
v4\_3 >= 0  
v4\_5 >= 0  
v4\_6 >= 0  
v4\_7 >= 0  
v4\_8 >= 0  
v4\_9 >= 0  
v4\_10 >= 0  
v4\_11 >= 0  
v4\_12 >= 0  
v4\_13 >= 0  
v4\_14 >= 0  
v4\_15 >= 0  
v4\_16 >= 0  
v4\_17 >= 0  
v4\_18 >= 0

v4\_19 >= 0  
  
v5\_2 >= 0  
v5\_3 >= 0  
v5\_4 >= 0  
v5\_6 >= 0  
v5\_7 >= 0  
v5\_8 >= 0  
v5\_9 >= 0  
v5\_10 >= 0  
v5\_11 >= 0  
v5\_12 >= 0  
v5\_13 >= 0  
v5\_14 >= 0  
v5\_15 >= 0  
v5\_16 >= 0  
v5\_17 >= 0  
v5\_18 >= 0  
v5\_19 >= 0  
  
v6\_2 >= 0  
v6\_3 >= 0  
v6\_4 >= 0  
v6\_5 >= 0  
v6\_7 >= 0  
v6\_8 >= 0  
v6\_9 >= 0  
v6\_10 >= 0  
v6\_11 >= 0  
v6\_12 >= 0  
v6\_13 >= 0  
v6\_14 >= 0  
v6\_15 >= 0  
v6\_16 >= 0  
v6\_17 >= 0  
v6\_18 >= 0  
v6\_19 >= 0  
  
v7\_2 >= 0  
v7\_3 >= 0  
v7\_4 >= 0  
v7\_5 >= 0  
v7\_6 >= 0  
v7\_8 >= 0  
v7\_9 >= 0  
v7\_10 >= 0  
v7\_11 >= 0  
v7\_12 >= 0  
v7\_13 >= 0  
v7\_14 >= 0  
v7\_15 >= 0  
v7\_16 >= 0  
v7\_17 >= 0  
v7\_18 >= 0  
v7\_19 >= 0  
  
v8\_2 >= 0  
  
v8\_3 >= 0  
v8\_4 >= 0  
v8\_5 >= 0  
v8\_6 >= 0  
v8\_7 >= 0  
v8\_9 >= 0  
v8\_10 >= 0  
v8\_11 >= 0  
v8\_12 >= 0  
v8\_13 >= 0  
v8\_14 >= 0  
v8\_15 >= 0  
v8\_16 >= 0  
v8\_17 >= 0  
v8\_18 >= 0  
v8\_19 >= 0  
  
v9\_2 >= 0  
v9\_3 >= 0  
v9\_4 >= 0  
v9\_5 >= 0  
v9\_6 >= 0  
v9\_7 >= 0  
v9\_8 >= 0  
v9\_10 >= 0  
v9\_11 >= 0  
v9\_12 >= 0  
v9\_13 >= 0  
v9\_14 >= 0  
v9\_15 >= 0  
v9\_16 >= 0  
v9\_17 >= 0  
v9\_18 >= 0  
v9\_19 >= 0  
  
v10\_2 >= 0  
v10\_3 >= 0  
v10\_4 >= 0  
v10\_5 >= 0  
v10\_6 >= 0  
v10\_7 >= 0  
v10\_8 >= 0  
v10\_9 >= 0  
v10\_11 >= 0  
v10\_12 >= 0  
v10\_13 >= 0  
v10\_14 >= 0  
v10\_15 >= 0  
v10\_16 >= 0  
v10\_17 >= 0  
v10\_18 >= 0  
v10\_19 >= 0  
  
v11\_2 >= 0  
v11\_3 >= 0  
v11\_4 >= 0  
v11\_5 >= 0



v11\_6 >= 0  
v11\_7 >= 0  
v11\_8 >= 0  
v11\_9 >= 0  
v11\_10 >= 0  
v11\_12 >= 0  
v11\_13 >= 0  
v11\_14 >= 0  
v11\_15 >= 0  
v11\_16 >= 0  
v11\_17 >= 0  
v11\_18 >= 0  
v11\_19 >= 0  
  
v12\_2 >= 0  
v12\_3 >= 0  
v12\_4 >= 0  
v12\_5 >= 0  
v12\_6 >= 0  
v12\_7 >= 0  
v12\_8 >= 0  
v12\_9 >= 0  
v12\_10 >= 0  
v12\_11 >= 0  
v12\_13 >= 0  
v12\_14 >= 0  
v12\_15 >= 0  
v12\_16 >= 0  
v12\_17 >= 0  
v12\_18 >= 0  
v12\_19 >= 0  
  
v13\_2 >= 0  
v13\_3 >= 0  
v13\_4 >= 0  
v13\_5 >= 0  
v13\_6 >= 0  
v13\_7 >= 0  
v13\_8 >= 0  
v13\_9 >= 0  
v13\_10 >= 0  
v13\_11 >= 0  
v13\_12 >= 0  
v13\_14 >= 0  
v13\_15 >= 0  
v13\_16 >= 0  
v13\_17 >= 0  
v13\_18 >= 0  
v13\_19 >= 0  
  
v14\_2 >= 0  
v14\_3 >= 0  
v14\_4 >= 0  
v14\_5 >= 0  
v14\_6 >= 0  
v14\_7 >= 0  
v14\_8 >= 0  
  
v14\_9 >= 0  
v14\_10 >= 0  
v14\_11 >= 0  
v14\_12 >= 0  
v14\_13 >= 0  
v14\_15 >= 0  
v14\_16 >= 0  
v14\_17 >= 0  
v14\_18 >= 0  
v14\_19 >= 0  
  
v15\_2 >= 0  
v15\_3 >= 0  
v15\_4 >= 0  
v15\_5 >= 0  
v15\_6 >= 0  
v15\_7 >= 0  
v15\_8 >= 0  
v15\_9 >= 0  
v15\_10 >= 0  
v15\_11 >= 0  
v15\_12 >= 0  
v15\_13 >= 0  
v15\_14 >= 0  
v15\_16 >= 0  
v15\_17 >= 0  
v15\_18 >= 0  
v15\_19 >= 0  
  
v16\_2 >= 0  
v16\_3 >= 0  
v16\_4 >= 0  
v16\_5 >= 0  
v16\_6 >= 0  
v16\_7 >= 0  
v16\_8 >= 0  
v16\_9 >= 0  
v16\_10 >= 0  
v16\_11 >= 0  
v16\_12 >= 0  
v16\_13 >= 0  
v16\_14 >= 0  
v16\_15 >= 0  
v16\_17 >= 0  
v16\_18 >= 0  
v16\_19 >= 0  
  
v17\_2 >= 0  
v17\_3 >= 0  
v17\_4 >= 0  
v17\_5 >= 0  
v17\_6 >= 0  
v17\_7 >= 0  
v17\_8 >= 0  
v17\_9 >= 0  
v17\_10 >= 0  
v17\_11 >= 0

```

v17_12 >= 0
v17_13 >= 0
v17_14 >= 0
v17_15 >= 0
v17_16 >= 0
v17_18 >= 0
v17_19 >= 0

v18_2 >= 0
v18_3 >= 0
v18_4 >= 0
v18_5 >= 0
v18_6 >= 0
v18_7 >= 0
v18_8 >= 0
v18_9 >= 0
v18_10 >= 0
v18_11 >= 0
v18_12 >= 0
v18_13 >= 0
v18_14 >= 0
v18_15 >= 0
v18_16 >= 0
v18_17 >= 0
v18_19 >= 0

v19_2 >= 0
v19_3 >= 0
v19_4 >= 0
v19_5 >= 0
v19_6 >= 0
v19_7 >= 0
v19_8 >= 0
v19_9 >= 0
v19_10 >= 0
v19_11 >= 0
v19_12 >= 0
v19_13 >= 0
v19_14 >= 0
v19_15 >= 0
v19_16 >= 0
v19_17 >= 0
v19_18 >= 0

v1_2 + 2000000 x1_2 <= 2000000
v1_3 + 2000000 x1_3 <= 2000000
v1_4 + 2000000 x1_4 <= 2000000
v1_5 + 2000000 x1_5 <= 2000000
v1_6 + 2000000 x1_6 <= 2000000
v1_7 + 2000000 x1_7 <= 2000000
v1_8 + 2000000 x1_8 <= 2000000
v1_9 + 2000000 x1_9 <= 2000000
v1_10 + 2000000 x1_10 <= 2000000
v1_11 + 2000000 x1_11 <= 2000000
v1_12 + 2000000 x1_12 <= 2000000
v1_13 + 2000000 x1_13 <= 2000000
v1_14 + 2000000 x1_14 <= 2000000

v1_15 + 2000000 x1_15 <= 2000000
v1_16 + 2000000 x1_16 <= 2000000
v1_17 + 2000000 x1_17 <= 2000000
v1_18 + 2000000 x1_18 <= 2000000
v1_19 + 2000000 x1_19 <= 2000000

v2_3 + 2000000 x2_3 <= 2000000
v2_4 + 2000000 x2_4 <= 2000000
v2_5 + 2000000 x2_5 <= 2000000
v2_6 + 2000000 x2_6 <= 2000000
v2_7 + 2000000 x2_7 <= 2000000
v2_8 + 2000000 x2_8 <= 2000000
v2_9 + 2000000 x2_9 <= 2000000
v2_10 + 2000000 x2_10 <= 2000000
v2_11 + 2000000 x2_11 <= 2000000
v2_12 + 2000000 x2_12 <= 2000000
v2_13 + 2000000 x2_13 <= 2000000
v2_14 + 2000000 x2_14 <= 2000000
v2_15 + 2000000 x2_15 <= 2000000
v2_16 + 2000000 x2_16 <= 2000000
v2_17 + 2000000 x2_17 <= 2000000
v2_18 + 2000000 x2_18 <= 2000000
v2_19 + 2000000 x2_19 <= 2000000

v3_2 + 2000000 x3_2 <= 2000000
v3_4 + 2000000 x3_4 <= 2000000
v3_5 + 2000000 x3_5 <= 2000000
v3_6 + 2000000 x3_6 <= 2000000
v3_7 + 2000000 x3_7 <= 2000000
v3_8 + 2000000 x3_8 <= 2000000
v3_9 + 2000000 x3_9 <= 2000000
v3_10 + 2000000 x3_10 <= 2000000
v3_11 + 2000000 x3_11 <= 2000000
v3_12 + 2000000 x3_12 <= 2000000
v3_13 + 2000000 x3_13 <= 2000000
v3_14 + 2000000 x3_14 <= 2000000
v3_15 + 2000000 x3_15 <= 2000000
v3_16 + 2000000 x3_16 <= 2000000
v3_17 + 2000000 x3_17 <= 2000000
v3_18 + 2000000 x3_18 <= 2000000
v3_19 + 2000000 x3_19 <= 2000000

v4_2 + 2000000 x4_2 <= 2000000
v4_3 + 2000000 x4_3 <= 2000000
v4_5 + 2000000 x4_5 <= 2000000
v4_6 + 2000000 x4_6 <= 2000000
v4_7 + 2000000 x4_7 <= 2000000
v4_8 + 2000000 x4_8 <= 2000000
v4_9 + 2000000 x4_9 <= 2000000
v4_10 + 2000000 x4_10 <= 2000000
v4_11 + 2000000 x4_11 <= 2000000
v4_12 + 2000000 x4_12 <= 2000000
v4_13 + 2000000 x4_13 <= 2000000
v4_14 + 2000000 x4_14 <= 2000000
v4_15 + 2000000 x4_15 <= 2000000
v4_16 + 2000000 x4_16 <= 2000000
v4_17 + 2000000 x4_17 <= 2000000

```

v4\_18 + 2000000 x4\_18 <= 2000000  
v4\_19 + 2000000 x4\_19 <= 2000000

v5\_2 + 2000000 x5\_2 <= 2000000  
v5\_3 + 2000000 x5\_3 <= 2000000  
v5\_4 + 2000000 x5\_4 <= 2000000  
v5\_6 + 2000000 x5\_6 <= 2000000  
v5\_7 + 2000000 x5\_7 <= 2000000  
v5\_8 + 2000000 x5\_8 <= 2000000  
v5\_9 + 2000000 x5\_9 <= 2000000  
v5\_10 + 2000000 x5\_10 <= 2000000  
v5\_11 + 2000000 x5\_11 <= 2000000  
v5\_12 + 2000000 x5\_12 <= 2000000  
v5\_13 + 2000000 x5\_13 <= 2000000  
v5\_14 + 2000000 x5\_14 <= 2000000  
v5\_15 + 2000000 x5\_15 <= 2000000  
v5\_16 + 2000000 x5\_16 <= 2000000  
v5\_17 + 2000000 x5\_17 <= 2000000  
v5\_18 + 2000000 x5\_18 <= 2000000  
v5\_19 + 2000000 x5\_19 <= 2000000

v6\_2 + 2000000 x6\_2 <= 2000000  
v6\_3 + 2000000 x6\_3 <= 2000000  
v6\_4 + 2000000 x6\_4 <= 2000000  
v6\_5 + 2000000 x6\_5 <= 2000000  
v6\_7 + 2000000 x6\_7 <= 2000000  
v6\_8 + 2000000 x6\_8 <= 2000000  
v6\_9 + 2000000 x6\_9 <= 2000000  
v6\_10 + 2000000 x6\_10 <= 2000000  
v6\_11 + 2000000 x6\_11 <= 2000000  
v6\_12 + 2000000 x6\_12 <= 2000000  
v6\_13 + 2000000 x6\_13 <= 2000000  
v6\_14 + 2000000 x6\_14 <= 2000000  
v6\_15 + 2000000 x6\_15 <= 2000000  
v6\_16 + 2000000 x6\_16 <= 2000000  
v6\_17 + 2000000 x6\_17 <= 2000000  
v6\_18 + 2000000 x6\_18 <= 2000000  
v6\_19 + 2000000 x6\_19 <= 2000000

v7\_2 + 2000000 x7\_2 <= 2000000  
v7\_3 + 2000000 x7\_3 <= 2000000  
v7\_4 + 2000000 x7\_4 <= 2000000  
v7\_5 + 2000000 x7\_5 <= 2000000  
v7\_6 + 2000000 x7\_6 <= 2000000  
v7\_8 + 2000000 x7\_8 <= 2000000  
v7\_9 + 2000000 x7\_9 <= 2000000  
v7\_10 + 2000000 x7\_10 <= 2000000  
v7\_11 + 2000000 x7\_11 <= 2000000  
v7\_12 + 2000000 x7\_12 <= 2000000  
v7\_13 + 2000000 x7\_13 <= 2000000  
v7\_14 + 2000000 x7\_14 <= 2000000  
v7\_15 + 2000000 x7\_15 <= 2000000  
v7\_16 + 2000000 x7\_16 <= 2000000  
v7\_17 + 2000000 x7\_17 <= 2000000  
v7\_18 + 2000000 x7\_18 <= 2000000  
v7\_19 + 2000000 x7\_19 <= 2000000

v8\_2 + 2000000 x8\_2 <= 2000000  
v8\_3 + 2000000 x8\_3 <= 2000000  
v8\_4 + 2000000 x8\_4 <= 2000000  
v8\_5 + 2000000 x8\_5 <= 2000000  
v8\_6 + 2000000 x8\_6 <= 2000000  
v8\_7 + 2000000 x8\_7 <= 2000000  
v8\_9 + 2000000 x8\_9 <= 2000000  
v8\_10 + 2000000 x8\_10 <= 2000000  
v8\_11 + 2000000 x8\_11 <= 2000000  
v8\_12 + 2000000 x8\_12 <= 2000000  
v8\_13 + 2000000 x8\_13 <= 2000000  
v8\_14 + 2000000 x8\_14 <= 2000000  
v8\_15 + 2000000 x8\_15 <= 2000000  
v8\_16 + 2000000 x8\_16 <= 2000000  
v8\_17 + 2000000 x8\_17 <= 2000000  
v8\_18 + 2000000 x8\_18 <= 2000000  
v8\_19 + 2000000 x8\_19 <= 2000000

v9\_2 + 2000000 x9\_2 <= 2000000  
v9\_3 + 2000000 x9\_3 <= 2000000  
v9\_4 + 2000000 x9\_4 <= 2000000  
v9\_5 + 2000000 x9\_5 <= 2000000  
v9\_6 + 2000000 x9\_6 <= 2000000  
v9\_7 + 2000000 x9\_7 <= 2000000  
v9\_8 + 2000000 x9\_8 <= 2000000  
v9\_10 + 2000000 x9\_10 <= 2000000  
v9\_11 + 2000000 x9\_11 <= 2000000  
v9\_12 + 2000000 x9\_12 <= 2000000  
v9\_13 + 2000000 x9\_13 <= 2000000  
v9\_14 + 2000000 x9\_14 <= 2000000  
v9\_15 + 2000000 x9\_15 <= 2000000  
v9\_16 + 2000000 x9\_16 <= 2000000  
v9\_17 + 2000000 x9\_17 <= 2000000  
v9\_18 + 2000000 x9\_18 <= 2000000  
v9\_19 + 2000000 x9\_19 <= 2000000

v10\_2 + 2000000 x10\_2 <= 2000000  
v10\_3 + 2000000 x10\_3 <= 2000000  
v10\_4 + 2000000 x10\_4 <= 2000000  
v10\_5 + 2000000 x10\_5 <= 2000000  
v10\_6 + 2000000 x10\_6 <= 2000000  
v10\_7 + 2000000 x10\_7 <= 2000000  
v10\_8 + 2000000 x10\_8 <= 2000000  
v10\_9 + 2000000 x10\_9 <= 2000000  
v10\_11 + 2000000 x10\_11 <= 2000000  
v10\_12 + 2000000 x10\_12 <= 2000000  
v10\_13 + 2000000 x10\_13 <= 2000000  
v10\_14 + 2000000 x10\_14 <= 2000000  
v10\_15 + 2000000 x10\_15 <= 2000000  
v10\_16 + 2000000 x10\_16 <= 2000000  
v10\_17 + 2000000 x10\_17 <= 2000000  
v10\_18 + 2000000 x10\_18 <= 2000000  
v10\_19 + 2000000 x10\_19 <= 2000000

v11\_2 + 2000000 x11\_2 <= 2000000  
v11\_3 + 2000000 x11\_3 <= 2000000  
v11\_4 + 2000000 x11\_4 <= 2000000



v16\_11 + 2000000 x16\_11 <= 2000000  
 v16\_12 + 2000000 x16\_12 <= 2000000  
 v16\_13 + 2000000 x16\_13 <= 2000000  
 v16\_14 + 2000000 x16\_14 <= 2000000  
 v16\_15 + 2000000 x16\_15 <= 2000000  
 v16\_17 + 2000000 x16\_17 <= 2000000  
 v16\_18 + 2000000 x16\_18 <= 2000000  
 v16\_19 + 2000000 x16\_19 <= 2000000  
  
 v17\_2 + 2000000 x17\_2 <= 2000000  
 v17\_3 + 2000000 x17\_3 <= 2000000  
 v17\_4 + 2000000 x17\_4 <= 2000000  
 v17\_5 + 2000000 x17\_5 <= 2000000  
 v17\_6 + 2000000 x17\_6 <= 2000000  
 v17\_7 + 2000000 x17\_7 <= 2000000  
 v17\_8 + 2000000 x17\_8 <= 2000000  
 v17\_9 + 2000000 x17\_9 <= 2000000  
 v17\_10 + 2000000 x17\_10 <= 2000000  
 v17\_11 + 2000000 x17\_11 <= 2000000  
 v17\_12 + 2000000 x17\_12 <= 2000000  
 v17\_13 + 2000000 x17\_13 <= 2000000  
 v17\_14 + 2000000 x17\_14 <= 2000000  
 v17\_15 + 2000000 x17\_15 <= 2000000  
 v17\_16 + 2000000 x17\_16 <= 2000000  
 v17\_18 + 2000000 x17\_18 <= 2000000  
 v17\_19 + 2000000 x17\_19 <= 2000000  
  
 v18\_2 + 2000000 x18\_2 <= 2000000  
 v18\_3 + 2000000 x18\_3 <= 2000000  
 v18\_4 + 2000000 x18\_4 <= 2000000  
 v18\_5 + 2000000 x18\_5 <= 2000000  
 v18\_6 + 2000000 x18\_6 <= 2000000

v18\_7 + 2000000 x18\_7 <= 2000000  
 v18\_8 + 2000000 x18\_8 <= 2000000  
 v18\_9 + 2000000 x18\_9 <= 2000000  
 v18\_10 + 2000000 x18\_10 <= 2000000  
 v18\_11 + 2000000 x18\_11 <= 2000000  
 v18\_12 + 2000000 x18\_12 <= 2000000  
 v18\_13 + 2000000 x18\_13 <= 2000000  
 v18\_14 + 2000000 x18\_14 <= 2000000  
 v18\_15 + 2000000 x18\_15 <= 2000000  
 v18\_16 + 2000000 x18\_16 <= 2000000  
 v18\_17 + 2000000 x18\_17 <= 2000000  
 v18\_19 + 2000000 x18\_19 <= 2000000  
  
 v19\_2 + 2000000 x19\_2 <= 2000000  
 v19\_3 + 2000000 x19\_3 <= 2000000  
 v19\_4 + 2000000 x19\_4 <= 2000000  
 v19\_5 + 2000000 x19\_5 <= 2000000  
 v19\_6 + 2000000 x19\_6 <= 2000000  
 v19\_7 + 2000000 x19\_7 <= 2000000  
 v19\_8 + 2000000 x19\_8 <= 2000000  
 v19\_9 + 2000000 x19\_9 <= 2000000  
 v19\_10 + 2000000 x19\_10 <= 2000000  
 v19\_11 + 2000000 x19\_11 <= 2000000  
 v19\_12 + 2000000 x19\_12 <= 2000000  
 v19\_13 + 2000000 x19\_13 <= 2000000  
 v19\_14 + 2000000 x19\_14 <= 2000000  
 v19\_15 + 2000000 x19\_15 <= 2000000  
 v19\_16 + 2000000 x19\_16 <= 2000000  
 v19\_17 + 2000000 x19\_17 <= 2000000  
 v19\_18 + 2000000 x19\_18 <= 2000000

Binaries

x1\_2 x1\_3 x1\_4 x1\_5 x1\_6 x1\_7 x1\_8 x1\_9 x1\_10 x1\_11 x1\_12 x1\_13 x1\_14 x1\_15 x1\_16 x1\_17 x1\_18 x1\_19  
 x2\_1 x2\_3 x2\_4 x2\_5 x2\_6 x2\_7 x2\_8 x2\_9 x2\_10 x2\_11 x2\_12 x2\_13 x2\_14 x2\_15 x2\_16 x2\_17 x2\_18 x2\_19  
 x3\_2 x3\_1 x3\_4 x3\_5 x3\_6 x3\_7 x3\_8 x3\_9 x3\_10 x3\_11 x3\_12 x3\_13 x3\_14 x3\_15 x3\_16 x3\_17 x3\_18 x3\_19  
 x4\_2 x4\_3 x4\_1 x4\_5 x4\_6 x4\_7 x4\_8 x4\_9 x4\_10 x4\_11 x4\_12 x4\_13 x4\_14 x4\_15 x4\_16 x4\_17 x4\_18 x4\_19  
 x5\_2 x5\_3 x5\_4 x5\_1 x5\_6 x5\_7 x5\_8 x5\_9 x5\_10 x5\_11 x5\_12 x5\_13 x5\_14 x5\_15 x5\_16 x5\_17 x5\_18 x5\_19  
 x6\_2 x6\_3 x6\_4 x6\_5 x6\_1 x6\_7 x6\_8 x6\_9 x6\_10 x6\_11 x6\_12 x6\_13 x6\_14 x6\_15 x6\_16 x6\_17 x6\_18 x6\_19  
 x7\_2 x7\_3 x7\_4 x7\_5 x7\_6 x7\_1 x7\_8 x7\_9 x7\_10 x7\_11 x7\_12 x7\_13 x7\_14 x7\_15 x7\_16 x7\_17 x7\_18 x7\_19  
 x8\_2 x8\_3 x8\_4 x8\_5 x8\_6 x8\_7 x8\_1 x8\_9 x8\_10 x8\_11 x8\_12 x8\_13 x8\_14 x8\_15 x8\_16 x8\_17 x8\_18 x8\_19  
 x9\_2 x9\_3 x9\_4 x9\_5 x9\_6 x9\_7 x9\_8 x9\_1 x9\_10 x9\_11 x9\_12 x9\_13 x9\_14 x9\_15 x9\_16 x9\_17 x9\_18 x9\_19  
 x10\_2 x10\_3 x10\_4 x10\_5 x10\_6 x10\_7 x10\_8 x10\_9 x10\_1 x10\_11 x10\_12 x10\_13 x10\_14 x10\_15 x10\_16  
 x10\_17 x10\_18 x10\_19  
 x11\_2 x11\_3 x11\_4 x11\_5 x11\_6 x11\_7 x11\_8 x11\_9 x11\_10 x11\_11 x11\_12 x11\_13 x11\_14 x11\_15 x11\_16  
 x11\_17 x11\_18 x11\_19  
 x12\_2 x12\_3 x12\_4 x12\_5 x12\_6 x12\_7 x12\_8 x12\_9 x12\_10 x12\_11 x12\_12 x12\_13 x12\_14 x12\_15 x12\_16  
 x12\_17 x12\_18 x12\_19  
 x13\_2 x13\_3 x13\_4 x13\_5 x13\_6 x13\_7 x13\_8 x13\_9 x13\_10 x13\_11 x13\_12 x13\_13 x13\_14 x13\_15 x13\_16  
 x13\_17 x13\_18 x13\_19  
 x14\_2 x14\_3 x14\_4 x14\_5 x14\_6 x14\_7 x14\_8 x14\_9 x14\_10 x14\_11 x14\_12 x14\_13 x14\_14 x14\_15 x14\_16  
 x14\_17 x14\_18 x14\_19  
 x15\_2 x15\_3 x15\_4 x15\_5 x15\_6 x15\_7 x15\_8 x15\_9 x15\_10 x15\_11 x15\_12 x15\_13 x15\_14 x15\_15 x15\_16  
 x15\_17 x15\_18 x15\_19

x16\_2 x16\_3 x16\_4 x16\_5 x16\_6 x16\_7 x16\_8 x16\_9 x16\_10 x16\_11 x16\_12 x16\_13 x16\_14 x16\_15 x16\_1  
x16\_17 x16\_18 x16\_19  
x17\_2 x17\_3 x17\_4 x17\_5 x17\_6 x17\_7 x17\_8 x17\_9 x17\_10 x17\_11 x17\_12 x17\_13 x17\_14 x17\_15 x17\_16  
x17\_1 x17\_18 x17\_19  
x18\_2 x18\_3 x18\_4 x18\_5 x18\_6 x18\_7 x18\_8 x18\_9 x18\_10 x18\_11 x18\_12 x18\_13 x18\_14 x18\_15 x18\_16  
x18\_17 x18\_1 x18\_19  
x19\_2 x19\_3 x19\_4 x19\_5 x19\_6 x19\_7 x19\_8 x19\_9 x19\_10 x19\_11 x19\_12 x19\_13 x19\_14 x19\_15 x19\_16  
x19\_17 x19\_18 x19\_1

End

### Příloha 13 Výstup z programu gurobi pro TSP s časovými okny

Academic license - for non-commercial use only

Set parameter timelimit to value 40

Gurobi Optimizer version 8.1.0 build v8.1.0rc1 (mac64)

Copyright (c) 2018, Gurobi Optimization, LLC

Read LP format model from file /Users/nehj/Documents/škola/DP/prakticka/TSPTW/okynka.lp

Reading time = 0.00 seconds

: 1423 rows, 723 columns, 4350 nonzeros

Optimize a model with 1423 rows, 723 columns and 4350 nonzeros

Variable types: 381 continuous, 342 integer (342 binary)

Coefficient statistics:

Matrix range [1e+00, 2e+06]

Objective range [2e-01, 1e+01]

Bounds range [1e+00, 1e+00]

RHS range [1e+00, 2e+06]

Presolve removed 1006 rows and 438 columns

Presolve time: 0.02s

Presolved: 417 rows, 285 columns, 3036 nonzeros

Variable types: 173 continuous, 112 integer (112 binary)

Root relaxation: objective 3.197650e+01, 76 iterations, 0.00 seconds

Nodes		Current Node	Objective Bounds		Work				
Expl	Unexpl	Obj	Depth	IntInf	Incumbent	BestBd	Gap	It/Node	Time
0	0	31.97650	0	24	-	31.97650	-	-	0s
H	0	0	95.2370000	31.97650	66.4%	-	-	0s	
H	0	0	94.2590000	31.97650	66.1%	-	-	0s	
0	0	38.13331	0	30	94.25900	38.13331	59.5%	-	0s
0	0	43.87630	0	32	94.25900	43.87630	53.5%	-	0s
0	0	46.63404	0	33	94.25900	46.63404	50.5%	-	0s
0	0	46.88698	0	33	94.25900	46.88698	50.3%	-	0s
0	0	46.89339	0	27	94.25900	46.89339	50.3%	-	0s
0	0	48.12843	0	28	94.25900	48.12843	48.9%	-	0s
0	0	48.65402	0	38	94.25900	48.65402	48.4%	-	0s
0	0	48.65854	0	29	94.25900	48.65854	48.4%	-	0s
0	0	48.65854	0	29	94.25900	48.65854	48.4%	-	0s
0	0	50.50346	0	29	94.25900	50.50346	46.4%	-	0s
0	0	50.60557	0	28	94.25900	50.60557	46.3%	-	0s
0	0	62.20554	0	21	94.25900	62.20554	34.0%	-	0s
0	0	69.72443	0	23	94.25900	69.72443	26.0%	-	0s
0	0	69.78799	0	23	94.25900	69.78799	26.0%	-	0s
0	0	69.79024	0	24	94.25900	69.79024	26.0%	-	0s
0	0	70.45150	0	20	94.25900	70.45150	25.3%	-	0s

```

0 0 70.45177 0 20 94.25900 70.45177 25.3% - 0s
0 0 70.65036 0 20 94.25900 70.65036 25.0% - 0s
0 0 70.68147 0 23 94.25900 70.68147 25.0% - 0s
0 0 70.68753 0 25 94.25900 70.68753 25.0% - 0s
0 0 70.92430 0 22 94.25900 70.92430 24.8% - 0s
0 0 70.92506 0 21 94.25900 70.92506 24.8% - 0s
0 0 71.08225 0 16 94.25900 71.08225 24.6% - 0s
0 0 71.08235 0 16 94.25900 71.08235 24.6% - 0s
0 0 75.40370 0 24 94.25900 75.40370 20.0% - 0s
0 0 75.52978 0 24 94.25900 75.52978 19.9% - 0s
0 0 75.68890 0 26 94.25900 75.68890 19.7% - 0s
0 0 75.68890 0 26 94.25900 75.68890 19.7% - 0s
0 0 83.50569 0 30 94.25900 83.50569 11.4% - 0s
0 0 83.82650 0 27 94.25900 83.82650 11.1% - 0s
0 0 83.82650 0 27 94.25900 83.82650 11.1% - 0s
0 0 83.83071 0 27 94.25900 83.83071 11.1% - 0s
0 0 83.83071 0 27 94.25900 83.83071 11.1% - 0s
0 0 83.83221 0 27 94.25900 83.83221 11.1% - 0s
0 0 83.83334 0 27 94.25900 83.83334 11.1% - 0s
0 0 83.85741 0 29 94.25900 83.85741 11.0% - 0s
0 0 83.85741 0 29 94.25900 83.85741 11.0% - 0s
0 2 83.85741 0 29 94.25900 83.85741 11.0% - 0s
* 21 21 7 91.7760025 84.18456 8.27% 17.1 0s
* 103 52 12 91.6960025 85.09608 7.20% 14.4 0s
5864 493 91.29789 31 6 91.69600 89.31290 2.60% 11.8 5s

```

Cutting planes:

Gomory: 3

Cover: 1

Implied bound: 36

Clique: 4

MIR: 33

Flow cover: 86

Inf proof: 3

Zero half: 2

Explored 12037 nodes (142441 simplex iterations) in 8.45 seconds  
Thread count was 4 (of 4 available processors)

Solution count 4: 91.696 91.776 94.259 95.237  
No other solutions better than 91.696

Optimal solution found (tolerance 1.00e-04)  
Best objective 9.169600249514e+01, best bound 9.169600249514e+01, gap 0.0000%

Wrote result file '/Users/nehj/Documents/škola/DP/prakticka/TSPTW/okynka1.sol'